



وزارة التعليم العالي والبحث العلمي
جامعة كربلاء
كلية التربية للعلوم الصرفة
قسم علوم الحياة

دراسة جزيئية وكيميائية لمقارنة بعض أنواع جنس *Galium L.* من العائلة الفوية *Rubiaceae* في العراق

رسالة مقدمة إلى
مجلس كلية التربية للعلوم الصرفة / جامعة كربلاء
وهي جزء من متطلبات نيل درجة الماجستير في علوم الحياة .

كتبت بواسطة
ربيعة سلمان حميد خضر
بكالوريوس علوم حياة / جامعة كربلاء 2020

بإشراف
أ. د. بلقيس هادي هاشم



(يَرْفَعُ اللَّهُ الَّذِينَ آمَنُوا مِنْكُمْ وَالَّذِينَ أُوتُوا الْعِلْمَ
دَرَجَاتٍ وَاللَّهُ بِمَا تَعْمَلُونَ خَبِيرٌ)

صدق الله العلي العظيم

سورة المجادلة: آية (11)

الإهداء

إلى البشير النذير ... والسراج المنير ... نبينا المختار أبي القاسم محمد(ﷺ)

إلى بلدي الحبيب... العراق... وإلى شهدائنا الأبرار

إلى من سعيت دوما لنيل رضاهم، دوناً عن الناس....

إلى من لا يضاھيهما أحد في الكون

إلى من بذلا الكثير،

وقدما لنا ما لا يمكن أن يرد،

إليكما تلك الكلمات: أمي (رحمها الله) وأبي الغاليان،

أهدي لكما هذا الجهد المتواضع؛

إلى نفسي من الفها ويائها ، عنوانها وختامها قد صبرت وأجتهدت من أجل نجاحي هذا

إلى أخوتي وأخواتي سندي و اعتزازي

إلى كل نبضة قلب خفقت حبا لي ...

أهدي جهدي المتواضع

شكر و عرفان

الحمد لله الذي تصاغر عند تعاظم آلائه شكري، وتضاءل في جنب اكرامه اياي ثنائي والصلاة والسلام على الدليل الى
مرضاة الله محمد سيد المرسلين واله الطيبين الطاهرين

أتقدم بالشكر الجزيل الى عمادة كلية التربية للعلوم الصرفة ورئيس قسم علوم الحياة لإتاحة الفرصة لي لأكمال
دراستي .

بعد توفيق الله وتيسيره وأنا انهي كتابة رسالتي ان أتقدم بجزيل شكري الى مشرفتي الأستاذة الدكتور بلقيس هادي
هاشم لأشرفها على هذا الجهد العلمي ومتابعتها الميدانية وتوجيهاتها القيمة طيلة مدة دراستي، ولا يسعني الا ان ادعوها
فالدعاء أجدي من كل كلمات الشكر نرادها الله تمكيننا واسبع عليها من افضال العفو والعافية وجزاها الله عني
الجزاء الاوفى ومنعها بنعمه يوم الجزاء العظيم . كما اتقدم بخالص شكري وتقديري لعائتي وولدي لصبرهم الطويل
معي واشكر


د . نيبال لمساعدتها لي طوال فترة العمل كما اتقدم بالشكر الجزيل الى الاستاذ المدرس المساعد صلاح حسن
القتلاوي على حسن دعمه ومساعدته في كل خطوات اعداد الرسالة .

كن عالماً . . فإن لم تستطع فكن متعلماً، فإن لم تستطع فأحب العلماء، فإن لم تستطع، فلا تبغضهم

الباحثة

إقرار المشرف على الرسالة

نشهد أن إعداد هذه الرسالة الموسومة : (دراسة جزيئية وكيميائية لمقارنة بعض أنواع جنس *Galium* L. من العائلة الفوية Rubiaceae في العراق) قد جرى تحت إشرافنا في قسم علوم الحياة / كلية التربية للعلوم الصرفة/ جامعة كربلاء وهي جزء من متطلبات نيل درجة الماجستير في علوم الحياة / علم النبات

التوقيع: 

الاسم : د. بلقيس هادي هاشم

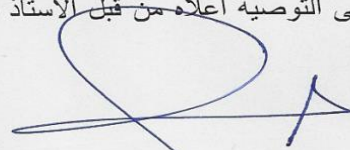
المرتبة العلمية: أستاذ

العنوان: كلية العلوم - جامعة كربلاء

التاريخ : / / 2024

توصية رئيس قسم علوم الحياة

إشارة إلى التوصية أعلاه من قبل الأستاذ المشرف ، أحيل هذه الرسالة إلى لجنة المناقشة لدراستها وبيان الرأي فيها .

التوقيع: 

الاسم : أ.د. نصير مرزا حمزة

المرتبة العلمية : أستاذ

العنوان : كلية التربية للعلوم الصرفة - جامعة كربلاء

التاريخ : / / 2024

إقرار المقوم اللغوي

أشهد أن هذه الرسالة الموسومة بـدراسة جزيئية وكيميائية لمقارنة بعض أنواع جنس *Galium L.* من العائلة الفوية Rubiaceae في العراق

تمت مراجعتها من الناحية اللغوية وتصحيح ما ورد فيها من أخطاء لغوية وتعبيرية وبذلك أصبحت الرسالة مؤهلة للمناقشة بقدر تعلق الأمر بسلامة الأسلوب وصحة التعبير.

التوقيع:

الاسم : د. علي محمد ياسين أحمد

المرتبة العلمية: استاذ

مكان العمل : جامعة كربلاء / كلية العلوم الاسلامية

التاريخ: 2024/ /

إقرار لجنة المناقشة

نحن أعضاء لجنة المناقشة الموقعون ادناه نشهد باننا قد اطلعنا على الرسالة الموسومة بعنوان (دراسة جزيئية وكيميائية لمقارنة بعض أنواع جنس *Galium L.* من العائلة الفوية Rubiaceae في العراق). المقدمة من قبل الطالبة (ربيعة سلمان حميد خضر) كجزء من متطلبات نيل درجة الماجستير في قسم علوم الحياة / كلية التربية للعلوم الصرفة / جامعة كربلاء ، وبعد اجراء المناقشة العلمية وجد انها مستوفية لمتطلبات الشهادة و عليه نوصي بقبول الرسالة بتقدير (جيد جداً).

رئيس اللجنة المناقشة

التوقيع :

الاسم: د. ماجد خليف كمر

المرتبة العلمية: أستاذ

مكان العمل: جامعة كربلاء/ كلية التربية للعلوم الصرفة

التاريخ: 16/5/2024

عضو اللجنة المناقشة

التوقيع :

الاسم: د. فاطمة كريم خضير

المرتبة العلمية : أستاذ مساعد

مكان العمل: جامعة كربلاء/ كلية التربية للعلوم الصرفة

التاريخ: 16/5/2024

عضو اللجنة المناقشة

التوقيع :

الاسم: د. نوفل حسين خضير

المرتبة العلمية : أستاذ

مكان العمل: جامعة الكوفة / كلية العلوم

التاريخ: 16/5/2024

عضو اللجنة المناقشة مشرفا

التوقيع :

الاسم: د. بلقيس هادي هاشم

المرتبة العلمية : أستاذ

مكان العمل: جامعة كربلاء / كلية العلوم

التاريخ: 16/5/2024

مصادقة عمادة كلية التربية للعلوم الصرفة

أصالح على ماجاء بقرار اللجنة اعلاه

التوقيع :

العميد : د. حميدة عيدان سلمان

المرتبة العلمية: استاذ

التاريخ: 16/5/2024

الخلاصة

البحث الحالي هو دراسة جزيئية وكيميائية مقارنة لـ 5 أنواع عائدة لجنس *Galium L.* من العائلة الفوية Rubiaceae والنامية برياً في العراق، وهي *G. spurium L.* و *G. setaceum L.* و *G. Dandy* و *G. aparine* و *G. ceratopodum Boiss.* و *tricornatum* باستخدام مؤشرات DNA (DNA Markers) المعتمدة على تفاعلات البلمرة المتسلسلة Polymerase Chain Reaction (PCR) وهي مؤشرات التفاعل التضاعفي العشوائي المتعدد الأشكال لسلسلة DNA (RAPDs) Random Amplified Polymorphic DNA. تمت الدراسة الحالية في مختبر الامين التابع للعتبة العلوية المقدسة محافظة النجف الاشرف- العراق من شباط 2023 ولغاية حزيران 2023.

أظهرت نتائج الدراسة الحالية باستخدام مؤشرات RAPD التباين بين الأنماط الجينية المدروسة عن طريق وجود حزم أحادية ومتعددة الأشكال وفريدة من نوعها أعطيت بعض البادئات بصمة فريدة لبعض الأنواع لنبات *Galium L.* ال

تم اختيار 8 من البوادئ العشوائية التابعة للـ RAPD و ISRR الا ان 3 من البوادئ لم تعطي اي نتيجة وهي BH10 , BH11 , BH14 في حين أظهرت الـ 5 بوادئ نواتج تضاعف متباينة بين الأنواع النباتية المدروسة إذ بلغت عدد الحزم المتباينة 54 حزمة من أصل 67 حزمة رئيسية وتم الحصول على أعلى عدد من الحزم المتضاعفة وهي 209 حزمة التي تم الحصول عليها عبر جميع جينومات التراكيب الوراثية من قبل البادئ OPL-05 وأقل عدد

تم اختيار 5 من البوادئ العشوائية التابعة لمؤشرات RAPD التي أظهرت نواتج تضاعف متباينة بين الأنواع النباتية المدروسة إذ بلغت عدد الحزم المتباينة 65 حزمة من أصل 67 حزمة رئيسية وتم الحصول على أعلى عدد من الحزم المتضاعفة هي 28 من اصل 120 حزمة التي تم الحصول عليها عبر جميع جينومات الأنواع النباتية من قبل البادئ OPC14 وأقل عدد من الحزم المتضاعفة 20 حزمة من قبل البادئ OPC8 وتم الحصول على أعلى عدد من الحزم الرئيسية 71 حزمة من قبل البادئ OPC14 وأقل عدد من الحزم الرئيسية 8 حزمة من قبل البادئ OPC8 .

كشف التحليل التجميعي عن توزيع الأنواع النباتية المدروسة إلى مجموعتين وراثيتين: الأولى تضم *G. spurium* و *G. setaceum*، والثانية تضم *G. ceratopodum* و *G. Tricornatum* و *G. aparine*. أظهر التحليل أن مؤشرات RAPD فعالة في التمييز بين تراكيب نبات *Galium L.*

والكشف عن العلاقات الوراثية بينها. كما تناولت الدراسة المحتوى الكيميائي للمستخلص الإيثانولي لأوراق Galium وحددت المركبات بواسطة تقنية GC-MS، وكشفت عن مركبات ناتجة عن الأيض الثانوي لها دور علاجي وِدفاعي، مما يساعد في التمييز التصنيفي بين الأنواع المدروسة.

قائمة المحتويات

الصفحة	العنوان	التسلسل
I	الخلاصة	
III	المحتويات	
VII	قائمة الجداول	
VIII	قائمة الاشكال الصور	
IX	قائمة الملاحق	
X	قائمة المختصرات	
الفصل الأول المقدمة		
1	Introduction المقدمة	1
الفصل الثاني استعراض المراجع		
3	العائلة الفوية Rubiaceae	1-1-2
4	Taxonomic State of the Family للعائلة التصنيفي Rubiaceae	2-1-2
8	وضع العائلة الفوية في العراق Taxonomic State of the Family Rubiaceae in Iraq	3-1-2
11	صفات الجنس Galium والوضع التصنيفي له في العراق Genus Characteristics and Taxonomic State in Iraq	4-1-2
12	أصل الاسم اللاتيني للجنس Galium والأسماء الشائعة The Origion Name of the Genus Galium and Common	5-1-2

	Name	
13	المكونات الكيميائية والاستعمالات الطبية The Chemical Componentes and Medicinal Uses	6-1-2
14	Genetic Diversity التنوع الوراثي	2-2
16	DNA DNA Markers مؤشرات	3-2
16	Molecular DNA المعتمدة على تقانة التهجين الجزيئي Hybridization Based DNA Markers	1-3-2
17	المؤشرات المعتمدة على تقانة التفاعل التضاعفي لسلسلة DNA Polymerase Chain Reaction (PCR) Based Techniques	2-3-2
18	التفاعل التضاعفي المتعدد الأشكال لسلسلة DNA أو الـ RAPD) (RAPD) Randomly Amplified Polymorphic) DNA	1-2-3-2
20	Galium تطبيقات تقنية الـ RAPD على نبات Application of RAPD Technique on Galium	2-2-3-2
20	نباتات الدراسة	4-2
20	G. aparine	1-4-2
21	G. ceratopodum	2-4-2
22	G. setaceum	3-4-2
23	G. spurium	4-4-2
24	G. tricornatum	5-4-2
الفصل الثالث		
المواد وطرائق العمل		
26	مخطط خطوات الدراسة	1-3
27	جمع العينات النباتية	2-3
28	اسماء ومختصرات التي درست عيناتها في الدراسة الحالية حسب Holmgren and Keuken و (Holmgren et al. (1990	3 -3

	((1964	
27	Materials المواد	4-3
28	Laboratory Equipments and الأجهزة والمعدات المختبرية Apparatus	1-4-3
28	Chemicals المواد الكيميائية	2-4-3
30	Methods طرق العمل	5-3
30	الدراسة الجزيئية	1-5-3
39	dendrogram شجرة العلاقة الوراثية	1-1-5-3
40	Chemical Study الدراسة الكيميائية	2-5-3
40	تحضير المستخلص الايثانولي	1-2-5-3
41	فصل وتشخيص المركبات الكيميائية بتقنية GC-MS	2-2-5-3
42	تشخيص المركبات الكيميائية الخام	3-2-5-3
الفصل الرابع		
النتائج والمناقشة		
43	Molecular Study الدراسة الجزيئية	1-4
43	Genomic DNA Isolation عزل الحامض النووي	1-1-4
43	RAPD نتائج تضاعف DNA المعتمد على مؤشرات	2-1-4
51	تحليل نتائج الـRAPD	3-1-4
54	شجرة العلاقة الوراثية	4-1-4
57	Chemical study الدراسة الكيميائية	2-4
الاستنتاجات والتوصيات		
127	الاستنتاجات	
128	التوصيات	

129	المصادر	
144	الملاحق	
XI	الخلاصة باللغة الإنكليزية	

قائمة المختصرات

Terms	Abbreviation
المعشبة الوطني	BAG
معشبة كلية الزراعة / جامعة بغداد	BUA
معشبة كلية العلوم / جامعة بغداد	BUH
معشبة كلية التربية للعلوم الصرفة (ابن الهيثم) / جامعة بغداد	BUE
معشبة متحف التاريخ الطبيعي	BUNH

الفصل الاول

المقدمة

Introduction

المقدمة

منذ فجر الحياة، كان البشر يبحثون عن الحقيقة والفهم، ويجمعون المعرفة حول محيطهم والعوامل المؤثرة على وجودهم. لقد سبق إنشاء النباتات على الأرض إنشاء البشر والحيوانات، حيث تعمل النباتات كمصدر أساسي للعيش لجميع الكائنات الحية، وهي ضرورية للحياة نفسها (Chaabani, 2015).

يسعى علم التصنيف Taxonomy الى محاولة التوصل الى طريقة لوضع النباتات في مجاميع استنادا الى اوجه التشابه والارتباطات الوراثية التي تجمع بينها لتسهيل دراستها (Mali et al., 2023). استمر علم التصنيف بالتطور وشمل صفات تعتمد تركيب النبات التشريحي والخلوي والكيميائي كأساس وهذا ما هو متداول حالياً باستعمال تقنيات حديثة للنباتات السائدة على كوكبنا والمعروفة بالنباتات البذرية التي يصل عددها إلى 350.000 نوع (Suranto, 2000). اذ أصبح هذا العلم معتمداً على مجموعة من الأدلة بعد أن كان يعتمد على الصفات المظهرية فقط وأصبح علماً له مكانته وسبله وخصوصيته (van and Meijman, 2004).

اعتمدت الدراسات القديمة على الصفات المظهرية الخارجية Morphological characters في تشخيص النباتات وتسميتها وتصنيفها، ومع التقدم في العلوم واستخدام التقنيات العلمية الحديثة بدأت الدراسات التصنيفية تنحى منحى جديد لتعتمد على الصفات الخلوية الدقيقة والتشريحية والمحتويات الكيميائية، لذلك ظهر التصنيف الخلوي Cytotaxonomy والتصنيف الكيمياوي Chemotaxonomy وباستخدام اجهزة حديثة والتي ساعدت على التقدم في هذا المجال كالمجهر الضوئي Light microscope والمجهر الالكتروني الماسح Scanning electron microscope (SEM) والمجهر الالكتروني النفاذ Transmission electron microscope (TEM) والذي اسهم وبشكل كبير بدراسة عضيات الخلية الدقيقة في تطوير دراسات علم التصنيف (Bordenave et al., 2023). وفي نهاية القرن الماضي استخدمت تقنية تفاعل البوليمراز المتسلسل (PCR) Polymerase Chain Reaction التي أسهمت في معرفة المسار التطوري ودرجات القربى التي تربط بين الوحدات التصنيفية من خلال دراسة شريط الـ DNA ومعرفة تتابع القواعد النيتروجينية لتحديد صلات القربى فيما بينها ودراسة الجينات الواقعة عليها (Avisé, 2012).

Rubiaceae هي عائلة نباتية متنوعة، وتحل المرتبة الرابعة بين أكبر عائلة بين كاسيات البذور على مستوى العالم مع حوالي 660 جنساً و 11500 نوعاً (Gao et al., 2023). في النباتات العراقية، تضم هذه العائلة 400 جنس و 700 نوع، بما في ذلك 40 نوعاً برياً و 3 أنواع مزروعة مثل جاردينيا (Claude et al., 2023). تشتهر Rubiaceae بأهميتها الطبية والاقتصادية، وتشمل نباتات مثل القهوة العربية، مصدر القهوة، وجاردينيا فلوريدا، وهي من أنواع الزينة (Huang et al., 2023). بالإضافة إلى ذلك، تعتبر Cinchona officinalis من هذه العائلة أمراً حيويًا للأغراض الطبية، حيث توفر الكينين لعلاج الملاريا (Kieu et al.,

(2022). تختلف طبيعة نباتات Rubiaceae من الأشجار إلى الشجيرات والأعشاب والمتسلقين، مما يُظهر التنوع النباتي للعائلة وأهميتها في مختلف المجالات..

نبات *Galium L.* يعد أحد أجناس هذه العائلة الذي يضم 400 نوعٍ معروف من النباتات في المناطق المعتدلة من نصفي الكرة الأرضية الشمالي والجنوبي (Bradic et al., 2021).
يهدف البحث الحالي إلى دراسة الجنس *Galium* دراسة تصنيفية مقارنة مؤكدين على الجوانب التصنيفية الرئيسة الآتية:

- 1- دراسة جزيئية مقارنة بين الانواع باستخدام المعلمات الوراثية عن طريق تحديد التوصيف الجزيئي لمؤشرات التضاعف العشوائي لسلسلة الدنا RAPD .
- 2- دراسة كيميائية مقارنة بين الانواع للمركبات الفعالة تصنيفياً بتقنية GC-MS
- 3-معاملة الأنواع تصنيفياً ووضع مفتاح تصنيفي للفصل بين الأنواع قيد الدراسة.

الفصل الثاني

استعراض المراجع

Literature Review

إستعراض المراجع

1-1-2 العائلة الفوية Rubiaceae

جاءت تسمية العائلة Rubiaceae نسبة إلى الجنس *Rubia* L. (الفوة) وهو ال Type لهذه العائلة ، وتسمى أيضاً بعائلة القهوة (Simpson, 2010)، وصفت العائلة من قبل العالم 1787 Antoine Laurent de Jussieu (De Jussieu, 1787).

تعود العائلة الفوية Rubiaceae إلى الرتبة Gentianales من صف ثنائية الفلقة Dioct، والرتبة تضم 5 عائلات هي: Gelsemiaceae و Apocynaceae و Rubiaceae و Loganiaceae و Gentinaceae (Simpson, 2010).

تعد العائلة الفوية من العائلات الكبيرة التي تضم أكثر من 2800 نوعاً، صنفت عن طريق الأوراق المتقابلة والبتلات الملتحمة والأسدية المرتكزة على التويج والمتبادلة مع البتلات والمبيض المنخفض (Johns, 1911)، أما (Benson 1962) فقد أشار بأن العائلة الفوية واحدة من أكبر العائلات التي توجد في المناطق الاستوائية وشبه الاستوائية التي تضم 4500 جنس، والجنس *Galium* هو الجنس الأكبر في شمال أمريكا والذي يضم 30 نوعاً، وذكر (Porter 1967) بأن العائلة تضم حوالي 400 جنس و7000 نوع تكون غالباً في المناطق الاستوائية ولكن بعض الأفراد تمتد إلى المناطق المعتدلة، أما (Willis 1973) فقد بين بأن العائلة الفوية تعود إلى ذوات الفلقتين والتي تضم 500 جنس و6000 نوع، أغلب أجناسها استوائية ولكن عدداً من أنواع قبيلة Rubieae تكون معتدلة، أما (Daoud 1985) في فلورا دولة الكويت فقد ذكر بأن العائلة الفوية تضم 500 جنس و6000 نوع تنتشر في المناطق الاستوائية وشبه الاستوائية، وبحسب (Simpson 2010) فإن العائلة تشمل من 563-611 جنساً و 10.900-13.150 نوعاً.

وتتميز العائلة Rubiaceae بأن أوراقها متقابلة Opposite، بسيطة Simple، ملساء الحافة Entire، لها اذينات Stipules طليقة أو ملتحمة وقد تختزل إلى عدد أو تتسع وتصبح ورقية الشكل فيصعب تمييزها عن الأوراق الخضرية حتى من حيث الحجم كما في نبات اللزيج *Galium*، لذا يبدو ترتيب الأوراق كأنه سوارى Whorled، أما الأزهار فهي ثنائية الجنس Bisexual، شعاعية التناظر Actinomorphic، الكأس Calyx ملتحم السبلات Gamosepalous او مختزل أو مفقود، والتويج

Corolla ملتحم البتلات Gamopetalous، الأسدية Stamens بقدر فصوص التويج وارتكازها تويجي Epipetalous، المدقة Pistil من كربلتين أو أكثر، المبيض منخفض Inferior، التمشيم محوري Axial أو قاعدي Basal، النورة محدودة Cymos أو عنقودية مركبة Compound raceme أو رأسية Capitulum أو أنها انفرادية Solitary، الثمرة علبة Capsule متفتحة أو غير متفتحة أو منشقة Schizocarp تنفصل عند النضج إلى قطع احادية البذرة Mericarps كما في نبات اللزيج *Galium* أو تكون الثمرة لبية Berry كما في القهوة (الكاتب، 1988).

2-1-2 الوضع التصنيفي للعائلة Taxonomic State of the Family Rubiaceae

صنفت العائلة حسب تقسيم (1753) Linnaeus ضمن الفئة Tetraandria Monogynia (رباعية الأسدية احادية المدقة)، اذ ذكر فيها عدة أجناس منها:

1- *Sherardia* L. يضم 3 أنواع

2- *Asperula* L. يضم 6 أنواع

3- *Galium* يضم 20 نوعاً

4- *Ixora* L. يضم نوعين

5- *Crucianella* L. يضم 4 أنواع

6- *Rubia* يضم نوعين

وصنف (1873) Bentham and Hooker العائلة على ثلاث سلاسل Series وهي:

Series A -1

البويضات في غرف متعددة، وتضم 10 قبائل Tribes وهي: Naucleae و Cinchoneae و Mussaendeae و Condaminieae و Rondeletieae و Hedyotideae و Henriquezieae و Hamelieae و Catesbaeeae و Gardenieae.

Series B -2

البويضات في غرف مزدوجة، وتضم قبليتين هما: *Cruckshanksiae* و *Retiniphyllae*.

Series C -3

البويضات في غرف مفردة، وتضم 13 قبيلة وهي: *Guettardeae* و *Knoxieae* و *Chiococceae* و *Albertieae* و *Vanguerieae* و *Ixoreae* و *Morindeae* و *Coussareeae* و *Psychotrieae* و *Paederieae* و *Anthospermeae* و *Spermacoceae* و *Galieae* ويعود الجنس *Galium* إلى السلسلة C ضمن القبيلة *Galieae*.

أما (1875) Boissier فقد قام بوضع العائلة ضمن الرتبة *Rubiaceae* Order التي قسمت بدورها على رتبتين ثانويتين Suborder هما:

Suborder: Capsulares -1

الثمرة فيها علبة Capsule ، وتضم جنسين.

Suborder: Stellatae -2

الثمرة فيها لبيبة Berry نادرا وغالبا بندقة Nut، وتضم 10 أجناس، من ضمنها الجنس

Galium.

إن نظام التصنيف الكلاسيكي للعائلة *Rubiaceae* تضمن اثنين من العوئيلات Subfamilie، وهي *Cinchonoideae* التي تميزت بوجود أكثر من بويضة واحدة في كل غرفة من غرف المبيض، و *Coffeoidae* التي تتميز بوجود بويضة واحدة في كل غرفة (Schuman, 1891).

بين (1912) Muschler ضمن الفلورا المصرية أن العائلة تقع ضمن الرتبة *Rubiales* التي تضم 7 أجناس وهي:.

-1 *Oldenlandia Plum* يضم 3 أنواع

-2 *Gallonia A. Rich* يضم نوعاً واحداً

-3 *Rubia* يضم نوعاً واحداً

4- *Callipeltis* Stev. يضم نوعاً واحداً

5- *Vaillantia* L. يضم نوعاً واحداً

6- *Galium* يضم 5 أنواع

7- *Crucianella* يضم 3 أنواع

وذكر Post (1932) في الفلورا السورية وفلسطين وسيناء بأن العائلة تضم 10 أجناس هي:

1- *Oldenlandia*: نباتات حولية ، أوراقها متقابلة، التويج دائري-عجلي والثمرة لبية.

2- *Putoria*: نباتات عشبية، أوراقها متقابلة، وأزهارها ذات تويج شبه قمعي.

3- *Rubia*: أعشاب معمرة أو شجيرات، أوراقها سوارية، التويج دائري والثمرة جافة.

4- *Callipeltis*: الأزهار في نورات محددة *Cymos* ابطية الموقع، وكل منها قنابة غشائية والثمرة جافة.

5- *Vaillantia*: ثمارها لها 3 قرون منحنية وقرن واحد قائم أو مهماز صغير.

6- *Mericarpea* Boiss: الثمرة مركبة من 2-3 قطع ثمرية *Mericarps*.

7- *Galium*: التويج دائري أو أنبوبي قصير جداً، ويضم 45 نوع.

8- *Asperula*: التويج قمعي الشكل أو جرسى.

9- *Crucianella*: التويج قمعي الشكل، والقطع الثمرية متطاولة أو متطاولة شريطية.

10- *Sherardia*: التويج قمعي الشكل، والقطع الثمرية لها من 2-3 أسنان في القمة.

وذكر (Parsa, 1943) في الفلورا الإيرانية بأن للعائلة 11 جنسا هي: *Oldenlandia* و *L.*

Randia و *Aitchisonia* Hemsl. و *Rubia* و *Gallonia* و *Sherardia* و *Galium* والذي يضم

34 نوعاً و *Asperula* و *Crucianella* و *Vaillantia* و *Callipeltis*

لكن (Rechinger 2005) في الفلورا الإيرانية صنف العائلة الى ثلاث عائلات ثانوية وهي:

Subfamliy: Cinchonoideae -1

تضم جنساً واحداً هو: *Wendlandia*.

Subfamily: Ixoroideae -2

تضم جنساً واحداً وهو: *Himalrandia Yamazaki*

Subfamily: Rubioideae -3

تضم 18 جنساً.

وذكر Heywood (1964) في الفلورا الاوربية بأن العائلة تضم 9 أجناس هي: *Putoria* و *Crucianella* و *Sherardia* و *Rubia* و *Galium* الذي يضم 145 نوعاً و *Asperula* و *Vaillantia* و *Callipeltis* و *Cruciata*. في حين أن Migahid (1978) وضح بأن للعائلة 8 أجناس في الفلورا السعودية وهي: *Crucianella* و *Callipeltis* و *Galium* و يضم نوعاً واحداً *Vaillantia* و *Gallonia* و *Jaubertia* و *Oldenlandia* و *Kohautia*.

غير أن (1981) Batanouny ذكر جنساً واحداً للعائلة في قطر هو الجنس *Galium* والذي يضم نوعاً واحداً وهو *G. tricornatum*.

ذكر Davis (1982) بأن للعائلة 10 أجناس في تركيا وهي *Oldenlandia* و *Putoria* و *Sherardia* و *Galium* الذي يضم 101 نوع (وقد أضاف (2016) Sik et al. نوعاً جديداً في تركيا وهو: *G. shinasii Yildirim* و *Rubia* و *Asperula* و *Cruciata* و *Vaillantia* و *Crucianella* و *Callipeltis*.

بينما (2011) Chen et al. فقد أشاروا بأن العائلة تضم 97 جنساً في الصين من بينها الجنس *Galium* الذي ضم 63 نوعاً. وخلال القرن العشرين تم تصنيف هذه العائلة على أربع عوئيلات وفقاً للصفات المورفولوجية فقط، وهذه العوئيلات هي: *Antirheoideae* و *Rubioideae* و *Ixoroideae* و *Cinchonoideae* (Robbercht, 1988)، وبدخول عالم الوراثة الجزيئية في مجال بحوث التصنيف فقد تم تصنيف العائلة *Rubiaceae* على ثلاث عوئيلات رئيسية هي *Cinchonoideae*, *Rubioideae*, *Ixoroideae* (Bremer, 2009).

وفي احدث نظام تصنيفي Phylogeny Group Angiosperm (APG IV) وضعت العائلة Rubiaceae ضمن الرتبة Gentianales (Chase et al., 2016)، وهو الاصدار الرابع لنظام تصنيف يعتمد على علم الاحياء الجزيئية لتصنيف النباتات وله عدة اصدارات: APG I (1998)، APG II (2003)، APG III (2009).

3-1-2 العائلة الفوية في العراق

Taxonomic State of the Family Rubiaceae in Iraq

اشار Handle Mazzetti (1910) أن العائلة الفوية تضم 9 أجناس وهي

- 1- *Galium* يضم 9 أنواع
- 2- *Rubia* يضم نوعين
- 3- *Callipeltis* يضم نوعين
- 4- *Vaillantia* يضم نوعاً واحداً
- 5- *Asperula* يضم 6 أنواع
- 6- *Crucianella* يضم 3 أنواع
- 7- *Gallonia* يضم نوعاً واحداً
- 8- *Putoria* يضم نوعاً واحداً
- 9- *Wendlandia* يضم نوعاً واحداً

أما (Nabelek , 1923) فقد أشار بأن العائلة تضم 9 أجناس وهي:

- 1- *Wendlandia* Bartl.ex DC. يضم نوعين
- 2- *Putoria* Pres. يضم نوعاً واحداً
- 3- *Sherardia* يضم نوعاً واحداً

4- *Crucianella* يضم 3 أنواع

5- *Asperula* يضم 9 أنواع

6- *Vaillantia* يضم نوعاً واحداً

7- *Callipeltis* يضم 3 أنواع

8- *Galium* يضم 18 نوعاً

9- *Rubia* يضم 3 أنواع

بينما أوضح (Zohary 1946) بأن للعائلة 11 جنساً في العراق هي:

1- *Gallonia* يضم نوعاً واحداً

2- *Putoria* يضم نوعاً واحداً

3- *Rubia* يضم نوعين

4- *Sherardia* يضم نوعاً واحداً

5- *Crucianella* يضم 3 أنواع

6- *Asperula* يضم 7 أنواع

7- *Galium* يضم 15 نوعاً

8- *Vaillantia* يضم نوعاً واحداً

9- *Callipeltis* يضم نوعين

10- *Mericalpaea* يضم نوعاً واحداً

11- *Wendlandia* يضم نوعاً واحداً

وبين (Rechinger, 1964) بأن العائلة تضم 8 أجناس تنتشر في المناطق الواطئة من العراق

وهي: *Gallonia* يضم نوعين

1- *Galium* يضم 9 أنواع

2- *Cruciata* يضم نوع واحد

3- *Asperula* يضم نوع واحد

4- *Sherardia* يضم نوع واحد

5- *Rubia* يضم نوعين

6- *Crucianella* يضم نوعين

7- *Callipeltis* يضم 3 أنواع

أما الراوي (1988) فقد أشار بأن للعائلة 11 جنساً، فيما أوضح Townsend and Guest (1980) بأن العائلة تضم 12 جنساً في العراق وهي:

1- *Wendlandia* يضم نوع واحد

2- *Vaillantia* يضم نوع واحد

3- *Galium* يضم 23 نوع

4- *Putoria* يضم نوع واحد

5- *Rubia* يضم نوعين

6- *Callipeltis* يضم 3 أنواع

7- *Cruciata* يضم 3 أنواع

8- *Sherardia* يضم نوع واحد

9- *Linch. Neogaillonia* يضم نوعين

10- *Mericarpaea* يضم نوع واحد

11- *Crucianelal* يضم 8 أنواع

12- *Asperula* يضم 12 نوع

فضلاً عن الجنس *Neogallonia* الذي لم يرد ذكره في قائمة الراوي.

واشار المياح واخرون (2016) بأن العائلة الفوية تضم ثلاثة أجناس عشر عليها في أفضية ونواحي محافظة البصرة وهي *Gardenia* و *Crucianella* و *Galium* الذي يضم 3 أنواع.

2-1-4 صفات الجنس *Galium* والوضع التصنيفي له في العراق

Genus Characteristics and Taxonomic State in Iraq

يعد الجنس *Galium* من الأجناس العائدة للعائلة الفوية الذي يضم 400 نوعاً معروفاً من النباتات في المناطق المعتدلة من نصفي الكرة الأرضية الشمالي والجنوبي (Townsend and Guest, 1980). يمتلك صفات مظهرية: مثل سيقانه مربعة *Quadrangular*، أوراقه متقابلة *Opposite*، أزهاره تامة *Perfect*، علوية الأجزاء *Epigynous*، الكأس صغير جداً أو مفقود، التويج ملتحم البتلات *Gamopetalous* غالباً من 4 قطع (عجلي أو قمعي) ، ألوانه أبيض شاحب-أصفر براق أو أخضر مصفر أو وردي أو بني محمر غامق، الأسدية (4) ، المبيض منخفض *Inferior* ثنائي الغرفة، الثمرة منشقة *Schizocarp* ثنائية البذرة (Townsend and Guest, 1980).

وذكر الراوي (1988) الأنواع التابعة للجنس في العراق وعددها 17 نوعاً وهي:

1- *G. aparine* L.

2- *G. adhaerens* Boiss. et Bal.

3- *G. articulatum* (L.) R. et S.

4- *G. canum* Reqi.

5- *G. ceratopodum* Boiss.

6- *G. coronatum* Sibth et Sm.

7- *G. decaisnei* Boiss

- G. kurdicum* Boiss. et Hoh -8
G. leiophyllum Boiss. et Hoh -9
G. mite Boiss. et Hoh -10
G. murale All -11
G. nigricans Boiss -12
G. setaceum Lam -13
G. spurium L. -14
G. tricornis Stokes (*G. aparine* L.) -15
G. verticillatum Danth -16
G. verum L. -17

أما Townsend and Guest (1980) فقد بينا أن للجنس *Galium* 23 نوعاً في العراق.

5-1-2 أصل الاسم اللاتيني للجنس *Galium* والأسماء الشائعة

The Origion Name of the Genus *Galium* and Common Name

جاءت تسمية الجنس *Galium* من الكلمة الاغريقية Gala أي الحليب، وسمي بهذا الاسم لكون أحد أنواعه وهو النوع *G. verum* يستعمل في صناعة الجبن (Townsend and Guest, 1980).

وبحسب ما قيل في بعض الاساطير فإن النوع *G. verum* (الغاليون الأصفر) بأنه كان على السرير المصنوع من الأعشاب البرية التي كانت تنام عليه السيدة مريم يوجد غصن من الغاليون الأصفر، ومن هنا جاءت التسمية لهذا النبات *Lady's Bedstraw* (قش سرير السيدة)، وهناك تسميات فرنسية لهذا النبات استلهمت من خصائصه: فهو يسمى (مخثر اللبن) لأنه يخثر الحليب كما يخثر الدم، ويسمى أيضاً (الغاليون الأصفر) تيمناً بعناقيد الأزهار المنتصبة (قبيسي، 2010).

أما النوع *G. aparine* (اللصيقي) فأسمه مشتق من قدرته على الالتصاق اذ يدعى *Cleavers*، ونجد في كتابات ديوسقوريدس وصفاً للطريقة التي كان يستعمل فيها الرعيان سيقانه المحزومة لتصفية الحليب (قبيسي، 2010)، وذكر ابن البيطار بأنه يسمى بحشيشة الأفعى، أما أسماءه في اللغة الانكليزية *Bedstraw* و *Goose grass* (Townsend and Guset, 1980).

6-1-2 المكونات الكيميائية والاستعمالات الطبية

The Chemical Componentes and Medicinal Uses

لبعض أنواع الجنس أهمية اقتصادية وخواص علاجية لما تحتويه من مواد كيميائية ذات فعالية طبية، وأنواع هذا الجنس من النباتات الواقعة في قائمة السيطرة البيولوجية لاسيما النوع *G. aparine* الذي يقع ضمن برنامج السيطرة على أدغال المحاصيل الأوروبية (Rancic and Petanovic, 2002)، ويحتوي النوع *G. aparine* على عناصر فعالة متمثلة بالكلايكوسيدات، ويعد شافياً للجروح وفتحاً للشهية ومدراً للبول ومضاداً للالتهاب (لامبولاي، 1998).

كما ينشط الدورة الدموية ويسهم في إيقاف النزيف وتستهلك ثماره في إعداد نوع من القهوة (قبيسي، 2010)، وكذلك يعد النوع *G. aparine* مبرداً للجسم ويحوي مادة Asperuloside التي استخلصت منه وحقت داخل أجسام الكلاب وأدت إلى خفض الضغط الشرياني إلى 50% دون تباطؤ في النبض (Chakravarty, 1976).

وبين شوفاليه (2010) بأن النوع *G. aparine* يحوي ايرودويدات وحماض متعددة الفينوليك وانثراكينونات والكانات وفلافونيات وغالباً ما يستعمل لعلاج الأمراض الجلدية مثل الاكزيما والصداف ولتورم الغدد اللمفية، كما وضح (Al-Snafi 2018) بأن مستخلص النوع *G. aparine* احتوى على Phenols و Tannins و Saponins و Alkanes و Flavonoids و Coumarins و Alkaloids و asperuloside و Iridoids و Anthraquinones، واثبتت الدراسات السابقة بأن النوع امثلك مضادات بكتيرية ومضادات للسرطان وله تأثيرات في حماية الكبد بينما وضح كل من (Townsend and Guest 1980) و Whitson (1991) بأن النوع *G. verum* يستعمل في صناعة الجبن وأيضاً مدرراً للبول ومضاداً للإسهال ومدراً للصفراء ومهدناً في الطب الشعبي، كما يستعمل النوع لعلاج حصى الكلى والمثانة وله شهرة قديمة العهد في فرنسا بكونه علاجاً قيماً للصرع (شوفاليه، 2010)، وقد شخصت بعض المركبات من الأجزاء الهوائية للنوع *G. verum* مثل Iridoids و Flavonoids و Monoterpene Glycosides (Demirezer et al., 2006)، وقد أوضح (Roman and Puica 2013) بأن مستخلص *G. verum* يحدث تحورات مهمة في تحفيز النشاط في كل من الغدة الدرقية والمبيض في الفئران، أما (Lakic et al. 2010) فقد أشار بأن النوع *G. verum* يعد من مضادات الأكسدة Antioxdiant، كما تستعمل جذوره في الصباغ باللون الأحمر

وأيضاً يستعمل في علاج أزمات التشنج (قبيسي، 2010)، كما أن (Al-Snafi 2018) بيّن من خلال التحليل الكيميائي احتواء النوع *G.verum* على Flavonoids و Carbohydrates و Oils و Iridoid و glycosides و Amino acids و Phenolics، كما وضحت الدراسات السابقة بأن النوع يمتلك مضادات للاكسدة ومضادات بكتيرية وله تأثيرات في حماية الغدد الصماء.

وأشار (Ilyina et al. 2016) بأن الأنواع *G. aparine* و *G. verum* و *G. spurium* و *G. verticillatum* تحتوي على Hyperoside أما النوعين *G. verum* و *G. verticillatum* فيحتويان على Luteolin-7-O arabino-glucoside.

كما وجد (Vlase et al. 2014) بأن هناك فعالية مضادة للأكسدة وأيضاً مضاد للبكتيريا لأربعة أنواع تابعة للجنس *Galium* وهي *G. verum* و *G. mollugo* و *G. aparine* و *G. odoratum*.

و درس (Jan et al. 2009) فعالية مضادة للفطريات ومضادة للبكتيريا لمستخلص النوع *G. tricornatum* إذ استعمل المستخلص لعلاج العدوى البكتيرية للجلد لكن (Frisic et al. 2018) وضع من خلال دراسته لثمانية أنواع تابعة للجنس *Galium* في كروايتا احتواء الأنواع المدروسة على Phenolics و Flavonoids و Iridoids فضلاً عن الفعالية المضادة للاكسدة.

2-2 التنوع الوراثي Genetic Diversity

يقصد بالتنوع الوراثي كافة الاختلافات الموجودة بين الافراد أو التجمعات التابعة لنوع معين، استجابة لكل المتغيرات التي تحدث أما بتأثير القوى التطورية Evolutionary forces أو نتيجة لعمليات التربية والذي يؤدي إلى تنوع حيوي Biodiversity متكافئ للحفاظ على ثبوتية النظام البيئي (Karp et al., 1997).

ان التغيرات بين الأنواع النباتية قد تحدث طبيعياً بمعزل عن الجهد البشري، وعن طريق الطفرات التلقائية والتكاثر الجنسي والهجرة Migration and gene flow والانحراف الوراثي genetic drift والانتخاب Selection، وقد تحدث التغيرات بين الأنواع النباتية بتدخل من قبل الإنسان، لتحسين نوعية وكمية الإنتاج أو زيادة التحمل للظروف البيئية غير الملائمة، ومقاومة الأمراض، والآفات، وهذا يحدث أما بالطرق التقليدية مثل التهجين بين أنواع معينة أو من التظهير الصناعي Artificial Mutation لايجاد تراكيب وراثية جديدة، وباكتشاف الانزيمات القاطعة والتطوير السريع في مجالات الهندسة الوراثية، وسقوط الحواجز بين الأنواع أصبح بالإمكان الحصول على اعداد لامتناهية من التراكيب الوراثية الجديدة، بالاعتماد على الاساليب الحديثة للتقانة

الحيوية Biotechnology عملية نقل الجينات واستعمات تقنية زراعة الانسجة، لتنمية النباتات وفقا للظروف المسيطر عليها، وربطها بالهندسة الوراثية لانتاج نباتات بالصفات المرغوبة. وبهذا ازدادت مصادر التنوع الوراثي للنباتات ومن ثم ازدادت اعداد المصادر الوراثية للنبات. لذا تم وضع الخطط لجمع تلك المصادر، لاغلب النباتات المهمة اقتصادياً، وحتى نباتات الادغال للاستفادة من تلك المصادر لاجراء الدراسات اللازمة عليها (Powell et al., 1995). ويمكن دراسة التنوع الوراثي على مستويات عديدة وهي بين الأنواع Interspecies أو بين الافراد التابعة للنوع الواحد اي ضمن الأنواع Intraspecies، فالتنوع الوراثي بين الأنواع مهم في الدراسات التصنيفية ومعرفة طبيعة القرابة العائلية consanguinity بين أنواع الجنس الواحد، أو مدى الاختلاف بينه وبين غيره من الأنواع لماله من جوانب تطبيقية مهمة خاصة في حفظ تلك الأنواع وفي عمليات تنقية البذور باستبعاد البذور التي لا تتطابق مع البذور الاصلية، ولحفظ حقوق مربي النبات عند اكتشافه لصنف جديد، كما ان معرفة هوية النوع مفيدة لاجراء الدراسات التطويرية والبيئية عليها فضلاً عن اهميتها في تجارب التهجين (Henry, 1997).

أما دراسة التنوع الوراثي ضمن الأنواع اي الأصناف التابعة للنوع الواحد فهي مهمة لتحديد هوية الصنف وتقدير القرب أو البعد الوراثي بين الأصناف لاهميته في برامج التربية من الاختيار الانسب للأباء التي تحمل الصفات المرغوبة (Jackson, 1997)، ولدراسة التنوع الوراثي بين الافراد أو المجاميع السكانية (populations) التابعة للنوع الواحد، ذلك يعتمد عادة على الطرق التي تستعمل المؤشرات (Markers) و تختلف فيما بينها من جانب، وبين طبيعة الافراد المدروسة من جانب آخر، ويمكن تعريف المؤشر Marker بأنه التقنية والتقانة Technology and Technique التي يتم فيها الاستدلال على وجود موقع معين على الكروموسوم أو الجينوم ما يساعد في دراسة توارث صفة معينة أو جين معين، فالجينات القريبة جداً من المؤشر تتوارث معاً، وهذه المؤشرات أما ان تكون مظهرية Morphological قابلة للكشف بالعين المجردة أو ان تكون جزيئية Molecular المتناظرات الانزيمية Isozyme ومؤشرات DNA (Giovanonni et al., 1992). ومن المتطلبات التي يجب توافرها في كل المؤشرات الوراثية انها يجب ان تكون متوارثة heritable ولها القدرة على التمييز بين الافراد المدروسة، وتعطي نتائج قابلة للمقارنة، وفي نفس الوقت سهلة القياس والتطوير (Hillis and Mortiz, 2011).

تعد البصمة الوراثية في مجال النبات تعد أداة مهمة في علم الوراثة النباتية لتحديد وتوصيف التباين الجيني بين النباتات. تُستخدم تقنيات البصمة الوراثية للكشف عن الأنماط الجينية المختلفة، مما

يساعد في تحسين فهم العلاقات الوراثية، التوزيع الجغرافي، وتاريخ التطور النباتي (Roewer., 2013).

3-2 مؤشرات DNA DNA Markers

لقد اقترن التطور السريع في مجال علم البايولوجي الجزيئي بظهور نوع جديد من المؤشرات الوراثية سميت بمؤشرات DNA Markers DNA ويمكن ان تعرف بانها تتابعات من DNA يمكن الاستدلال منها على موقع معين على الكروموسوم أو الجينوم (Zaid *et al.*, 1999) وتتميز بقدرتها على اظهار التباين في توارث التتابعات المتماثلة للدنا بين الافراد، وهذه التباينات تكون ناتجة إما من الحذف deletion أو الاضافة Insertion أو اعادة الترتيب rearrangement للنيوكليوتيدات في جينوم الافراد المدروسة لاي سبب كان مثل الطفرات لذلك اعتمدت في دراسة العلاقة الوراثية بين الافراد (Paterson *et al.*, 1994) وتحديد البصمة الوراثية DNA fingerprinting وفي بناء الخرائط الوراثية Genetic maps (Botestein *et al.*, 1980)، و اصبحت من الادوات المهمة لدراسة التنوع الوراثي اذ تعد الخيار الذي لا بديل له في تطوير الخطط الملائمة في حفظ الأنواع (Berloo, 2000).

تتميز هذه المؤشرات بعدم تاثرها بنوع النسيج أو المرحلة التطورية للنسيج والكشف عن اعداد كبيرة من التباينات ما جعلها قادرة على ايجاد اي اختلاف مهما كان طفيفاً وبين اقرب الافراد، فضلا عن قدرتها على تتبع التغيرات الوراثية عبر الاجيال، لكونها تستند على قوانين مندل في التوارث (Staub *et al.*, 2010)؛ لذلك فقد تعددت مجالات تطبيقاتها ولعل من اهم هذه المجالات هو حساب مستوى التباين بين افراد الصنف الواحد وتشخيص حالة heterozygosity ومعدل حصول التلقيح الذاتي Selfing وانتخاب النباتات التي تحمل الصفات المرغوبة بعد عمليات التربية والتهجين ونقل الجينات ضمن حقل جديد يطلق عليه الانتخاب المعتمد على المؤشرات (MAS) (Masojc, 2002). وقد تم تصنيف هذه المؤشرات إلى نوعين اساسيين اعتماداً على نوع التقانة المستعملة في الكشف عنها وهي:

1-3-2 مؤشرات DNA المعتمدة على تقانة التهجين الجزيئي Molecular Hybridization Based DNA Markers

وهذه المؤشرات تشمل تباين اطوال مقاطع التقييد أو الـ (RFLP) والتي تعتمد اساساً على عملية التهجين الجزيئي للدنا المهضوم، والمثبت على اغشية خاصة مع مجس probe مناسب والذي يتكون

من جزء مكلون من الجينوم أو cDNA و يتم الكشف عن مناطق الارتباط التي تكون حسب مادة التعليم. ان منهجية الـ RFLP تعتمد على الاختلاف في طرز التقطيع الذي يحدث بسبب طفرة نيوكليوتيدة واحدة في موقع القطع أو بواسطة القطع المضافة Insertion أو المحذوفة Deletion أو المستبدلة Substitution عند تلك المواقع ما يؤدي إلى تباين اطوال القطع الناتجة .

وتتميز هذه التقنية بكون مؤشراتنا من نوع السيادة المشتركة Co-dominant، وتقع ضمن قوانين مندل لتوارث الصفات، اذ يمكن متابعة انتقال القطع إلى الاجيال اللاحقة اذ لها القدرة على تمييز الاليلات المتماثلة Homozygous عن الاليلات المتباينة Heterozygous وتتميز هذه التقنية بقدرتها على تحديد نسخة مفردة من DNA وكشفها، ولهذا تضمنت الدقة في تحليلاتها، ولا تحتاج إلى معرفة مسبقة بالتتابعات النيوكليوتيدية للدنا الهدف. ومن سماتها ايضاً الحصول على نفس النتائج عند اعادة الاختبار (Brettschneider 1998).

2-3-2 المؤشرات المعتمدة على تقنية التفاعل التضاعفي لسلسلة DNA

Polymerase Chain Reaction (PCR) Based Techniques

يمكن تعريف هذه التقنية بانها الطريقة التي يتضاعف بها تتابع دنا معين انزيمياً ملايين المرات خارج الجسم الحي *in vitro* بوجود البادئات وبزمن قصير، وبالرغم من عدم اهتمام الكثيرين به في البداية، لكن الـ PCR تعد اليوم التقنية الاكثر رواجاً في مختبرات الوراثة الجزيئية في جميع انحاء العالم، والاساس الذي تعتمد عليه كثير من الدراسات على مستوى DNA (Mullis and Fallona, 1987) لما، تتميز به من خصوصية specificity، ومن حيث قدرتها على التعامل مع اعداد كبيرة من النماذج، وكونها لا تتطلب كميات كبيرة من DNA، اذ جعلت امكانية استعمال قطرة دم أو شعرة أو حتى خلية واحدة لاجراء عمليات الـ PCR عليها، ويلزم ذلك توفر انزيم بلمرة DNA (*Taq* Polymerase) والبادئات Primers والنيوكليوسيدات منقوصة الأوكسجين الثلاثية الفوسفات (deoxynucleoside triphosphate) والمحلول المنظم (PCR buffers) الحاوي على ايونات المغنيسيوم Mg^{++} وقالب DNA (DNA Template) فضلا عن جهاز المبلمر الحراري الحلقي Thermocycler (Higuchi *et al.*, 1988).

1-2-3-2 التفاعل التضاعفي المتعدد الأشكال لسلسلة DNA أو الـ (RAPD) (RAPD) Randomly Amplified Polymorphic DNA

هي إحدى مؤشرات DNA markers المستثمرة لفعالية التفاعل التضاعفي لسلسلة PCR DNA، وصفت هذه المؤشرات لأول مرة من قبل Williams *et al.* (1990) وتعتمد في أساسها على استعمال بادئات قصيرة عشوائية Random Primers مصنعة مختبرياً ومؤلفة من (9-12) قاعدة وذات محتوى عالٍ من القاعدتين G و C وتدعى GC-rich primer إذ تتراوح نسبتها عموماً بين (60-70)%. ترتبط هذه البادئات من التفاعل التضاعفي بالمواقع المكملة لها Complementary Sites على شريطي DNA القالب، ويتم تضاعف المناطق الواقعة بين موقعي الارتباط إذ يباشر انزيم بلمرة DNA polymerase DNA بإضافة النيوكليوتيدات المناسبة عند النهاية $3'-OH$ للبادئ لذا فإن قطعة DNA المحددة بين موقعي ارتباط البادئ على طول شريط DNA القالب ستضاعف، وتكرار دورات التفاعل التضاعفي تنتج الملايين من النسخ (Williams *et al.*, 1990).

إن استعمال البادئات القصيرة ودرجة حرارة الارتباط الواطنة $36^{\circ}C$ تضمن ارتباط البادئات بعدد من المواقع المتوزعة داخل الجينوم ويتم الحصول على قطع متعددة متضاعفة يمكن فصلها على هلام الاكاروز بعد تصبيغها ببروميديد الاثيديوم ويتم الكشف عنها بالأشعة فوق البنفسجية (Lee, 1995) وان عدد الحزم المتضاعفة الناتجة من تفاعل الـ RAPD يعتمد على تسلسل البادئ ونوع DNA فضلاً عن حجم الجينوم (Rafalski, 1997). وعموماً يتراوح اعداد الحزم المتضاعفة بين (1-10) حزم وباحجام جزيئية تتراوح ما بين (200-4000) زوج قاعدي (Reiter *et al.*, 1992).

هذا ويمكن الكشف عن عدد اكبر من الحزم المتضاعفة في مؤشرات الـ RAPD بتغيير طريقة الكشف عن تلك النواتج كاستخدام DGGE (Brunel, 1994) أو باستعمال اكثر من بادئ في نفس التفاعل (Hu *et al.*, 1995).

وتظهر التباينات أو التغايرات الوراثية Genetic polymorphism بين افراد أو ضروب النوع الواحد في هذه المؤشرات على شكل اختلاف في اعداد الحزم المتضاعفة أو اختلاف في أحجامها الجزيئية (Williams *et al.*, 1993).

لقد اتسمت مؤشرات الـ RAPD بالسيادة التامة Dominant إذ ان بادئاتها لا تميز الاليات المتماثلة Homozygous عن المتباينة Heterozygous (Williams *et al.*, 1993). كما ان

الكشف عن التباينات الوراثية يتمثل بوجود أو غياب حزم التضاعف Bands للأنماط الوراثية للأفراد المدروسة (Rafalski and Tingey, 1993) وان هذه التباينات أو التغيرات تعزى إلى تبديل موقع ارتباط البادئ وتغييره Binding site بشريط DNA القالب لحدوث مختلف أنواع الطفرات كالحذف Deletion أو الإدخال Insertion أو استبدال قاعدة Base substitution في مثل المواقع المكتملة لتسلسل البادئ لدينا أفراد النوع الواحد، مما يفقده فرصة الارتباط به، لاسيما انه يتأثر بتغيير قاعدة واحدة فقط (Welsh and McClelland, 1990).

تتميز مؤشرات الـ RAPD بمميزات متعددة جعلتها الأكثر شيوعاً من ضمن المؤشرات المعتمدة على الـ PCR من أهمها قدرة هذه المؤشرات في الكشف عن مواقع متعددة من الجينوم لارتباط البادئات بأكثر من موقع فضلاً عن توزيع تلك المواقع بانتظام على طول الجينوم مقارنة مع مؤشرات الـ SSR والتي تكشف عن عدد قليل من المواقع ان لم يكن موقع واحد (Goldstein *et al.*, 1995).

كما ان البادئات المستعملة فيها عامة Universal اذ يمكن استخدام البادئ الواحد مع مدى واسع من الكائنات الحية وعليه امكانية تطبيق هذه المؤشرات على مدى واسع من الأنواع (Hallden *et al.*, 1996)؛ لذا اصبح لمؤشرات الـ RAPD تطبيقات واسعة في دراسات ايجاد البصمة الوراثية والعلاقة الوراثية وبناء الخرائط الوراثية (Carlson *et al.*, 1991) في الدراسات والبحوث التي تتناول التطور وتحديد النسب (Iqbal *et al.*, 1997).

وتعد مؤشرات الـ RAPD من الطرق السهلة نسبياً والسريعة لاعتمادها على تقانة الـ PCR فضلاً عن دقة نتائجها وكلفتها المناسبة وعدم حاجتها إلى كمية كبيرة وبنقاوة عالية من DNA الهدف ولا المعرفة المسبقة بتتابعاته النيوكليوتيدية Nucleotide sequences (Edwards, 1998).

وعند مقارنة مؤشرات الـ RAPD مع مؤشرات اخرى نجد انها اسهل بكثير من مؤشرات الـ RFLP لكونها لا تتطلب عمليات الهضم والتجهين والمجس، وطريقة الكشف التي تأخذ كثير من الوقت والكلفة والجهد (Williams *et al.*, 1993). كما تتميز عن مؤشرات الـ DAF أو AP-PCR بسهولة الكشف عن النواتج المتضاعفة باستعمال هلام الاكاروز مقارنة بمتعدد الاكربيلاميد الصعبة التنفيذ نسبياً فضلاً عن عدم احتياجه للنظائر المشعة (Williams *et al.*, 1990).

تتميز مؤشرات الـ RAPD باحتياجها إلى كميات قليلة من DNA يتراوح بين (25-50) نانوغرام ويمكن الحصول عليها من كمية قليلة من انسجة الكائنات الحية، وتكون هذه المؤشرات مهمة عندما تكون كمية DNA المتوفرة قليلة (Williams *et al.*, 1990).

بالرغم من سهولة ونجاح تطبيق هذه المؤشرات غير انها تتطلب الدقة العالية في العمل، وضبط التركيز لكافة مكونات التفاعل، وخاصة تركيز DNA القالب، وتراكم بقية المحتويات مثل انزيم بلمرة DNA، والبادئ المستعمل وايونات Mg^{+2} والـ dNTPs اذ انها تعد تقنية حساسة جداً لظروف التفاعل، و تحضير ظروف نقية خالية من اي مسبب للتلوث وعن طريق تعقيم ادوات ومستلزمات العمل وارتداء القفازات اثناء تحضير تفاعلات الـ RAPD والعمل داخل هود معقم (Muralidharan and Wakeland, 1993).

2-2-3-2 تطبيقات تقنيّة الـ RAPD على نباتات *Galium*

Application of RAPD Technique on *Galium*

تُستخدم تقنية RAPD بشكل شائع في بصمات الـ DNA fingerprinting، وتحديد العلاقات الوراثية بين الأصناف، وتقييم برامج التربية في زراعة العنب (Jaladet *et al.*, 2009) والخيار (Latha and Hanumanthappa, 2011)، والزنجبيل (Harisaranraj *et al.*, 2009) والطماطة (Patil *et al.*, 2010).

تظهر دراسة التنوع الوراثي في الانواع النباتية أنه في حالة التنوع الوراثي الضيق، يجب استخدام الأصناف البرية لإثراء القاعدة الوراثية للأصناف المزروعة (Fan-Juan *et al.*, 2010).

4-2 نباتات الدراسة

G. aparine 1-4-2

هو نوع منتشر على نطاق واسع في جنس *Galium*. وهو نبات عشبي ينتمي إلى عائلة Rubiaceae. النباتات له سلاطات زاحفة وصلبة ذات خطافات صغيرة، وأزهاره خنثى ذات بتلات بيضاء. يتواجد النبات بشكل شائع في أوروبا وآسيا وأمريكا الشمالية، وينمو على جوانب الطرق والمراعي والأماكن غير المزروعة، وأغلبه رطب (Ilina *et al.*, 2019). يمكن أن يصل ارتفاعه إلى متر واحد، وله العديد من الشعيرات اللزجة على حبيباته، والتي تلتصق بسهولة بفراء الحيوانات. ويسمى النبات "الزج" بسبب هذه الخاصية. يستخدم *G. aparine* في العلاجات الشعبية والمكملات الغذائية، وقد وجد أن مستخلصات أعشابه لها أنشطة تعديل المناعة. كما تمت دراستها أيضاً لمقاومتها لمبيدات الأعشاب وخصائصها اللاصقة، والتي ألهمت تطوير أنظمة لاصقة صناعية (Nosratti and Muhammadyari, 2019).



صورة (1-2) نبات *G. aparine* (Abbasi et al., 2015)

G. ceratopodum 2-4-2

ينمو هذا النوع داخل الطمي في الحقول وعلى المنحدرات، خاصة في المواقع المحمية (Feulner 2011). هذا النوع مشابه جدًا في البنية والمظهر لقريبه جاليوم أباراين: مجموعات من الأوراق والسيقان النحيلة مغطاة بالوخز المتجه نحو الأسفل، مما يعطي ملمسًا "الزجاجًا" (Jongbloed , 2003). الزهور تشبه أيضًا *G. aparine* لأنها صغيرة وبيضاء، على الرغم من أن الزهور في *G. ceratopodum* تظهر على شكل بخاخات وتكون أقصر من أوراق النبات (Jongbloed, 2003).

صورة (2-3) نبات *G. ceratopodum****G. setaceum* 3-4-2**

وهو نبات مزهر يتواجد في مناطق مختلفة حول العالم، منها المناطق المعتدلة (Jan et al., 2018). في باكستان، يُعرف *G. setaceum* باسم "threkh Jeshy" ويستخدم في الطب التقليدي لعلاج أمراض مختلفة (Poulin et al., 2005). تم الإبلاغ عن أن النبات له خصائص طبية مثل خصائص مهدئة ومدر للبول ومضاد للبكتيريا ومضاد للأورام ومضادات الأكسدة (Saavedra and Alcántara, 2017). بالإضافة إلى ذلك فإن *G. setaceum* عبارة عن مجموعة عشبية معمرة غزت الولايات المتحدة وهي شديدة الانتشار في هاواي (Sogonov et al., 2005). كما يعتبر من الأنواع الغازية في المناطق الساحلية للأجزاء الشرقية والجنوبية من شبه الجزيرة الأيبيرية، بما في ذلك مدينة قرطبة في إسبانيا. وقد تمت دراسة هذا النوع من حيث تنوعه الوراثي وإمكاناته الغازية.



صورة (2-3) نبات *G. setaceum* (Catuzzi, 2022)

G. spurium 4-4-2

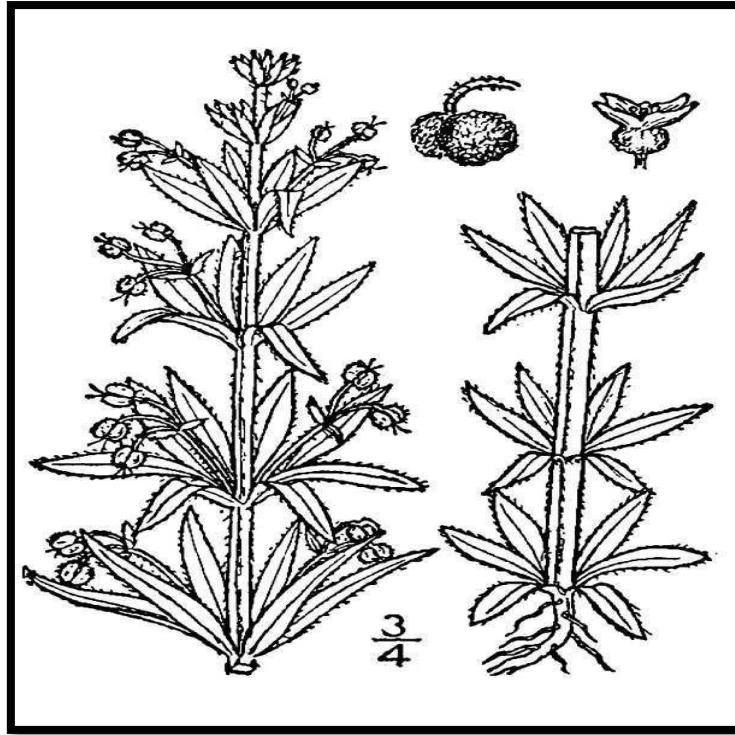
عبارة عن حشائش زراعية تتمتع بمقاومة قوية للضغط. وهي عشبة سنوية عريضة الأوراق توجد عادة في محاصيل الحبوب في جميع أنحاء العالم. *G. spurium* يقلل من إنتاجية المحاصيل عن طريق التنافس على العناصر الغذائية والتسبب في استيطان النبات، مما يقلل من معدل التمثيل الضوئي للنباتات المزروعة (Yin *et al.*, 2023). ويرتبط ارتباطاً وثيقاً بـ *G. aparine*، وهو نوع آخر من الأعشاب الضارة (Sparangis *et al.*, 2023). تمت دراسة *G. spurium* بحثاً عن جينوم البلاستيدات الخضراء، وهو جزيء دائري يبلغ طوله 153481 bp. يحتوي الجينوم على 127 جيناً، بما في ذلك جينات ترميز البروتين، وجينات الحمض النووي الريبي الناقل، وجينات الحمض النووي الريبي الريباسي (Deroo *et al.*, 2022).



صور (4-2) نبات *G. spurium* (Lee and Chang, 2015)

***G. tricornatum* 5-4-2**

وهو نبات وجد أنه يحتوي على مركبات نشطة بيولوجيا ذات خصائص علاجية محتملة. تبين أن الجزء الجوي من نبات *G. tricornatum* يحتوي على مستقلبات ثانوية، بينما تحتوي البذور على أحماض دهنية. أظهر النبات نشاطاً مضاداً للبكتيريا ضد المكورات العنقودية الذهبية والمكورات العنقودية المقيحة، بالإضافة إلى قدرته على السمية الخلوية ضد خطوط الخلايا السرطانية. حدد التحليل اللوني للغاز - التحليل الطيفي الكتلي (GC-MS) 23 مركباً في مستخلص الجزء الجوي، مع 7 مركبات تظهر بعض سمية عالية. بالإضافة إلى ذلك، تم تحديد 5 أحماض دهنية في البذور. تدعم نتائج الدراسة الاستخدام التقليدي لـ *G. tricornatum* في الطب العرقي وتسلط الضوء على إمكاناته كمصدر للمركبات النشطة بيولوجياً (Khan et al., 2022).



شكل (5-2) نبات *G. tricornatum* (Dandy, 1969)

الفصل الثالث

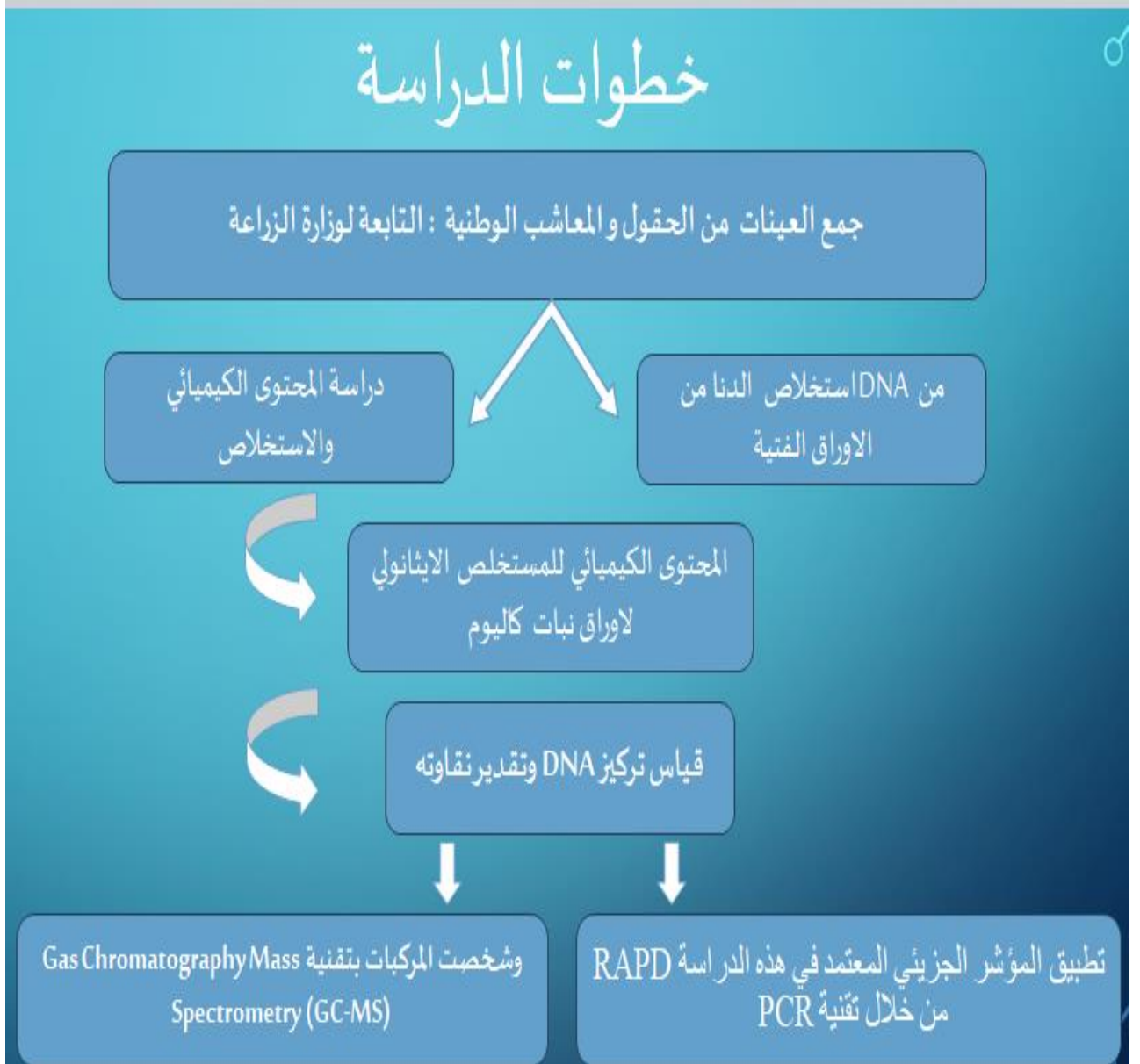
المواد وطرائق العمل

Materials and Methods

المواد وطرائق العمل

3- المواد وطرائق العمل Materials and Methods

3-1 مخطط خطوات الدراسة



الشكل (1-3) المخطط الفرضي للدراسة

2-3 جمع العينات النباتية

تم الحصول على خمسة انواع من نبات *Galium* الطرية منها عثر عليها في بعض المناطق من خلال السفارات الى محافظة بغداد وبالأخص منطقة الجادرية والمحيطة بجامعة بغداد اما العينات الجافة فتم الحصول عليها من العينات المعشبية المودعة في المعاشب العراقية الوطنية ، جدول (2) والمعتمدة من قبل مديرية دائرة زراعة بغداد، وقد تم العمل في مختبر الامين التابع للعتبة العلوية المقدسة - النجف الاشرف - العراق بالنسبة للدراسة الجزيئية والكيميائية .

جدول(1-3) الانواع المدروسة

اسم النوع	ت
<i>G. spurium</i>	1
<i>G. setaceum</i>	2
<i>G. tricornatum</i>	3
<i>G. ceratopodum</i>	4
<i>G. aparine</i>	5

3-3 اسماء ومختصرات الاماكن المأخوذة منها عينات الدراسة الحالية حسب *Holmgren et*(1990) *al.* و (1964) *Holmgren and Keuken*

تم جمع العينات من مواقع مختارة بعناية ضمن جامعة بغداد ومعاشبها الأكاديمية اذ جمعت من الحديقة

النباتية الرئيسية في جامعة بغداد وكذلك من معاشب اخرى كما في الجدول (2-3).

جدول (2-3) اسماء ومختصرات الاماكن المأخوذة منها عينات الدراسة الحالية

الرمز	اسم المعشب
BAG	المعشب الوطني
BUA	معشب كلية الزراعة/جامعة بغداد
BUH	معشب كلية العلوم/جامعة بغداد
BUE	معشب كلية التربية للعلوم الصرفة (ابن الهيثم)/جامعة بغداد
BUNH	معشب متحف التاريخ الطبيعي

3-4 المواد **Materials**3-4-1 الأجهزة والمعدات المختبرية **Laboratory Equipments and Apparatus**

استعملت الأجهزة والمعدات المختبرية المثبتة في جدول (3-3)

جدول (3-3) الأجهزة والمعدات المختبرية المستعملة في هذه الدراسة.

ت	المعدات	المنشا	الشركة المصنعة
1	الموصدة Autoclave	Japan	Sony
2	كاميرا رقمية	Japan	CYAN-Cypress
3	نظام تصوير الهلام	UK	Cleaver Scientific
	Gel documentation system		

Joagene Bioscience	Korea	جهاز الترحيل الكهربائي الافقي Horizontal Gel electrophoresis	4
Native Industrialization	USA	حاوية النيتروجين السائل Liquid Nitrogen container	5
Witeg	Germany	جهاز الطرد المركزي Microcentrifuge	6
Samsung	Germany	حمام مائي هزاز Shaking Water bath	7
Native Industrialization	UK	جهاز البلمرة الحراري Thermo cycler	8
Cleaver Scientific	England	Bio Drop	9
LAB- LINE	UK	جهاز الأشعة فوق البنفسجية UV- Transilluminator	10
Tomy	USA	محرك مغناطيسي Vortex mixer	11
Sartorius	Germany	ميزان حساس Sensitive balance	12

2-4-3 المواد الكيميائية Chemicals

استعملت المواد الكيميائية المثبتة في جدول (4-3)

جدول (4-3) المواد الكيميائية المستعملة في هذه الدراسة .

ت	المواد الكيميائية	المنشأ	الشركة المصنعة
1	آكاروز Agarose	Canada	BHD
2	ماء مقطر منزوع الايونات Deionized Distilled Water	USA	Sigma
3	كحول الايثانول	UK	GCC

		Ethanol	
Sigma	USA	صبغة بروميد الاثيديوم Ethidium Bromide stain	4
Mast Diagnostic	USA	ايذوبروبانول Isopropanol	5
محلي	العراق	النيتروجين السائل Liquid nitrogen	6
Promega	USA	دارى TBE buffer	7
Promega	USA	دارى TE buffer	8
Bioneer	Korea	الدليل الحجمي Molecular Weight marker	9
BDH	UK	كلوريد الصوديوم	10

3-5 طرق العمل Methods

3-5-1 الدراسة الجزيئية

1- البادئات Primers

جهزت البادئات المعتمدة في هذه الدراسة من قبل شركة Bioneer في شكل مجفف Lyophilized وكان عددها 8 بوادئ عشوائية لمؤشر الـ RAPD، وتم تحضيرها باستعمال دارى TE للحصول على التركيز النهائي (المحلول الأصلي) 100 بيكومول/ مايكروليتر، ومن هذا المحلول تم تحضير البادئ الذي يستعمل في تفاعل البلمرة بتركيز 10 بيكومول/ مايكروليتر. تم تخزينها في علبة بلاستيك ، جدول (3-5) (Bergoglio *et al.*, 2023) .

جدول (3-5) اسم البادئ وتسلسل النيوكليوتيدات مع المصدر.

اسم البادئ	(3' → 5') تسلسل النيوكليوتيدات
OPB18	CCACAGCAGT
OPC2	GTGAGGCGTC
OPB11	GTAGACCCGT
OPC14	TGCGTGCTTG
OPC8	TGGACCGGTG
BH10	GAGAGAGAGACC
BH11	GTGTGTGTGTGCC
BH14	CTCCTCCTCGC

2- خليط التفاعل: Reaction Mixture (Master Mix)

جهاز خليط التفاعل الرئيس Master mix من قبل شركة Bioneer في أنابيب خاصة معقمة وتحتوي كل

أنبوبة على المكونات الآتية وبالتركيز المبينة إزاء كل مادة، جدول (3-6)

جدول (3-6) مكونات خليط التفاعل الرئيس Master mix.

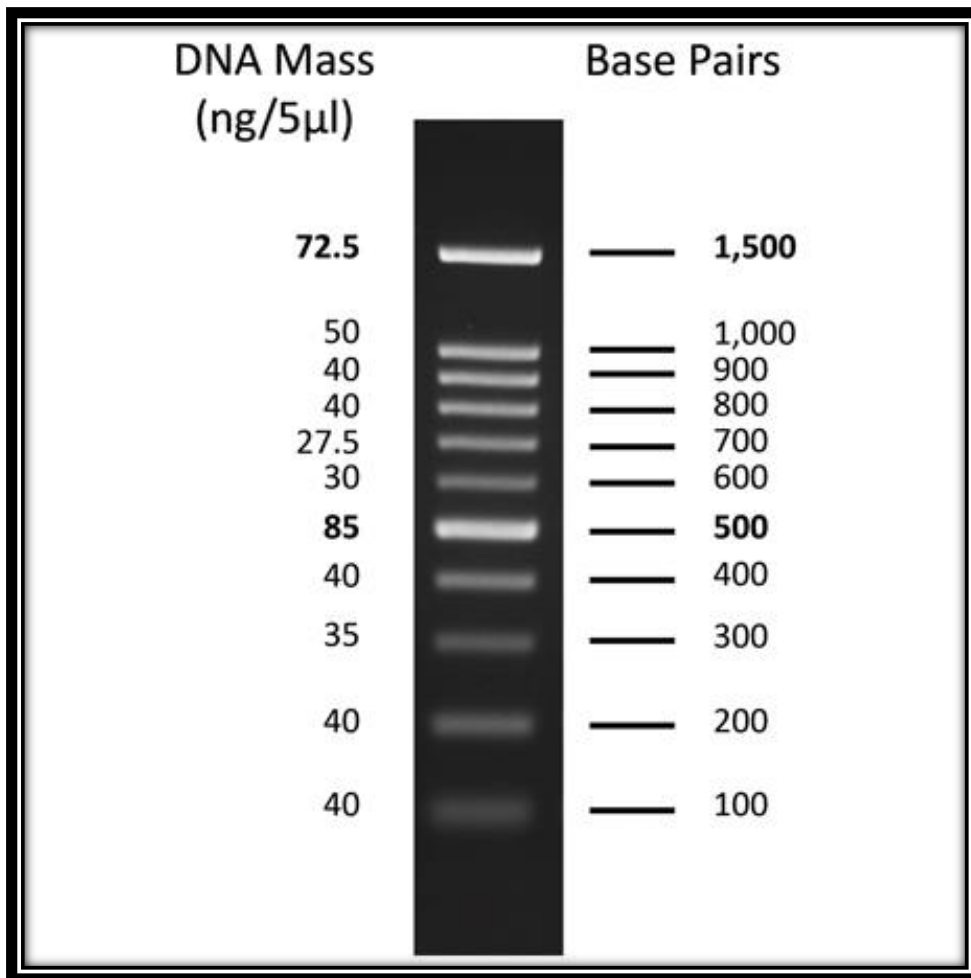
حجم التفاعل Reaction size (20µl)	المكونات Component
1Unit	DNA polymerase
250 µM	Each: dNTP (dATP, dCTP, dGTP, dTTP)
10 mM	Tris-HCl (pH 9.0)
30 mM	KCl
1.5 mM	MgCl ₂

5 μ M

Stabilizer and tracking dye

3- الدليل الحجمي للـ DNA (DNA Molecular Size of Markers)

جهاز الدليل الحجمي المستعمل في هذه الدراسة من قبل شركة Bioneer - Korea بتركيز نانوغرام/ مايكروليتر، وبحجم مايكروليتر ومدى يتراوح 100-1500 زوج قاعدي (11 حزمة).



شكل (2-3) وصف الدليل الحجمي للـ DNA.

4- عزل الـ DNA من النماذج النباتية DNA Isolation from Plant Samples

تم عزل الـ DNA من الأوراق النباتية الفتية للتراكيب الوراثية الستة المعتمدة في الدراسة باستعمال خطوات مجهزة من قبل شركة Geneaid، وهذه العدة توفر طريقة سريعة وسهلة للحصول على DNA نقي من الأنسجة النباتية وكالاتي :

1. أخذ 25 ملغم من الأوراق النباتية الفتية ووضعت في هاون خزفي وسحقت بالنتروجين السائل بإضافة حوالي 4-5 مرات من النتروجين السائل إلى أن تصبح بشكل مسحوق ناعم (powder).
2. نقل مسحوق الأوراق إلى أنبوبة ابندروف.
3. أضيف 1400 μ من GP1 buffer أو GPX1 buffer و 15 μ من RNase A إلى العينة ومزج الخليط بواسطة الهزاز .
4. حضن الخليط بدرجة حرارة 60 مئوية لمدة 10 دقائق. في هذه المدة تقلب الأنبوبة كل خمس دقائق. في نفس الوقت يوضع 100 μ من Elution buffer في أنبوبة ابندروف ووضعت في الحمام المائي لغرض استعمالها في الخطوة الأخيرة من الاستخلاص.
5. أضيف 100 μ من GP2 buffer ومزج بواسطة الهزاز وحضن في الثلج لمدة 3 دقائق.
6. وضع Filtr column في 2ml collection tube .
7. نقل المزيج إلى Filter column ونبذ لمدة دقيقة وبسرعة 1000 xg.
8. استبعد Filter column ونقل العالق في Collection tube إلى أنبوبة ابندروف جديدة.
9. أضيف 1.5 من حجم GP3 buffer (المحتوي على الأيزوبروبانول) للخليط ومزج بالهزاز لمدة 5 ثواني (مثلا 750 μ GP3 buffer إلى 500 من الخليط).
10. وضع GD column في 2ml collection .
11. نقل 1700 μ من المزيج (والمحتوي على أي راسب) إلى GD colum.
12. نبذ بسرعة 14000- 16000xg ولمدة 2 دقيقة.

13. استبعد المتدفق في 2 ml collection tube وأضيف المتبقي من الخليط إلى GD column و نبذ بسرعة 14000 - 16000 xg ولمدة 2 دقيقة.
14. استبعد المتدفق ووضع GD column في 2 ml collection tube.
15. أضيف 400 µl من W1 buffer إلى GD column ونبذ بسرعة 14000-16000 xg ولمدة 30 ثانية.
16. استبعد المتدفق ووضع GD column مرة أخرى في 2ml collection tube.
17. أضيف 600 µl من Wash buffer (المحتوي على الايثانول) إلى GD column.
18. نبذ بسرعة 14000-16000 xg ولمدة 30 ثانية.
19. استبعد المتدفق ووضع GD column مرة أخرى في 2 ml collection tube .
20. نبذ مرة أخرى ولمدة 3 دقائق وبسرعة 14000 - 16000xg لجفاف أرضية العمود.
21. (الخطوة الاختيارية) أضيف 400 µl من الأيثانول المطلق إلى GD column.
22. نبذ بسرعة 14000-16000xg ولمدة 30 ثانية.
23. استبعد المتدفق ووضع GD column مرة أخرى في 2 ml collection tube .
24. نبذ مرة أخرى ولمدة 3 دقائق وبسرعة 14000 - 16000 xg لجفاف أرضية العمود.
25. نقل GD column الجاف إلى أنبوبة ابندروف جديدة.
26. أضيف 100 µl من Elution buffer (الساخن) إلى مركز أرضية العمود في درجة حرارة 60م.
27. ترك جانبا لمدة 3-5 دقائق لكي يمتص Elution buffer من قبل أرضية العمود.
28. نبذ بسرعة 14000 - 16000 xg ولمدة 30 ثانية.

جُمعت الأوراق النباتية الفتية والمجففة، ثم جُمدت في النيتروجين السائل وطُحنت باستخدام المدقة والهاون حتى أصبحت مسحوقًا ناعمًا. أُضيف 400 ميكرو لتر من محلول العازل (Lysis buffer) إلى 100 ملغ من مسحوق الأوراق المطحون ومُزج جيدًا حتى تجانس الخليط. نُقل الخليط إلى أنبوبة طرد مركزي، وأُجري الطرد المركزي عند 12,000 دورة في الدقيقة لمدة 5 دقائق لفصل الحطام الخلوي. بعد ذلك، نُقل المحلول الفوقي (supernatant) إلى أنبوبة جديدة وأُضيف إليه 200 ميكرو لتر من محلول الربط (Binding buffer) ومُزج جيدًا. نُقل الخليط إلى عمود الربط (Binding column) في أنبوبة طرد مركزي، وأُجري الطرد المركزي عند 12,000 دورة في الدقيقة لمدة 1 دقيقة للتخلص من السائل الزائد. غُسل الـ DNA بإضافة 500 ميكرو لتر من محلول الغسل (Wash buffer) إلى العمود، وأُجري الطرد المركزي عند 12,000 دورة في الدقيقة لمدة 1 دقيقة، وكُررت خطوة الغسل مرة أخرى لضمان نقاوة الـ DNA. بعد ذلك، نُقل العمود إلى أنبوبة جديدة نظيفة، وأُضيف 50-100 ميكرو لتر من محلول الإلباس (Elution buffer) إلى وسط العمود، وتُرك لمدة 1-2 دقيقة في درجة حرارة الغرفة، ثم أُجري الطرد المركزي عند 12,000 دورة في الدقيقة لمدة 2 دقيقة لجمع الـ DNA النقي. حُفظ الـ DNA المعزول في درجة حرارة -20 مئوية للاستخدام المستقبلي. بهذه الطريقة، عُزل الـ DNA النباتي بشكل فعال، مما أتاح استخدامه في التحاليل الجزيئية المختلفة مثل تفاعل البلمرة المتسلسل (PCR) ودراسات الوراثة الجزيئية. (Roewer, 2013)

5- قياس تركيز DNA وتقدير نقاوته

تم قياس تركيز DNA وتقدير نقاوته باستخدام جهاز Bio drop عند الطولين الموجيين 260 و 280

نانومتر.



صورة (3-3) جهاز Bio drop

6- الترحيل الكهربائي على هلام الاكاروز Agarose Gel Electrophoresis

أجري الترحيل الكهربائي وفقاً لـ Sambrook و Russel (2001) كما يأتي:

1. تم إعداد لوح التحميل باستخدام لوح بلاستيك إذ تحاط حافات اللوح بشريط لاصق قوي ويثبت عليه المشط الخاص لتكوين الحفر عند احد أطراف الهلام.
2. يحضر هلام الاكاروز بتركيز 0.9% عن طريق إذابة 0.9 غم من الاكاروز في 10 مل من دارئ TBE10x ثم يكمل إلى 100 مل من الماء المقطر.
3. يسخن الخليط في فرن الميكروويف حتى يذاب كل مسحوق الاكاروز، ويستخرج المحلول من الميكروويف قبل وصوله إلى مرحلة الغليان.

4. يترك الهلام ليبرد إلى 65 درجة مئوية.
5. أضيف 5مايكروليتر من محلول بروميد الاثيديوم (10 ملغم/ مل) بعد أن يدفئ الخليط، ويخلط بلطف.
6. يسكب الهلام ببطء في رف الهلام، مع تجنب أي فقاعات في الهلام، ولا يسمح للهلام أن ينشوه ويترك لمدة تصل من 20 إلى 30 دقيقة.
7. رفع المشط والشريط اللاصق بهدوء من الاكاروز المتصلب وثبتت الصفيحة على مسندها في وحدة الترحيل الكهربائي الأفقية المتمثلة بالحوض المستعمل للترحيل الكهربائي وملئ الحوض بداري TBE بحيث يغطي سطح الهلام.
8. تم إضافة 5مايكروليتر من الدليل الحجمي DNA Ladder في أول حفرة.
9. وضع 3مايكروليتر من عينة DNA على غطاء شمعي مطاط Parafilm، وخط مع 1/2 مايكروليتر من صبغة التحميل، ومزج جيدا باستعمال ماصة دقيقة. (الذي يمثل ناتج جينوم DNA)
10. بعد ذلك تم إغلاق جهاز الترحيل الكهربائي ومرر التيار الكهربائي بمقدار 70 فولت لمدة 45 دقيقة.
11. فحص الهلام باستعمال مصدر للأشعة فوق البنفسجية UV transilluminator عند طول موجي (240، 366 نانوميتر) صور بعدها الهلام.

7- تفاعل البلمرة المتسلسل Polymerase Chain Reaction

تم تطبيق المؤشر الجزيئي المعتمد في هذه الدراسة وهو الـ RAPD من خلال تقنية PCR وفق الخطوات

الآتية:

رقم الخطوة	الخطوة
1	أجري العمل بارتداء القفازات وفي حجرة التعقيم (Hood) مع حفظ المحاليل كافة على الثلج
2	أضيفت 5 مايكروليتر من قالب DNA ، و 4 مايكروليتر من البادئ إلى أنبوبة التفاعل الرئيس (Master Reaction) الجاهزة
3	أكمل الحجم النهائي للتفاعل بإضافة الماء المقطر منزوع الأيونات ليصل

حجم المحلول إلى 20 مايكروليتر	
وُضعت الأنابيب في جهاز المبلمر الحراري (Thermocycler) على البرنامج الخاص	4

اجريت العمليات على برنامج خاص وكما يأتي:

الوقت	درجة الحرارة	الخطوة	البادئ
5 min	94C°	Initial Denaturation	جميع البادئ اعتمدت هذا البرنامج
No. of Cycles = 40 Cycles			
20 sec	94C°	Denaturation	
2 min	Available 36-40	Annealing	
1min	72C°	Extension	
10 min	72C°	Final Extension	

بعد انتهاء وقت التفاعل رفعت الأنابيب من جهاز المبلمر الحراري وباستعمال الجل المكون من مادة الاكاروز وبتركيز 1.2% حيث يتم عمل شريحة الاكاروز عن طريق أذابة المادة في محلول منظم وتسخينه حتى يصبح المحلول صافيا تماما ومن ثم صب الاكاروز في أناء خاص حتى يبرد مما ينتج عنه مادة جيلاتينية مرنة يتم استخدامها في عملية الفصل ولفترة زمنية مقدارها (2-4) ساعة وبفولتية مقدارها 70 فولت. بعدها عرضت منتجات PCR المرحلة على الهلام للأشعة فوق البنفسجية بواسطة جهاز الـ Gel documentation system للتصوير (Weigand *et al.*, 1993).

8- تحليل البيانات Data Analysis

حللت البيانات في الدراسة الجزيئية باستخدام UV band تم معرفة عدد الحزم المتضاعفة وأحجامها الجزيئية، ويمكن تحويل بيانات التوصيف Characterization data إلى جداول تبين وجود الحزمة من عدمها لكل عينة من العينات المدروسة ، وذلك بوضع 1 عند وجود الحزمة و 0 عند غيابها على التوالي في تلك الجداول. أن تقدير قيم التشابه بين زوج من العينات يتم بطرق عديدة أهمها:

1. Smilarity index: ويمكن حسابها بطريقتين أكثرها شيوعاً حسب طريقة Nei and Lei (1979) حيث يمكن تقدير قيم التشابه وكالاتي:

$$\text{Smilarity} = 2n_{xy}/n_x + n_y$$

إذ n_{xy} هي عدد الحزم المشتركة بين النموذجين المقترحين A و B مثلاً و n_x هي عدد الحزم الكلي للنموذج A و n_y عدد الحزم الكلي للنموذج B.

2. أما مقدار الاختلاف dissimilarity فيقاس عادة بطرح قيمة التشابه من الرقم 1 أي أنها تساوي (1-S) ويمكن تطبيقها على بيانات التشابه لإيجاد البعد الوراثي بين كل عينتين من العينات المدروسة استناداً على قيم التشابه بين تلك العينتين.

3-1-1-5-1 شجرة العلاقة الوراثية dendrogram

تم اعتماد Unweighted Pair Group Method with Arithmetic Average (UPGMA) للحصول على شجرة العلاقة الوراثية (النشوء والتطور) باستخدام البرنامج الإحصائي الحيوي PAST الإصدار 62.1 واعتماداً على البرنامج أعلاه تم استخراج البعد الوراثي ورسم شجرة العلاقة الوراثية (Challa, and Neelapu, 2019).

تم حساب التغيرات الشكلية وكفاءة البادئ والقدرة التمييزية لكل بادئ باستعمال المعادلات الآتية كما هو

موضح من قبل (Hunter and Gaston (1988) و (Graham and McNicol (1995).

$$\text{التغيرات الشكلية \%} = \frac{\text{عدد الحزم المتغيرة لكل بادئ}}{\text{عدد الحزم الرئيسية لكل بادئ}} \times 100$$

$$\text{القدرة التمييزية \%} = \frac{\text{عدد الحزم المتغيرة لكل بادئ}}{\text{مجموع الحزم المتغيرة لكل البادئات}} \times 100$$

$$\text{كفاءة البادئ} = \frac{\text{عدد الحزم المتغيرة لكل بادئ}}{\text{مجموع الحزم المتضاعفة لكل بادئ}}$$

3-5-2 الدراسة الكيميائية Chemical Study

3-5-2-1 تحضير المستخلص الايثانولي

استخلصت المركبات الكيميائية من الأوراق بحسب الطريقة التي ذكرها *Esma et al.* (2023) مع بعض التحوير:

1- نُظفت الأوراق لنباتية الطرية والجافة جيدا من الأتربة وأزيلت الأجزاء التالفة ثم تركت لمدة 10 أيام في درجة حرارة الغرفة لتجفيفها كليا.

2- طحنت الاوراق بواسطة الطاحونة الكهربائية لمدة تتراوح ما بين 5-10 دقائق.

3- تم استخلاص 2غم من الأجزاء النباتية المطحونة باضافة 10 مل من الايثانول المركز (96%) مع استمرار الرج لـ 25 دقيقة باستخدام جهاز الرج المغناطيسي ثم ترك في مكان مظلم وبدرجة حرارة الغرفة لمدة يوماً كاملاً.

4- رُشحت بواسطة اوراق الترشيح نوع Whatman No.1

5- أضيف الى الراشح السابق محلول الهكسان 99% وبحجم 1 مل لكي يتم التخلص من الشوائب المتبقية ولتركيز المستخلص.

6- شفط الجزء العالق المفصول بواسطة الهكسان ليصبح جاهزاً لتقدير المركبات الفعالة فيه.

3-5-2-2 فصل وتشخيص المركبات الكيميائية بتقنية GC-MS

اجري التحليل في مركز الامين التابع للعتبة العلوية في محافظة النجف باستعمال جهاز كروماتوغرافيا الغاز- مطياف الكتلة (GC-MS) Gas Chromatography- Mass Spectrometry تم فصل وتشخيص المركبات الفعالة من مستخلص المركبات الخام للأوراق النباتية للنوعين قيد الدراسة .

اذ حُلَّ المستخلص الايثانولي للأوراق بواسطة جهاز GC-MS نوع Agelint (7820A)USA GC Mass Spectrometer امريكي الصنع المرافق لنظام Clarus 500 Perkin Elmer الذي يضم وحدة التحديد التلقائي للمركبات من النوع [AOC-20] ويرتبط جهاز كروماتوغرافيا الغاز GC بجهاز الطيف الكتلي MS ووفقا للظروف الآتية :

1- عمود الفصل الشعري capillary column نوع Eliter-1 fused silica والذي سجل ابعاده (30m Dimethyle Polysiloxane 100% والذي يعمل ككاشف لقنص الإلكترون.

2- استعمل غاز الهيليوم (99.99%) كغاز ناقل بسرعة جريان ثابتة 1 مل/ دقيقة.

3- حقن الجهاز بما يقارب 2 مايكرو لتر من المستخلص الايثانولي و بنسبة انقسام (1:10).

4- برمجة درجة حرارة الى 250°م للحاقن ، و 300 م° للمصدر الأيوني.

5- تم برمجة درجة حرارة الفرن على 60°م لمدة 3 دقائق، وبزيادة تصل الى 7°م لكل دقيقة الى أن تصل الى 180 م°، بعدها 8 م° لكل دقيقة حتى تصل الى 280 م° لمدة 3 دقائق لحين النهاية.

6- نفذ طيف الكتلة بفولتية 70 بفاصل زمني للفحص مقداره 0.5 ثانية وبمعدل انشطار من 40 الى 450 دالتون.

7- الضغط داخل الجهاز : 11.933 psi.

8- الوقت المحتسب لبدء تشغيل الجهاز وانتهاءه للعينة هو 32 دقيقة.

9- استعمال برنامج TurboMass بنسخته 5.2.0 المثبت على الجهاز لحساب ناتج الطيف الكتلي لكل مركب كمقدار نسبي لمتوسط مساحة قمته Peak Area على أجمالي المساحات Total area وكل هذه المعلومات تبرمج بشكل مباشر على الجهاز للعينة النباتية قيد الدراسة.

3-2-5-3 تشخيص المركبات الكيميائية الخام

اعتماداً على نتائج الطيف الكتلي للمكون المجهول، سُخصت المركبات الكيميائية بمقارنتها مع البيانات المسجلة والمعتمدة لدى المعهد الوطني للقياس والتكنولوجيا National Institute of Standards and Technology (NIST) من خلال هوية المركب، ووزنه الجزيئي، وصيغته التركيبية والجزيئية.



صورة (3-4) صورة لجهاز كروماتوغرافيا الغاز - مطياف الكتلة Gas Chromatography- Mass Spectrometry (GC-MS).

الفصل الرابع

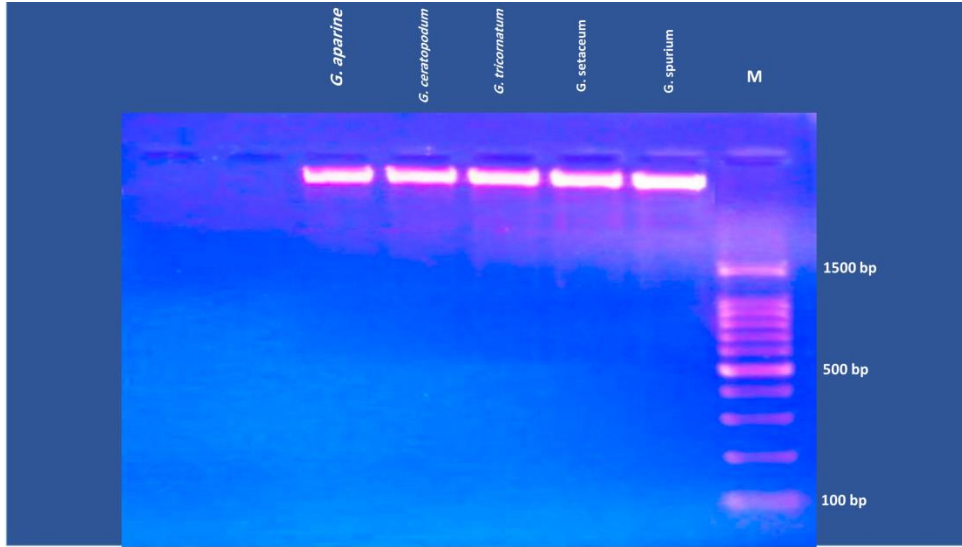
النتائج والمناقشة Results and Discussion

النتائج والمناقشة

1-4 الدراسة الجزيئية Molecular Study

1-1-4 عزل الحامض النووي Genomic DNA Isolation

تم عزل الحامض النووي الجينومي من العينات النباتية من نبات *Galium* وفق الطريقة الموصوفة بواسطة عدة خاصة جاهزة من شركة (Geneaid Biotech. Ltd; Taiwa Company) وكان تركيز الحامض النووي المعزول 873 نانوغرام/مايكروليتر وبنقاوة مقدارها 1.8 إذ تم تقديرها عن طريق جهاز Bio drop عند الطولين الموجيين 260 و280 نانوميتر وقدر الحجم الجزيئي لعينات الحامض النووي من 100 إلى 1500 زوج قاعدي وتم تحديدها باستعمال 1% من هلام الاكاروز بالترحيل الكهربائي شكل (1-4).



شكل (1-4) عينات DNA المعزولة من العينات قيد الدراسة والمرحلة على 1% من هلام الاكاروز لمدة ساعة و15 دقيقة تم استعمال Agarose gel electrophoresis لتقييم درجة مستوى الحامض النووي المعزول ، ظهر الحامض النووي ذو الحجم الجزيئي الكبير كحزمة واضحة مع حواف حادة، يفصل هلام الاكاروز بالترحيل الكهربائي جزيئات الحامض النووي ذات الأحجام المختلفة، إذ أن الجزيئات الصغيرة تتحرك بسرعة أكبر من الجزيئات أو الحزم ذات الحجم الجزيئي الاكبر، وتشير مواقعها وكثافتها إلى أنها كانت ذات نوعية جيدة وأحجام جزيئية عالية (Sambrook and Russell, 2001).

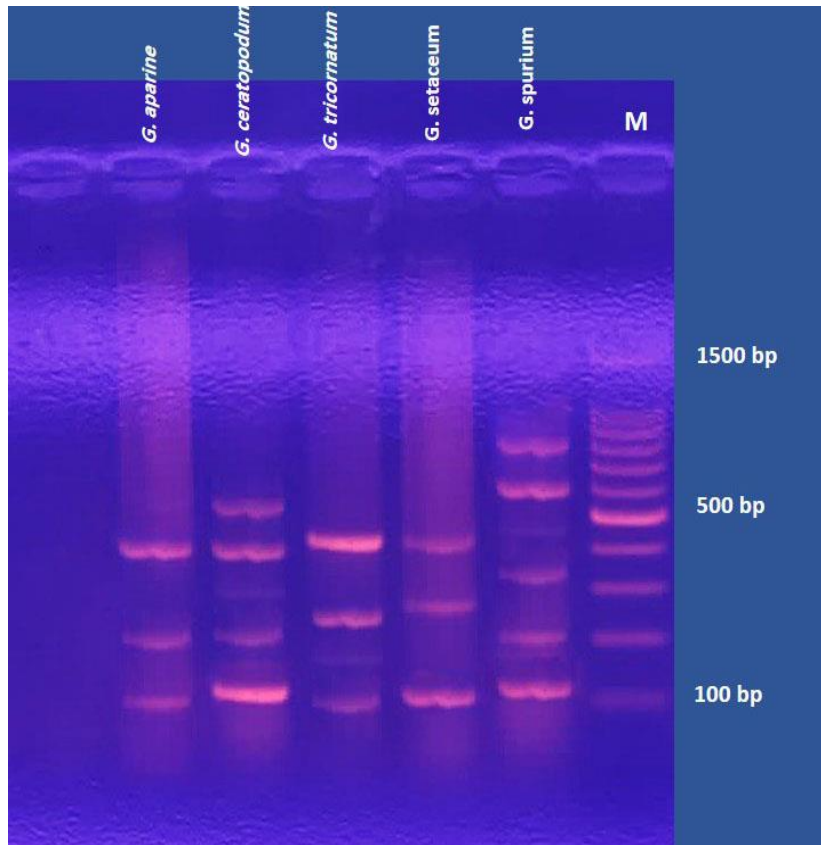
1-4-2 نتائج تضاعف DNA المعتمد على مؤشرات RAPD

أظهرت نتائج الدراسة الحالية باستعمال مؤشرات RAPD التباين بين الأنماط الجينية المدروسة عن طريق وجود حزم أحادية ومتعددة الأشكال وفريدة من نوعها أعطيت بعض البادئات بصمة فريدة لبعض الانواع العائدة للجنس *Galium* البادئات التي أعطت بصمة فريدة من نوعها هي تلك التي أنتجت عدداً كبيراً من الحزم

المتغايرة وهذا يدل على أن كل نوع كان له واحد أو أكثر من التسلسلات المحددة التي لم يتم العثور عليها في النوع الآخر. ويمكن استعمال هذه الحزم بكفاءة كعلامات وراثية لتحديد هذه الأنواع (AL-Tamimi, 2014)

1- البادئ OPB18:

تمكن هذا البادئ من التعرف على التتابعات المكتملة له في DNA الأنواع قيد الدراسة وأظهر تبايناً واضحاً في المواقع والحجم الجزيئي إذ تراوحت إجماعها بين 125-800 زوجا قاعديا، بلغ عدد الحزم المتضاعفة 23 حزمة، وعدد الحزم المتباينة 15 حزمة ، بلغت نسبة التباين الشكلي 100% وكفاءة البادئ 0.652 في حين أعطى هذا البادئ قدرة تمييزية 23.07%، (شكل 4-2) ، جدول (4-1).



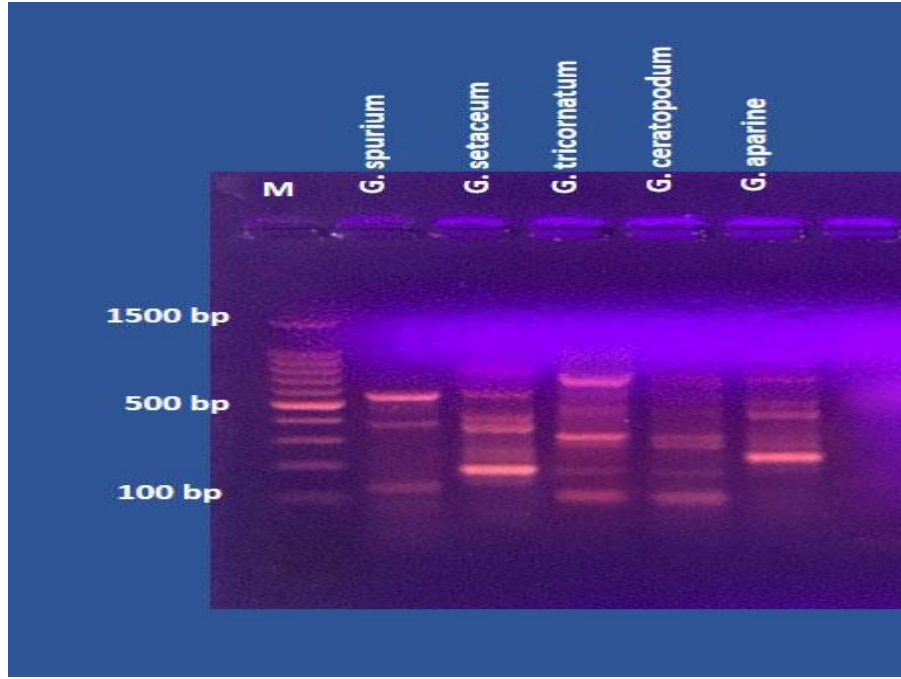
شكل (4-2) يمثل نواتج تضاعف البادئ OPB18 المرحلة على هلام الأكاروز بتركيز 1.5% لمدة ساعة ونصف مع الدليل الحجمي القياسي (M)

جدول (1-4) يمثل نواتج تضاعف البادئ OPB18 المرحلة على هلام الأكاروز بتركيز 1.5% لمدة ساعة ونصف مع الدليل الحجمي القياسي (M)

Molecular size in bp	Primer OPB18				
	G. <i>spurium</i>	G. <i>setaceum</i>	G. <i>tricornatum</i>	G. <i>ceratopodum</i>	G. <i>aparine</i>
800	1	0	0	0	0
600	1	0	0	0	0
500	0	0	0	1	0
400	1	0	0	0	0
390	0	1	1	0	0
370	0	0	0	1	1
350	1	0	0	0	0
330	0	0	0	1	0
300	0	1	0	0	0
260	0	0	1	0	0
220	1	0	0	1	1
200	1	0	1	1	0
180	1	0	0	0	0
140	0	1	0	1	0
125	0	0	1	0	1
عدد الحزم في كل تركيب	7	3	4	6	3

2. البادئ OPC2:

تمكن هذا البادئ من التعرف على التتابعات المكتملة له في DNA الانواع قيد الدراسة وأظهر تباينا واضحا في المواقع والحجم الجزيئي إذ تراوحت إحصائيا بين 130-800 زوجا قاعديا، بلغ عدد الحزم المتضاعفة 26 حزمة، وعدد الحزم المتباينة 13 حزم، بلغت نسبة التباين الشكلي 100% وكفاءة البادئ 0.5 في حين أعطى هذا البادئ قدرة تمييزية 20% (شكل 4-3)، جدول (4-2).



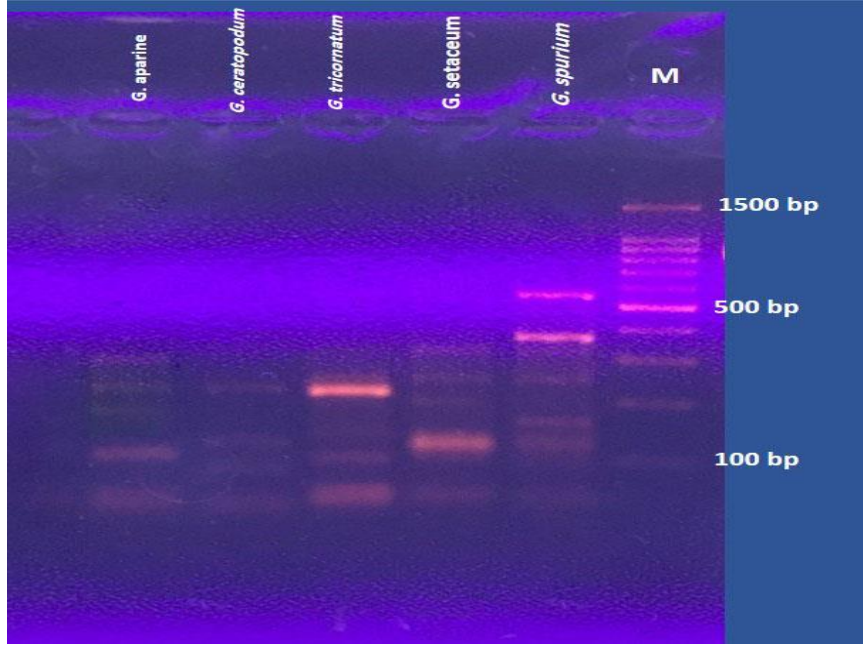
شكل (3-4) نواتج تضاعف البادئ OPC2 المرحلة على هلام الأكاروز بتركيز 1.5% لمدة ساعة ونصف مع الدليل الحجمي القياسي (M)

جدول (2-4) نواتج تضاعف البادئ OPC2 المرحلة على هلام الأكاروز بتركيز 1.5% لمدة ساعة ونصف مع الدليل الحجمي القياسي (M)

Molecular size in bp	Primer OPC2				
	<i>G. spurium</i>	<i>G. setaceum</i>	<i>G. tricornatum</i>	<i>G. ceratopodium</i>	<i>G. aparine</i>
800	0	0	1	1	1
600	1	1	1	0	0
550	0	0	0	1	0
400	0	0	1	1	1
390	0	1	0	0	0
370	1	0	0	0	0
350	0	1	0	0	0
320	0	0	1	1	0
310	0	0	1	1	0
200	0	1	1	1	1
170	0	1	0	0	0
150	1	0	0	0	0
130	0	0	1	1	0

3- البادئ OPB11:

تمكن هذا البادئ من التعرف على التتابعات المكتملة له في DNA الانواع قيد الدراسة وأظهر تبايناً واضحاً في المواقع والحجم الجزيئي إذ تراوحت إجماعها بين 100-580 زوجا قاعديا، بلغ عدد الحزم المتضاعفة 23 حزمة، وعدد الحزم المتباينة 13 حزمة ، بلغت نسبة التباير الشكلي 100% وكفاءة البادئ 0.565 في حين أعطى هذا البادئ قدرة تمييزية 20% شكل (4-4)، جدول (3-4).



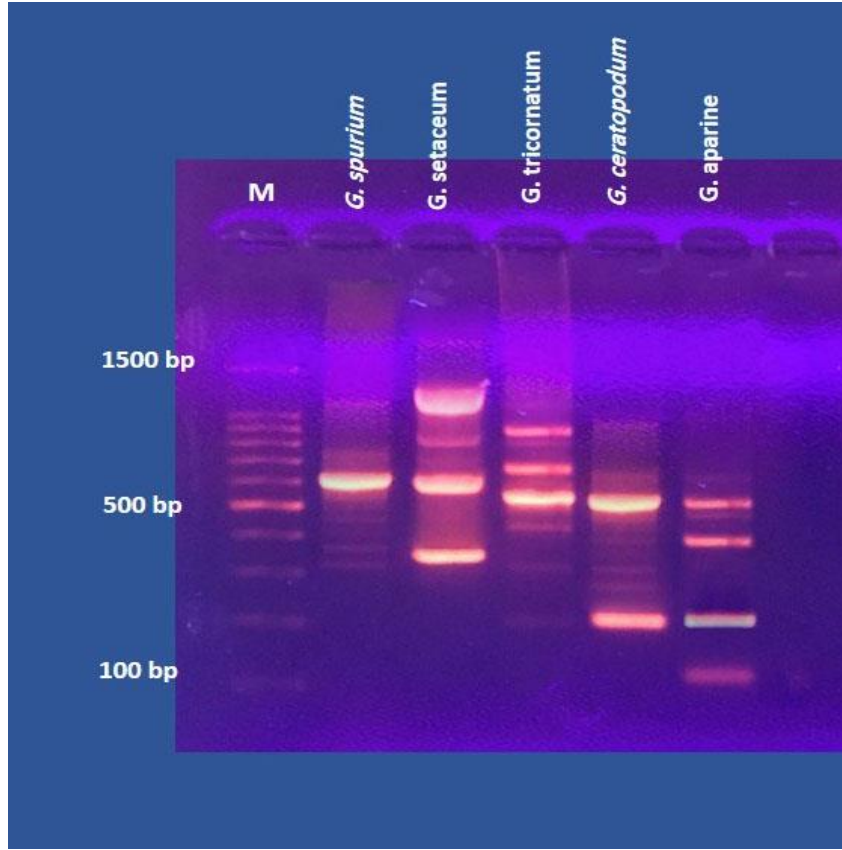
شكل (4-4) نواتج تضاعف البادئ OPB11 المرحلة على هلام الأكاروز بتركيز 1.5% لمدة ساعة ونصف مع الدليل الحجمي القياسي (M)

جدول (3-4) نواتج تضاعف البادئ OPB11 المرحلة على هلام الأكاروز بتركيز 1.5% لمدة ساعة ونصف مع الدليل الحجمي القياسي (M)

Molecular size in bp	Primer OPB11				
	G. <i>spurium</i>	G. <i>setaceum</i>	G. <i>tricornatum</i>	G. <i>ceratopodum</i>	G. <i>aparine</i>
580	1	0	0	0	0
490	1	0	0	0	0
360	0	1	0	0	0
380	0	0	0	0	1
375	1	1	0	0	0
350	0	0	1	1	1
300	0	1	0	0	0
240	1	0	0	0	1
233	1	1	0	1	0
200	0	0	1	0	1
180	0	0	0	1	0
120	1	1	1	0	1
100	0	0	0	1	0

4- البادئ OPC14:

تمكن هذا البادئ من التعرف على التتابعات المكتملة له في DNA الانواع قيد الدراسة وأظهر تباينا واضحا في المواقع والحجم الجزيئي إذ تراوحت إجماعها بين 100-1200 زوجا قاعديا، بلغ عدد الحزم المتضاعفة 28 حزمة، وعدد الحزم المتباينة 17 حزم، بلغت نسبة التباير الشكلي 100% وكفاءة البادئ 0.607 في حين أعطى هذا البادئ قدرة تمييزية 26.15% (شكل (4-5)، جدول (4-4)).



شكل (4-5) نواتج تضاعف البادئ OPC14 المرحلة على هلام الأكاروز بتركيز 1.5% لمدة ساعة ونصف مع الدليل الحجمي القياسي (M) .

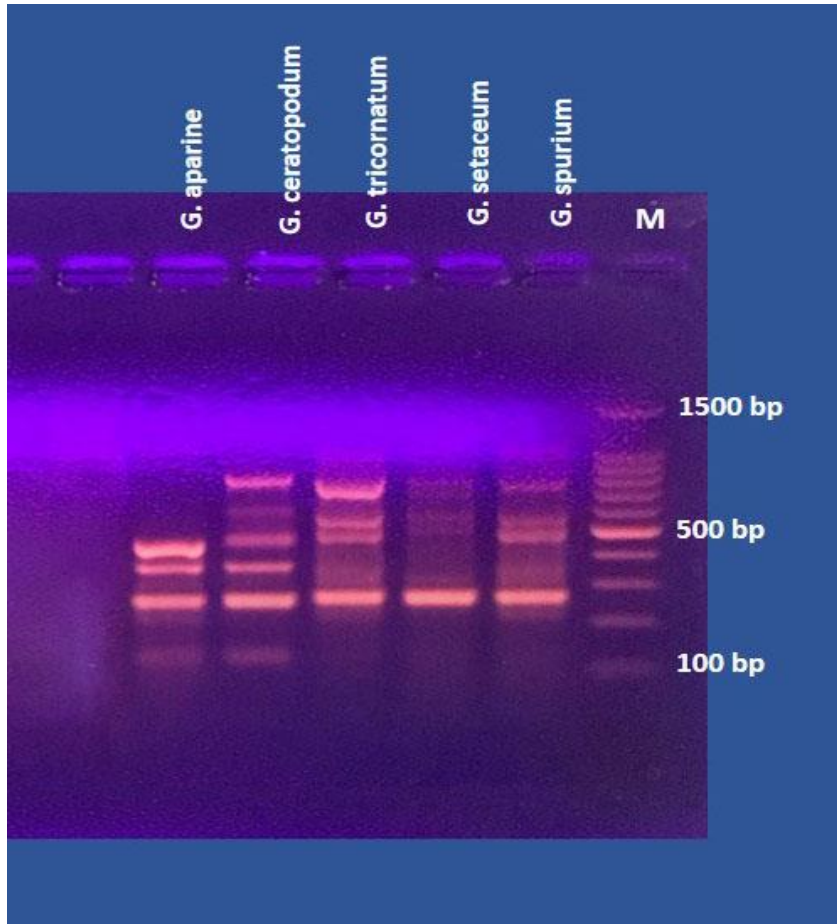
جدول (4-4) نواتج تضاعف البادئ OPC14 المرحلة على هلام الأكاروز بتركيز 1.5% لمدة ساعة ونصف مع الدليل الحجمي القياسي (M) .

Molecular size in bp	Primer OPC14				
	.G spurium	.G setaceum	.G tricornatum	.G ceratopodum	.G aparine
1200	0	1	0	0	0
1300	0	0	1	0	0
1000	0	0	1	0	0
900	0	1	1	0	0
890	1	1	0	0	0
860	0	0	1	0	0
800	1	1	0	1	1
700	0	0	1	1	1
600	1	0	0	0	0
500	0	0	1	0	0
370	0	0	0	1	1
350	1	0	0	0	0
330	0	1	0	0	0

300	1	0	1	1	0
280	0	0	0	1	0
200	0	0	1	1	1
100	0	0	0	0	1

5.البادئ OPC8:

تمكن هذا البادئ من التعرف على التتابعات المكتملة له في DNA الانواع قيد الدراسة وأظهر تباينا واضحاً في المواقع والحجم الجزيئي إذ تراوحت إجمامها بين 150-800 زوجا قاعديا، بلغ عدد الحزم المتضاعفة 20 حزمة، وعدد الحزم المتباينة 7 حزمة ، بلغت نسبة التغاير الشكلي 87.5% وكفاءة البادئ 0.35 في حين أعطى هذا البادئ قدرة تمييزية 10.76% شكل(4-6)، جدول (4-5).



شكل (4-6) نواتج تضاعف البادئ OPC8 المرحلة على هلام الأكاروز بتركيز 1.5% لمدة ساعة ونصف مع الدليل الحجمي القياسي (M) .

الجدول (5-4) نواتج تضاعف البادئ OPC8 المرحلة على هلام الأكاروز بتركيز 1.5% لمدة ساعة ونصف مع الدليل الحجمي القياسي (M) .

Molecular size in bp	Primer OPC8				
	.G spurium	.G setaceum	.G tricornatum	.G ceratopodum	.G aparine
800	1	0	1	0	0
500	1	1	1	1	0
400	0	0	0	1	0
390	1	1	1	0	0
350	0	0	0	0	1
300	0	0	0	1	1
280	1	1	1	1	1
150	0	0	0	1	1

3-1-4 تحليل نتائج الـRAPD

تم اختيار 5 من البوادئ العشوائية التي أظهرت نواتج تضاعف متباينة بين الانواع النباتية المدروسة إذ بلغت عدد الحزم المتباينة 65 حزمة من أصل 67 حزمة رئيسية وتم الحصول على أعلى عدد من الحزم المتضاعفة هي 28 حزمة من أصل 120 حزمة التي تم الحصول عليها عبر جميع جينومات الانواع قيد الدراسة من قبل البادئ OPC14 وأقل عدد من الحزم المتضاعفة 20 حزمة من قبل البادئ OPC8 وتم الحصول على أعلى عدد من الحزم الرئيسية 71 حزمة من قبل البادئ OPC14 وأقل عدد من الحزم الرئيسية 8 حزمة من قبل البادئ OPC8، وتبين أن الاختلاف في عدد الحزم الرئيسية والمتضاعفة تعود أساساً إلى تركيب البادئ وأن بعض البوادئ يمكنها أن تتعرف على أكبر عدد من مواقع الارتباط وهي أكثر فائدة من البوادئ التي تتعرف على عدد أقل من مواقع الارتباط وفي هذه الحالة سيكون عدد الحزم المتضاعفة أعلى مما يعطي فرصة أفضل للكشف عن تعدد الأشكال للحامض النووي بين الأفراد (Tahir, 2014).

النتائج التي تم الحصول عليها من تحليل RAPD في هذه الدراسة تتفق مع نتائج Dogan *et al.*, (2002)، الذي أفاد بأن عدم الاستقرار الوراثي الناجم عن معاملة النباتات بـ NaCl قد انعكس من خلال التغييرات في صورة RAPD Profile من خلال انخفاض أو زيادة شدة الحزم، واختفاء الحزم، وظهور حزم جديدة في المعاملات مقارنة مع عينة السيطرة.

يمكن الاستنتاج أنه تم العثور على عدد كبير نسبياً من الحزم مختلفة الأحجام الجزيئية ويمكن استخدامها كمؤشرات.

ويعود الاختلاف في عدد الحزم الناتجة من استعمال كل بادئ إلى الاختلاف في الأحجام الجزيئية لتلك الحزم والتي تعتمد على العدد والمواقع المكملة لتسلسلات البوادي على شريط DNA، وقد أهملت الحزم الخفيفة جداً ويتفق هذا مع (Roznowski *et al.*, 2020). فضلاً عن ذلك فإن عدد مواقع ارتباط البادئ بقالب DNA يعتمد على نوع الجينوم ومدى تعرف البادئ على تلك المواقع (Kurata. and Sasaki, 1997). ويوضح التباين المعتمد على الاختلافات في شدة Intensity وتآلق الحزم نتيجة ظهور بعض الحزم المتضاعفة معاً في الحجم الجزيئي نفسه فتظهر على شكل حزمة كثيفة واحدة هي بالحقيقة أكثر من حزمة وهي قد تكون ناتجة من حالة Homozygosity إذ يلاحظ تضاعف الموقع نفسه على الاليل الآخر ولها الحجم الجزيئي نفسه لذلك تتجمع القطع المتضاعفة في تلك المواقع معاً (Mahpara *et al.*, 2012). إن الزيادة في تركيز DNA القالب تؤدي إلى تكرار عدد نسخ DNA مما يؤدي إلى تضاعف الموقع نفسه أكثر من مرة بما أن من الصعوبة تحديد التركيز الدقيق للـ DNA لتأثره بعوامل عدة لذلك لا يمكن استعمال الاختلاف في سمك الحزم الناتجة كمقياس للتباين الوراثي وتعد مؤشرات الـ RAPD من المؤشرات التي تتبع السيادة التامة وبهذا لا يمكن تقدير عدد الاليلات للموقع الواحد (Al-Hassani, 2002) وهذا يتفق مع ما ذكره (Caetano – Anolles, 1997) بعدم الاعتماد على شدة تآلق الحزم كمقياس للتباين وذلك لصعوبة ضبط التركيز الدقيق للـ DNA.

أن أعداد الحزم الناتجة والمختلفة بين الأنواع يدل على أن توزيع المواقع المكملة للبادئات المستعملة في مؤشرات الـ RAPD لا يكون متساوياً بين الأنواع المدروسة وعليه فأن زيادة عدد الحزم ناتجة من ارتباط البادئات مع تلك المواقع (Williams *et al.*, 1993). إن وجود الحزم المشتركة بين بعض الأنواع النباتية فقط دون بقية الأنواع يمكن استثمارها بربطها بصفات معينة تشترك بها تلك الأنواع، فضلاً عن ذلك أن وجود الحزم المشتركة هي التي تجعل مؤشرات الـ RAPD أكثر مناسبة من بقية مؤشرات DNA لدراسة العلاقة الوراثية التي تستند على وجود تلك الحزم عند مقارنته للـ RAPD مع مؤشرات أخرى كـ SSR و RFLP فقد وجد بأن الـ RAPD كانت أكثر دقة وذلك لوجود الحزم المشتركة والمفقودة بين الأصناف المدروسة مقارنة الـ SSR والـ RFLP التي تتميز عادة بظهور حزمة أو حزمتين فيها على الأغلب.

وبينت النتائج في هذه الدراسة أن الحجم الجزيئي للحزم الناتجة كانت متنوعة لجميع العينات النباتية العائدة لنبات *Galium* وتراوحت بين (100 – 1200) زوجاً قاعدياً إذ سجل كل من البادئين OPC14 و OPB11 أقل حجم جزيئي والذي بلغ 100 زوج قاعدي إما أعلى حجم جزيئي فقد سجله البادئ OPC14 والذي بلغ 1200 زوج قاعدي، إذ أن هناك علاقة بين حجم القطع المتضاعفة مع تسلسل البادئ المرتبط مع قالب DNA (Mahpara *et al.*, 2012) ويمكن أن تؤدي عمليات الأدرج والحذف إلى تغيير حجم المنتج المضخم (Fadoul *et al.*, 2013).

أن تعدد الأشكال مع غياب أو وجود الحزم، ازدادت قيمته مع زيادة عدد الحزم المتغايرة (Graham and McNicol, 1995). ويختلف الفرق في مستوى تعدد الأشكال بسبب الاختلاف في عدد الموارد وأصلها وعدد البوادي المستعملة (Kirpichnikov, and Muske, 1980).

وقد أشارت AL-Judy (2004) أن الجينوم يحتوي على متواليات متطابقة ثابتة تشير إلى حفظ التسلسل للحزم المتماثلة هي نوع من هذا التسلسل والتي تكشف عن الأنماط الجينية التي تنتمي إلى نوع واحد وتشارك بعض تسلسل الجينوم وتختلف عن الآخر (AL-Tamimi, 2014).

أن كفاءة البادئ أظهرت قدرة البادئ لإعطاء نسبة كبيرة من الحزم المتعددة الأشكال وفقاً لعدد من حزم التضخيم وبالتالي فإن كفاءة البادئ ليس البادئ الذي أعطى أكبر عدد من الحزم المتضاعفة ولكن القدرة على أظهر الاختلافات بين العينات المدروسة (Newton and Graham, 1997).

عدد البادئات المطلوبة لتحديد الأنواع المختارة يعتمد على قوة التمييز مما يعني قدرته على العثور على نمط فريد للأنواع المدروسة وتزداد قوة التمييز في البادئ عن طريق زيادة عدد الأنواع المحددة باستعمال البادئات. أن كفاءة البادئ قد تظهر قدرة البادئ لإعطاء نسبة كبيرة من الحزم المتعددة الأشكال على وفق عدد من نطاقات التضخيم ومن ثم فإن كفاءة البادئ ليس البادئ الذي يعطي أكبر عدداً من الحزم المتضاعفة ولكن لديه القدرة على أظهر الاختلافات بين العينات النباتية المدروسة (AL-Tamimi, 2014).

يعد استخدام تقنية RAPD لاكتشاف مؤشرات جزيئية محددة لسماة مهمة اقتصادياً أمراً مهماً للتمييز بين الأصناف المختلفة من خلال مقارنة تعدد الأشكال في بصمات الجينومية (Islam et al., 2022).

جدول (4-6) يوضح نواتج البادئات من الحزم الرئيسية والمتضاعفة والمتباينة والمتماثلة والمنفردة مع

نسب التغيرات الشكلية وكفاءتها وقدرتها التمييزية للعينات المدروسة.

ت	البادئ	حجم القطع (زوج قاعدي)	عدد الحزم الرئيسي	عدد الحزم المتضاعفة	عدد الحزم المنفردة	التغيرات الشكلية %	القدرة التمييزية %	كفاءة البادئ
1	OPB1 8	-125 800	15	23	15	100	23.07	0.652
2	OPC2	-130	13	26	13	100	20	0.5

							800		
0.565	20	100	0	13	23	13	-100	OPB1	3
							580	1	
0.607	26.15	100	0	17	28	17	-100	OPC1	4
							1200	4	
0.35	10.76	87.5	1	7	20	8	-150	OPC8	5
							800		
			1	65	120	67		الكلي	

4-1-4 شجرة العلاقة الوراثية

الشجرة الوراثية للنباتات تقدم فوائد عديدة، منها حفظ التنوع الوراثي وتطوير الصفات المرغوبة مثل المقاومة للأمراض والإنتاجية العالية، كما تسهل الترقيم الجيني وتحديد الأصول الوراثية، وتساعد في المحافظة على الأصناف النادرة وتطوير المحاصيل بشكل مستدام، وهي بذلك تعتبر أداة أساسية في تعزيز الزراعة وتحقيق الأمن الغذائي.

كشف التحليل التجميعي (شجرة العلاقة الوراثية) إلى مجموعتين وراثيتين رئيسيتين ضمت المجموعة الأولى اثنان من الأنواع النباتية وهما *G. spurium* و *G. setaceum* في حين ضمت المجموعة الثانية الأنواع الثلاثة الأخرى المتبقية وهي *G. tricornatum*, *G. ceratopodum*, و *G. aparine*.

أن وجود نسبة من التشابه الوراثي بين الأصناف يعود على الأكثر باشتراكهما بالأليلات نفسها التي انحدر إليها من سلف مشترك ancestor وعلى هذا الأساس تبنى العلاقة الوراثية (Priyanka et al., 2013).

إن البعد الوراثي بين الأنماط الجينية وتحديد الأبوين هي مفيدة لانتقاء الآباء المناسبة والوصول إلى أقصى قوة التهجين في برامج التهجين باستعمال مؤشرات RAPD إذ تبين أن هذه الطريقة مفيدة ويمكن استعمالها لتحديد علاقات النسب والتطور بين الأنواع وكان من المرجح أن تحتوي على ملامح الحامض النووي الأكثر تميزاً على أكبر عدد من الجينات الجديدة (Fadoul et al., 2013).

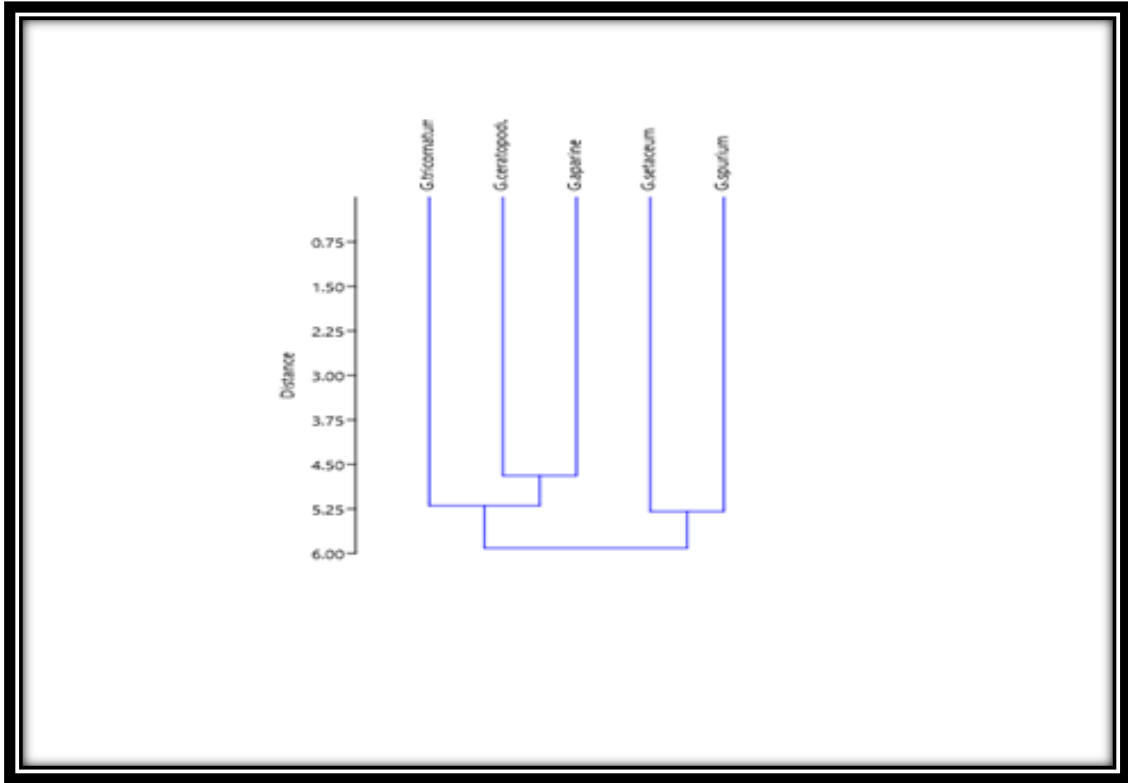
وتبرز أهمية إيجاد البعد الوراثي لمربي النبات الذي يبغى الاستفادة من التحليلات الوراثية بين الأصناف على مستوى DNA، فعلى سبيل المثال يتم اختيار أبعد صنفين عن بعضهما وراثياً كأباء لإجراء عمليات التربية للسماح بالحصول على أكبر عدد ممكن من التغيرات Widest possible crosses وفي حالات أخرى فقد

يرغب المربي إدخال صفة معينة يسيطر عليها جين أو مجموعة من الجينات لصنف معين دون تغيير كبير في المادة الوراثية لذلك الصنف الذي يحوي صفات مرغوبة ففي هذه الحالة يتم اختيار اقرب صنف يحمل تلك الصفة عن الصنف قيد الدراسة وذلك لأنه من الصعوبة إيجاد البعد الوراثي بين الأصناف اعتماداً على الصفات المظهرية (Morgante *et al.*, 2002).

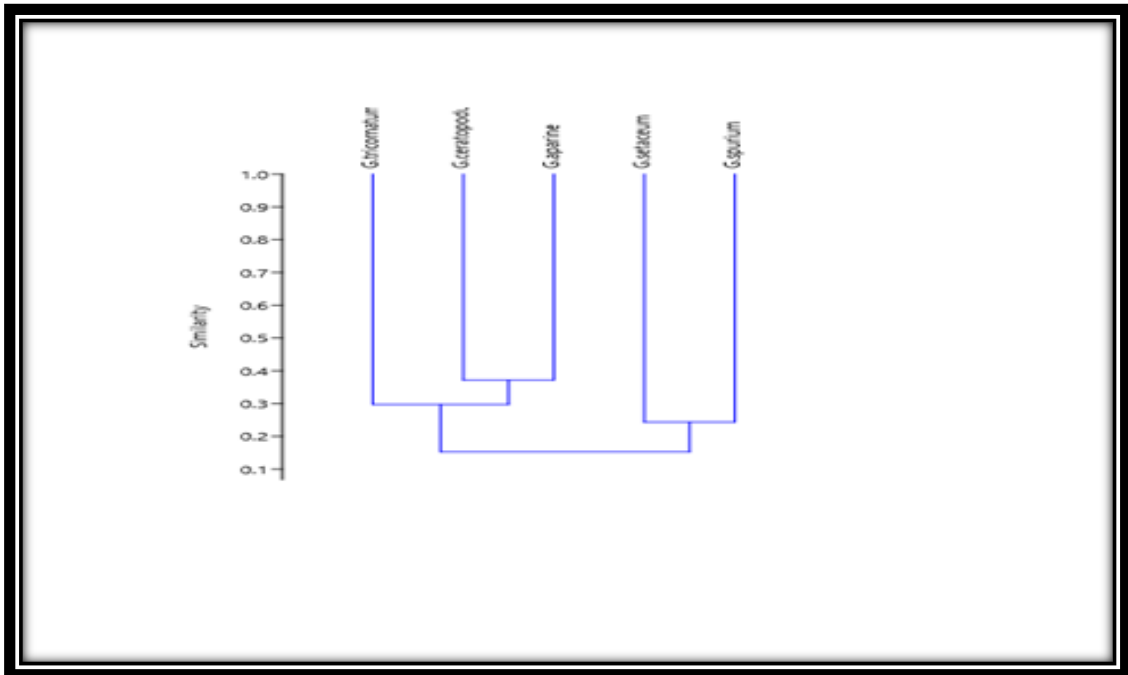
الجدول (4-7) مؤشرات التشابه والاختلاف

	G.spurium	G.setaceum	G.tricornati	G.ceratopo	G.aparine
G.spurium	0	5.2915026	5.9160798	6.244998	5.9160798
G.setaceum	5.2915026	0	5.5677644	6.0827625	5.7445626
G.tricornati	5.9160798	5.5677644	0	5.2915026	5.0990195
G.ceratopo	6.244998	6.0827625	5.2915026	0	4.6904158
G.aparine	5.9160798	5.7445626	5.0990195	4.6904158	0

	G.spurium	G.setaceum	G.tricornati	G.ceratopo	G.aparine
G.spurium	1	0.24324324	0.18604651	0.15217391	0.125
G.setaceum	0.24324324	1	0.20512821	0.13953488	0.10810811
G.tricornati	0.18604651	0.20512821	1	0.31707317	0.27777778
G.ceratopo	0.15217391	0.13953488	0.31707317	1	0.37142857
G.aparine	0.125	0.10810811	0.27777778	0.37142857	1



شكل (7-4) شجرة العلاقة الوراثية Dendrogram بين الانواع النباتية المدروسة باستعمال تحليل الـ RAPD



شكل (8-4) شجرة نسبة التشابه بين الانواع النباتية المدروسة باستعمال تحليل الـ RAPD

2-4 الدراسة الكيميائية Chemical study

استعملت تقنية الـ GC-Mass لمعرفة المحتوى الكيميائي للمستخلصات النباتية وهي المستخلص الايثانولي لاوراق العينات النباتية العائدة لنبات *Galium*.

اذ تعد المركبات الكيميائية دليلاً للعلاقات بين المراتب التصنيفية المختلفة إضافة الى أهميتها من الناحية البيولوجية، وقد أظهرت نتائج الدراسة الحالية وجود تغيرات واضحة من حيث أنواع واعداد المركبات الكيميائية في كل مستخلص من المستخلصات المذكورة أعلاه بعد التأكد منها من خلال المقارنة مع المكتبة الالكترونية الكيميائية من حيث زمن الاحتجاز Retention time، الكتلة الدقيقة لكل مركب Exact mass، التركيب الكيميائي Chemical structure، الصيغة الجزيئية Molecular formula، الوزن الجزيئي Molecular weight، ونوع المركب الكيميائي Classification.

تم أحصاء عشر مركبات لكل نوع ماعدا النوع *G. setaceum* إحدى عشر مركب وسجل أقل وقت احتجاز في النوع *G. spurim* في وقت (13.499) بينما سجل أعلى وقت احتجاز في النوع *G. ceratopodum* والبالغ (46.608) وقد تم أحصاء المركبات التالية لكل نوع كالتالي:

تم أحصاء عشر مركبات لكل نوع ماعدا النوع (*G. setaceum*) إحدى عشر مركب وسجل أقل وقت احتجاز في النوع *G. spurim* في وقت (13.499) بينما سجل أعلى وقت احتجاز في النوع *G. ceratopodum* والبالغ (46.608) وقد تم أحصاء المركبات التالية لكل نوع كالتالي:

1- *G. aparine*

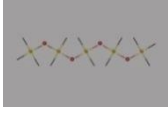
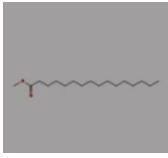
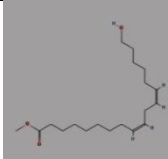
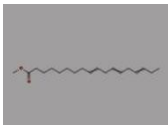
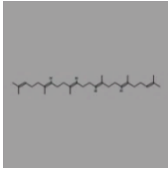
توصلت الدراسة الحالية الى رصد عشر أنواع من المركبات الكيميائية في المستخلص الايثانولي لنبات *G. aparine* وبحسب زمن الاحتجاز بالدقيقة وعلى التوالي 17.780، 25.511، 28.167، 28.271، 37.828، 40.859، 41.289، 43.546، 43.863، 45.181، اما المركبات الكيميائية فقط ظهرت كالتالي:-

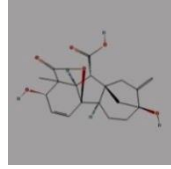
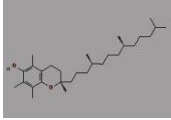
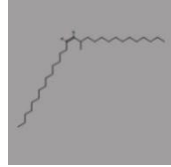
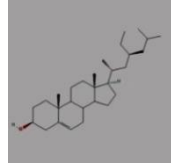
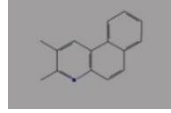
Hexadecanoic acid، ؛ Pentasiloxane، dodecamethyl- Dodecamethylpentasiloxane methyl ester (CAS) Methyl palmitate Methyl hexadecanoate Methyl n-Octadecatrienoic -9,12,15 ؛ Octadecadienoic acid, methyl este-9,12 ؛ hexadecanoate -2,6,10,14,18,22 ؛ acid, methyl ester (CAS) Methyl 9,12,15-octadecatrienoate Tetracosahexaene، 2,6,10,15,19,23-hexamethyl- (CAS) Squalene Skvalen Gibberellin A3 Gibb-3-ene-1,10-dicarboxylic acid، 2,4a,7- ؛ Supraene S Methyl--13 ؛ Vitamin e ؛ trihydroxy-1-methyl-8-methylene-, 1,4a-lactone, (1.alpha S)-ethylcholest-5-en-3.beta.-ol Cholest-5-en-3-ol، 23-ethyl-, 23) ؛ Z-14-nonacosene (CAS) (3.beta.,23S)- ؛ dimethyl-4-azaphenanthrene-1,3. ومن النتائج اعلاه يتضح لنا اقل زمن احتجاز عند المركب Pentasiloxane، dodecamethyl- Dodecamethylpentasiloxane وبلغ

(17.780) دقيقة ، بينما سجل أعلى زمن احتجاز عند المركب 1,3-dimethyl-4-azaphenanthrene وبلغ (45.181) وقد ادرجت قراءة جهاز المطياف الغازي للمركبات الفعالة في مستخلص نبات *G. aparine*

و يحتوي هذا النبات على مجموعة متنوعة من المواد الفعالة ، ففي دراسة اجراها (2019) Ilna et al وجد ان هذا النوع يحتوي على مشتقات حمض الهيدروكسيسيناميك والفلافونويدات والبوليفينول والإيريديويدات. يتكون المركب المحب للدهون لعشب *G. aparine* من سيسكيتربينويدات، ومركبات عطرية، وألكانات أعلى، وأحماض دهنية، وكلوروفيل، وكاروتينات، وإيريديويدات (Goryacha et al., 2014). لقد ثبت أن المكون الرئيسي لـ *G. aparine*، وهو الأسارون، فعال في علاج الاضطرابات العصبية ويمتلك تأثيرات وقائية عصبية (Kim et al., 2022). بالإضافة إلى ذلك، فإن مستخلص *G. aparine* له تأثيرات مضادة للتكاثر وموت الخلايا المبرمج على خلايا سرطان الثدي ويمكن أن يقلل من إفراز الساييتوكينات المؤيدة لتكوين الأوعية (Atmaca et al., 2017). وكذلك فان كيرسيتين، ولوتولين، وأبيجينين، وهيسبيريتين، ولينارين، وكايمفيرول-3-نيوهيسبيريدوز، وتاماريكسيتين-3-روتينوسايد، وهيسبيريدين هي بعض المكونات الكيميائية الموجودة في هذا النوع (Li et al., 2010).

جدول (4-8) التحليل الكيميائي لمستخلص النبات *G. aparine*

No.	Chemical name	Retention time	Chemical structure	Molecular formula	Molecular weight
1	Pentasiloxane, dodecamethyl- Dodecamethylpentasiloxane	17.780		C ₁₂ H ₃₆ O ₄ Si ₅	384.84
2	Hexadecanoic acid, methyl ester (CAS) Methyl palmitate Methyl hexadecanoate Methyl n-hexadecanoate	25.511		C ₁₇ H ₃₄ O ₂	270.5
3	9,12-Octadecadienoic acid, methyl este	28.167		C ₁₉ H ₃₄ O ₃	310.5
4	9,12,15-Octadecatrienoic acid, methyl ester (CAS) Methyl 9,12,15-octadecatrienoate	28.271		C ₁₉ H ₃₂ O ₂	292.5
5	2,6,10,14,18,22-Tetracosahexaene, 2,6,10,15,19,23-hexamethyl- (CAS) Squalene Skvalen Supraene S	37.828		C ₃₀ H ₅₀	410.7

6	Gibberellin A3 Gibb-3-ene-1,10-dicarboxylic acid, 2,4a,7-trihydroxy-1-methyl-8-methylene-, 1,4a-lactone, (1.alpha	40.859		C19H22O6	346.4
7	Vitamin e	41.289		C29H50O2	430.7
8	13-Methyl-Z-14-nonacosene	43.546		C30H60	420.8
9	(23S)-ethylcholest-5-en-3.beta.-ol Cholest-5-en-3-ol, 23-ethyl-, (3.beta.,23S)- (CAS	43.863		C29H50O	414.7
10	1,3-dimethyl-4-azaphenanthrene	45.181		C15H13N	207.27

G. ceratopodum -2

تم رصد عشر انواع من المركبات الكيميائية في المستخلص الايثانولي لنبات *G. ceratopodum* ومعظمها ذات خصائص بيولوجية وبحسب زمن الاحتجاز بالدقيقة وعلى التوالي 14.148 ، 17.780 ، 24.037 ، 25.506 ، 28.266 ، 37.823 ، 41.289 ، 43.863 ، 45.181 ، 46.608 ، كما في الجدول (2-3) وهذه المركبات هي:-

Cyclohexasiloxane, dodecamethyl- Dodecamethylcyclohexasiloxane

Azaestra-1,3,5(10),6,8-pentaen-17-one, 3-methoxy- (CAS) 3-METHOXY-6--6 ؛
AZA-1,3,5(10),6,8(9)-ESTRAPEN


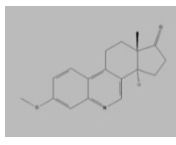
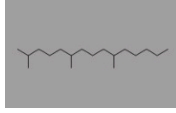
؛ NEOPHYTADIENE 2,6,10-TRIMETHYL,14-ETHYLENE-14-PENTADECNE ؛
Hexadecanoic acid, methyl ester (CAS) Methyl palmitate Methyl
Octadecatrienoic acid, methyl -9,12,15 ؛ hexadecanoate Methyl n-hexadecanoate
ester, (Z,Z,Z)- Linolenic acid, methyl ester Methyl all-cis-9,12,15-
C30H50 37.8232,6,10,14,18,22-Tetracosahexaene, 2,6,10,15,19,23-410.7 ؛ octadec
hexamethyl- (CAS) Squalene Skvalen Supraene S6

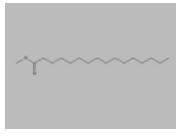
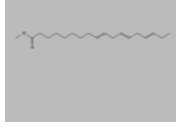
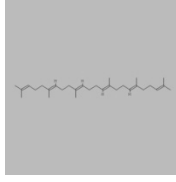
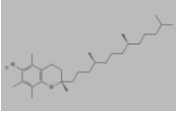
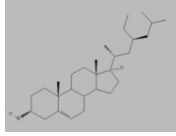
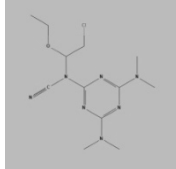
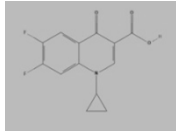
S)-ethylcholest-5-en-3.beta.-ol Cholest-5-en-3-ol, 23-ethyl-, 23) ؛ Vitamin e
 C12H20CIN7O 45.181N-Cyano-N',N',N'',N''-313.79 ؛ ((3.beta.,23S)- (CAS
 Quinolinecarboxylic acid, 6,7-difluoro-1,4--3 ؛ tetramethyl-1,3,5-triazinetriamine9
 dihydro-4-oxo-, ethyleste

Cyclohexasiloxane, dodecamethyl- حيث سجل المركب
 Dodecamethylcyclohexasiloxane اقل زمن احتجاز بلغ (14.148)دقيقة ، بينما بلغ اعلى زمن احتجاز
 (46.608) دقيقة عند المركب 3-، 6,7-difluoro-1,4-dihydro-4-oxo-, -3
 ethyleste ، وقد ادرجت قراءة جهاز المطياف الغازي للمركبات الفعالة في مستخلص نبات *G. ceratopodum*

ونتيجة لاحتوائه على هذه المركبات فقد وجد ان له تأثيرات علاجية على حالات مختلفة. لقد وجد أنه يعزز
 التئام الجروح عن طريق زيادة هجرة البشرة وتكوين الأنسجة الحبيبية والأوعية الدموية داخل الأنسجة (Seo
 and Roh, 2001). بالإضافة إلى ذلك، يمتلك *G. ceratopodum* تأثيرات وقائية للكبد ومضادة للتليف، مما
 يجعله علاجاً محتملاً لالتهاب الكبد وتليفه (Su et al., 2013). علاوة على ذلك، فقد ثبت أنه أقل سمية كلوية
 من السيكلوسبورين، مما يجعله عامل مثبط للمناعة واعدًا مع مؤشر علاجي أعلى (Limbach et al., 2022).
 كما و يُظهر *G. ceratopodum* خصائص مضادة للأكسدة ومضادة للالتهابات، والتي يمكن أن تكون مفيدة في
 علاج الأمراض المختلفة المرتبطة بالإجهاد التأكسدي، مثل أمراض التنكس العصبي، وإصابة عضلة القلب،
 وتلف الكبد (De et al., 2020).

الجدول (9-4) التحليل الكيميائي لمستخلص نبات *G. ceratopodum*

No.	Chemical name	Retention time	Chemical structure	Molecular formula	Molecular weight
1	Cyclohexasiloxane, dodecamethyl- Dodecamethylcyclohexasiloxane 73.0	14.148		C12H36O6Si6	444.92
2	6-Azaestra-1,3,5(10),6,8- pentaen-17-one, 3-methoxy- (CAS) 3-METHOXY-6-AZA- 1,3,5(10),6,8(9)-ESTRAPEN	17.780		C18H19NO2	281.3
3	NEOPHYTADIENE 2,6,10- TRIMETHYL,14-ETHYLENE- 14-PENTADECNE	24.037		C18H38	254.5

4	Hexadecanoic acid, methyl ester (CAS) Methyl palmitate Methyl hexadecanoate Methyl n-hexadecanoate	25.506		C17H34O2	270.5
5	9,12,15-Octadecatrienoic acid, methyl ester, (Z,Z,Z)- Linolenic acid, methyl ester Methyl all-cis-9,12,15-octadec	28.266		C19H32O2	292.5
6	2,6,10,14,18,22- Tetracosahexaene, 2,6,10,15,19,23-hexamethyl- (CAS) Squalene Skvalen Supraene S	37.823		C30H50	410.7
7	Vitamin e	41.289		C29H50O2	430.7
8	(23S)-ethylcholest-5-en-3.beta.- ol Cholest-5-en-3-ol, 23-ethyl-, (3.beta.,23S)- (CAS)	43.863		C29H50O	414.7
9	N-Cyano-N',N'',N''',N''''- tetramethyl-1,3,5- triazinetriamine	45.181		C12H20CN7O	313.79
10	3-Quinolinecarboxylic acid, 6,7- difluoro-1,4-dihydro-4-oxo-, ethyleste	46.608		C13H9F2NO3	265.21

G. setaceum -3

وجدت الدراسة الحالية احدى عشر نوعاً من المركبات الكيميائية في مستخلص الايثانولي لنبات G. Setaceum وبحسب زمن الاحتجاز وعلى التوالي 14.163 ، 17.780 ، 24.042 ، 25.505 ، 28.167 ، 28.463 ، 28.655 ، 37.834 ، 41.295 ، 42.991 ، 43.873 ، وهذا المركبات هي كالتالي:-

Cyclohexasiloxane, dodecamethyl- Dodecamethylcyclohexasiloxane
NEOPHYTADIENE ؛ Pentasiloxane, dodecamethyl- Dodecamethylpentasiloxane ؛

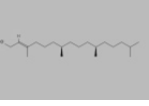
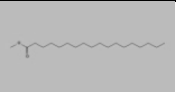
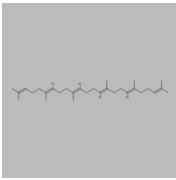
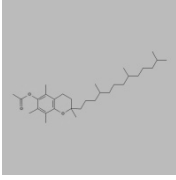
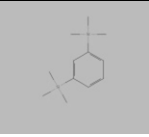
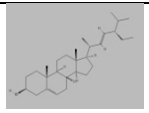
Hexadecanoic acid, methyl ester ; 2,6,10-TRIMETHYL,14-ETHYLENE-14-PENTADECNE
 methyl ester Palmitic acid, methyl ester n-Hexadecanoic acid methyl ester
 Phytol ; Octadecadienoic acid (Z,Z)-, methyl ester-9,12 ; Metholene 2
 Tetracosahexaene, -2,6,10,14,18,22 ; Octadecanoic acid, methyl ester ;
 Vitamin e ; 2,6,10,15,19,23-hexamethyl- (CAS) Squalene Skvalen Supraene S
 dl-.alpha.-Tocopherol 2H-1-Benzopyran-6-ol, 3,4-dihydro-2,5,7,8-tetramethyl-2-
 Stigmasterol, 22,23- ; Bis(trimethylsilyl)benzene-1,3 ; (4,8,12-trimethyltridecyl
 -dihydro

وتبين من خلال النتائج اعلاه ان المركب Cyclohexasiloxane, dodecamethyl-
 Dodecamethylcyclohexasiloxane سجل اقل زمن احتجاز بلغ (14.163) دقيقة بينما سجل المركب
 Stigmasterol, 22,23-dihydro- اعلى زمن احتجاز وبلغ (43.873)

هذه المركبات جعلت له استخدامات طبية مختلفة، اذ يتم استخدامه في الطب التقليدي لعلاج الجروح
 والقروح وحب الشباب ومشاكل الجلد. كما أن له خصائص مهدئة ومدرة للبول ومضادة للبكتيريا ومضادة للأورام
 ومضادة للأكسدة (Jan et al., 2018).

الجدول (10-4) التحليل الكيميائي لمستخلص نبات *G. Setaceum*

No.	Chemical name	Retention time	Chemical structure	Molecular formula	Molecular weight
1	Cyclohexasiloxane, dodecamethyl- Dodecamethylcyclohexasiloxane	14.163		C ₁₂ H ₃₆ O ₆ Si ₆	444.92
2	Pentasiloxane, dodecamethyl- Dodecamethylpentasiloxane	17.780		C ₁₂ H ₃₆ O ₄ Si ₅	384.84
3	NEOPHYTADIENE 2,6,10- TRIMETHYL,14-ETHYLENE- 14-PENTADECNE	24.042		C ₁₈ H ₃₈	254.5
4	Hexadecanoic acid, methyl ester Palmitic acid, methyl ester n- Hexadecanoic acid methyl ester Metholene 2	25.505		C ₁₇ H ₃₂ O ₂	270.5
5	Octadecadienoic acid -9,12 (Z,Z)-, methyl ester	28.167		C ₁₉ H ₃₄ O ₃	310.5

6	Phytol	28.463		C ₂₀ H ₄₀ O	296.5
7	Octadecanoic acid, methyl ester	28.655		C ₁₉ H ₃₄ O ₃	296.5
8	-2,6,10,14,18,22 Tetracosahexaene, 2,6,10,15,19,23-hexamethyl- (CAS) Squalene Skvalen Supraene S	37.834		C ₃₀ H ₅₀	326.6
9	Vitamin e dl-.alpha.- Tocopherol 2H-1-Benzopyran- 6-ol, 3,4-dihydro-2,5,7,8- tetramethyl-2-(4,8,12- trimethyltridec	41.295		C ₃₁ H ₅₂ O ₃	472.7
10	Bis(trimethylsilyl)benzene-1,3	42.991		C ₁₂ H ₂₂ Si ₂	222.47
11	Stigmasterol, 22,23-dihydro-	43.873		C ₂₉ H ₄₈ O	412.7

G. spurium -4

سجلت عشر انواع من المركبات الكيميائية في مستخلص الايثانولي لنبات *G. spurium* وبحسب زمن لاحتجاز بالدقيقة وعلى التوالي 13.499 ، 17.780 ، 24.037 ، 25.511 ، 28.276 ، 37.829 ، 41.295 ، 42.991 ، 43.873 ، 44.797 ، والمركبات الكيميائية وجدت كالآتي :-

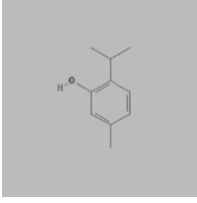

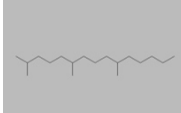
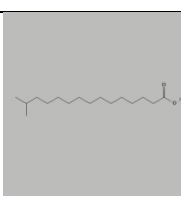
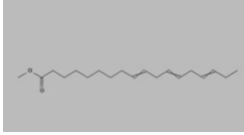
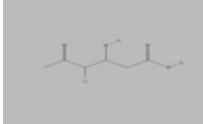
Abundance#46669: Phenol, 5-methyl-2-(1-methylethyl)- (CAS) Thymol m-Thymol Pentasiloxane, dodecamethyl- ؛ p-Cymen-3-ol Thyme camphor 3-Hydrox NEOPHYTADIENE 2,6,10-TRIMETHYL,14- ؛ Dodecamethylpentasiloxane Pentadecanoic acid, 14-methyl-, methyl ester ؛ ETHYLENE-14-PENTADECNE -9,12,15 ؛ (CAS) METHYL 14-METHYL-PENTADECANOATE 14-METHY Octadecatrienoic acid, methyl ester, (Z,Z,Z)- Linolenic acid, methyl ester Methyl Vitamin ؛ Geranyloxy-3-hydroxy-5-methoxyphthalaldehyde-4 ؛ all-cis-9,12,15-octade e dl-.alpha.-Tocopherol 2H-1-Benzopyran-6-ol, 3,4-dihydro-2,5,7,8-tetramethyl-2- Cyclohexadien-1-one, 3,5-bis(1,1-dimethylethyl)-4--2,4 ؛ (4,8,12-trimethyltridecyl

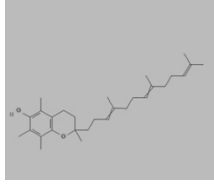
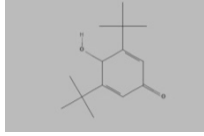
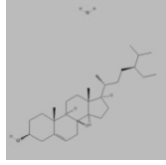
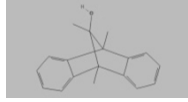
Methanoanthracen-11-ol, 9,10-dihydro-9,10,11--9,10 ؛ gamma.-Sitosterol. ؛ -hydroxy
-trimethyl

واتضح ان المركب (CAS) Abundance#46669 Phenol, 5-methyl-2-(1-methylethyl)-
Thymol m-Thymol p-Cymen-3-ol Thyme camphor 3-Hydrox
-Methanoanthracen-11-ol, 9,10-dihydro-9,10 سجل المركب (13.499) دقيقة في حين سجل المركب
9,10,11-trimethyl- (44.797) . وقد ادرجت قراءة جهاز المطياف الغازي
للمركبات الفعالة في مستخلص نبات *G.spurium*

تم استخدام *G. spurium* في الطب الشعبي لعلاج آلام العظام والأوتار، والبييلة الدموية، وكعامل مضاد
للسرطان. تم الإبلاغ عن أن له نشاطاً منبهاً للمناعة ومضاداً للاورام (Yang et al., 2011).

الجدول (11-4) التحليل الكيميائي لمستخلص نبات *G. spurium*

No.	Chemical name	Retention time	Chemical structure	Molecular formula	Molecular weight
1	Abundance#46669: Phenol, 5-methyl-2-(1-methylethyl)- (CAS) Thymol m-Thymol p-Cymen-3-ol Thyme camphor 3-Hydrox	13.499		C10H14O	150.22
2	Pentasiloxane, dodecamethyl-Dodecamethylpentasiloxane	17.780		C12H36O4Si5	384.84
3	NEOPHYTADIENE 2,6,10-TRIMETHYL,14-ETHYLENE-14-PENTADECNE	24.037		C18H38	254.5
4	Pentadecanoic acid, 14-methyl-, methyl ester (CAS) METHYL 14-METHYL-PENTADECANOATE 14-METHY	25.511		C16H32O2	256.42
5	9,12,15-Octadecatrienoic acid, methyl ester, (Z,Z,Z)- Linolenic acid, methyl ester Methyl all-cis-9,12,15-octade	28.276		C19H32O2	292.5
6	Geranyloxy-3-hydroxy-5--4 methoxyphthalaldehyde	37.829		C7H12O3	168.15

7	Vitamin e dl-.alpha.-Tocopherol 2H-1-Benzopyran-6-ol, 3,4- dihydro-2,5,7,8-tetramethyl-2- (4,8,12-trimethyltridecyl	41.295		C45H80O3	424.7
8	2,4-Cyclohexadien-1-one, 3,5- bis(1,1-dimethylethyl)-4-hydroxy-	42.991		C14H22O2	222.32
9	gamma.-Sitosterol.	43.873		C29H52O2	432.7
10	9,10-Methanoanthracen-11-ol, 9,10-dihydro-9,10,11-trimethyl-	44.797		C18H18O	250.3

G. tricornatum -5

تبين من خلال نتائج الدراسة الحالية عشر انواع من المركبات الكيميائية في المستخلص الميثانولي لنبات *G. tricornatum* وبحسب زمن لاحتجاز بالدقيقة وعلى التوالي 14.148 ، 43.821 ، 41.289 ، 37.823 ، 28.447 ، 28.261 ، 25.500 ، 24.037 ، 17.780 ، 44.024 ، والمركبات الكيميائية ظهرت كالآتي :-

؛ Cyclohexasiloxane, dodecamethyl- Dodecamethylcyclohexasiloxane
NEOPHYTADIENE ؛ Pentasiloxane, dodecamethyl- Dodecamethylpentasiloxane
Hexadecanoic acid, ؛ 2,6,10-TRIMETHYL,14-ETHYLENE-14-PENTADECNE
methyl ester (CAS) Methyl palmitate Methyl hexadecanoate Methyl n-
Octadecatrienoic acid, methyl ester, (Z,Z,Z)- Linolenic -9,12,15 ؛ hexadecanoate
-2,6,10,14,18,22 ؛ Phytol ؛ acid, methyl ester Methyl all-cis-9,12,15-octadec
Tetracosahexaene, 2,6,10,15,19,23-hexamethyl- (CAS) Squalene Skvalen
Stigmasta-7,16-dien-3-ol, (3.beta.,5.alpha.)- 5.alpha.- ؛ Vitamin e ؛ Supraene S
4,4,6a,6b,8a,11,11,14b-؛ -Stigmasta-7,16-dien-3.beta.-ol Elasterol, 25,26-dihydro
Octamethyl-1,4,4a,5,6,6a,6b,7,8,8a,9,10,11,12,12a,14,14a,14b-octadecahydro-2H-
picen-3-o

حيث وجد اقل زمن احتجاز عند المركب Dodecamethylcyclohexasiloxane وبلغ (14.148) دقيقة بينما سجل المركب Cyclohexasiloxane, dodecamethyl-

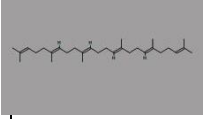
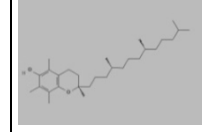
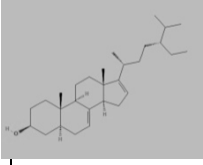
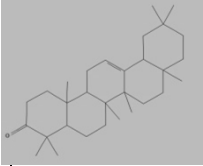
a,6b,8a,11,11,14b-Octamethyl-4,4,6

1,4,4a,5,6,6a,6b,7,8,8a,9,10,11,12,12a,14,14a,14b- octadecahydro-2H-picen-3-o
 زمن احتجاز وبلغ (44.024) .

وكذلك تشمل المركبات الفعالة لـ *G. tricornatum* المركبات النشطة بيولوجيًا الموجودة في الجزء الجوي منها والبذور. يحتوي الجزء الجوي من *G. tricornatum* على مستقلبات ثانوية، بإجمالي 23 مركبًا تم تحديدها في مستخلص الميثانول الخام. ومن بين هذه المركبات، تم العثور على 7 مركبات تحتوي على نوع من السمية (Khan *et al.*, 2022). تحتوي بذور هذا النوع على أحماض دهنية، مع 5 أحماض دهنية تم تحديدها في المستخلص (Tabassum and Ahmad, 2021). كما و أظهرت هذه المركبات إمكانات بيولوجية، بما في ذلك النشاط المضاد للبكتيريا والسمية الخلوية ضد خطوط الخلايا السرطانية. أظهر جزء الكلوروفورم من هذا النوع أكبر منطقة تثبيط ضد البكتيريا، في حين أظهر جزء أسيتات الإيثيل سمية خلوية كبيرة ضد خطوط الخلايا السرطانية (Xu *et al.*, 2021). وبناءً على النتائج، يمكن استنتاج أن *G. tricornatum* مصدر غني بالمركبات النشطة بيولوجيًا ذات التطبيقات العلاجية المحتملة .

الجدول (12-4) التحليل الكيميائي لمستخلص *G. tricornatum*

No .	Chemical name	Retention time	Chemical structure	Molecular formula	Molecular weight
1	Cyclohexasiloxane, dodecamethyl- Dodecamethylcyclohexasiloxane	14.148		C ₁₂ H ₃₆ O ₆ Si ₆	444.92
2	Pentasiloxane, dodecamethyl- Dodecamethylpentasiloxane	17.780		C ₁₂ H ₃₆ O ₄ Si ₅	384.84
3	NEOPHYTADIENE 2,6,10- TRIMETHYL,14-ETHYLENE-14- PENTADECNE	24.037		C ₁₈ H ₃₈	254.5
4	Hexadecanoic acid, methyl ester (CAS) Methyl palmitate Methyl hexadecanoate Methyl n-hexadecanoate	25.500		C ₁₇ H ₃₄ O ₂	270.5
5	9,12,15-Octadecatrienoic acid, methyl ester, (Z,Z,Z)- Linolenic acid, methyl ester Methyl all-cis-9,12,15-octadec	28.261		C ₁₉ H ₃₂ O ₂	292.5
6	Phytol	28.447		C ₂₀ H ₄₀ O	296.5

7	2,6,10,14,18,22-Tetracosahexaene, 2,6,10,15,19,23-hexamethyl- (CAS) Squalene Skvalen Supraene S	37.823		C30H50	410.7
8	Vitamin e	41.289		C29H50O2	430.7
9	Stigmasta-7,16-dien-3-ol, (3.beta.,5.alpha.)- 5.alpha.-Stigmasta-7,16-dien-3.beta.-ol Elaesterol, 25,26-dihydro-	43.821		C29H48O	412.7
10	4,4,6a,6b,8a,11,11,14b-Octamethyl- 1,4,4a,5,6,6a,6b,7,8,8a,9,10,11,12,12a,14,14a ,14b-octadecaahydro-2H-picen-3-o	44.024		C30H48O	424.7

من خلال احصائية النتائج المختبريه والتحليل الكيميائي للانواع المؤخذه من نبات الغاليوم وجدنا ان هناك مركبات مشتركه بين الانواع الخمسه المؤخذه والتي وكما تبين في الجدول:

• وجد ان المركب لاول (+ + + + +) Dodecamethylpentasiloxane مشترك في النوع *G. aparine* والنوع *G. setaceum* والنوع *G. spurium* والنوع *G. tricornatum* كما أن المركب الثاني (Hexadecanoic acid, methyl ester) Methyl palmitate Methyl hexadecanoate Methyl n-hexadecanoate (CAS) كان في النوع *G. aparine* و *G. ceratopodum* وأيضا *G. setaceum*

• وكذلك المركب الثالث (2,6,10,14,18,22-Tetracosahexaene, 2,6,10,15,19,23-hexamethyl-) Squalene Skvalen Supraene S ((CAS) تم احصاءه في *G. aparine* و *G. ceratopodum* مع *G. setaceum* و *G. tricornatum*

• و المركب الرابع (Vitamin e) مشترك بين *G. aparine* و *G. ceratopodum* والنوع *G. tricornatum*

• وتم احصاءه المركب الخامس ((Cholest-5-en-3-ol, 23-23)-ethylcholest-5-en-3.beta.-ol (CAS) (ethyl-, (3.beta.,23S)- في النوع *G. aparine* والنوع *G. ceratopodum*

• وأيضا المركب السادس (Cyclohexasiloxane, - Dodecamethylcyclohexasiloxane) في *G. ceratopodum* وايضا *G. setaceum* و *G. tricornatum*

• وان المركب السابع (2,6,10-TRIMETHYL,14-ETHYLENE-14-) NEOPHYTADIENE (PENTADECNE) موجود في النوع *G. ceratopodum* وايضا *G. setaceum* والنوع *G. spurium* و *G. tricornatum*

- وجد كذلك المركب الثامن (Z,Z,Z)- Linolenic acid, -9,12,15) Octadecatrienoic acid, methyl ester, (Methyl ester Methyl all-cis-9,12,15-octadec-2,6,10,14,18,22) وفي النوع G. tricoratum spurium أيضاً تم احصاء المركب التاسع (hexamethyl- (CAS) Squalene Skvalen Supraene S-6,10,15,19,23، Tetracosahexaene في النوع G. ceratopodum و G. setaceum وكذلك G. tricoratum • وأن المركب العاشر (dl-) Vitamin e .alpha.-Tocopherol 2H-1-Benzopyran-6-ol, 3,4-dihydro-2,5,7,8-tetramethyl-2-(4,8,12-trimethyltridecyl) مع النوع G. setaceum في احصاءه في النوع G. spurium
- وأخيراً المركب الحادي عشر (Phytol) كان في النوع G. setaceum وايضا النوع G. tricoratum

الجدول (4-13) المركبات الكيميائية المشتركة بين انواع النباتات

أنواع مركبات	G. aparin	G.ceratopodum	G.setaceum	G.spurium	G. tricoratum
Pentasiloxane, dodecamethyl-Dodecamethylpentasiloxane	+	-	+	+	+
Hexadecanoic acid, methyl ester (CAS) Methyl palmitate Methyl hexadecanoate Methyl n-hexadecanoate	+	+	+	-	-
2,6,10,14,18,22-Tetracosahexaene, 2,6,10,15,19,23-hexamethyl- (CAS) Squalene Skvalen Supraene S	+	+	+	-	+
Vitamin e	+	+	-	-	+
(23S)-ethylcholest-5-en-3.beta.-ol Cholest-5-en-3-ol, 23-ethyl-, (3.beta.,23S)- (CAS)	+	+	-	-	-
Cyclohexasiloxane, dodecamethyl-Dodecamethylcyclohexasiloxane	-	+	+	-	+
NEOPHYTADIENE 2,6,10-TRIMETHYL,14-ETHYLENE-14-PENTADECNE	-	+	+	+	+

9,12,15-Octadecatrienoic acid, methyl ester, (Z,Z,Z)- Linolenic acid, methyl ester Methyl all-cis-9,12,15-octadec	-	+	-	+	+
2,6,10,14,18,22-Tetracosahexaene, 2,6,10,15,19,23-hexamethyl- (CAS) Squalene Skvalen Supraene S	-	+	+	-	+
Vitamin e dl-.alpha.-Tocopherol 2H-1-Benzopyran-6-ol, 3,4-dihydro-2,5,7,8-tetramethyl-2-(4,8,12-trimethyltridecyl	-	-	+	+	-
Phytol	-	-	+	-	+

من خلال احصائية النتائج المختبريه والتحليل الكيميائي للانواع المؤخوذه من نبات الغاليوم وجدنا أن هناك مركبات غير مشتركة بين الانواع الخمسه المؤخوذه والتي وكما تبين في الجدول:

. وجد ان المركب الاول (Octadecanoic acid, methyl ester) موجود فقط في النوع *G. setaceum* ، و ان المركب الثاني (Bis(trimethylsilyl)benzene-1,3) في النوع *G. setaceum* وكذلك المركب الثالث (-Stigmasterol, 22,23-dihydro) موجود في *G. setaceum* أيضاً المركب الرابع (Abundance#46669: Phenol, 5-methyl-2-(1-methylethyl)- (CAS) Thymol m-) المركب الخامس (METHYL 14-) (Pentadecanoic acid, 14-methyl-, methyl ester (CAS) Thyme camphor 3-Hydrox) أيضاً وجود المركب السادس (METHYL-PENTADECANOATE 14-METHY) فقط في *G. spurium* و المركب السادس (4-) المركب السابع (-Cyclohexadien-1-one, 3,5-bis(1,1-dimethylethyl)-4-hydroxy-2,4) فقط في النوع *G. spurium* وكذلك المركب الثامن (gamma.-Sitosterol.) موجود في *G. spurium* و أن المركب التاسع (-Methanoanthracen-11-ol, 9,10-dihydro-9,10,11-trimethyl-9,10) في النوع *G. spurium* وجد أن المركب العاشر (-5.alpha.-Stigmasta-7,16-dien-3-ol, (3.beta.,5.alpha.)-) فقط في النوع *G. tricornatum* (Elaesterol, 25,26-dihydro) أيضاً وجد أن المركب الحادي عشر (4,4,6)

a,6b,8a,11,11,14bOctamethyl1,4,4a,5,6,6a,6b,7,8,8a,9,10,11,12,12a,14,14a,14b-9,12) وتمييز المركب الثاني عشر (octadecahydro-2Hpicen-3-ol ester (CAS) Methyl 9,12,15- *G. aparine* في النوع *G. aparine* (octadecatrienoate) في النوع *G. aparine*

واضافةً المركب الرابع عشر (Gibberellin A3 Gibb-3-ene-1,10-dicarboxylic acid, 2,4a,7-trihydroxy-1-methyl-8-methyl ene-, 1,4a-lactone, (1.alpha aparine في احصاءه في G. aparine وكذلك وجد المركب الخامس عشر (Methyl-Z-14-nonacosene-13) موجود في G. aparine واحصاءه المركب السابع عشر (dimethyl-4-azaphenanthrene-1,3) في النوع G. ceratopodum أيضاً وجود المركب الثامن عشر (Azaestra-1,3,5(10),6,8-pentaen-17-one, 3-methoxy- (CAS) 3-METHOXY-6--6) في النوع G. ceratopodum أيضاً وجود المركب التاسع عشر (N-Cyano-N',N'',N''',N''-tetramethyl-1,3,5-triazinetriamine) موجود في النوع G. ceratopodum وكذلك تم وجود المركب التاسع عشر (Quinolinecarboxylic acid, 6,7-difluoro--3) في النوع G. ceratopodum (1,4-dihydro-4-oxo-, ethyleste

بينما المركب العشرون (Hexadecanoic acid, methyl ester Palmitic acid, methyl ester) موجود في النوع G. setaceum (n-Hexadecanoic acid methyl ester Metholene 2

المركب الحادي والعشرون (Octadecadienoic acid (Z,Z)-, methyl ester-9,12) تم ايجاده في النوع G. setaceum ، مما تقدم يتضح لنا أهمية المركبات الكيميائية ودورها الفعال في التميز وعزل الأنواع النباتية وتشخيصها كيميائياً استناداً الى نوع المركبات المكونه لها .

الجدول (4-14) المركبات الكيميائية الغير مشتركة بين انواع النباتات

أنواع مركبات	G. aparine	G. ceratopodum	G. setaceum	G. spurium	G. tricornatum
9,12-Octadecadienoic acid, methyl este	+	-	-	--	-
9,12,15-Octadecatrienoic acid, methyl ester (CAS) Methyl 9,12,15-octadecatrienoate	+	-	-	-	-
Gibberellin A3 Gibb-3-ene- 1,10-dicarboxylic acid, 2,4a,7- trihydroxy-1-methyl-8- methylene-, 1,4a-lactone, (1.alpha	+	-	-	-	-

13-Methyl-Z-14-nonacosene	+	-	-	-	-
1,3-dimethyl-4-azaphenanthrene	+	-	-	-	-
6-Azaestra-1,3,5(10),6,8-pentaen-17-one, 3-methoxy- (CAS) 3-METHOXY-6-AZA-1,3,5(10),6,8(9)-ESTRAPEN	-	+	-	-	-
N-Cyano-N',N',N'',N'''-tetramethyl-1,3,5-triazinetriamine	-	+	-	-	-
3-Quinolinecarboxylic acid, 6,7-difluoro-1,4-dihydro-4-oxo-, ethyleste	-	+	-	-	-
Hexadecanoic acid, methyl ester Palmitic acid, methyl ester n-Hexadecanoic acid methyl ester Metholene 2	-	-	+	-	-
Octadecadienoic acid -9,12 (Z,Z)-, methyl ester	-	-	+	-	-
Octadecanoic acid, methyl ester	-	-	+	-	-
1,3-Bis(trimethylsilyl)benzene	-	-	+	-	-
Stigmasterol, 22,23-dihydro-	-	-	+	-	-
Abundance#46669: Phenol, 5-methyl-2-(1-methylethyl)- (CAS) Thymol m-Thymol p-Cymen-3-ol Thyme camphor 3-Hydrox	-	-	-	+	-

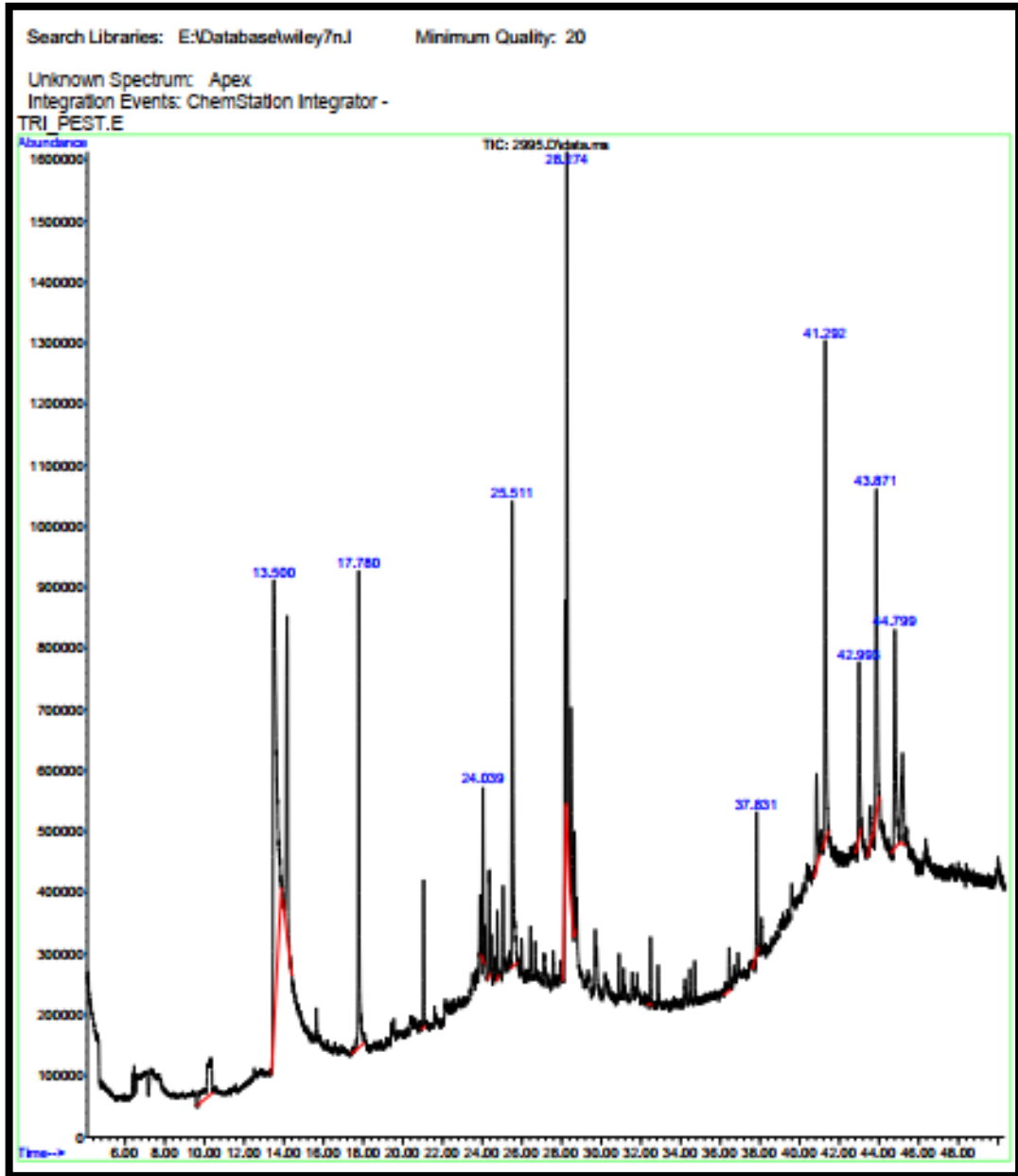
Pentadecanoic acid, 14-methyl-, methyl ester (CAS) METHYL 14-METHYL-PENTADECANOATE 14-METHY	-	-	-	+	-
4-Geranyloxy-3-hydroxy-5-methoxyphthalaldehyde	-	-	-	+	-
2,4-Cyclohexadien-1-one, 3,5-bis(1,1-dimethylethyl)-4-hydroxy-	-	-	-	+	-
.gamma.-Sitosterol	-	-	-	+	-
9,10-Methanoanthracen-11-ol, 9,10-dihydro-9,10,11-trimethyl-	-	-	-	+	-
Stigmasta-7,16-dien-3-ol, (3.beta.,5.alpha.)- 5.alpha.-Stigmasta-7,16-dien-3.beta.-ol Elasterol, 25,26-dihydro-	-	-	-	-	+

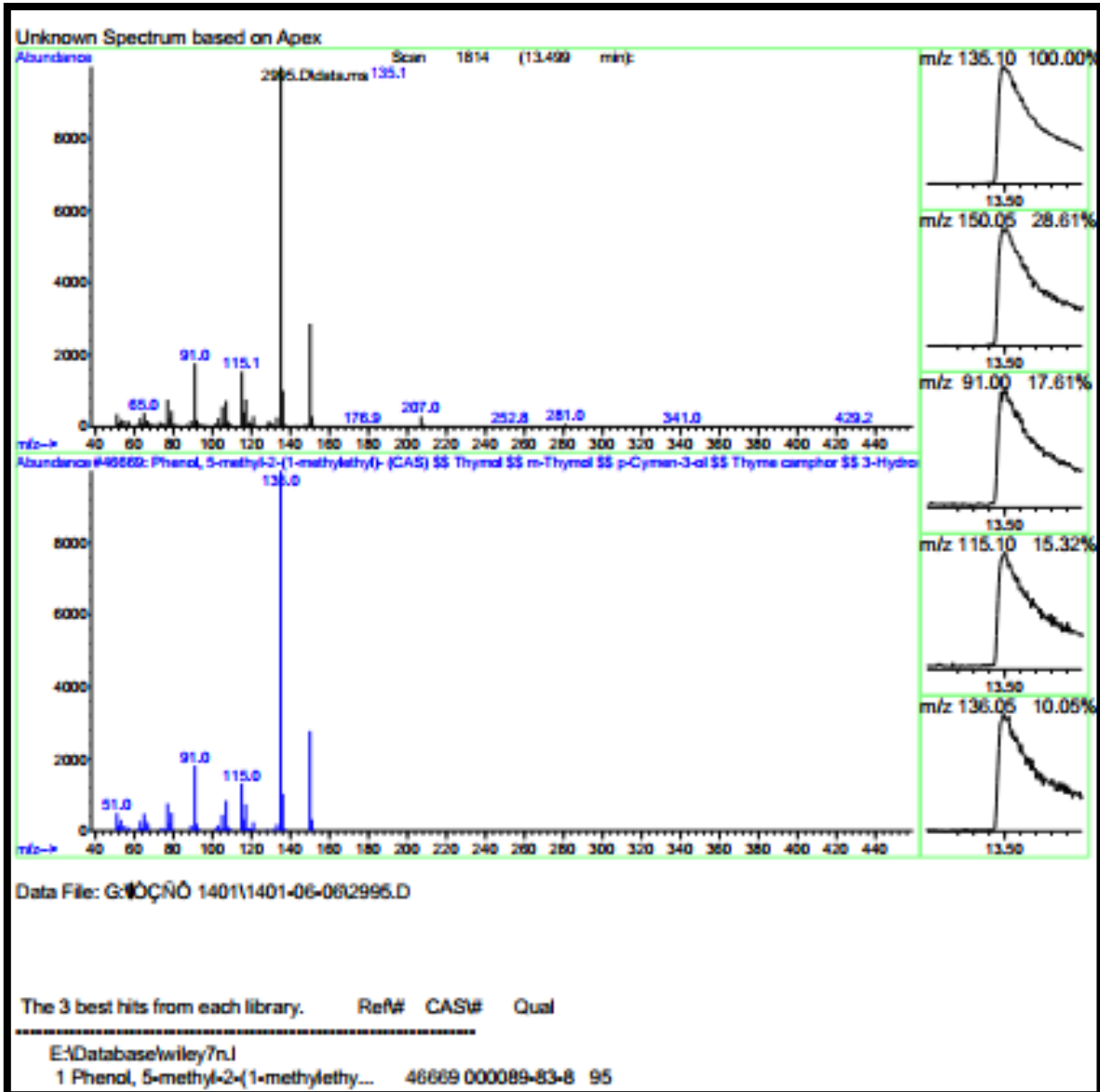
اتفقت النتائج مع ما ذكره (Jan *et al* (2018) اذ شمل نبات *setaceum* على حمض 1-أوكتاديكانويك، وحمض هيكساديكانويك، و 5-ميثيل و 4-ميثيل بنزين. وكذلك على وجود العديد من المركبات المضادة للالتهابات، مثل حمض الأوكتانويك وحمض الدوديكانويك وحمض الهكسانويك، في مستخلصات الأوراق والساق لنبات *tricornatum*، اذ اتفقت تلك الدراسات مع دراسه الحاليه بأن بعض المستخلصات تحتوي عدد من المركبات الدهنيه مشبعه وغير مشبعه مثل(حمض 1-أوكتاديكانويك، وحمض هيكساديكانويك، و 5-ميثيل و 4-ميثيل بنزين وكذلك حمض الأوكتانويك وحمض الدوديكانويك وحمض الهكسانويك).

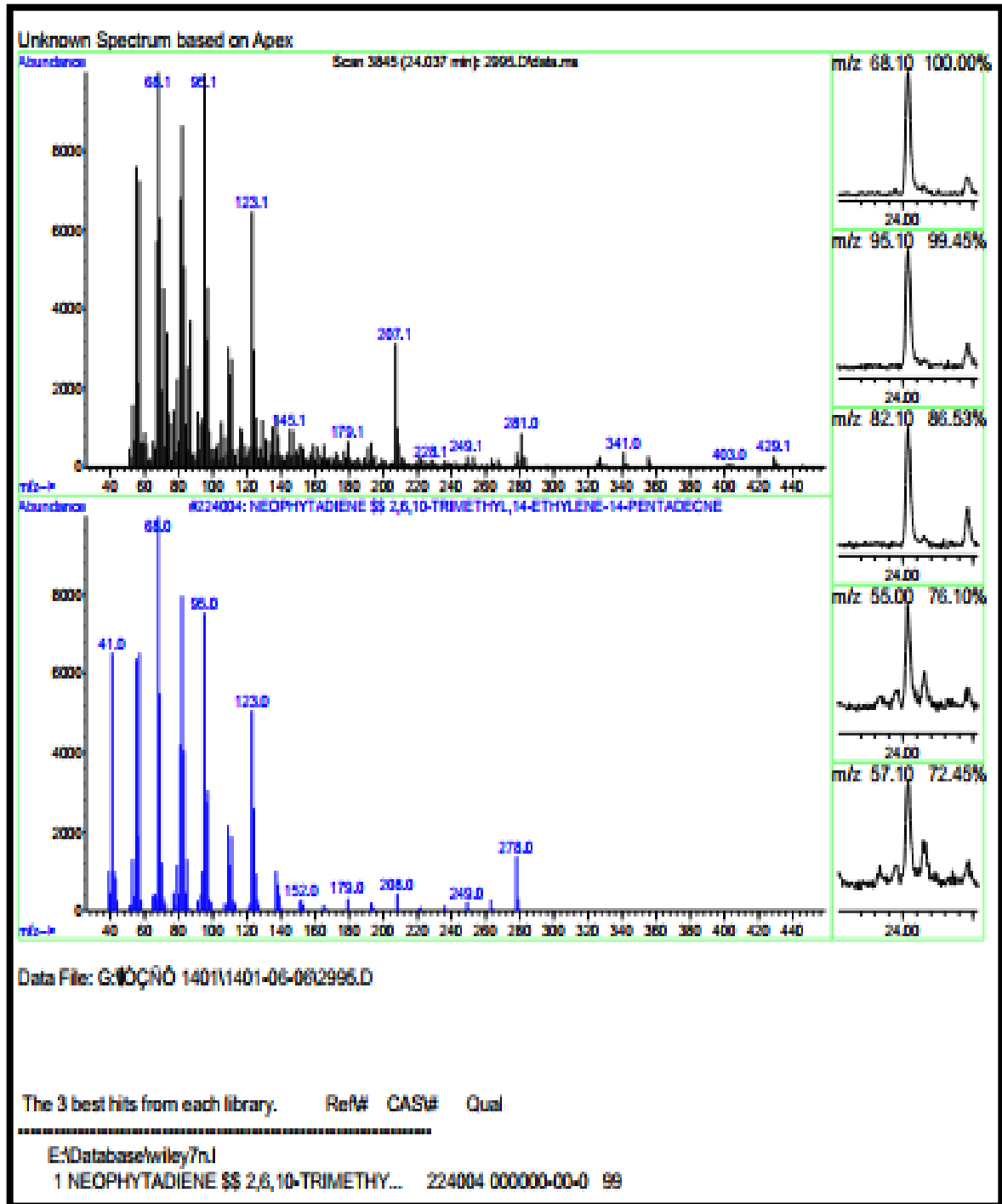
ينتسبه تركيب المواد الفعالة في أنواع نباتات الغاليوم من حيث وجود المركبات النشطة بيولوجياً مثل البوليفينول، والفلافونويدات، والإيريديويدات (Laanet *et al.*, 2023). تم تحديد كمية هذه المركبات وتبين أنها موجودة بتركيزات عالية في أنواع مختلفة من الغاليوم، بما في ذلك الغاليوم الحقيقي، والغاليوم أبارين، والغاليوم المولوغو (Ilina *et al.*, 2019). بالإضافة إلى ذلك، فقد ثبت أن مستخلصات هذه الأنواع تظهر نشاطاً قوياً مضاداً للأكسدة. تم أيضاً تحديد فئات أخرى من المركبات النشطة بيولوجياً، مثل جليكوسيدات الإيريديد، والمركبات الفينولية، والأنثراكينونات، والترايترين، والعفص، والصابونين، والزيوت الأساسية، في أنواع الغاليوم. تمت دراسة التركيب الكيميائي والخصائص الدوائية للغاليوم الحقيقي والغاليوم الرخويات على نطاق واسع، في حين أن البيانات المتعلقة بالغاليوم أبارين محدودة. هناك حاجة إلى مزيد من البحث لفهم الفوائد الصحية المحتملة لأنواع الغاليوم ومكوناتها النشطة بيولوجياً بشكل كامل

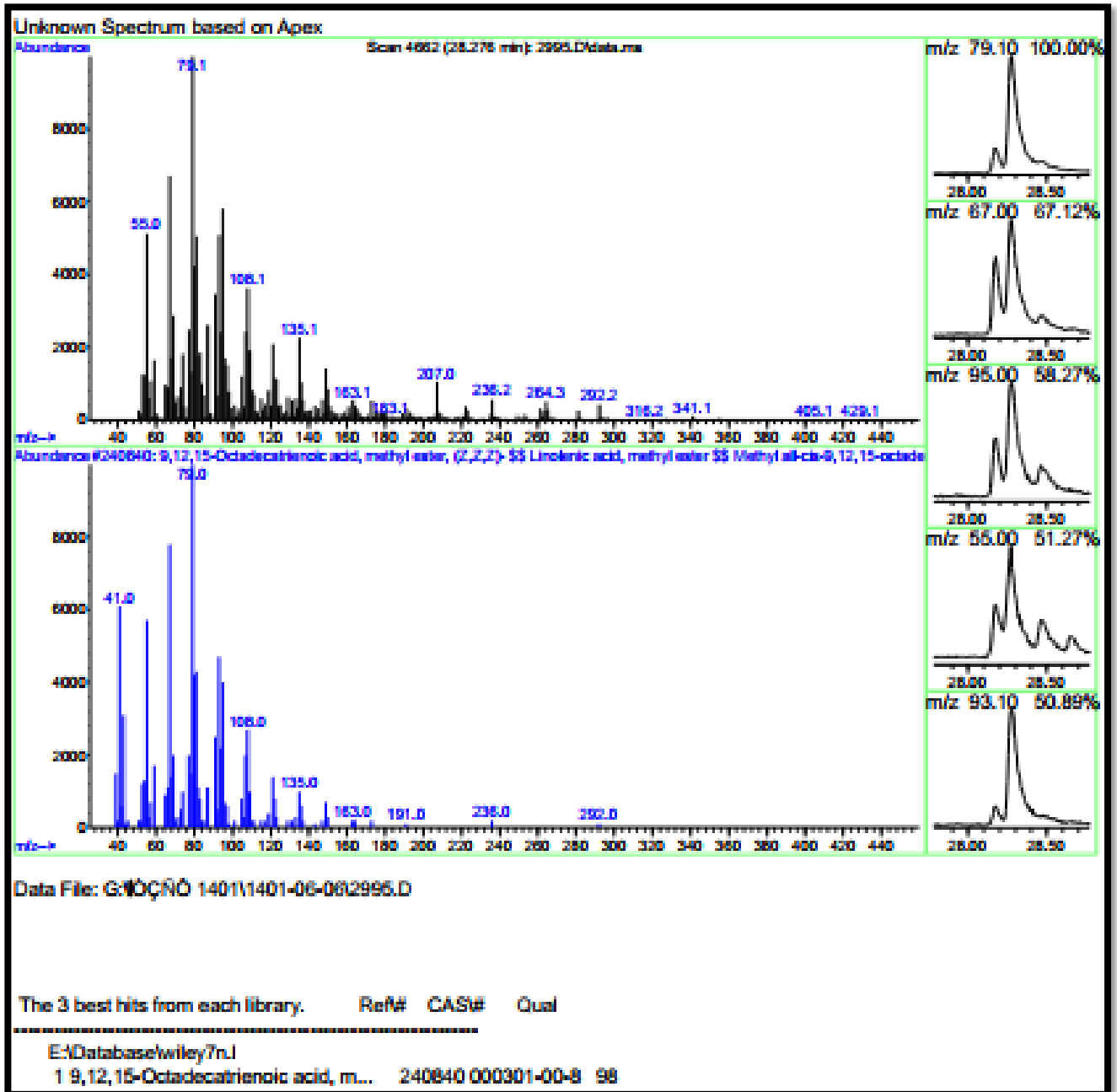
3-4 قراءة جهاز المطياف الغازي للمركبات الفعالة في المستخلصات النباتية

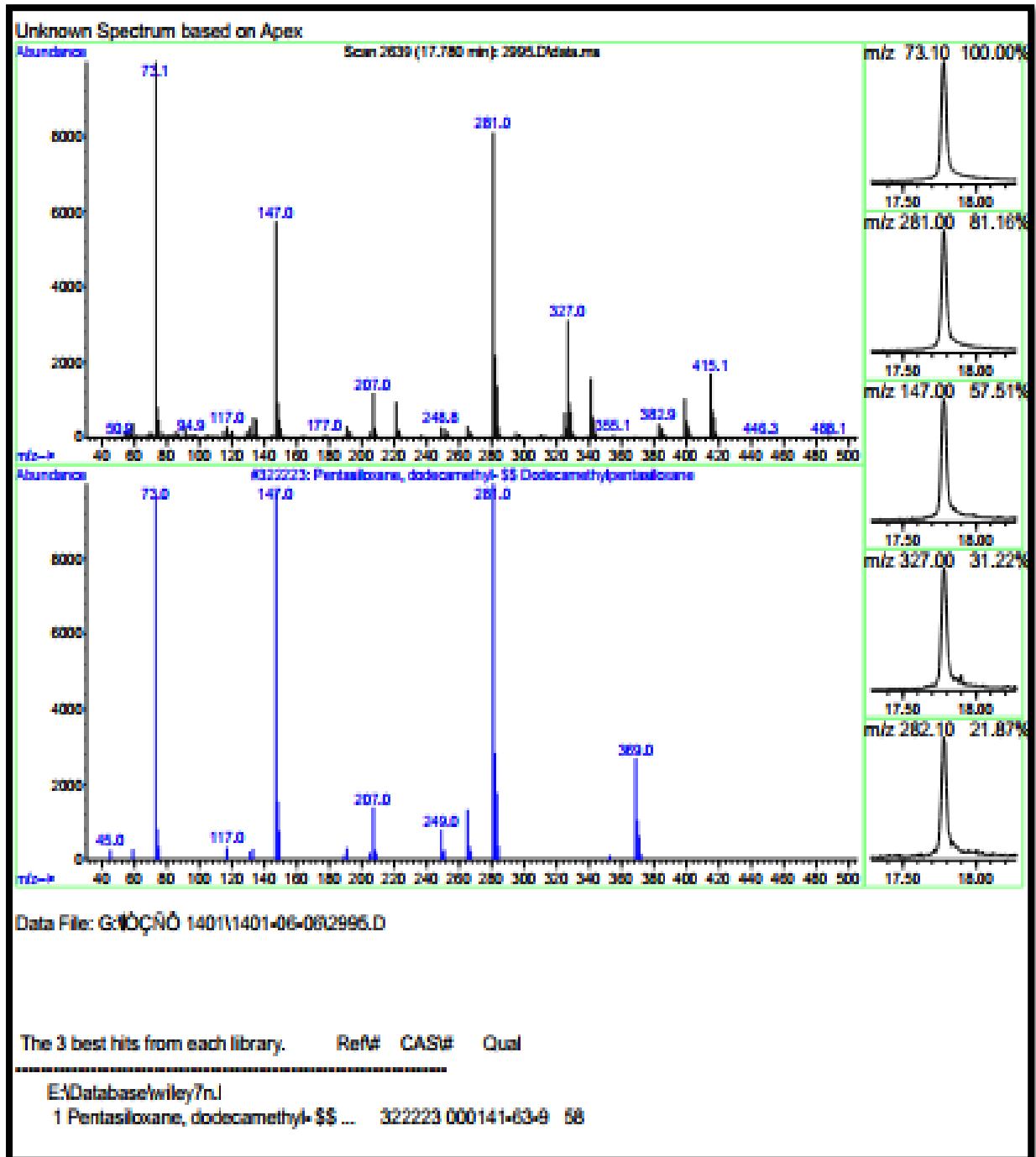
1- قراءة جهاز المطياف الغازي للمركبات الفعالة في مستخلص نبات *G.spurium*

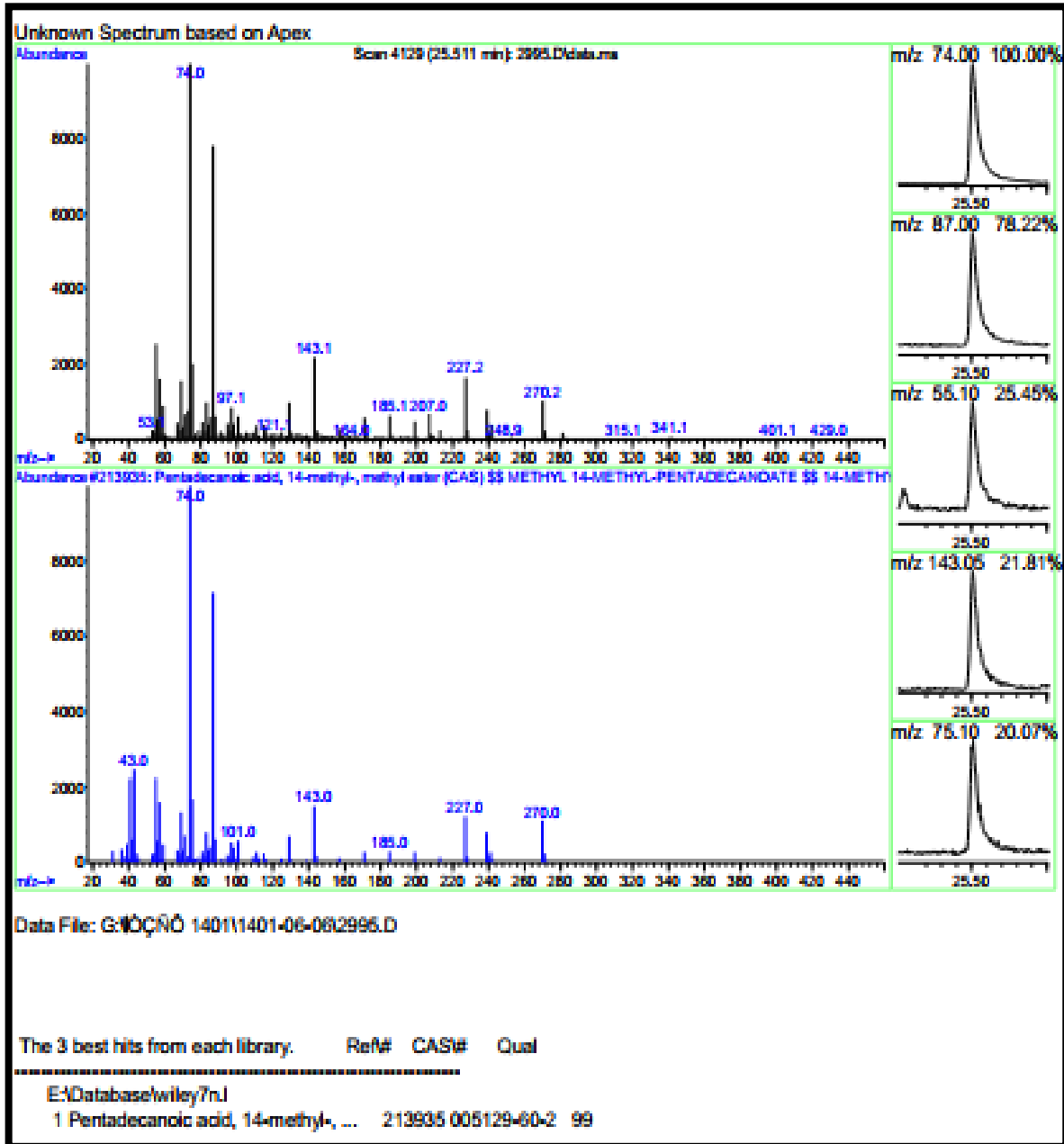


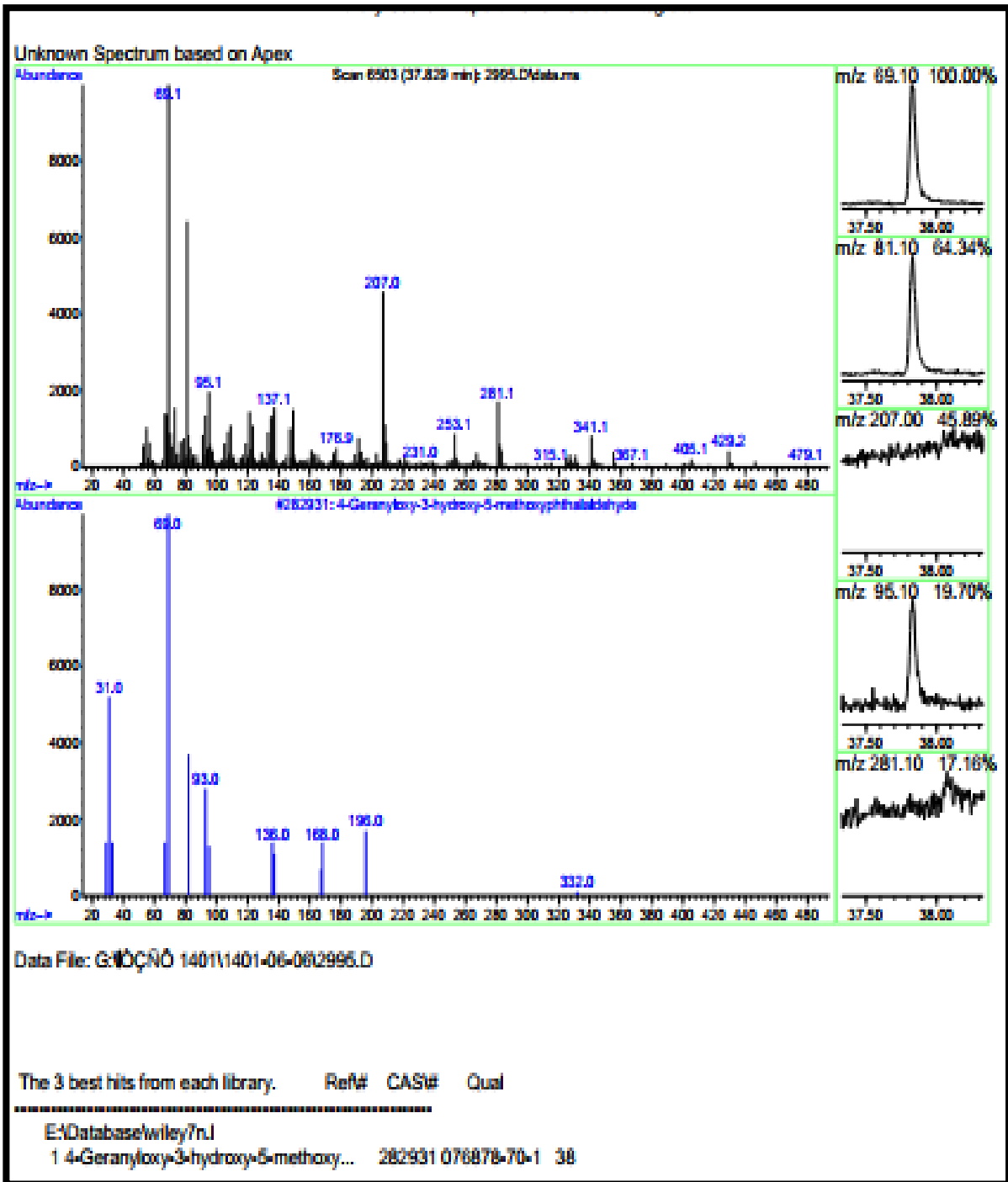


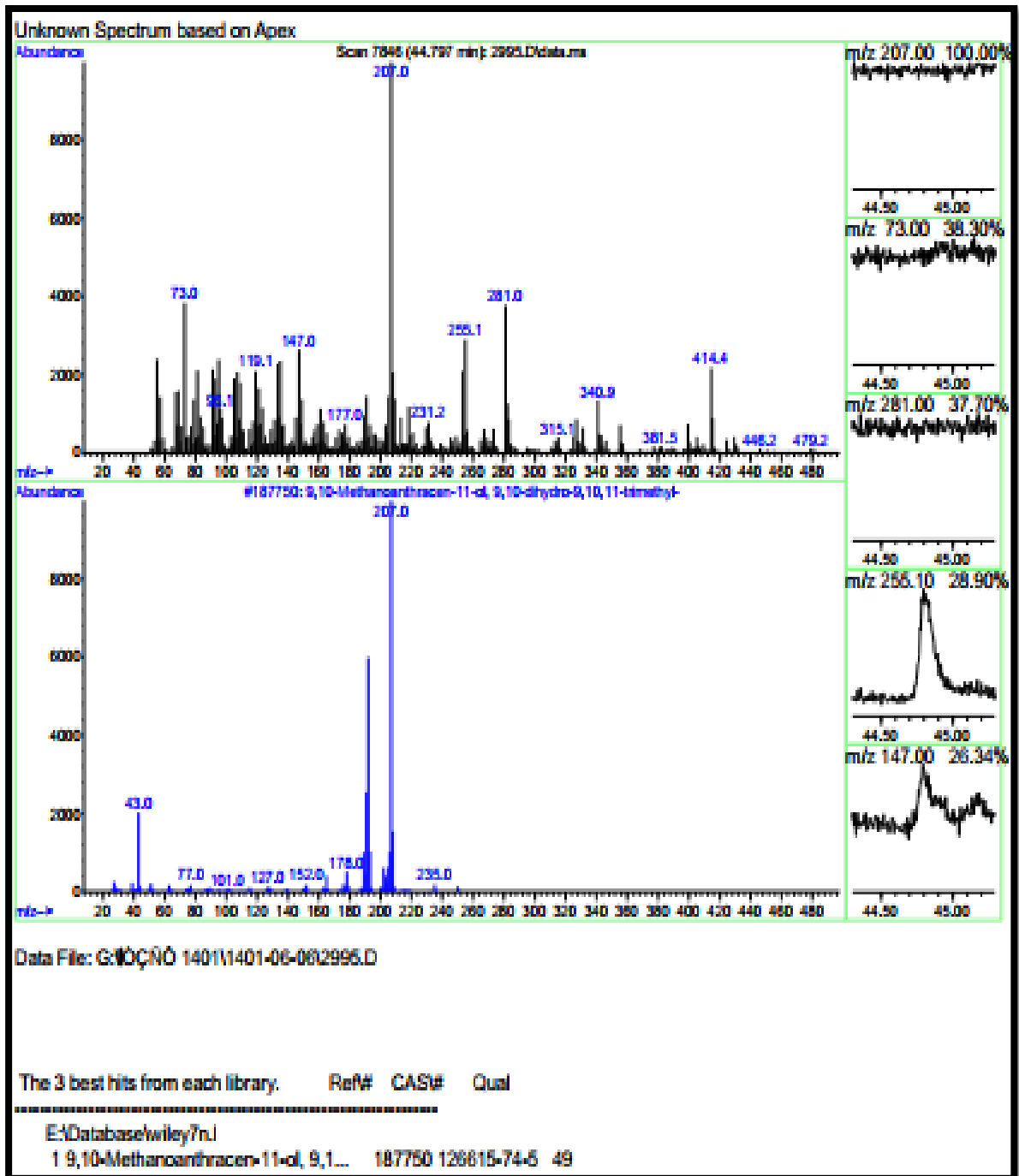


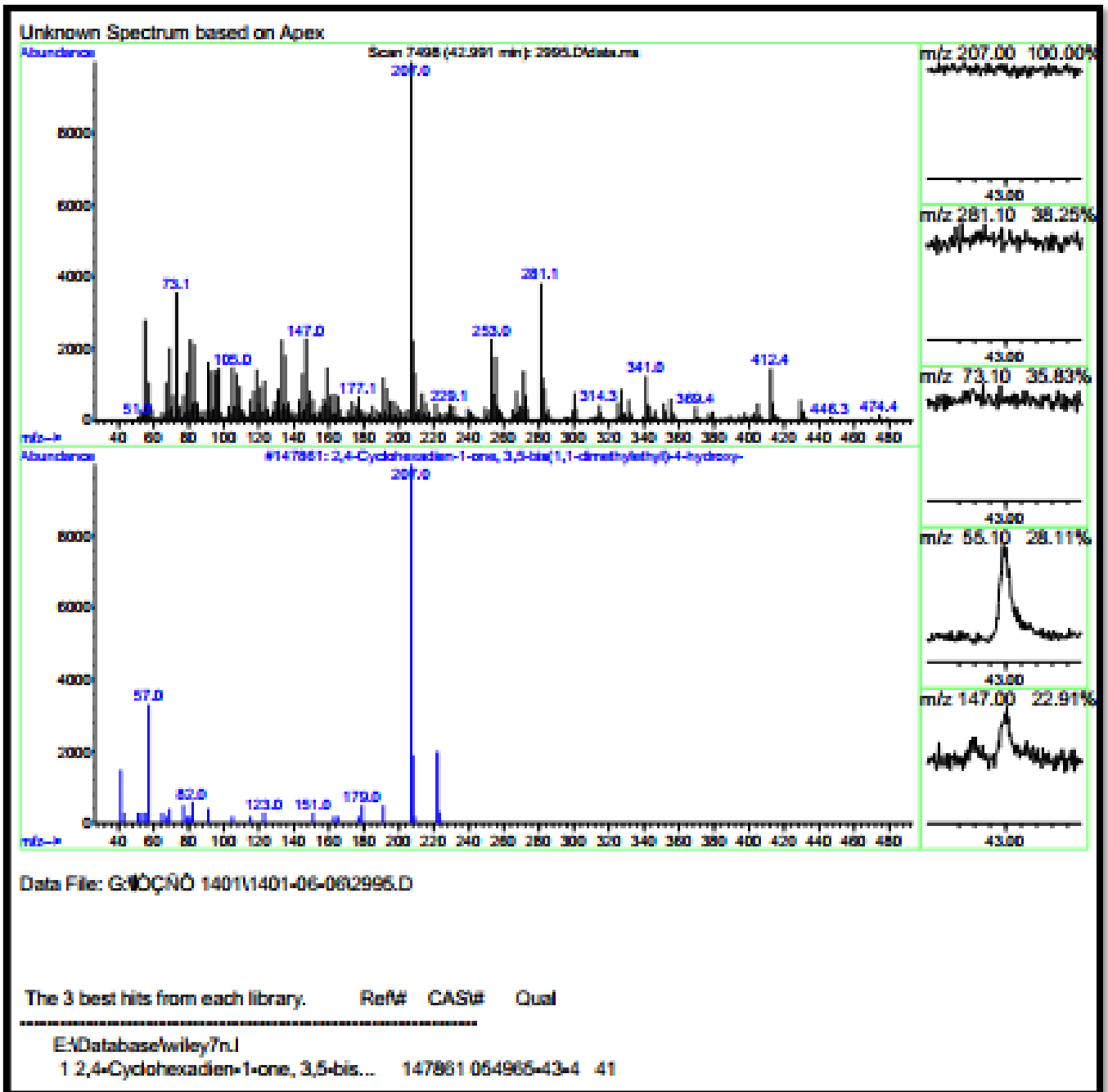


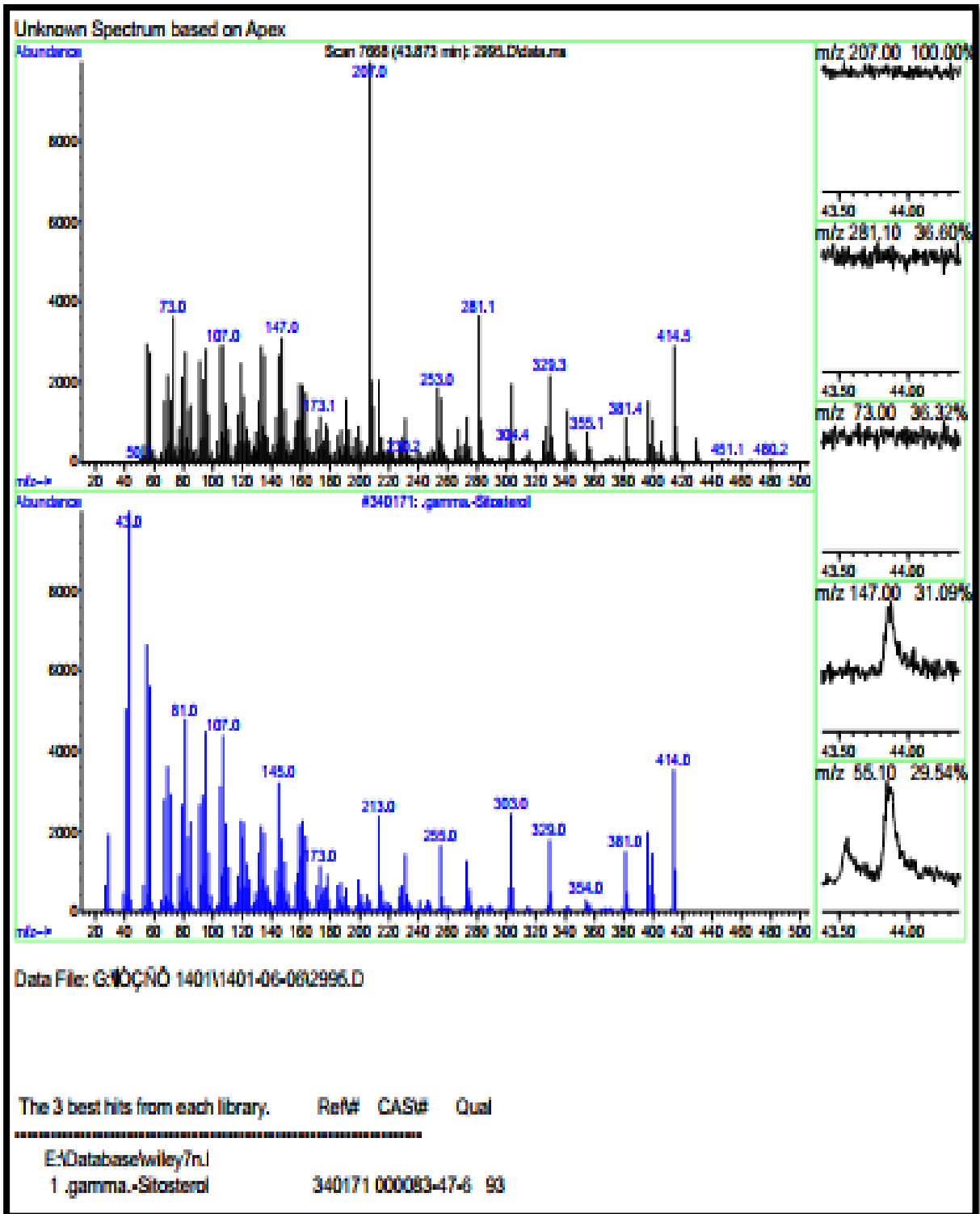


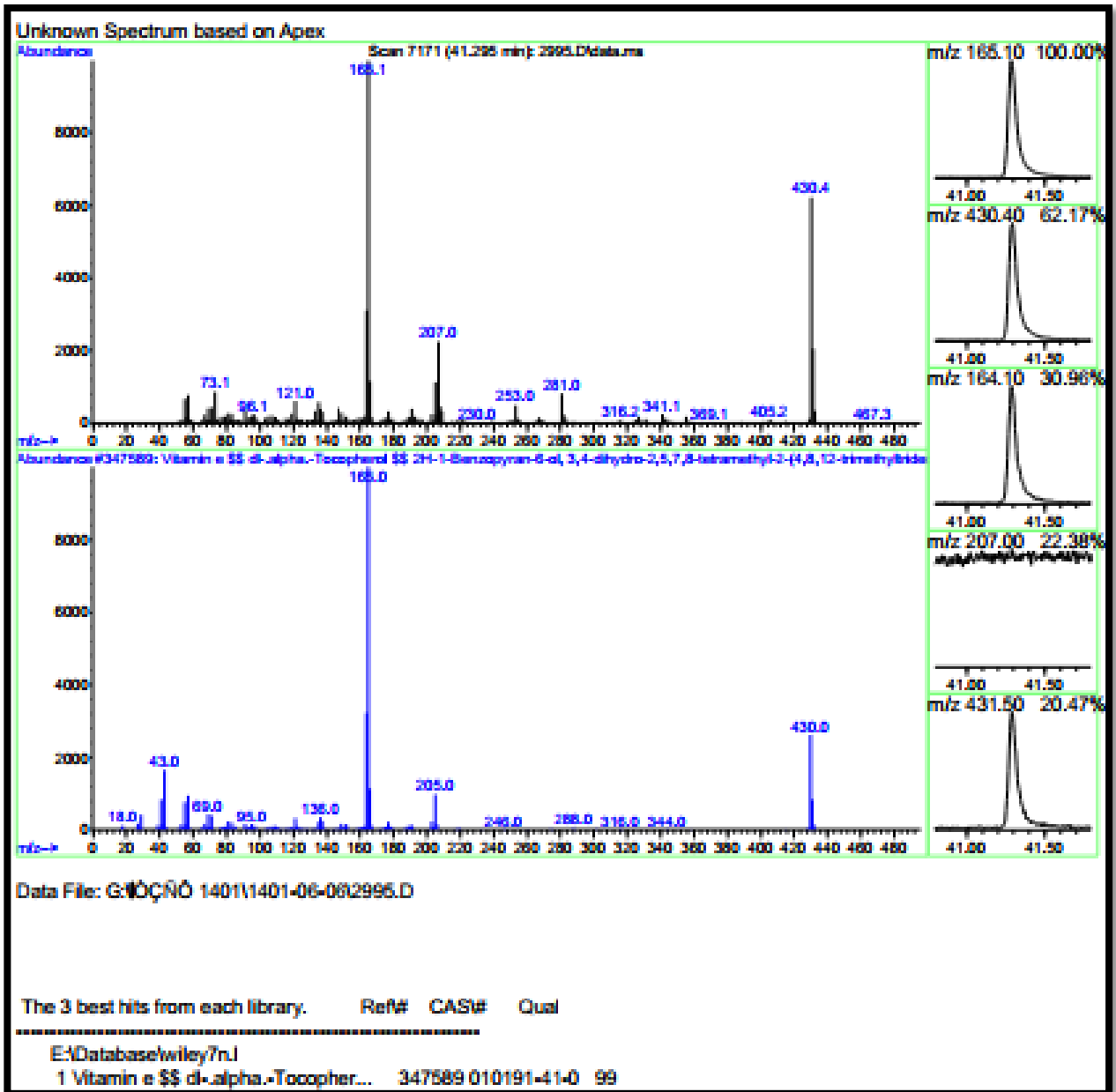




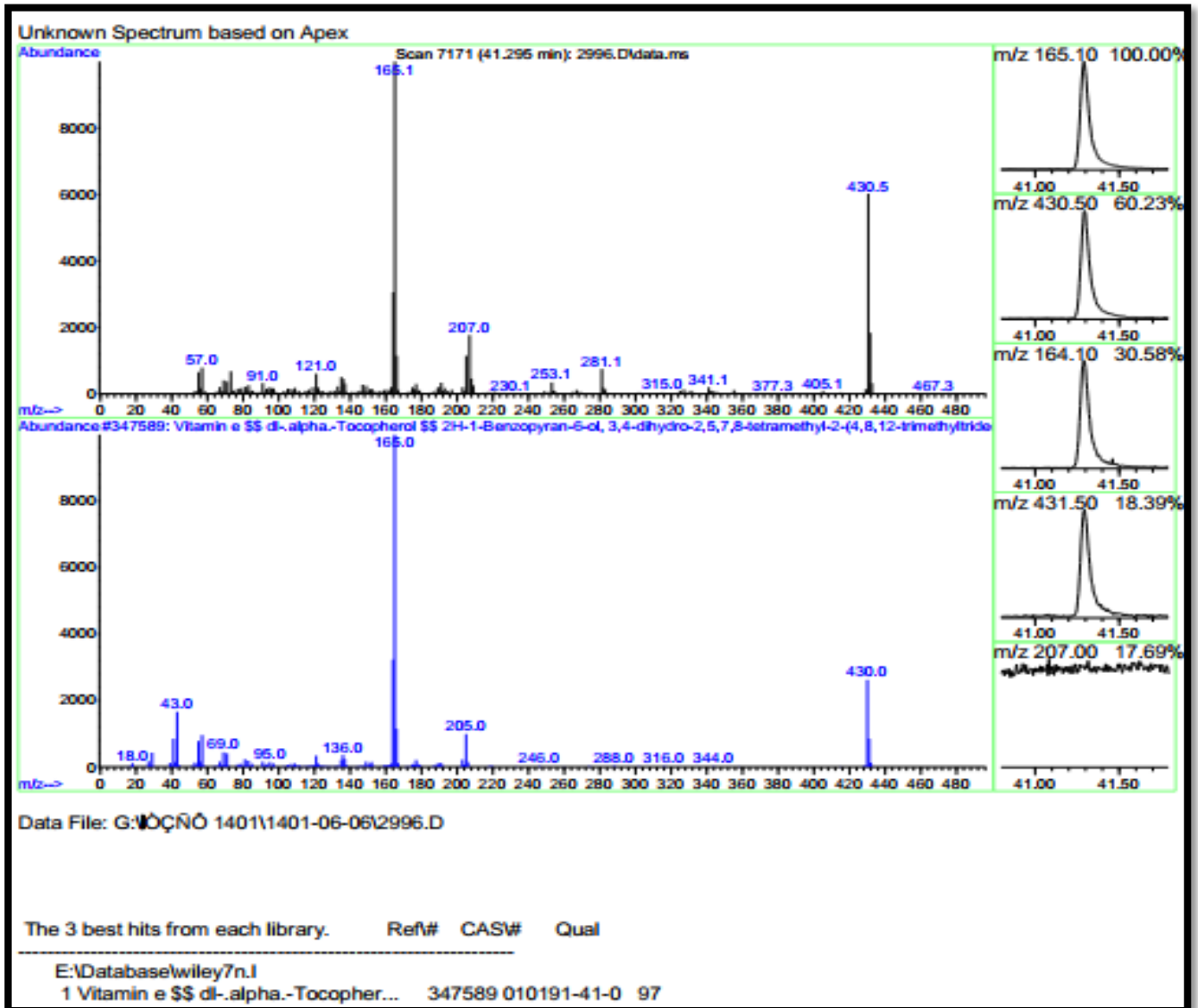


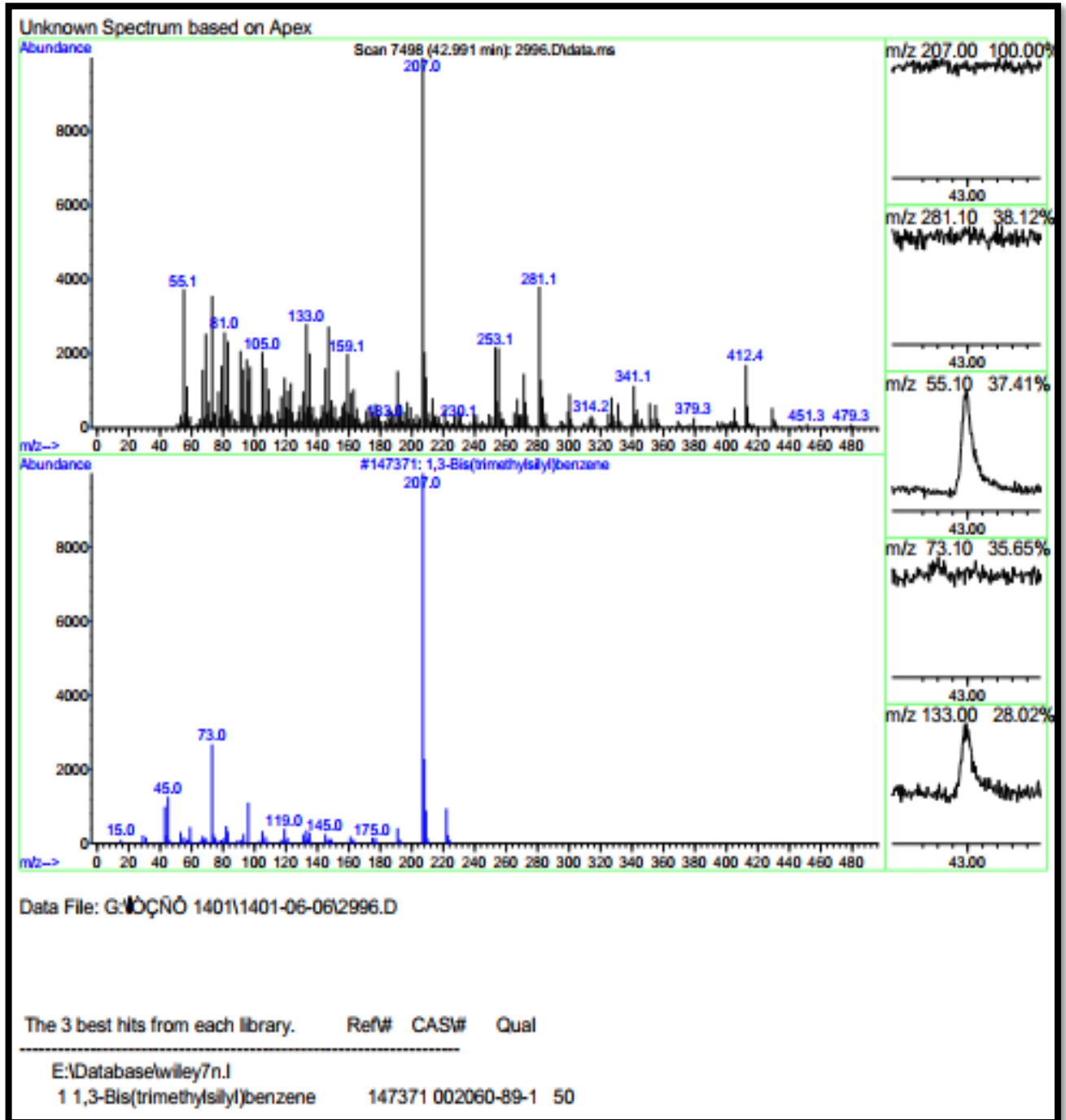


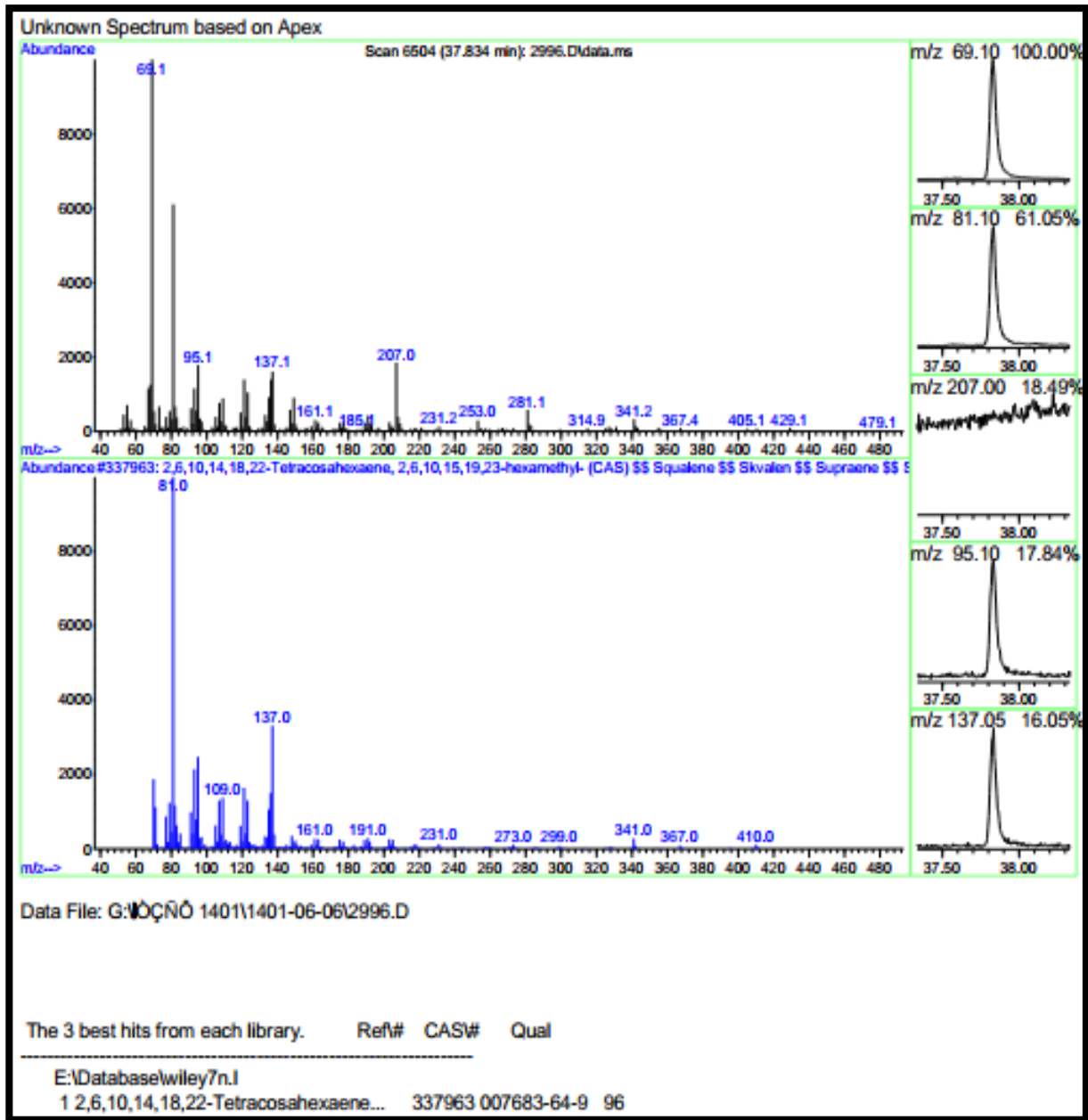


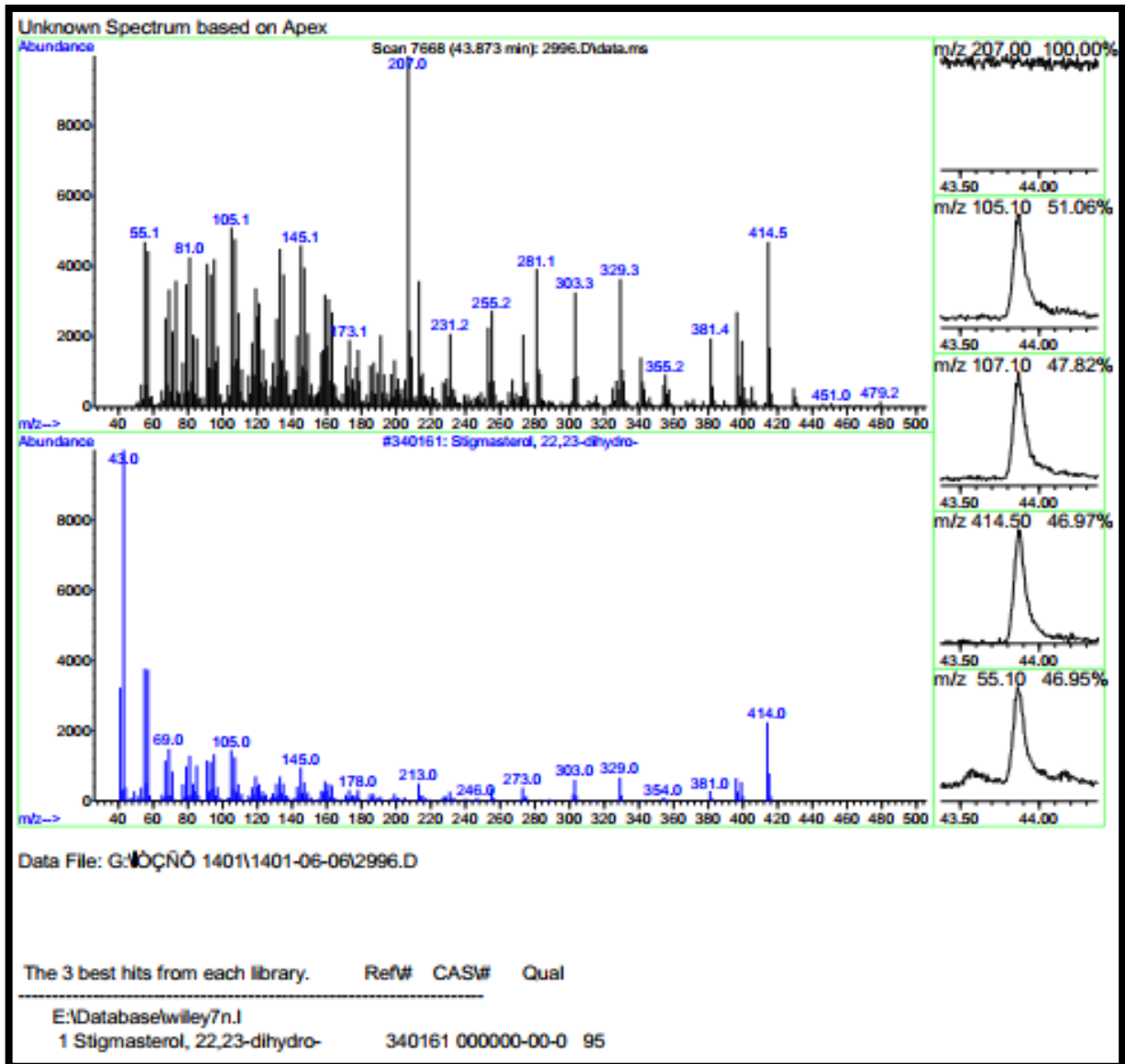


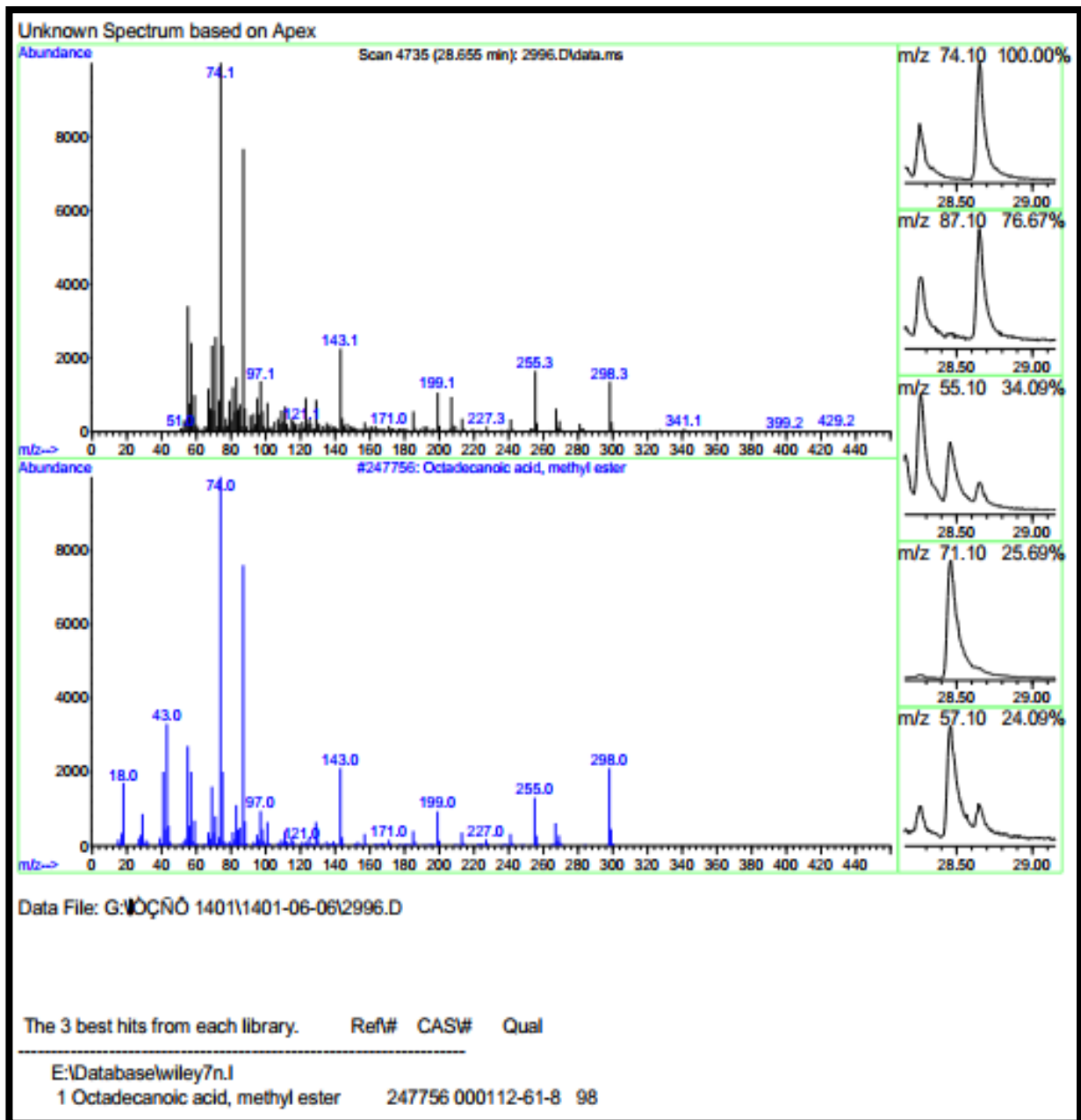
2- قراءة جهاز المطياف الغازي للمركبات الفعالة في مستخلص نبات *G.setaceum*

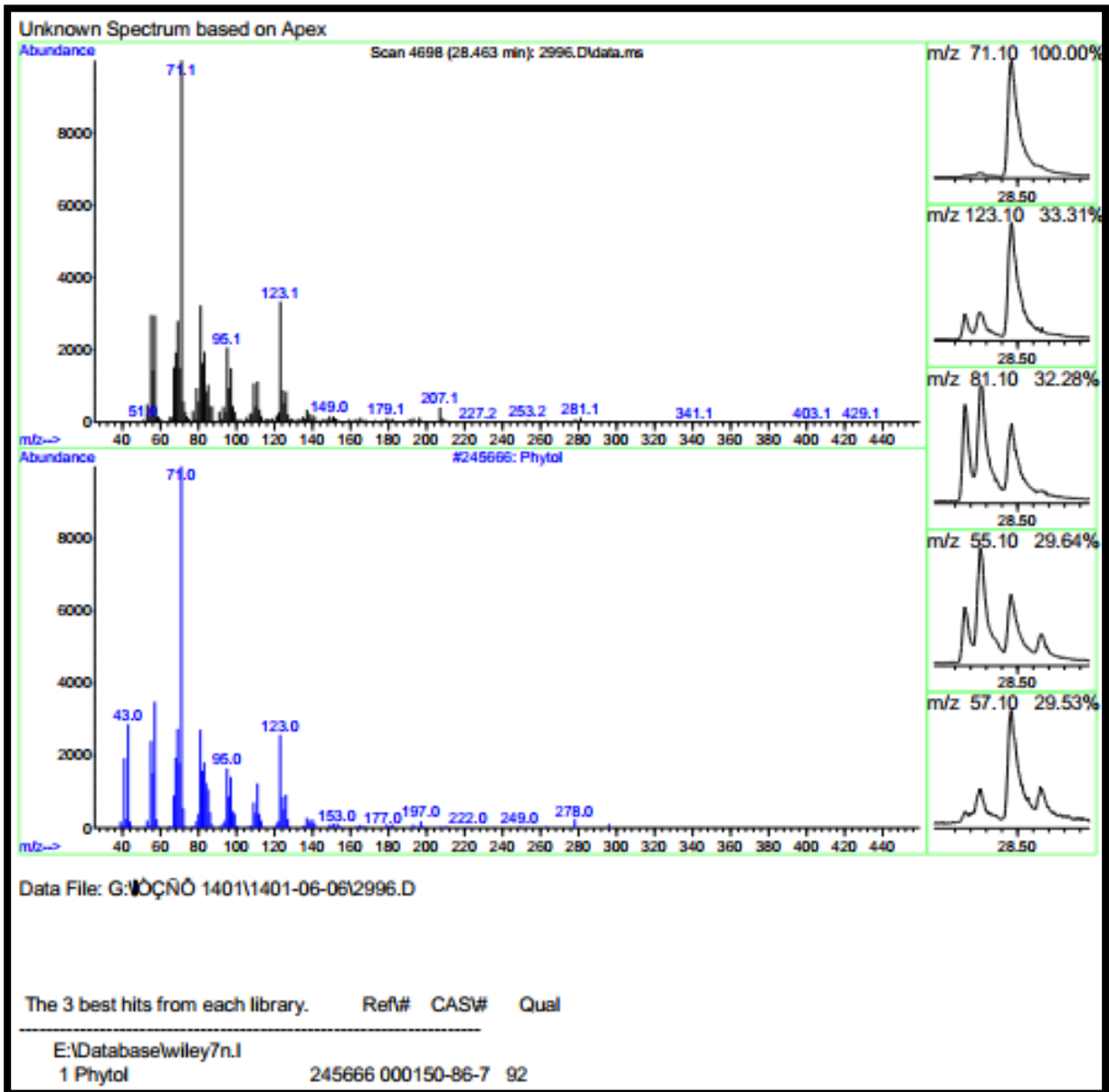


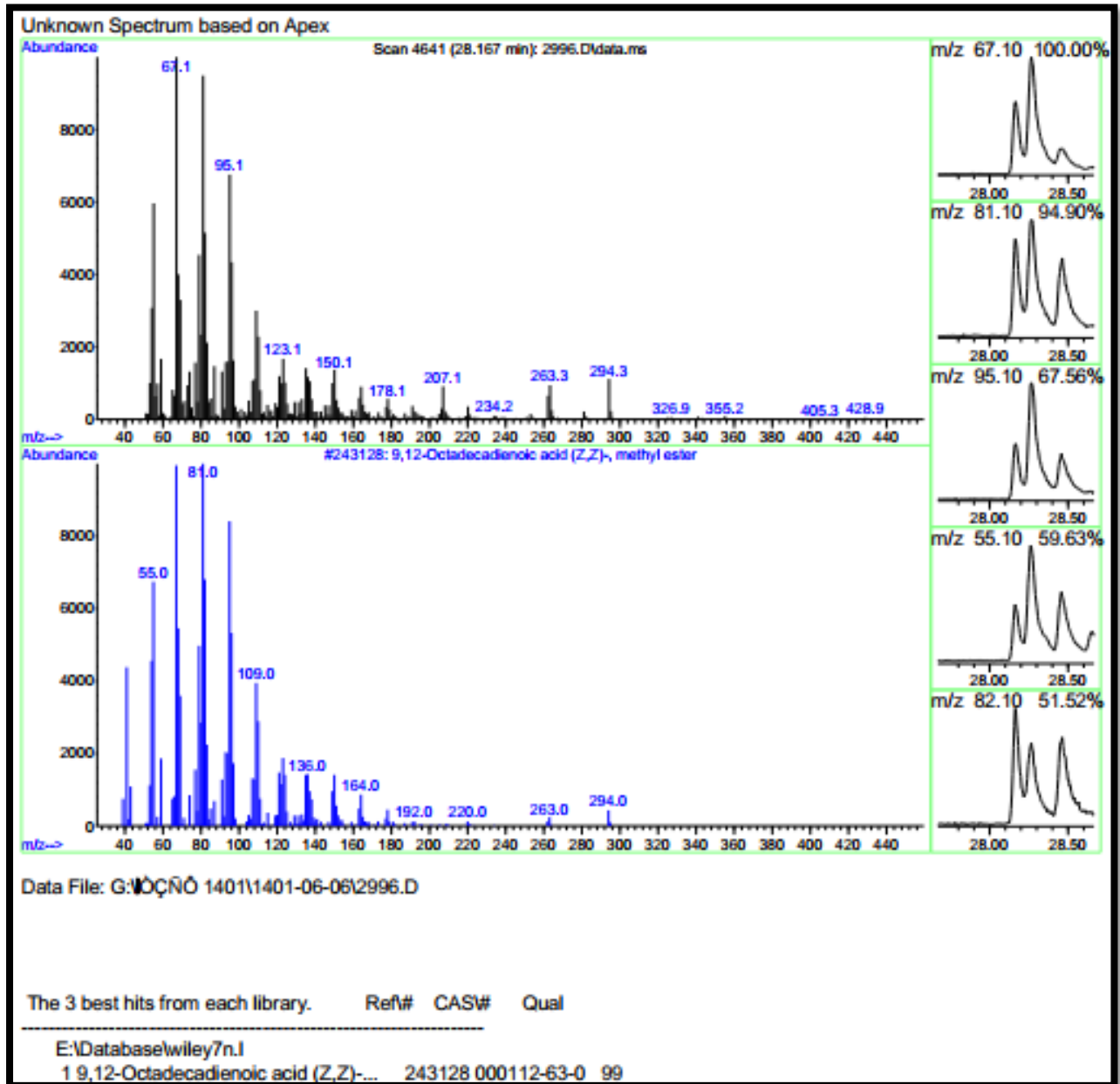


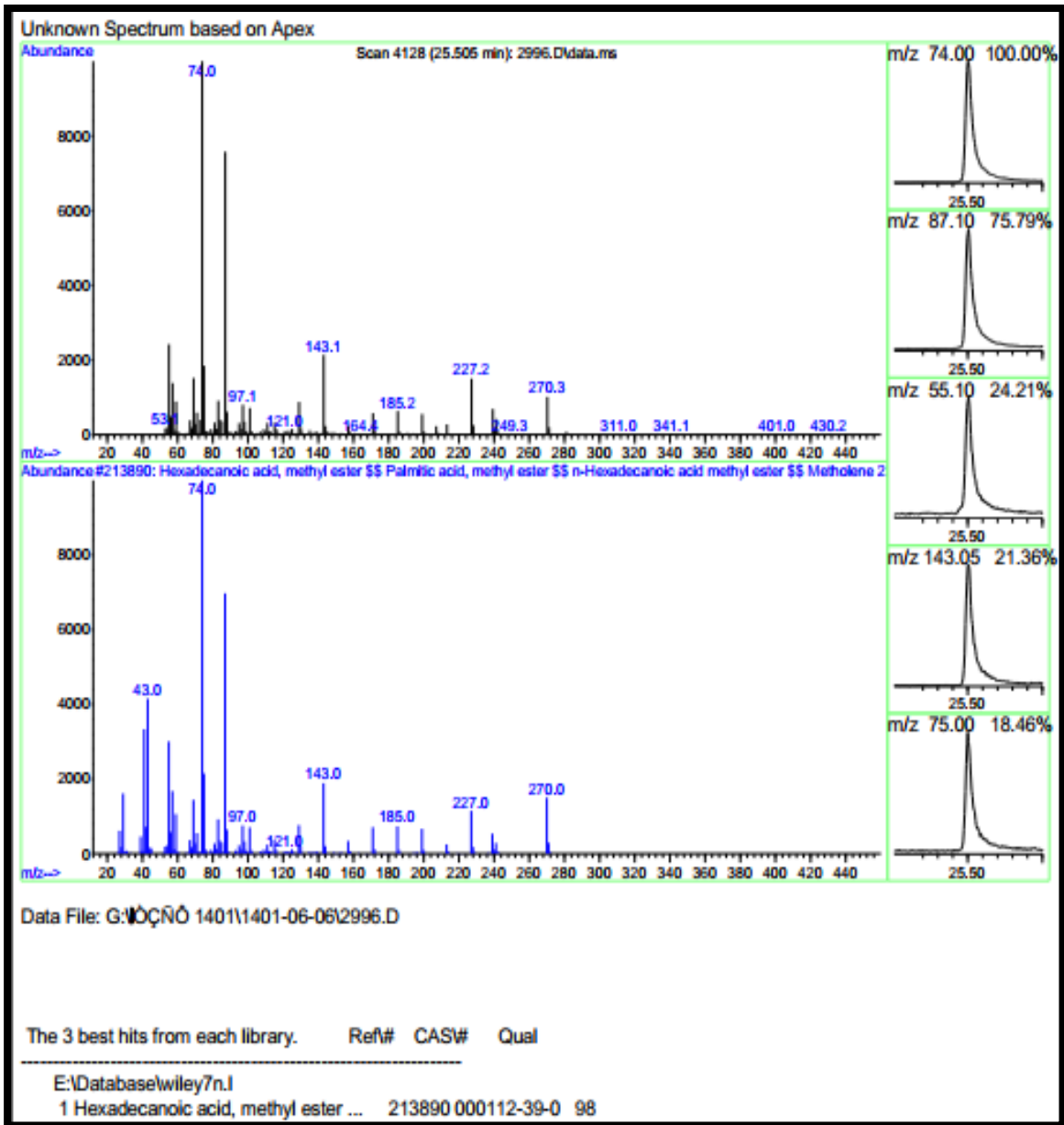


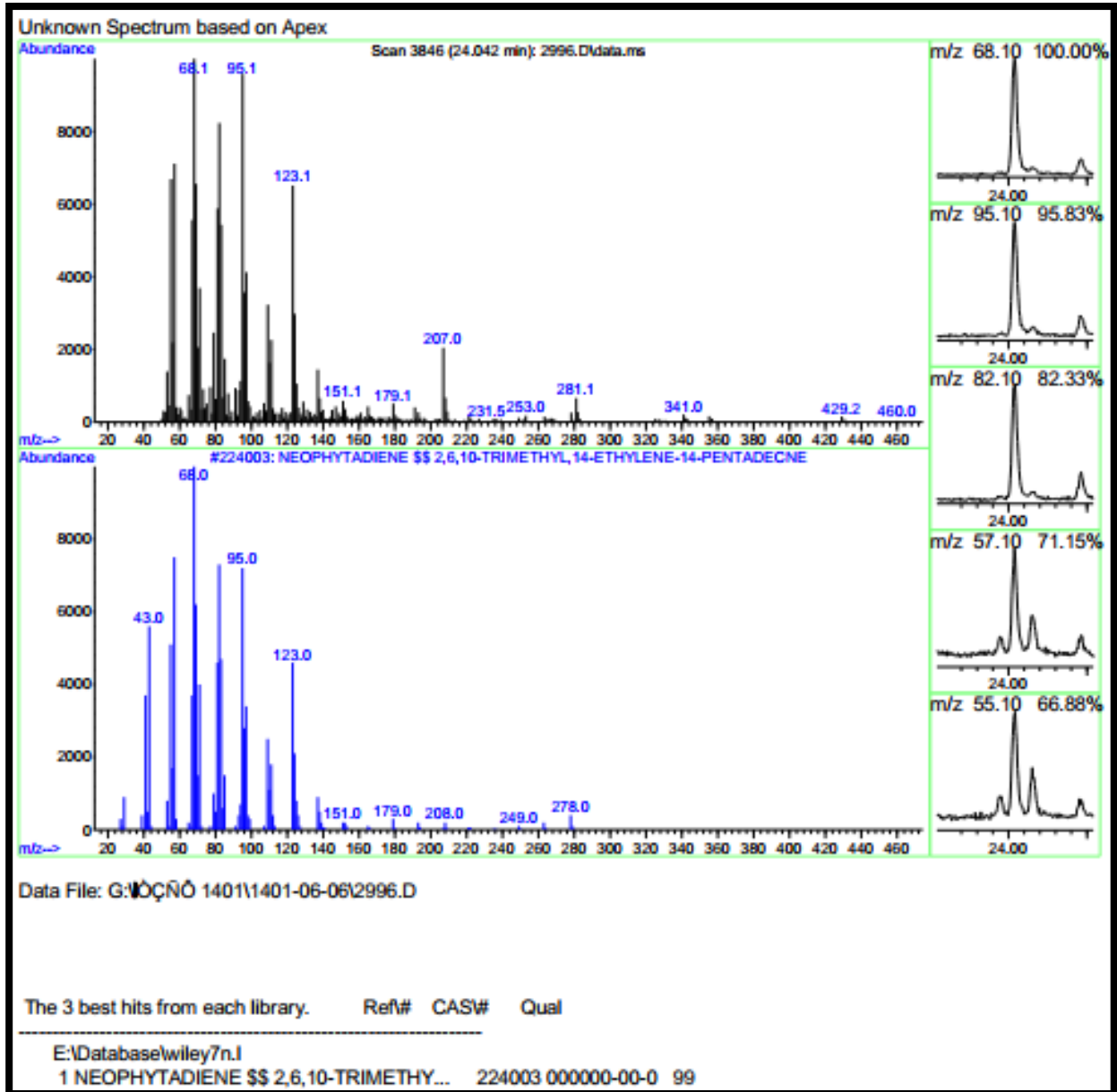


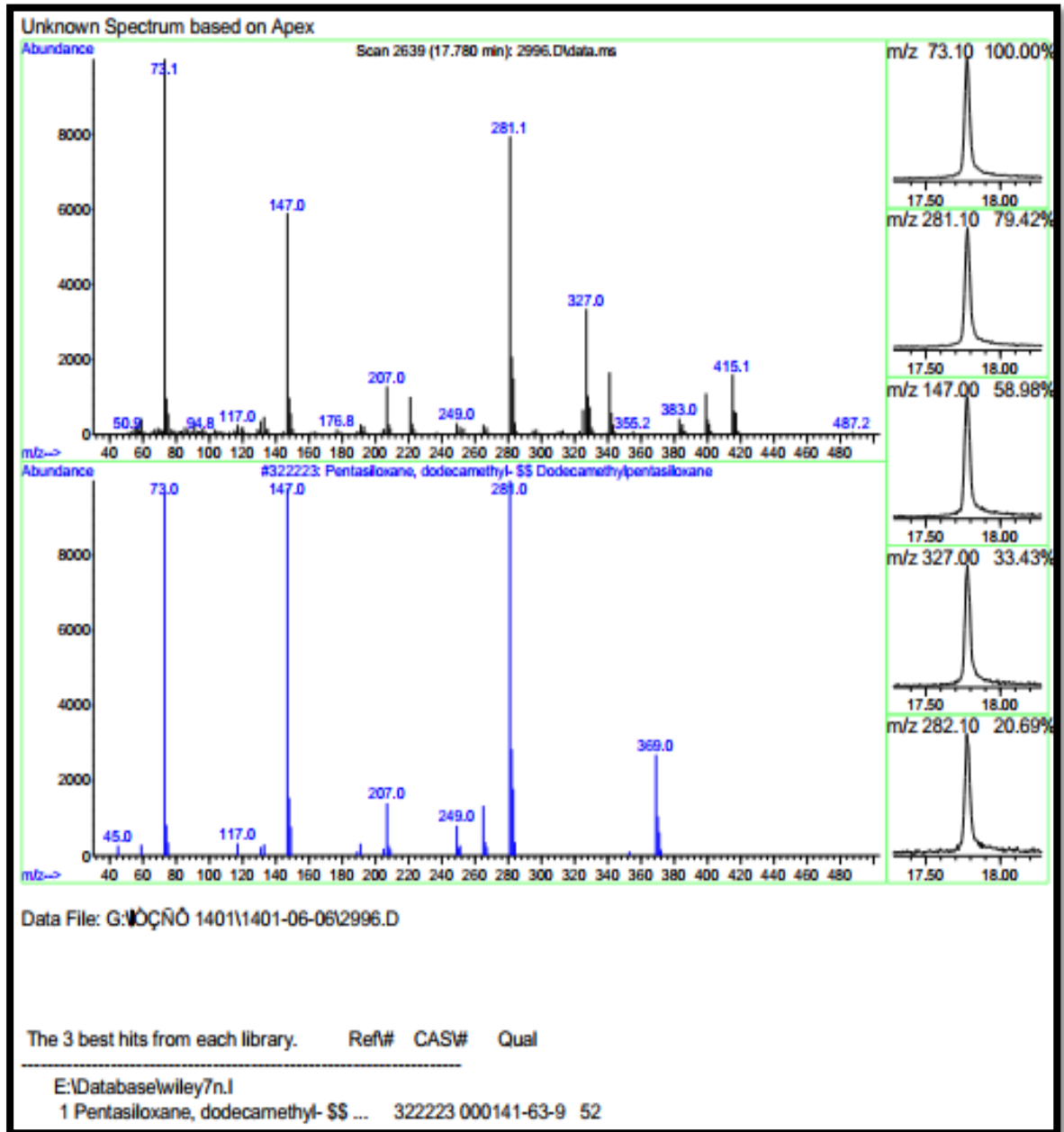


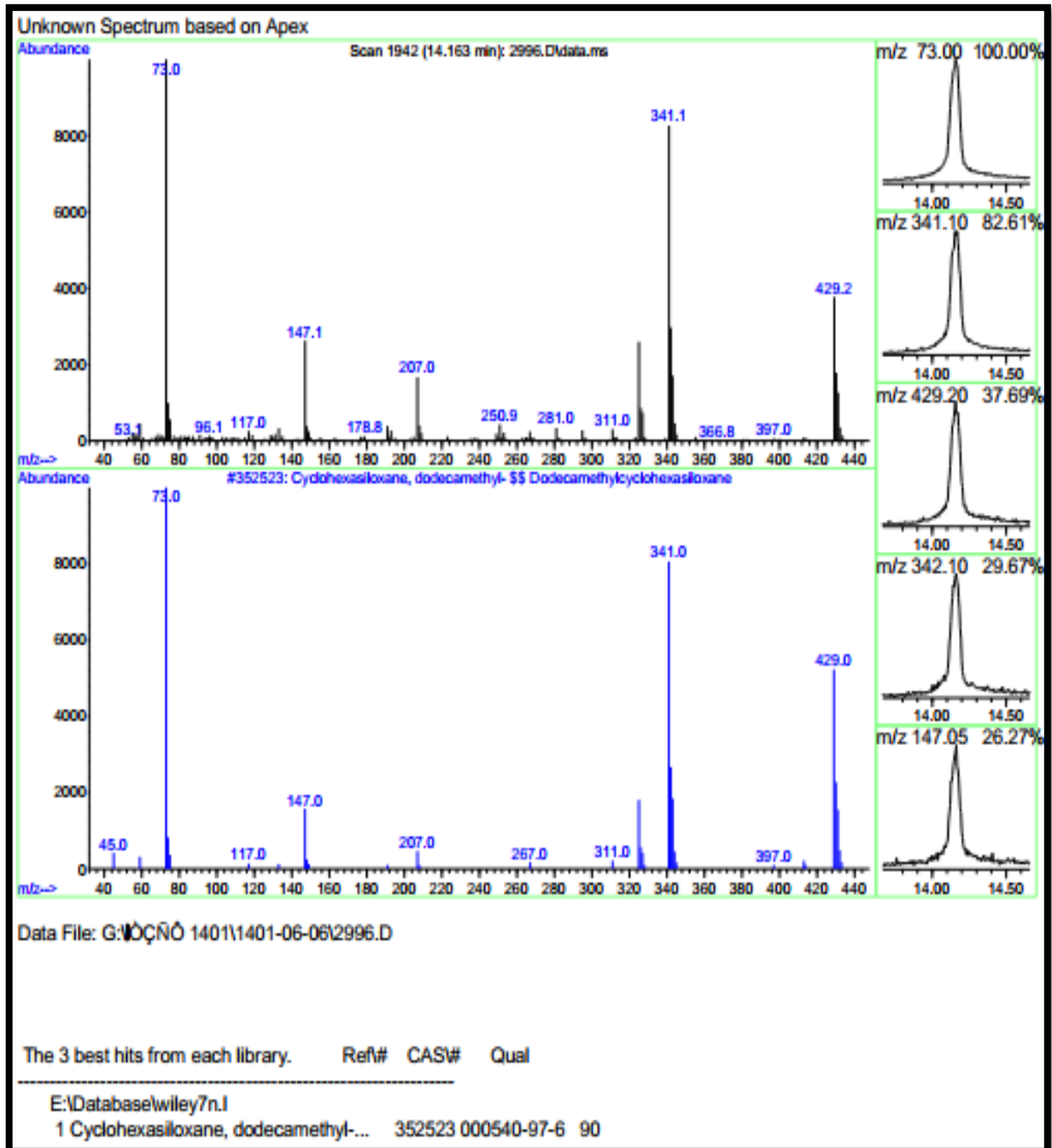


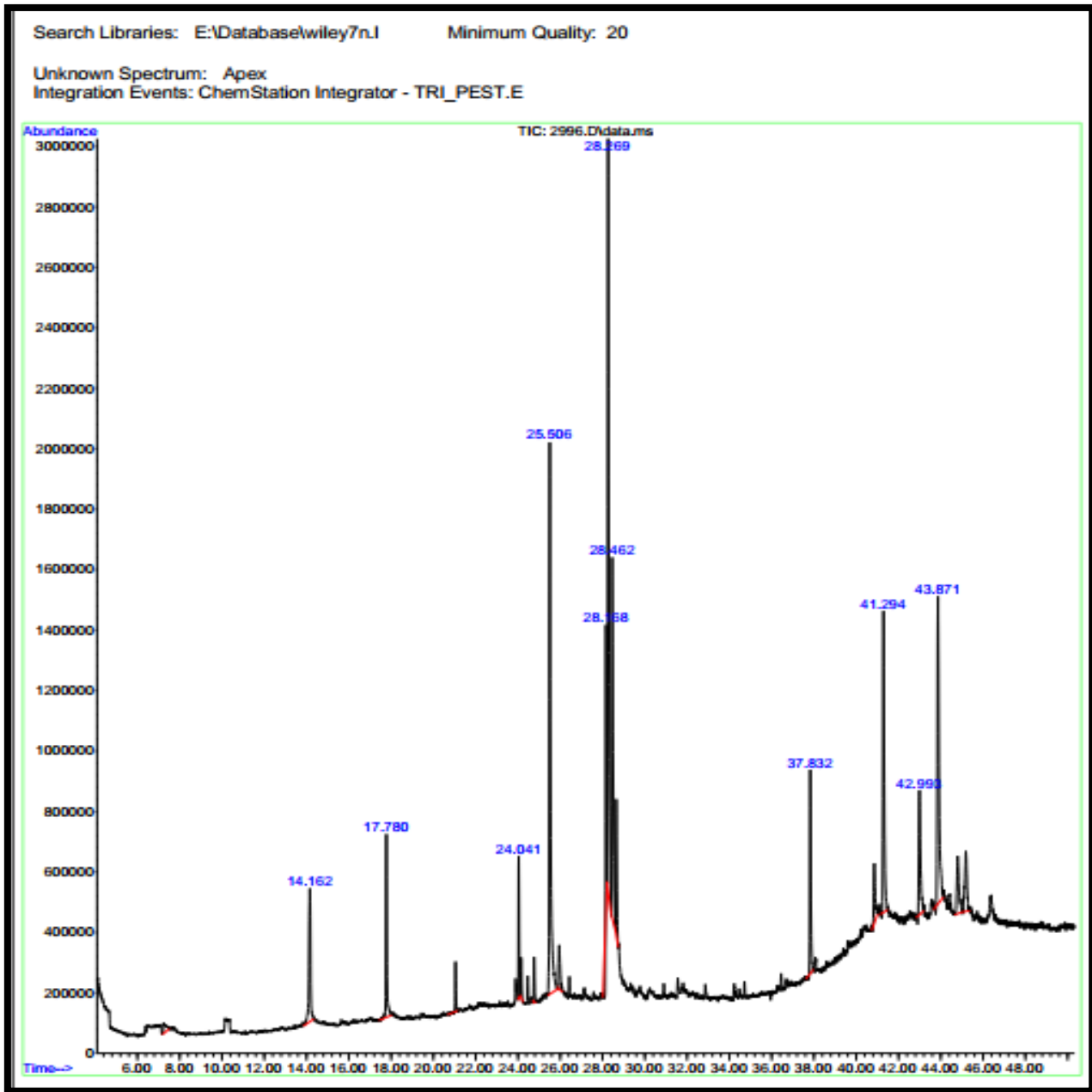




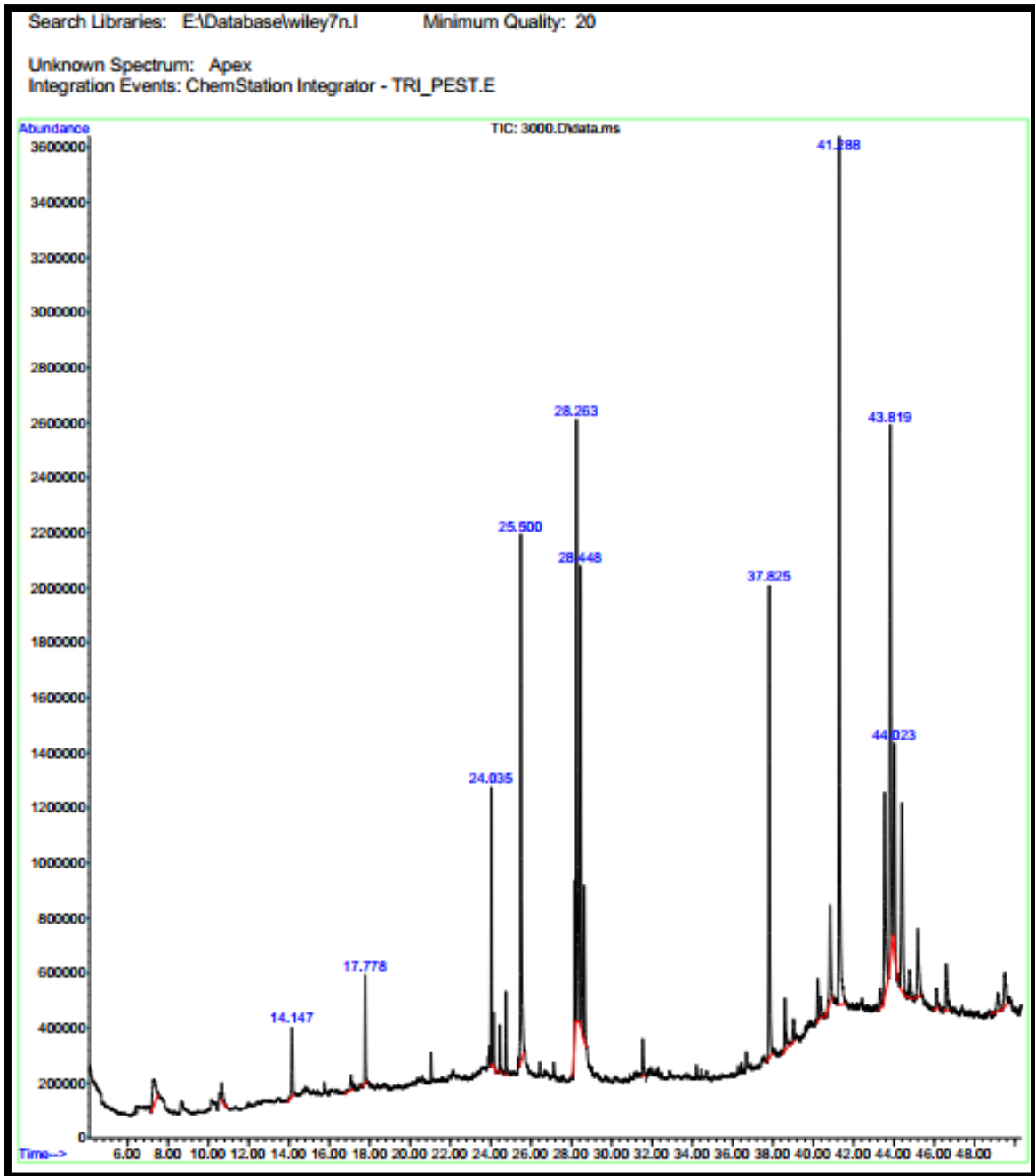


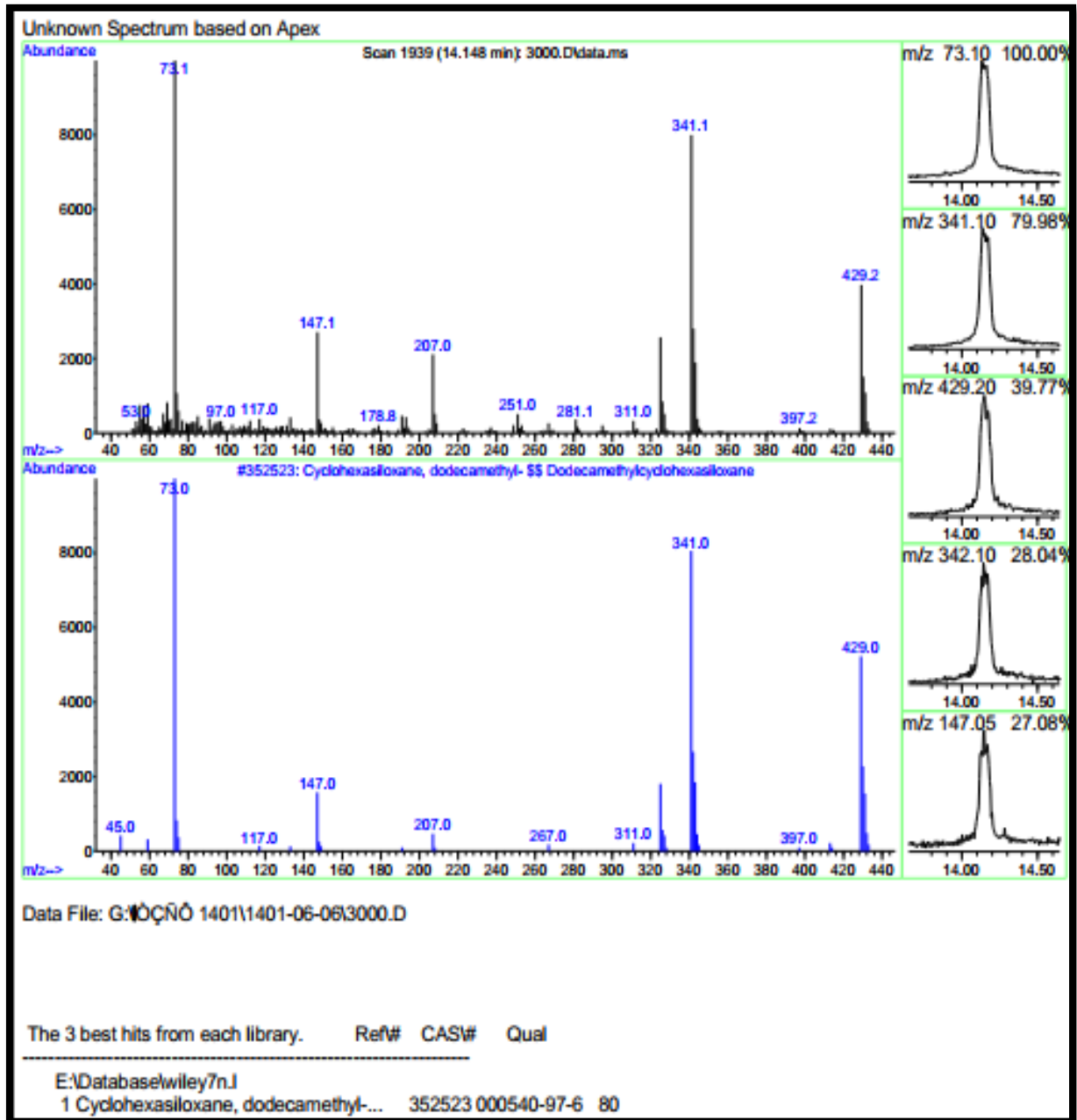


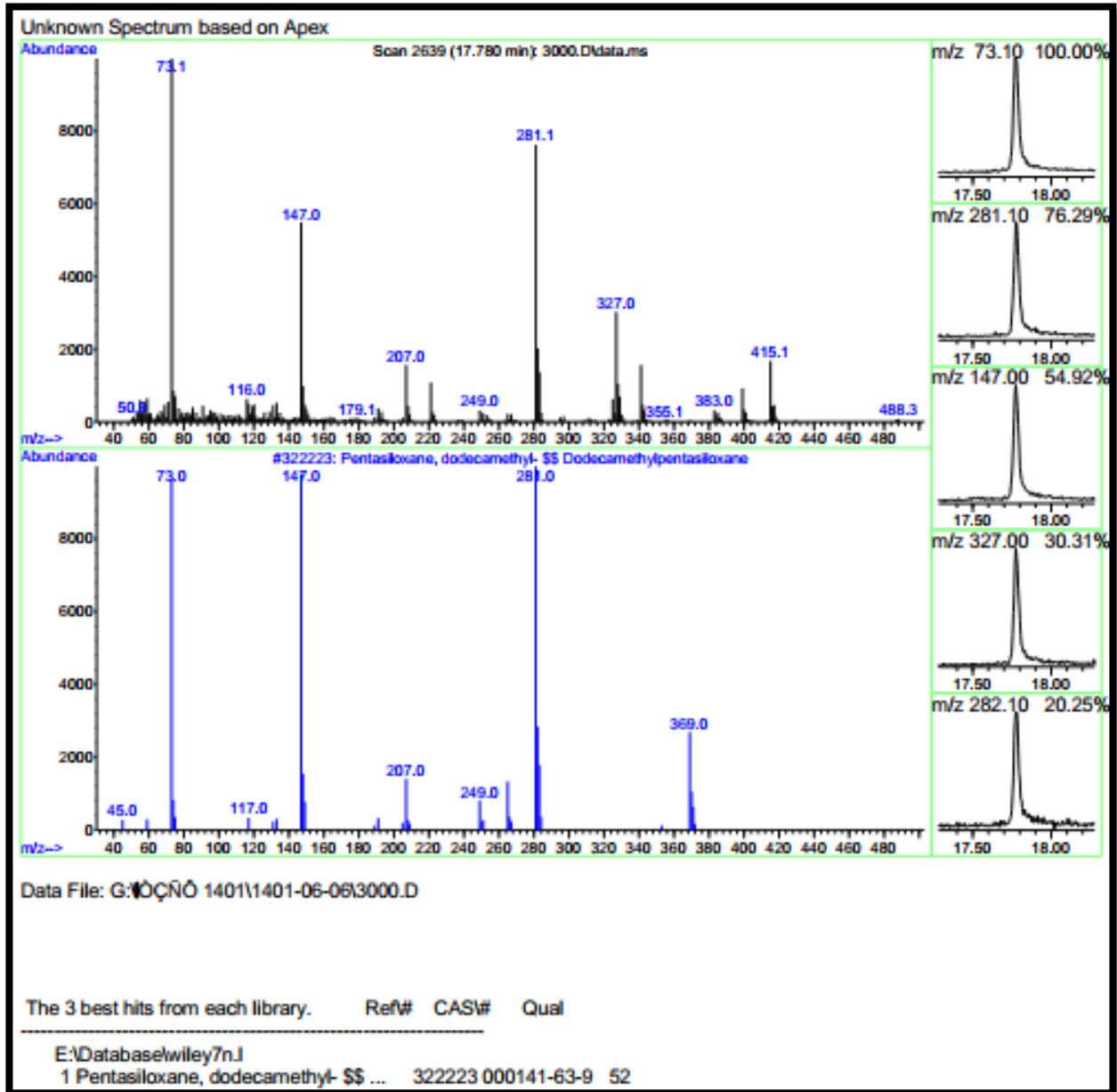


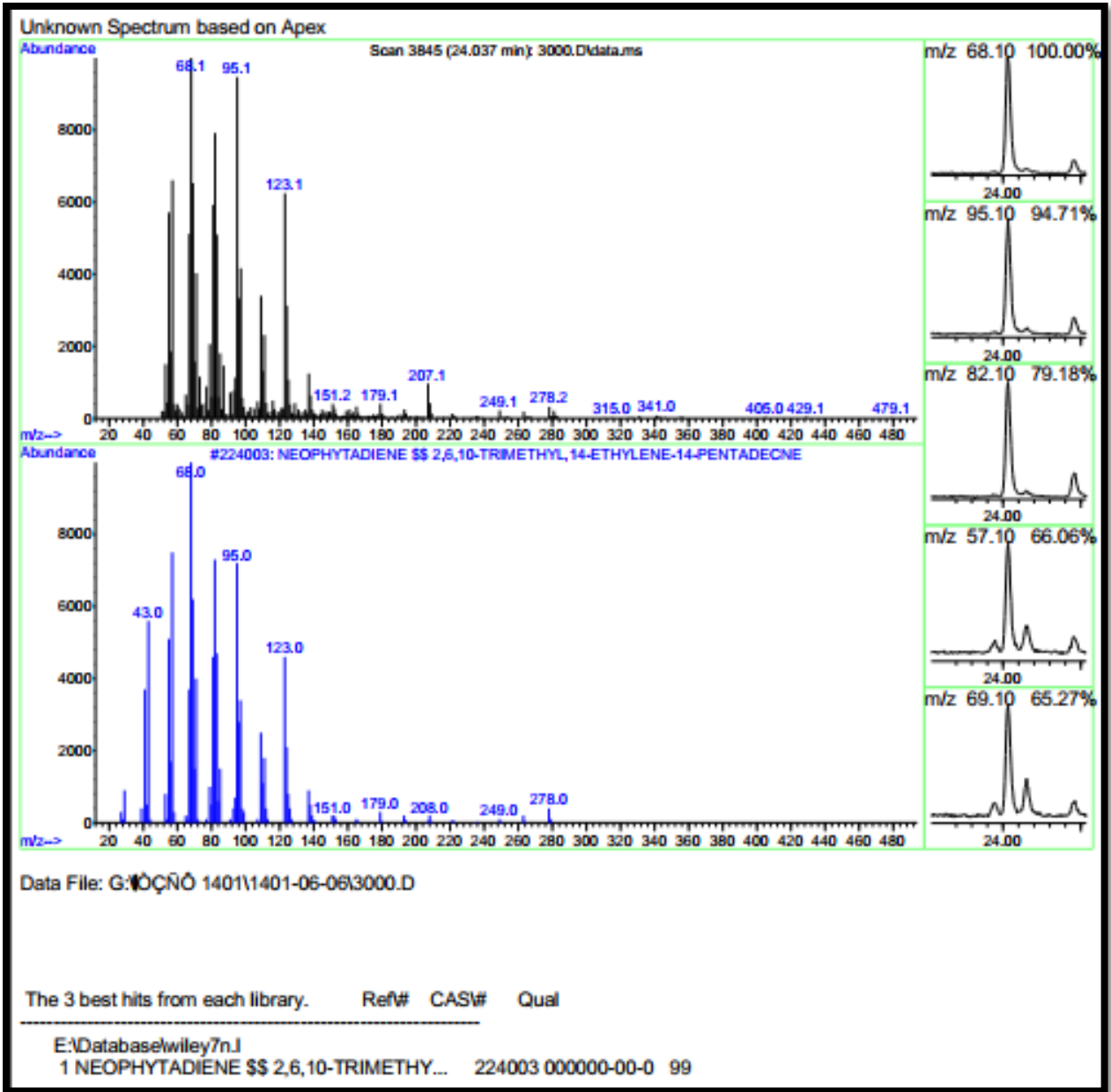


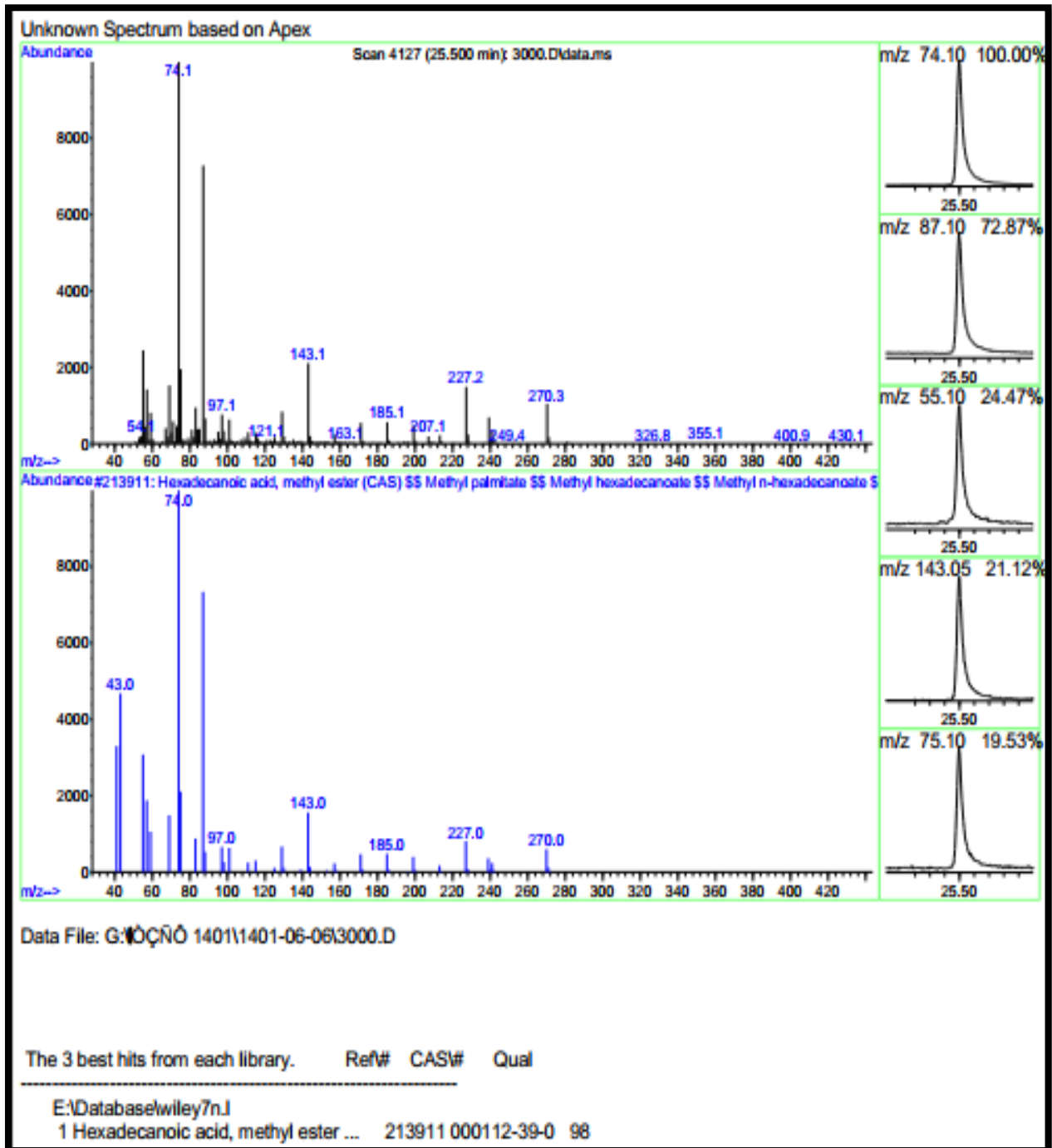
3- قراءة جهاز المطياف الغازي للمركبات الفعالة في مستخلص نبات *G.tricornatum*

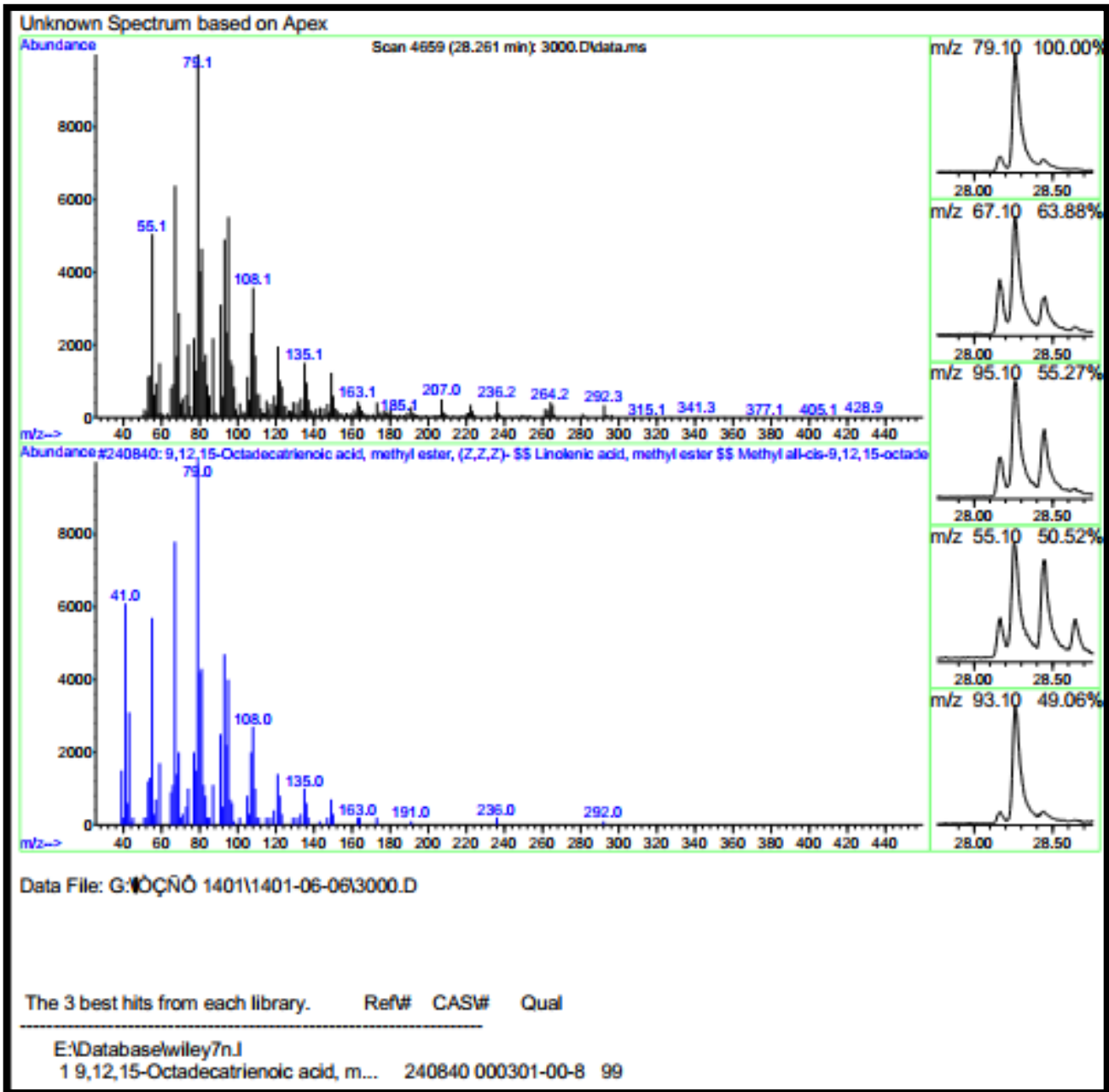


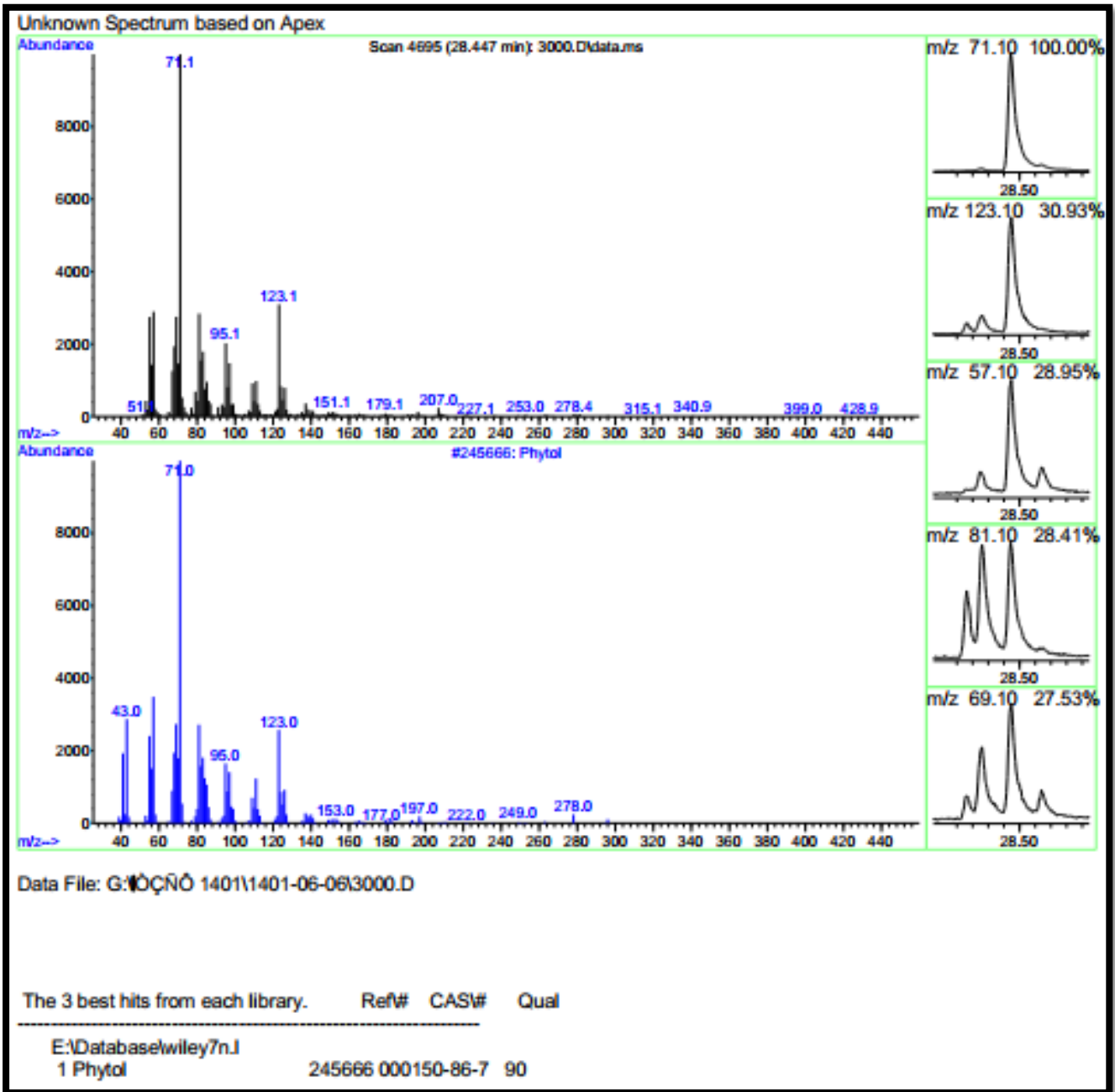


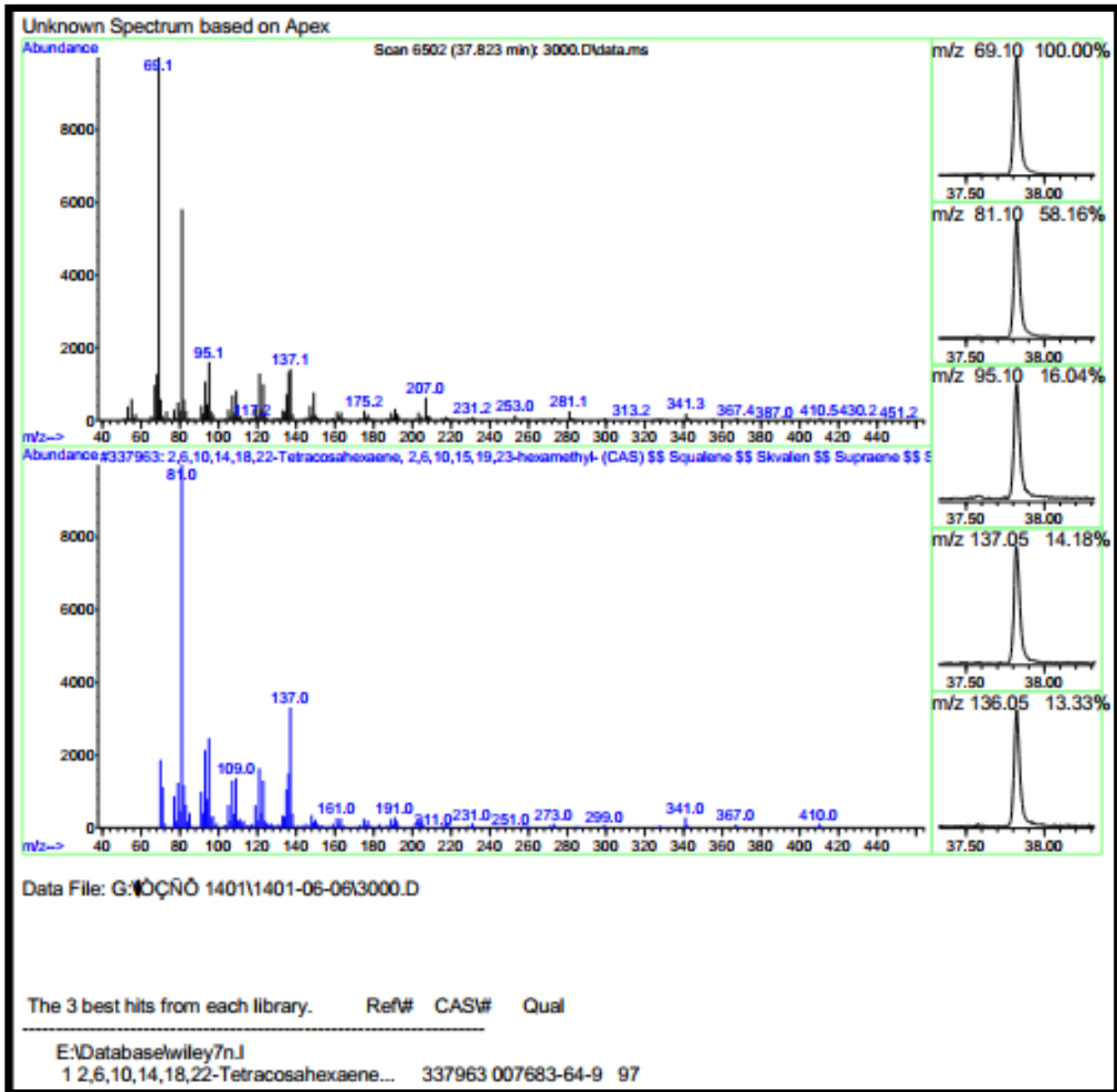


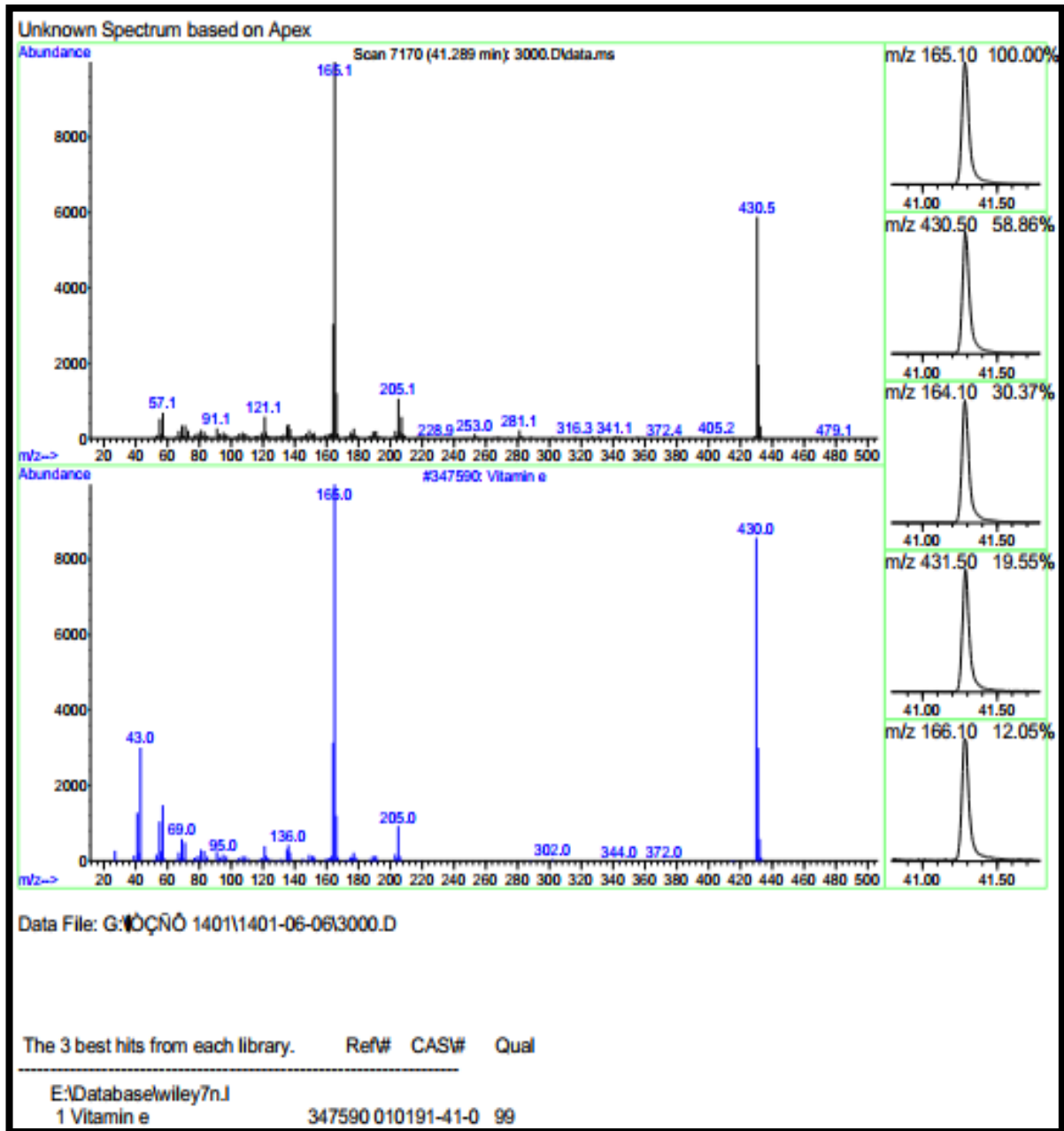


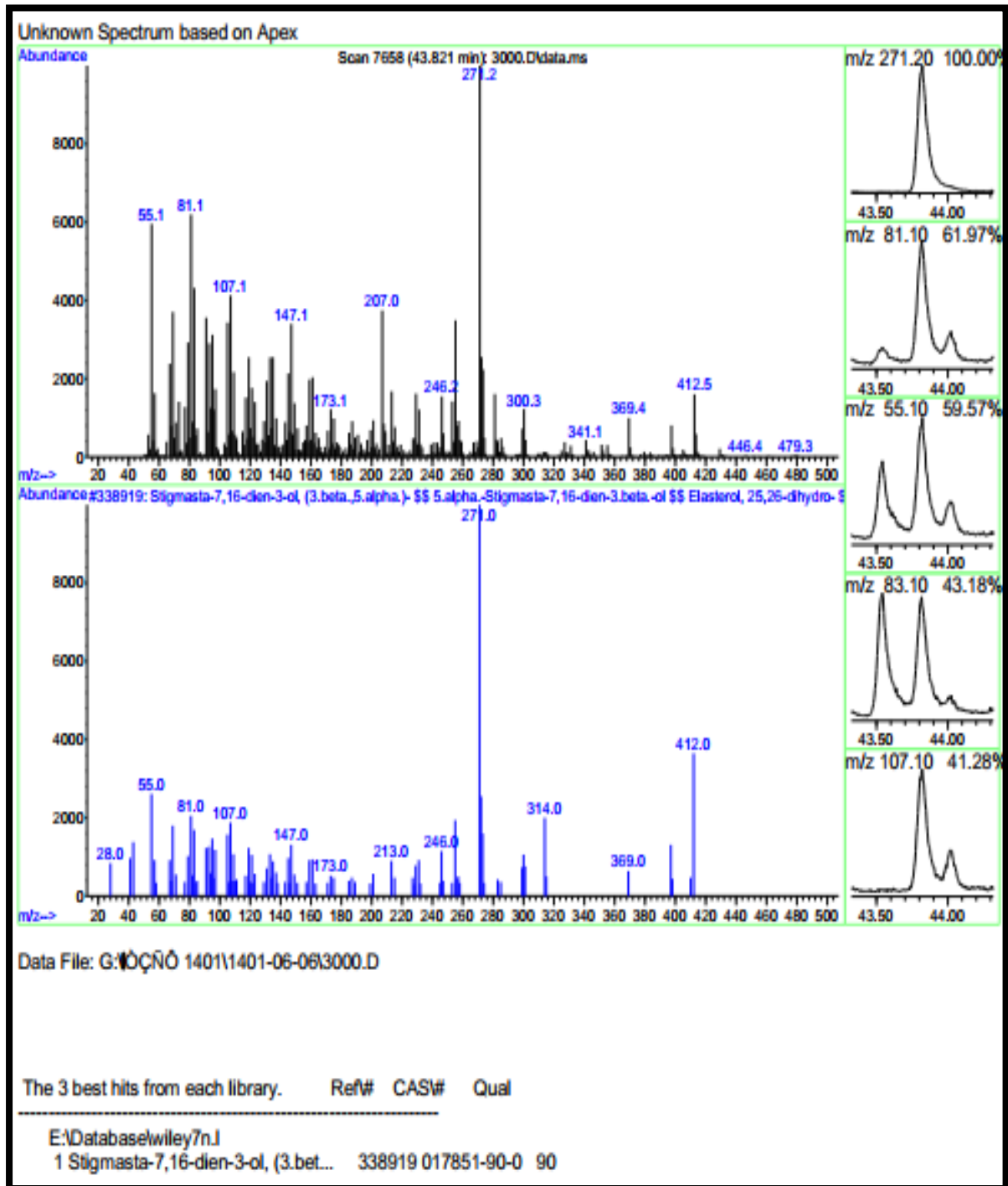


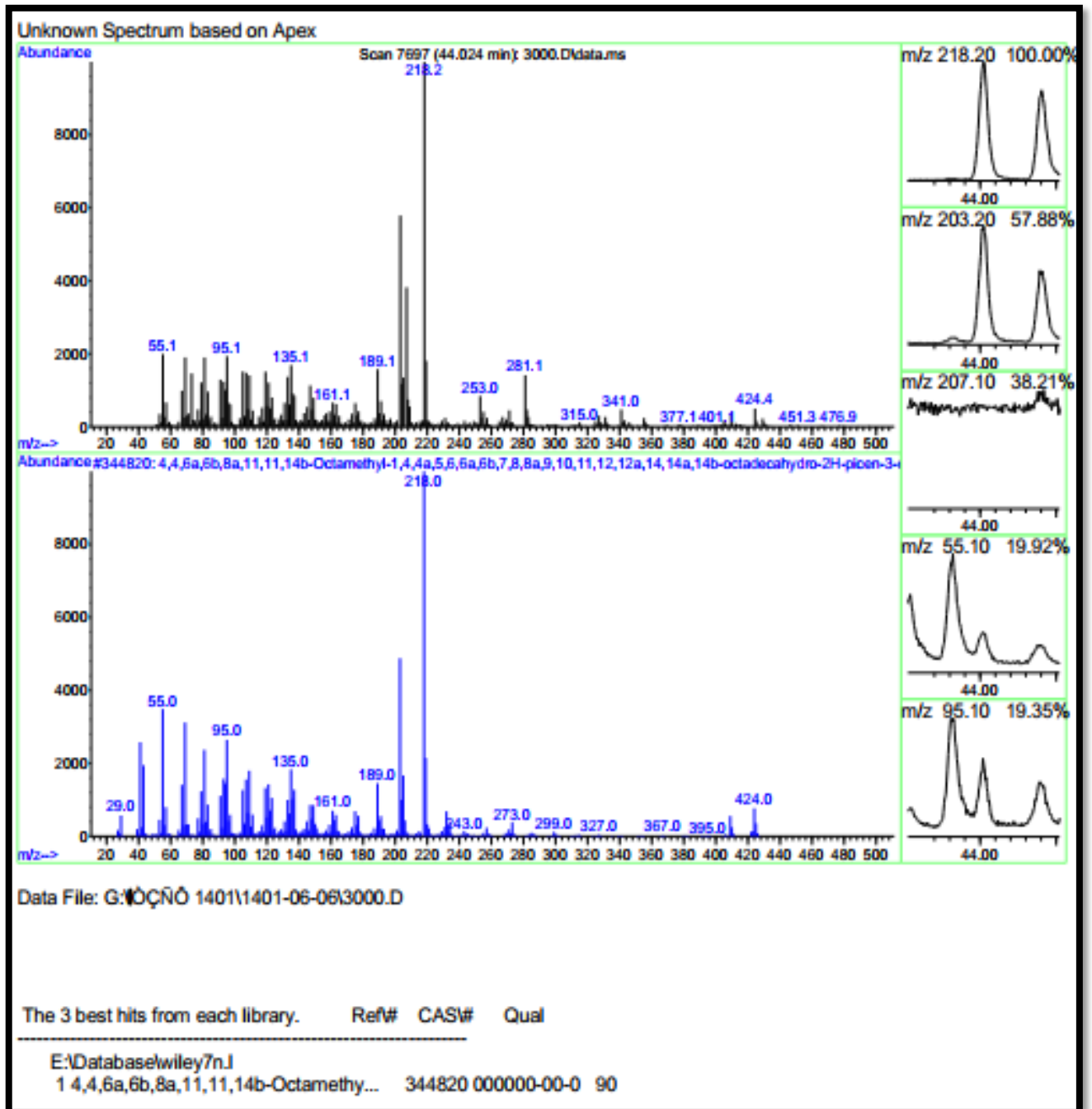




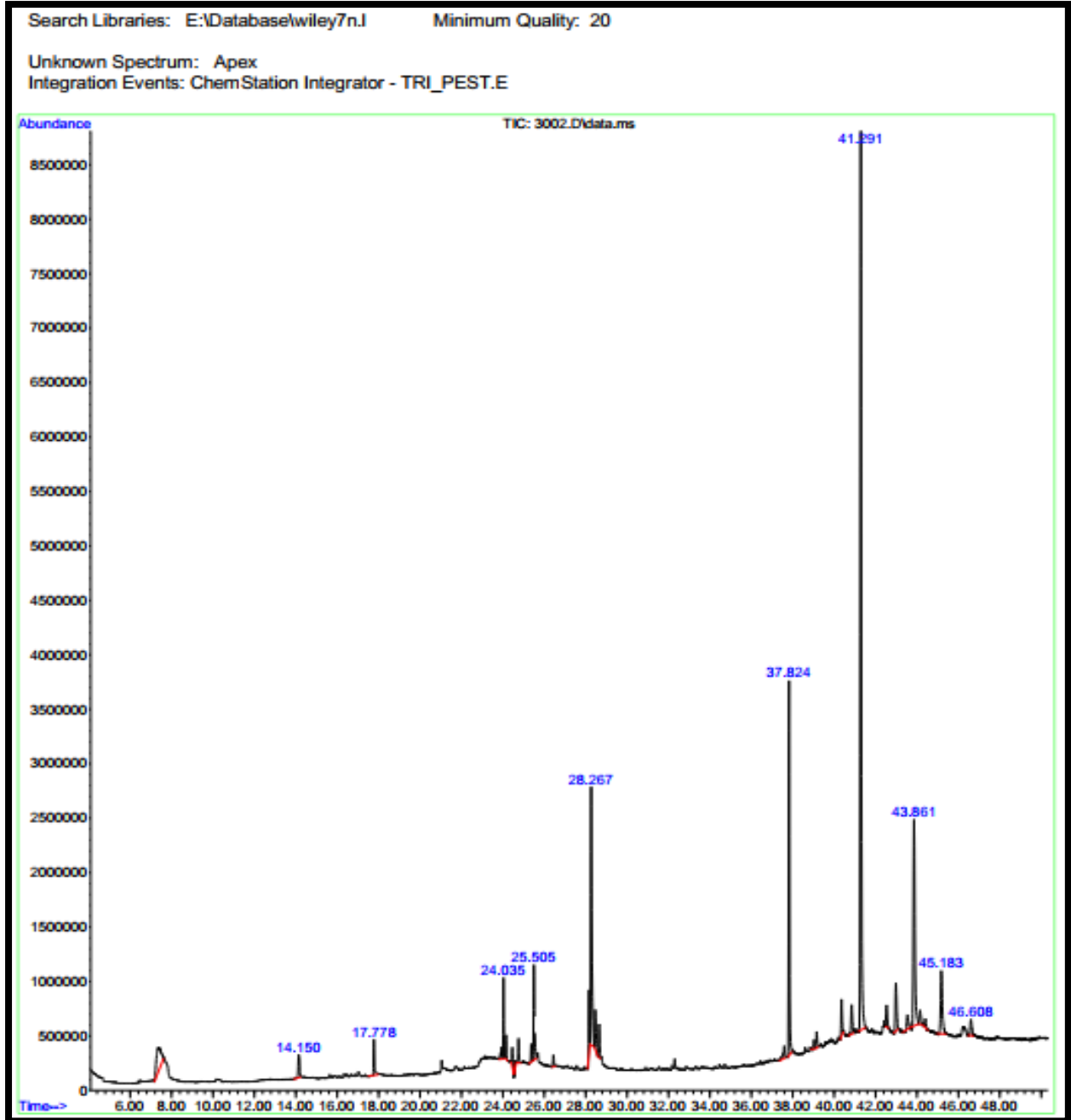


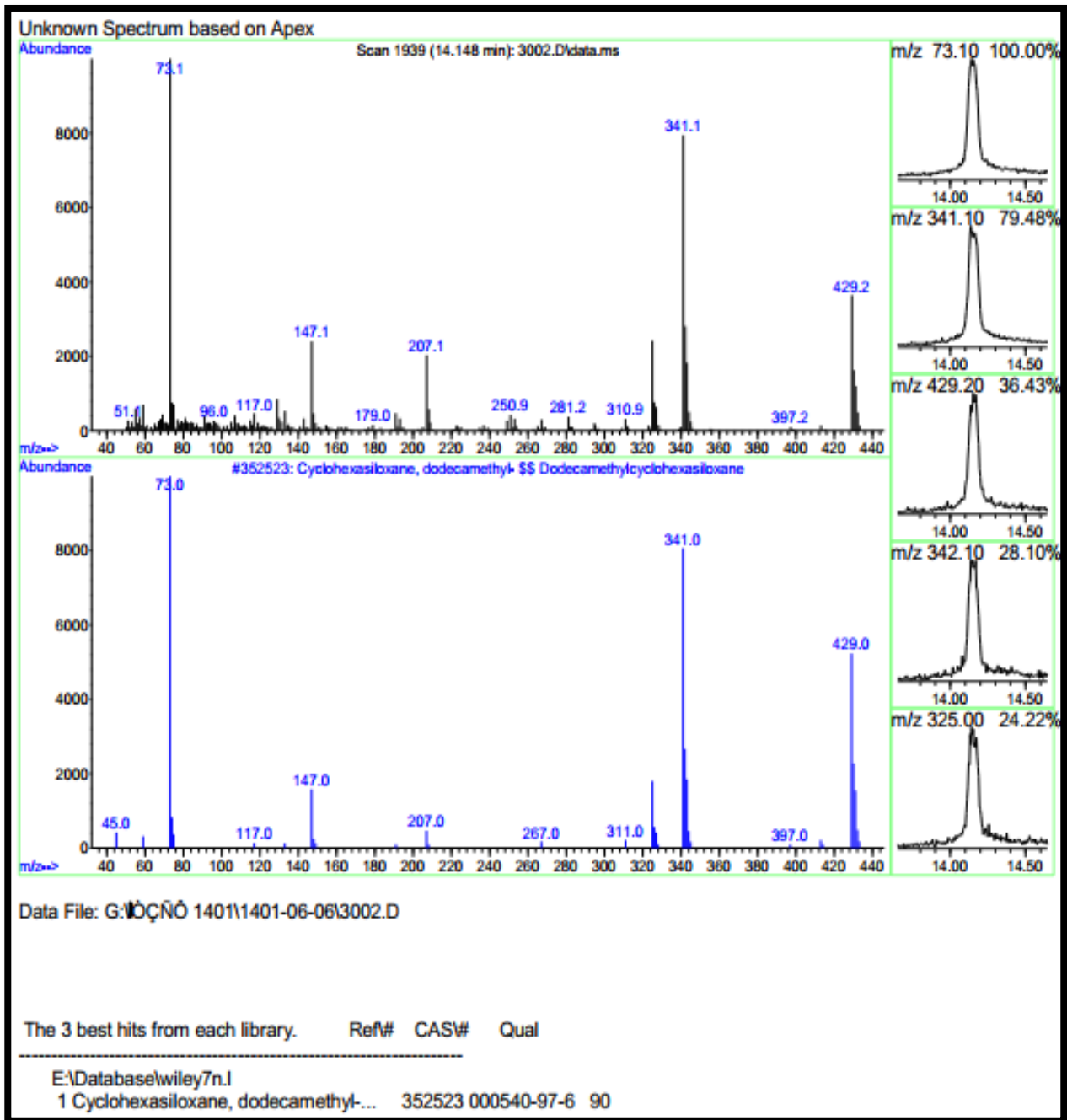


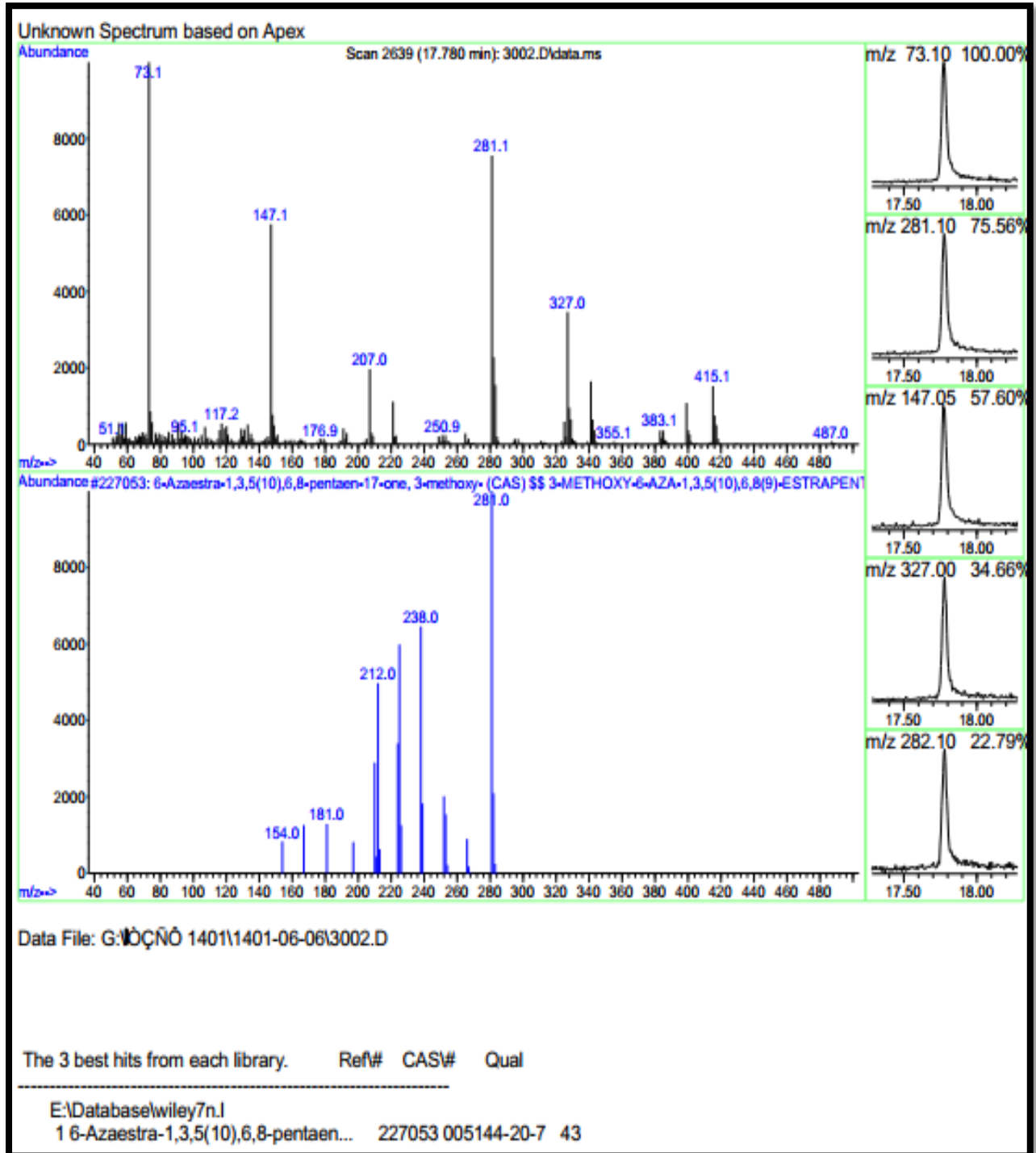


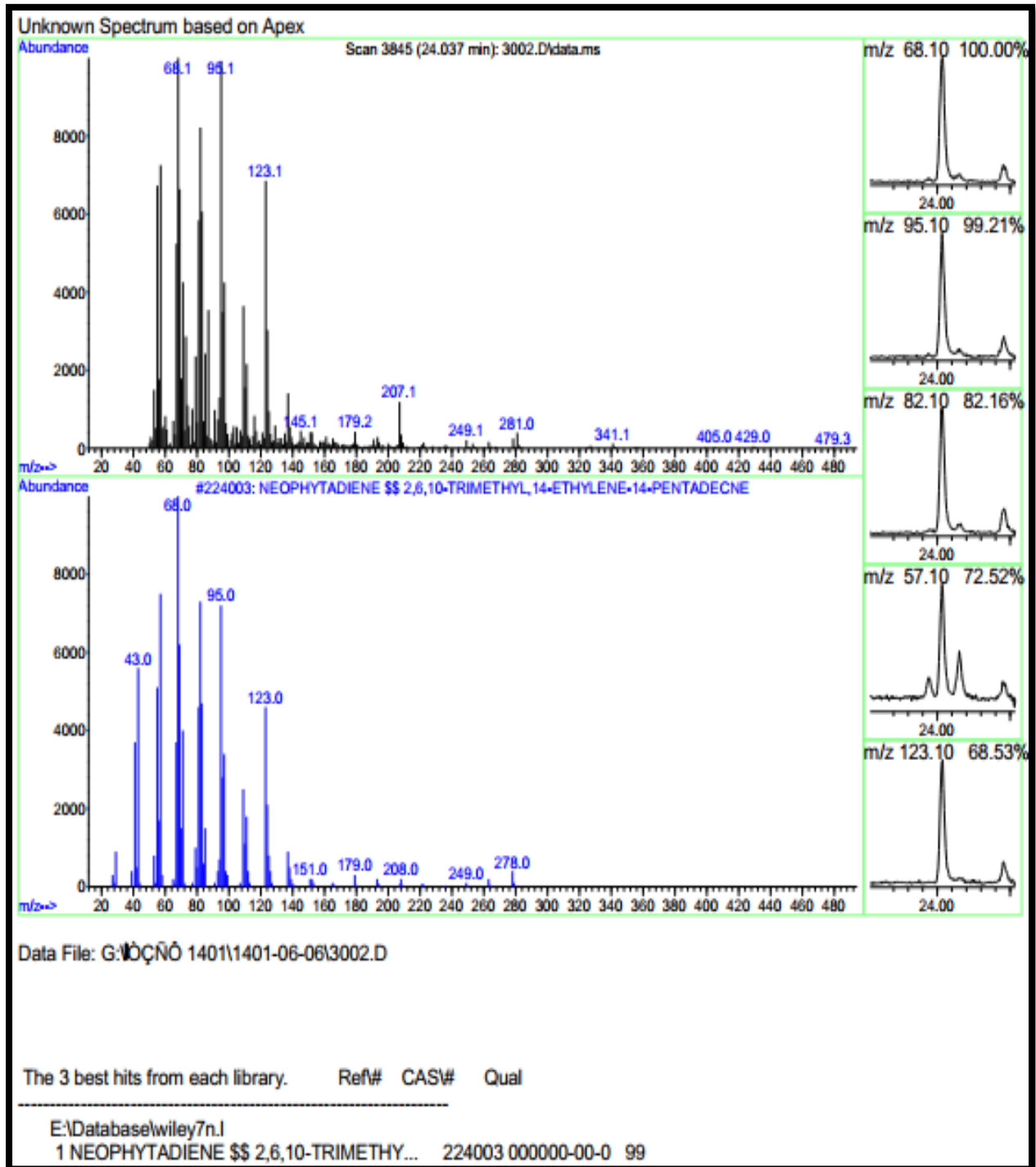


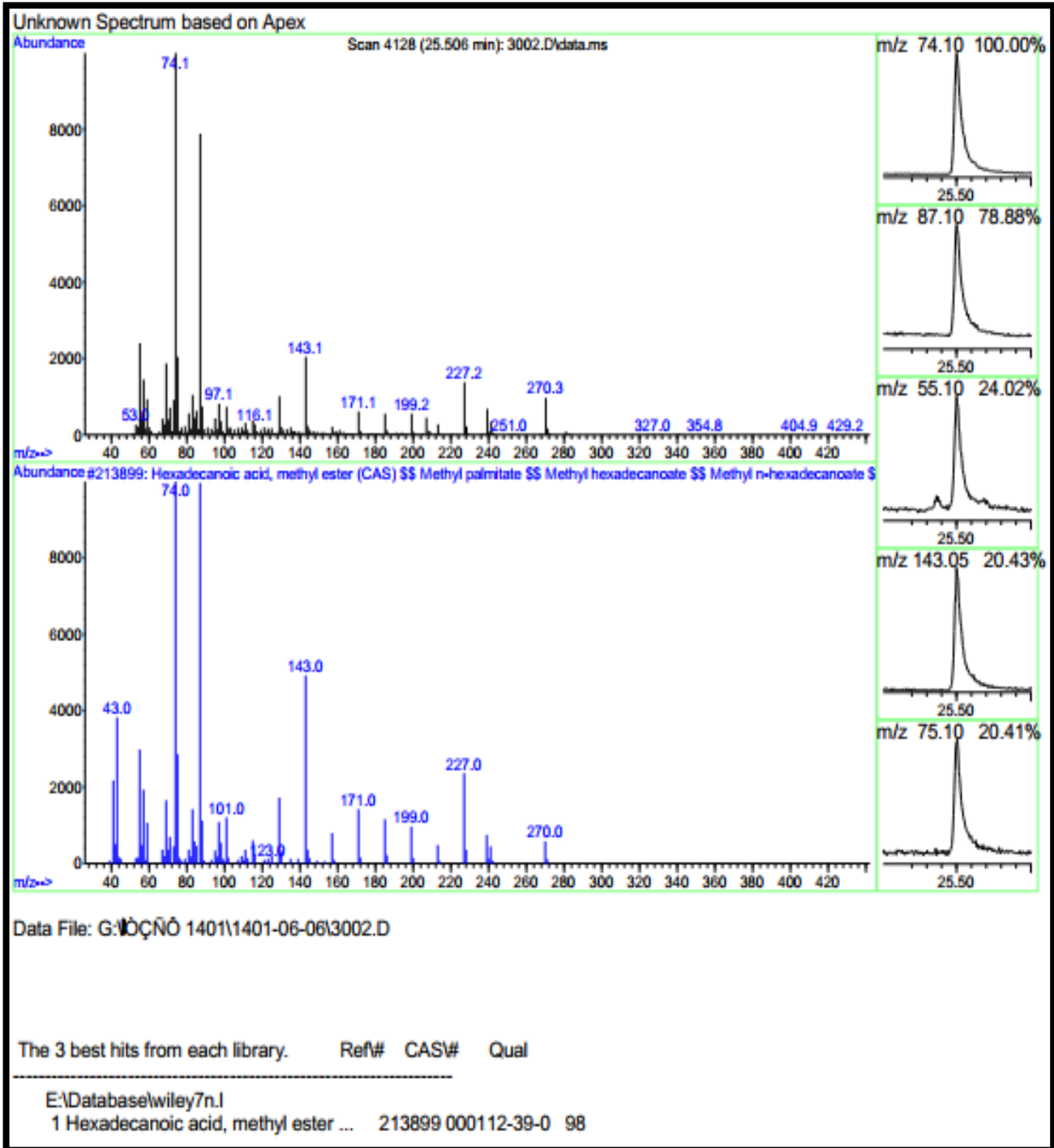
4- قراءة جهاز المطياف الغازي للمركبات الفعالة في مستخلص نبات *G.ceratopodum*

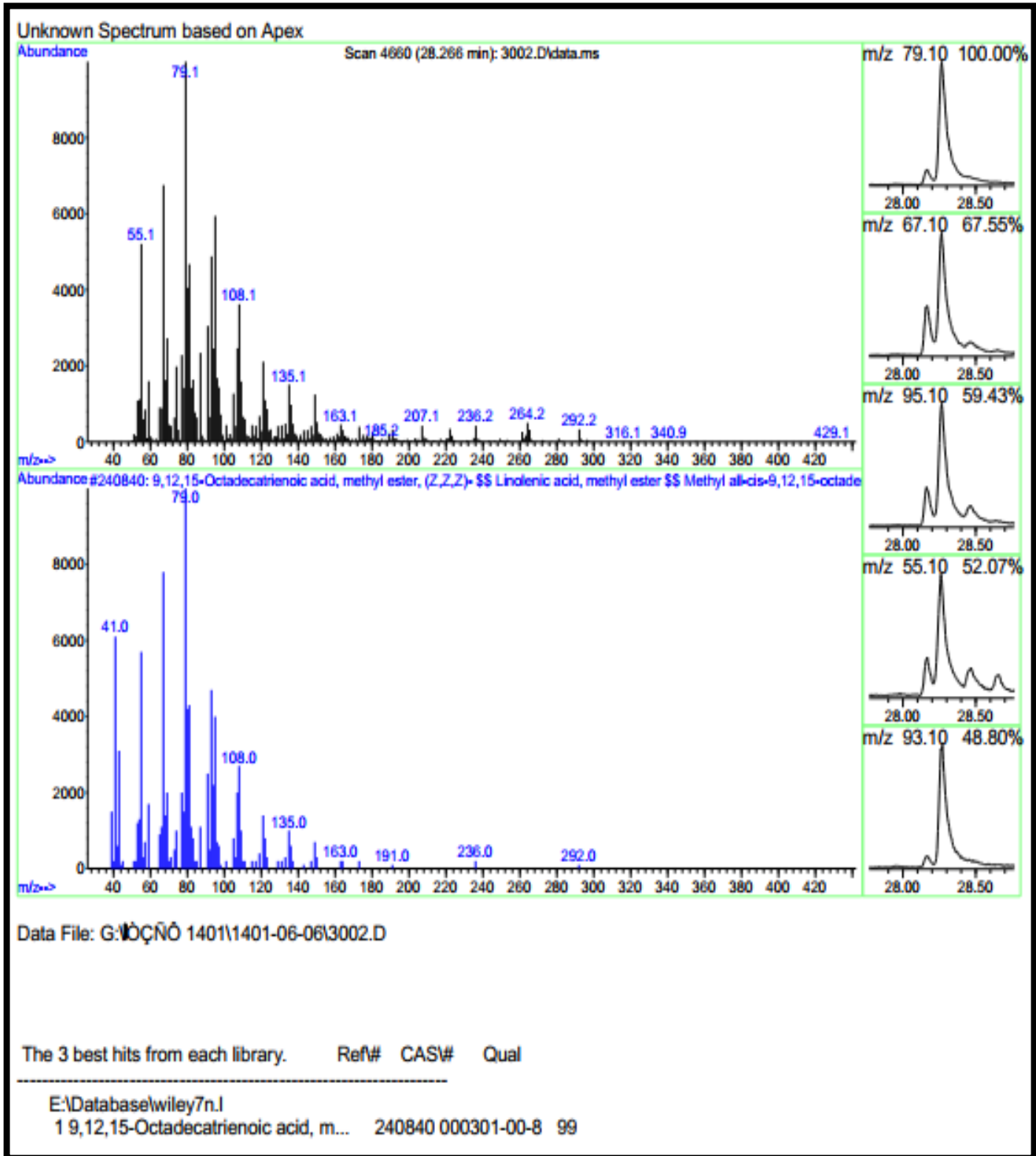


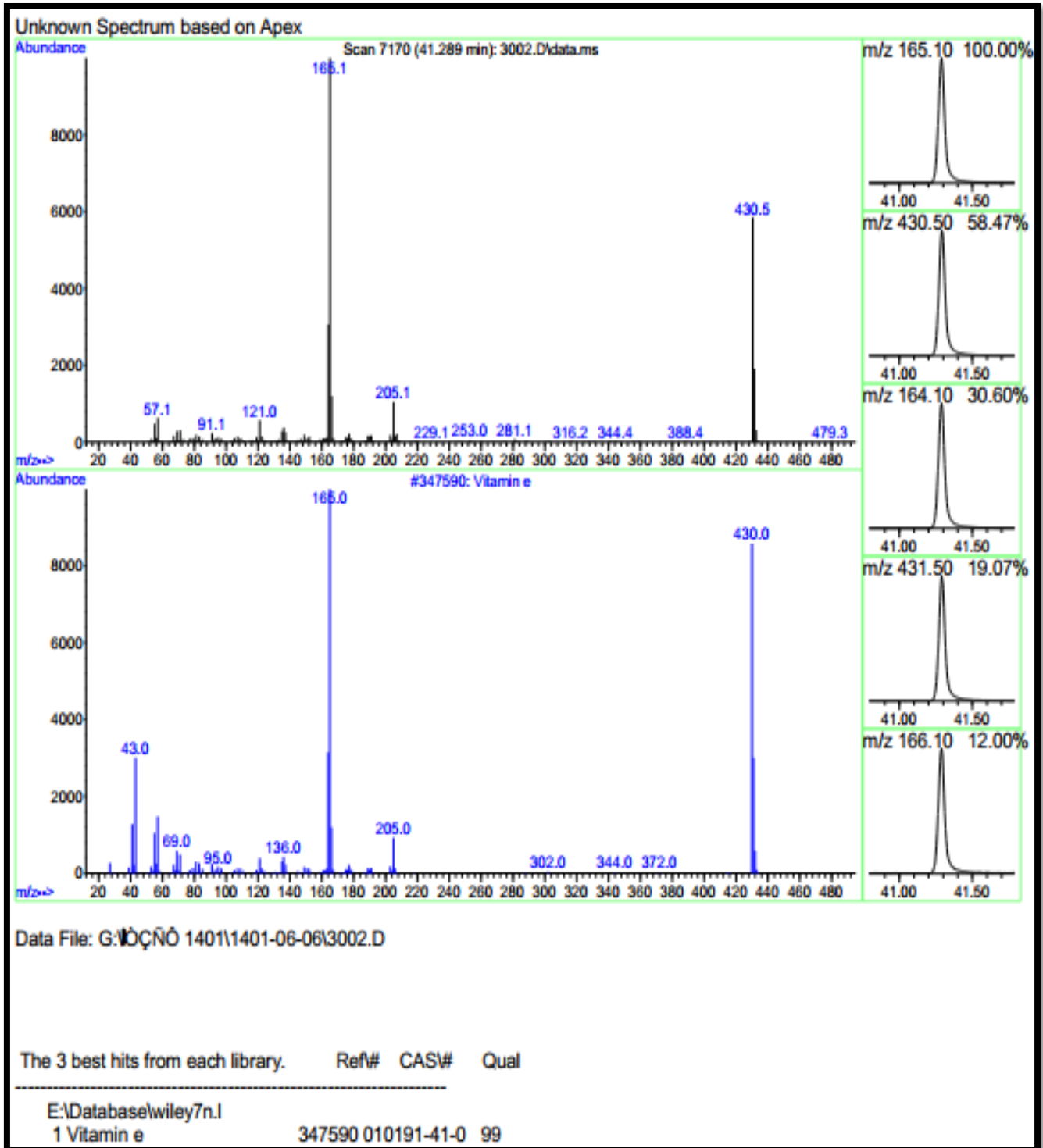


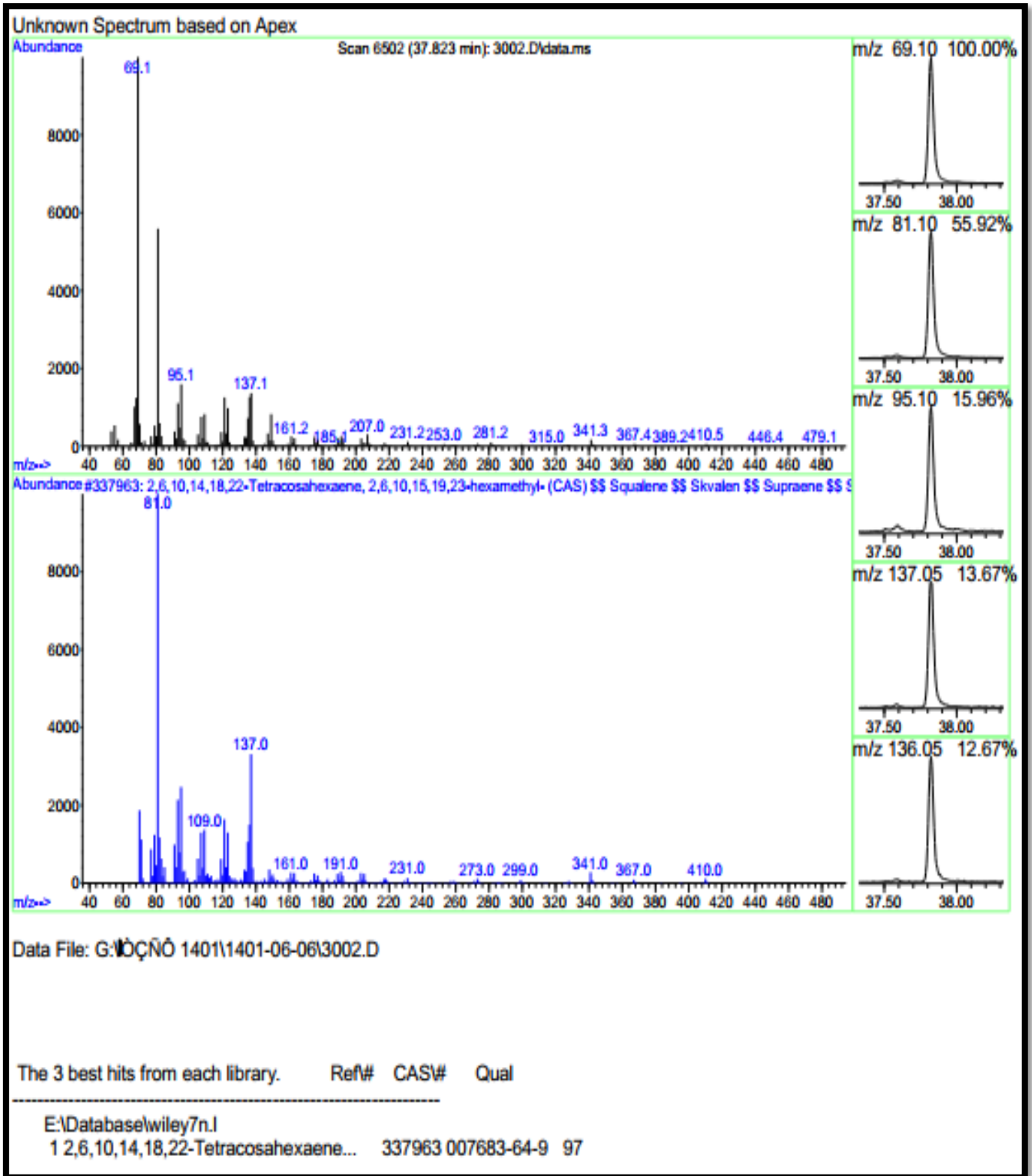


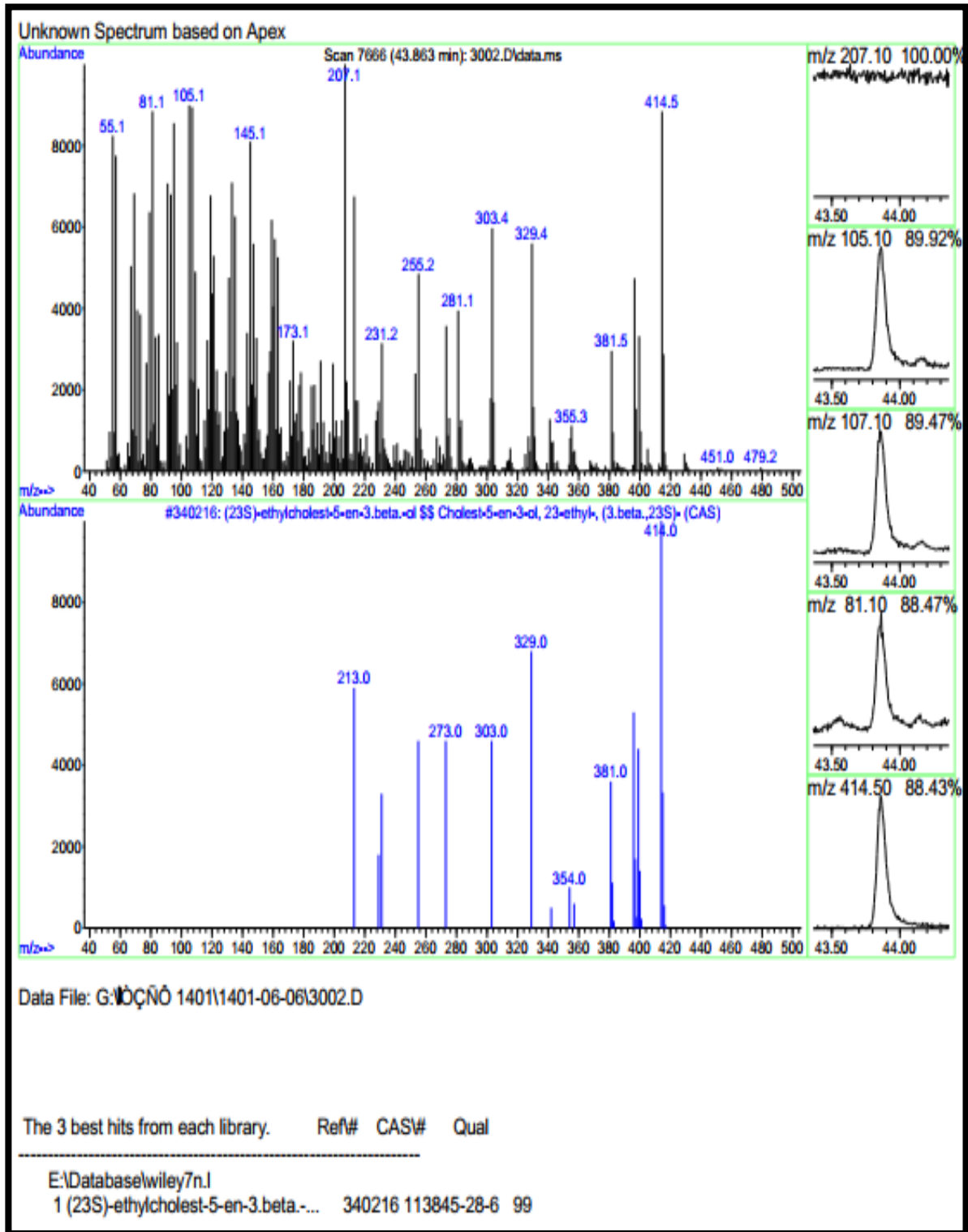


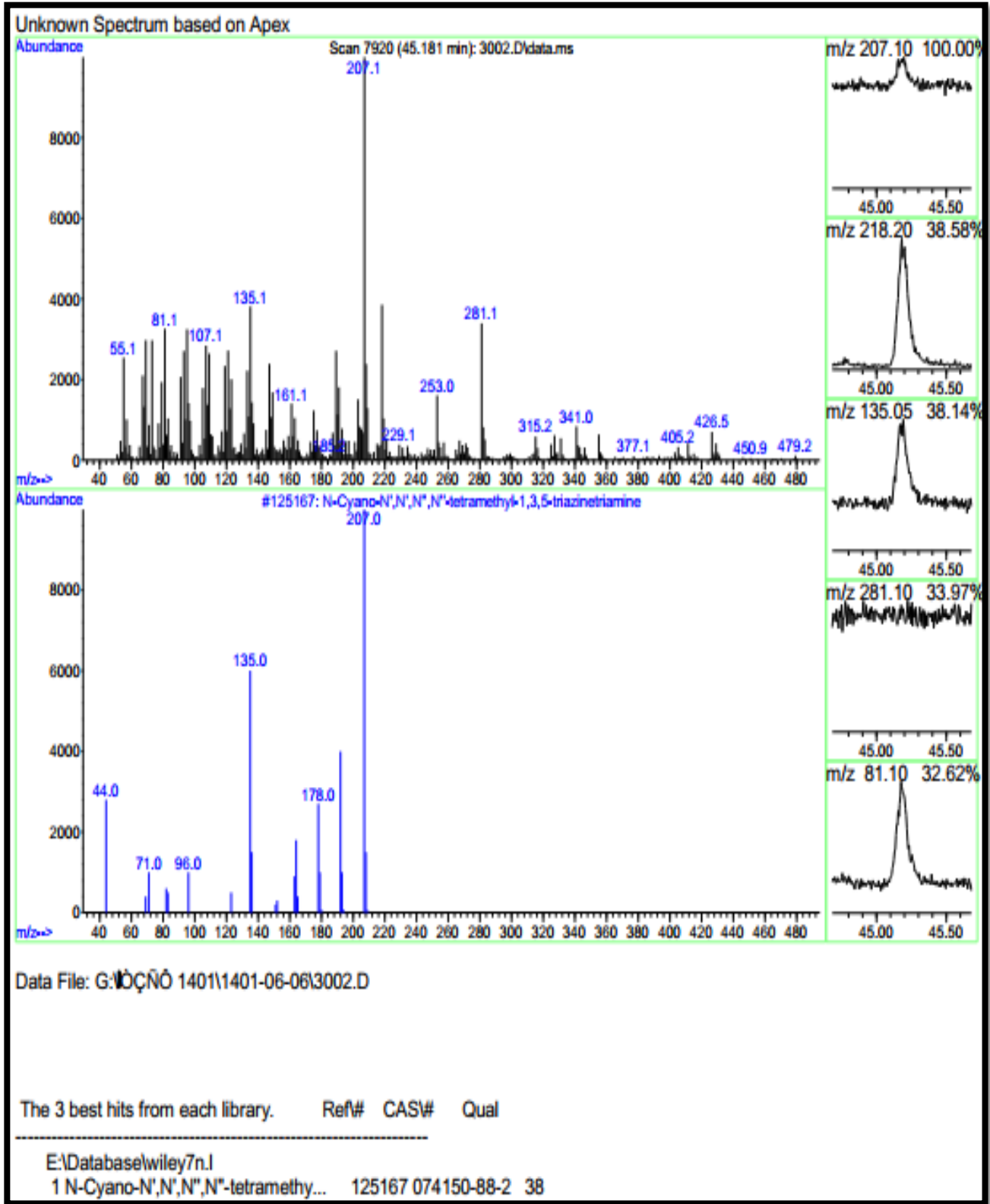


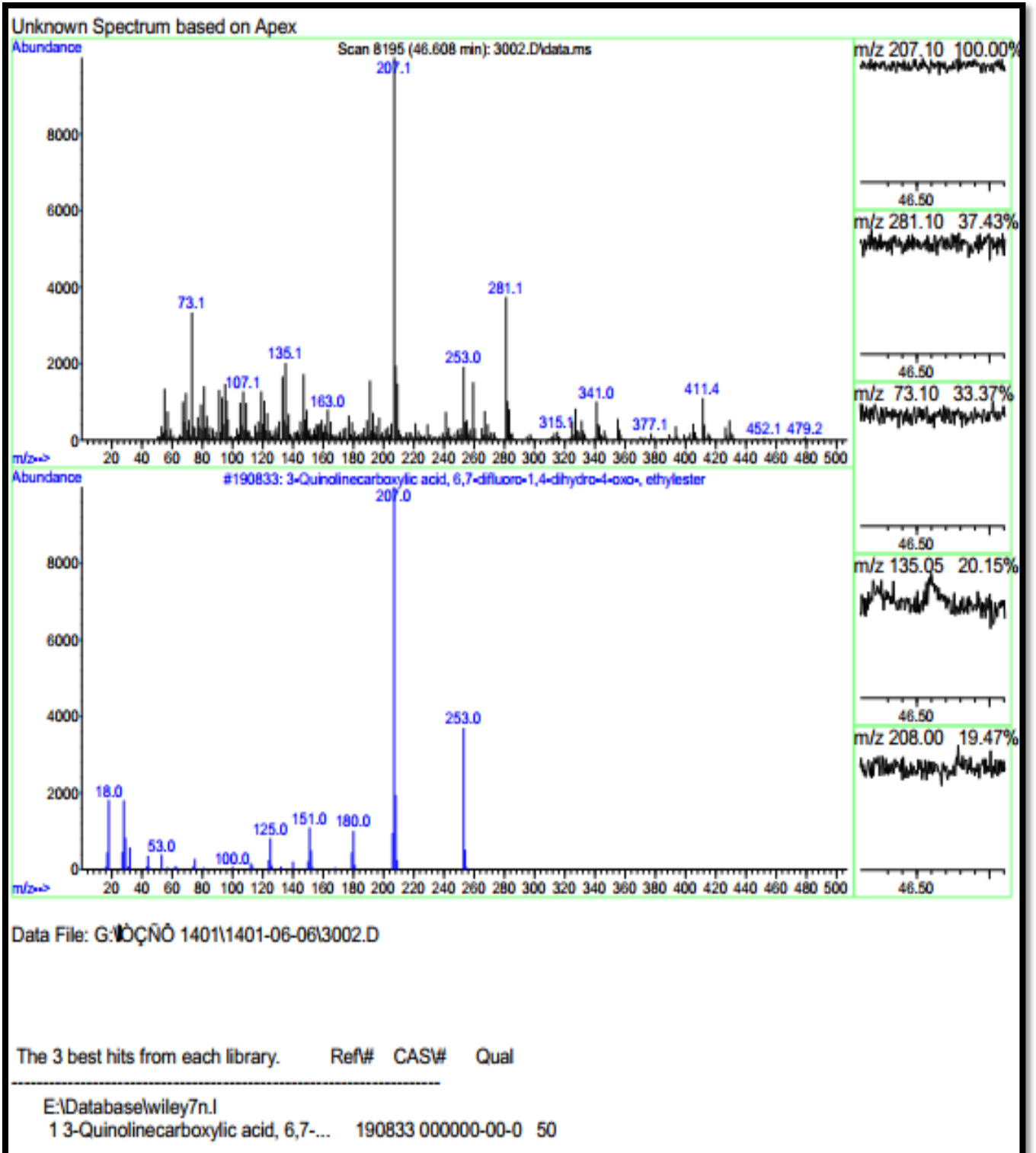




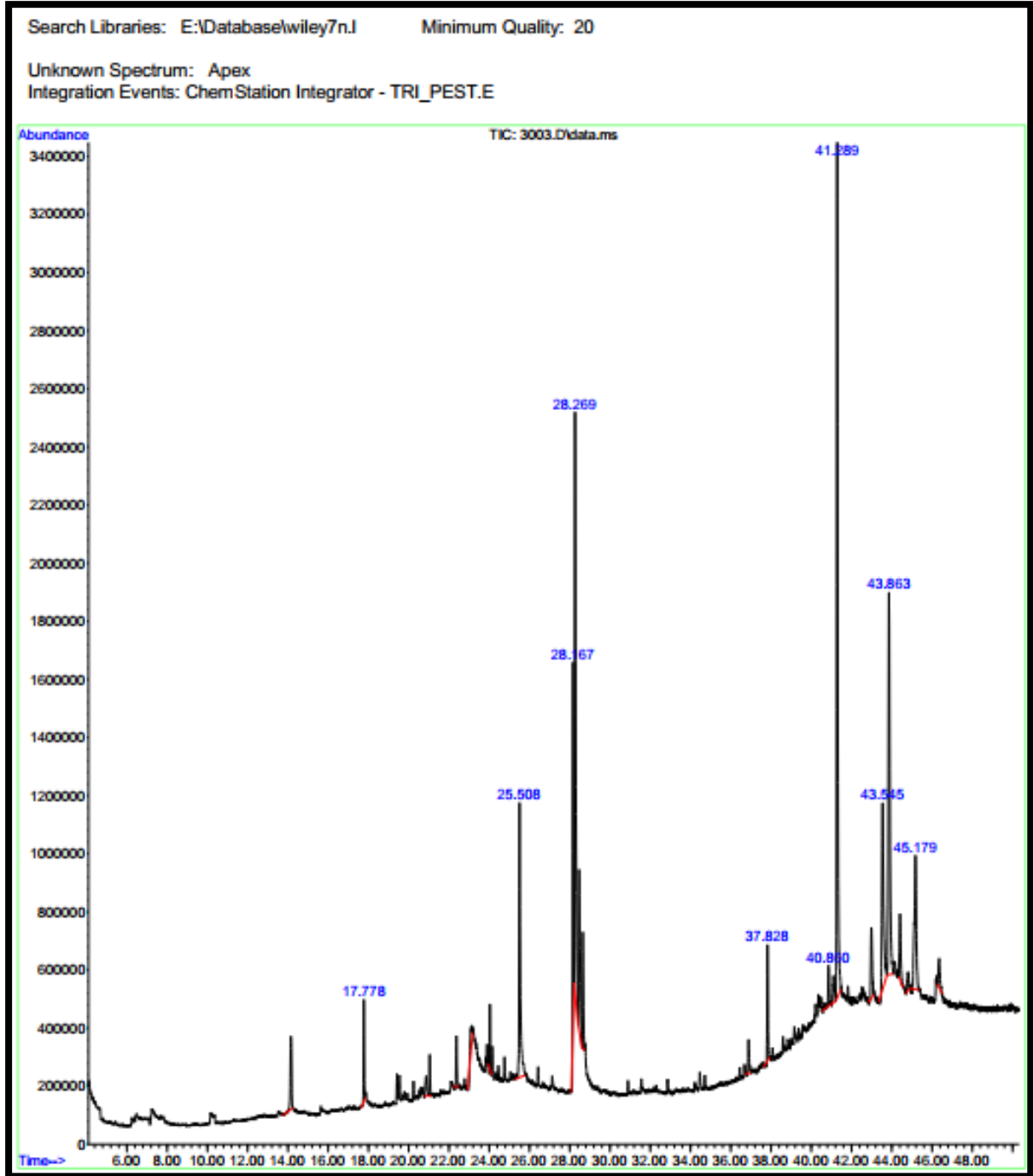


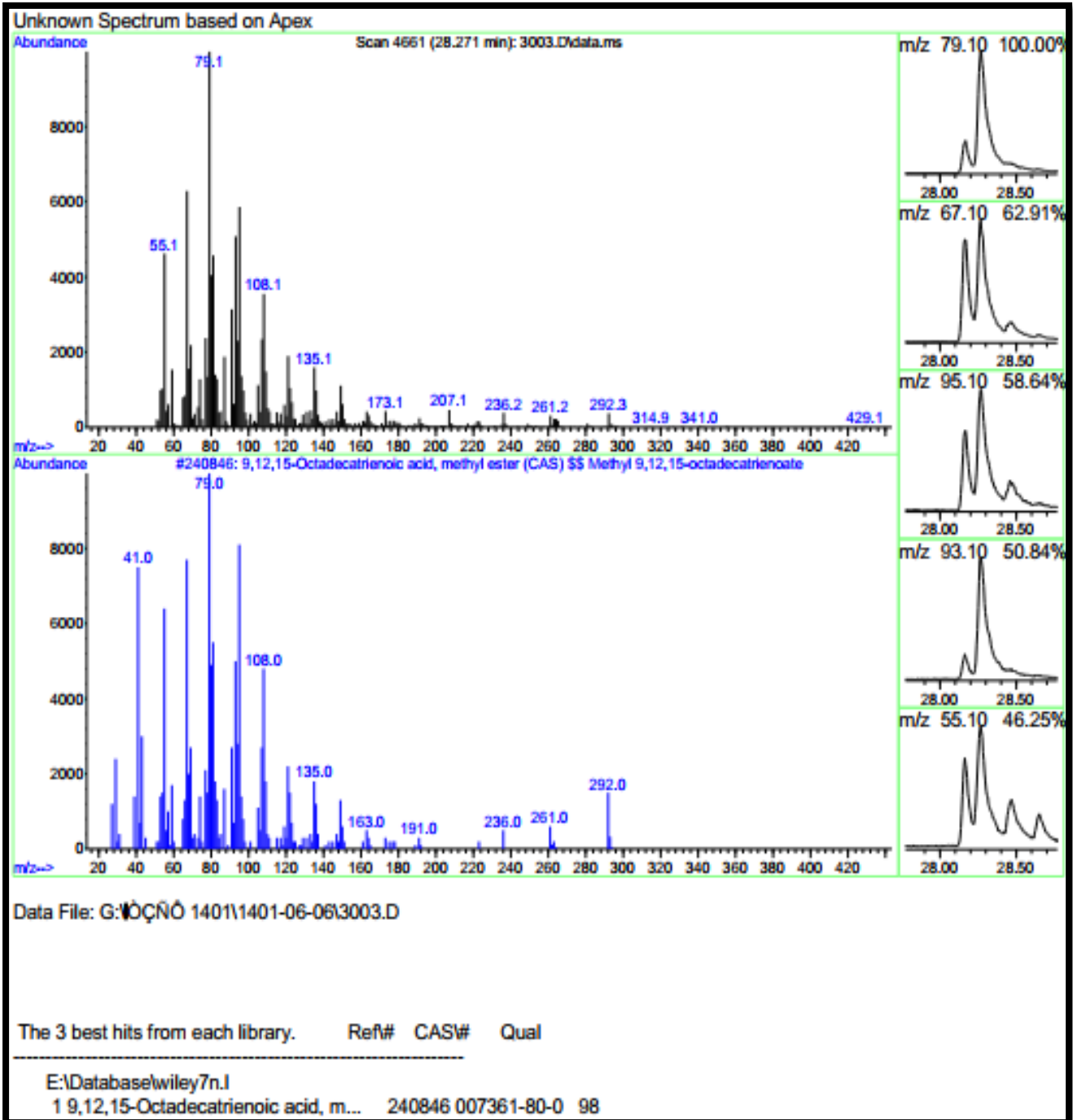


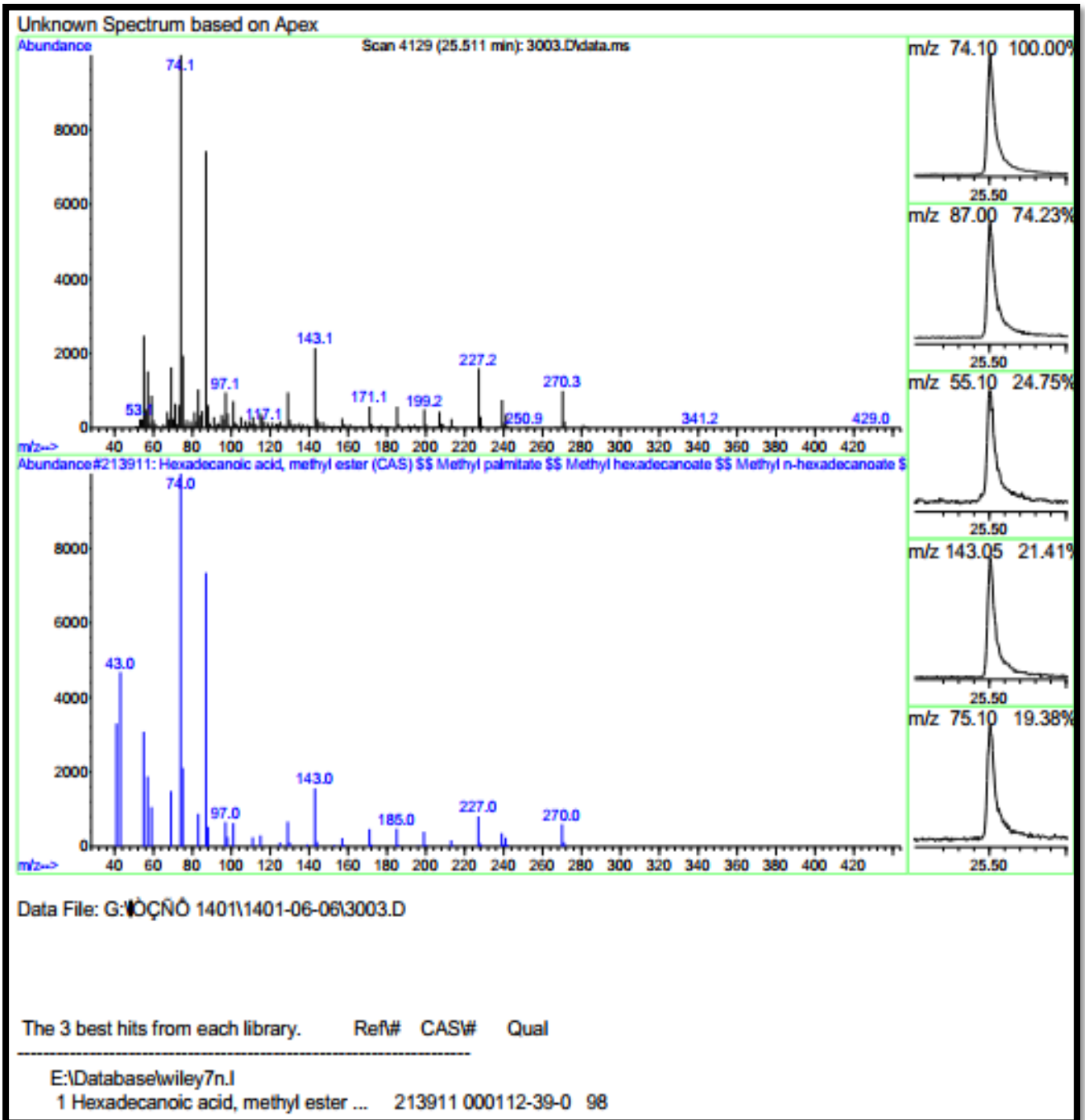


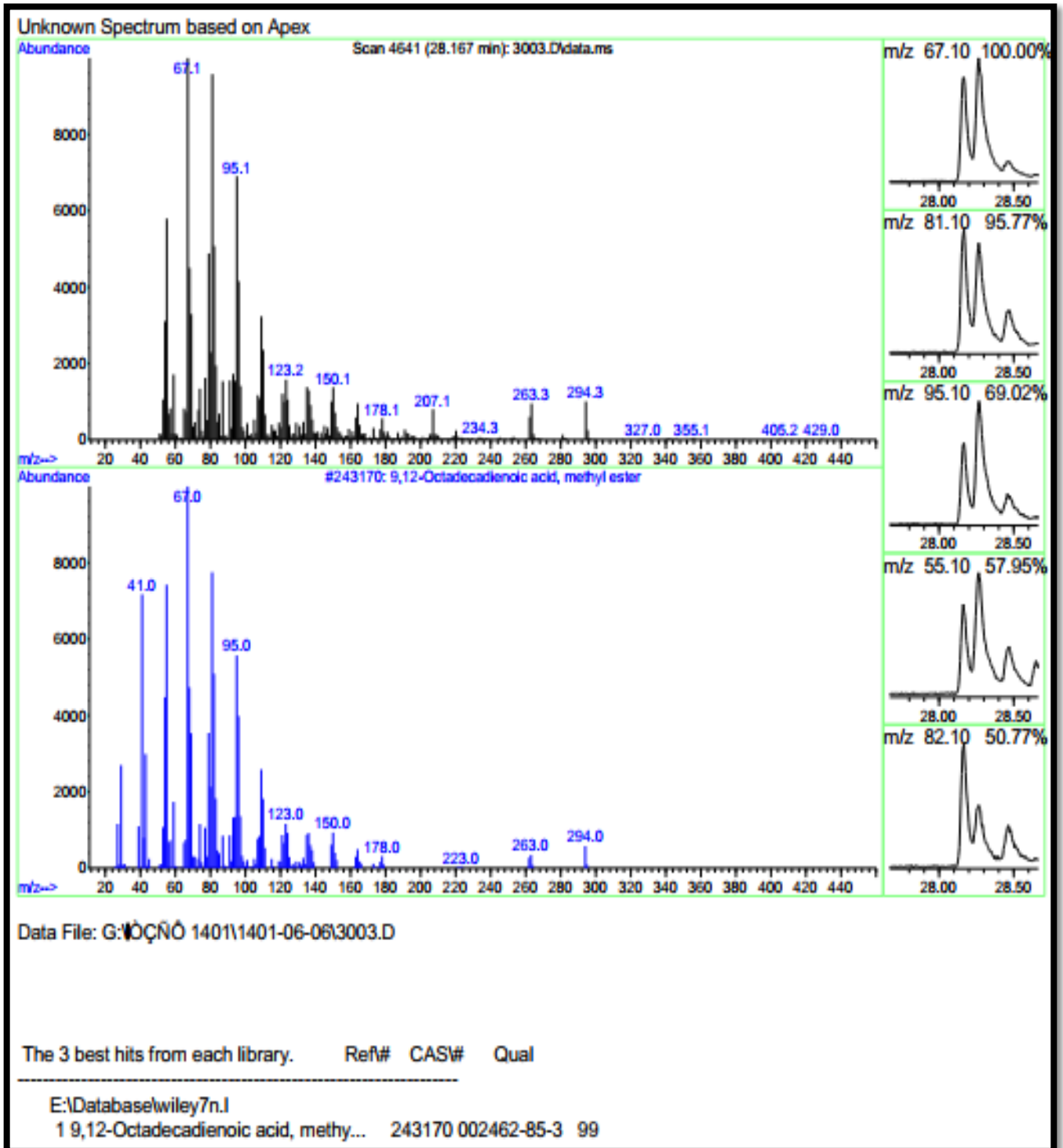


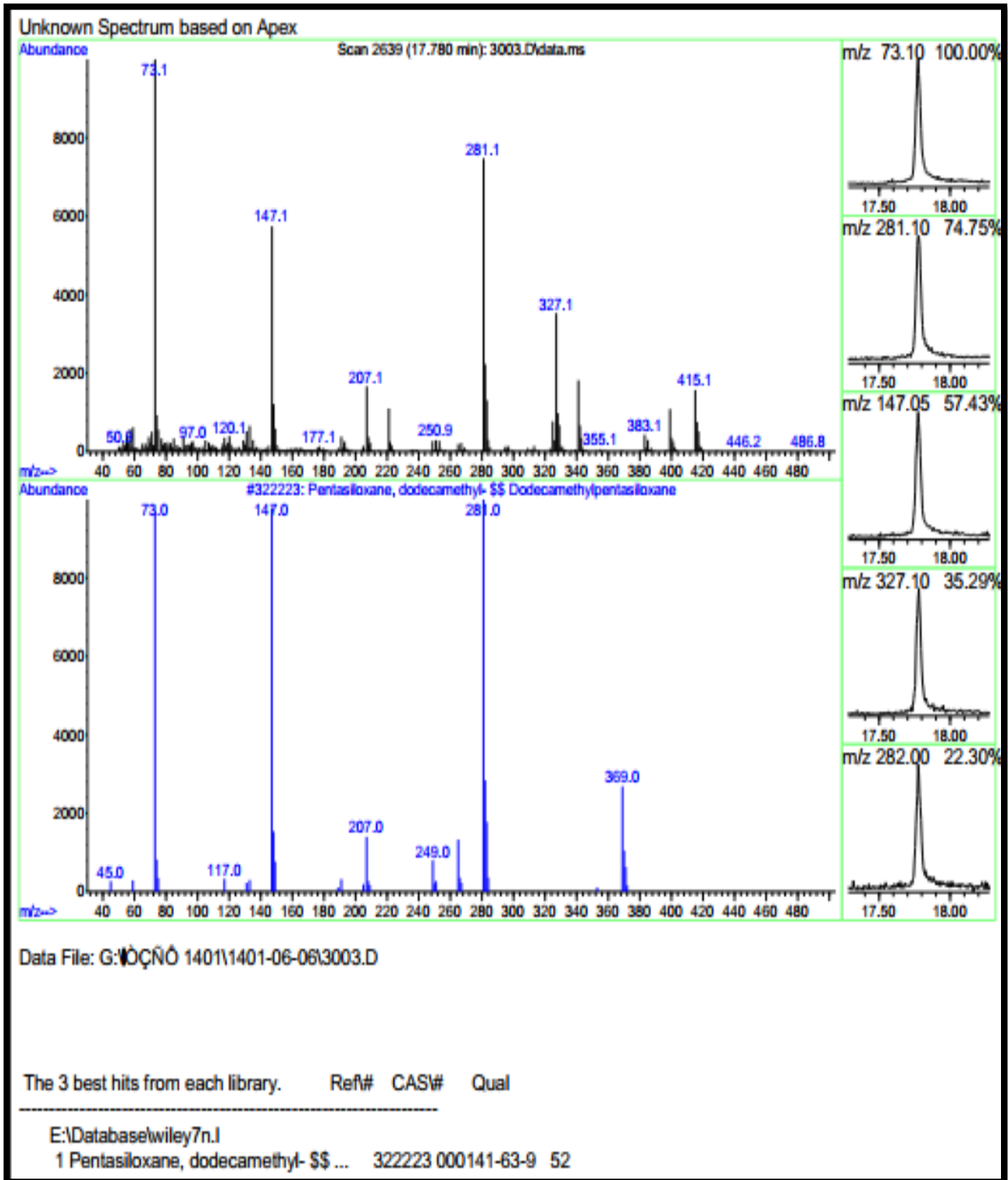
5- قراءة جهاز المطياف الغازي للمركبات الفعالة في مستخلص نبات *G.aparine*

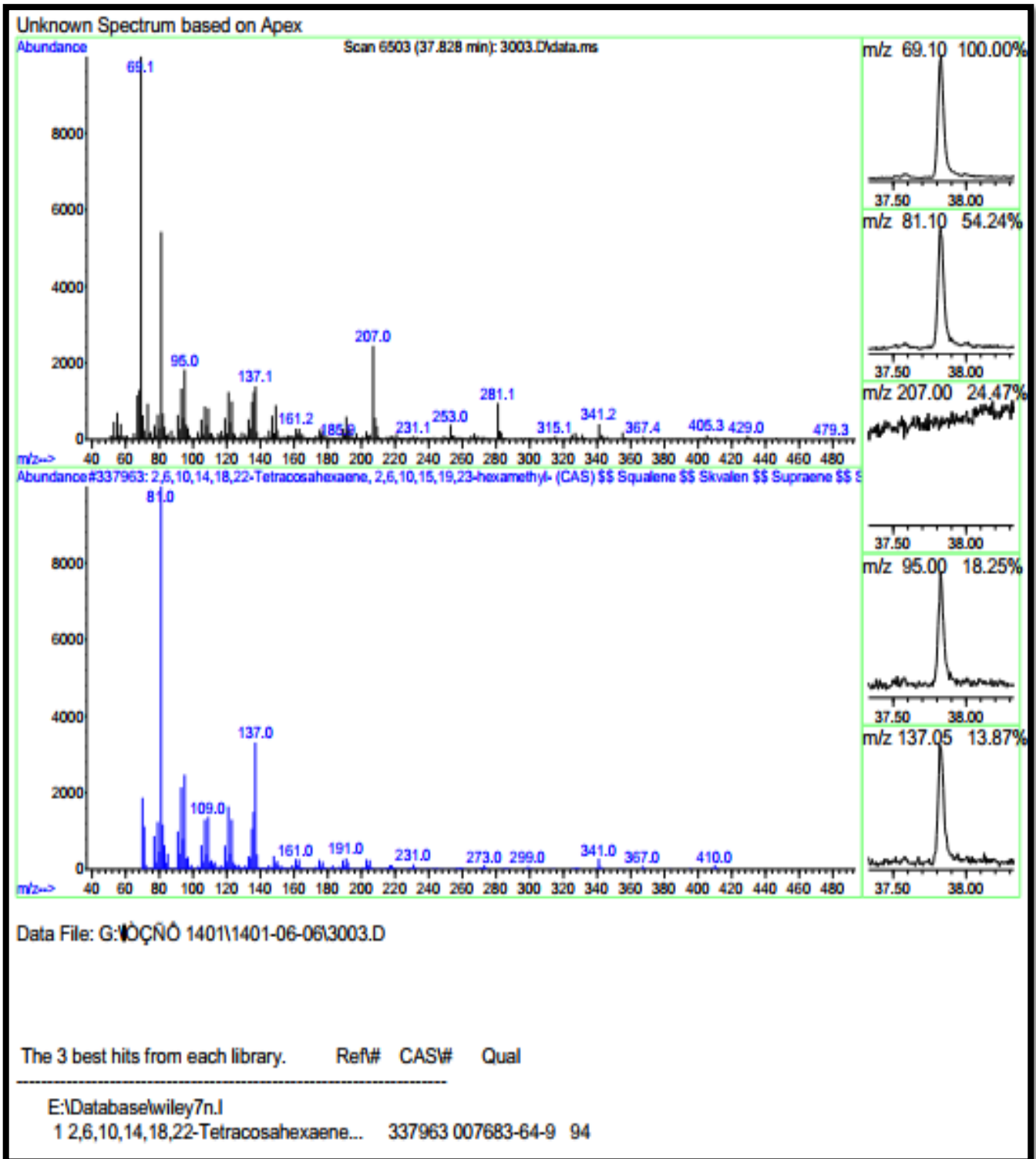


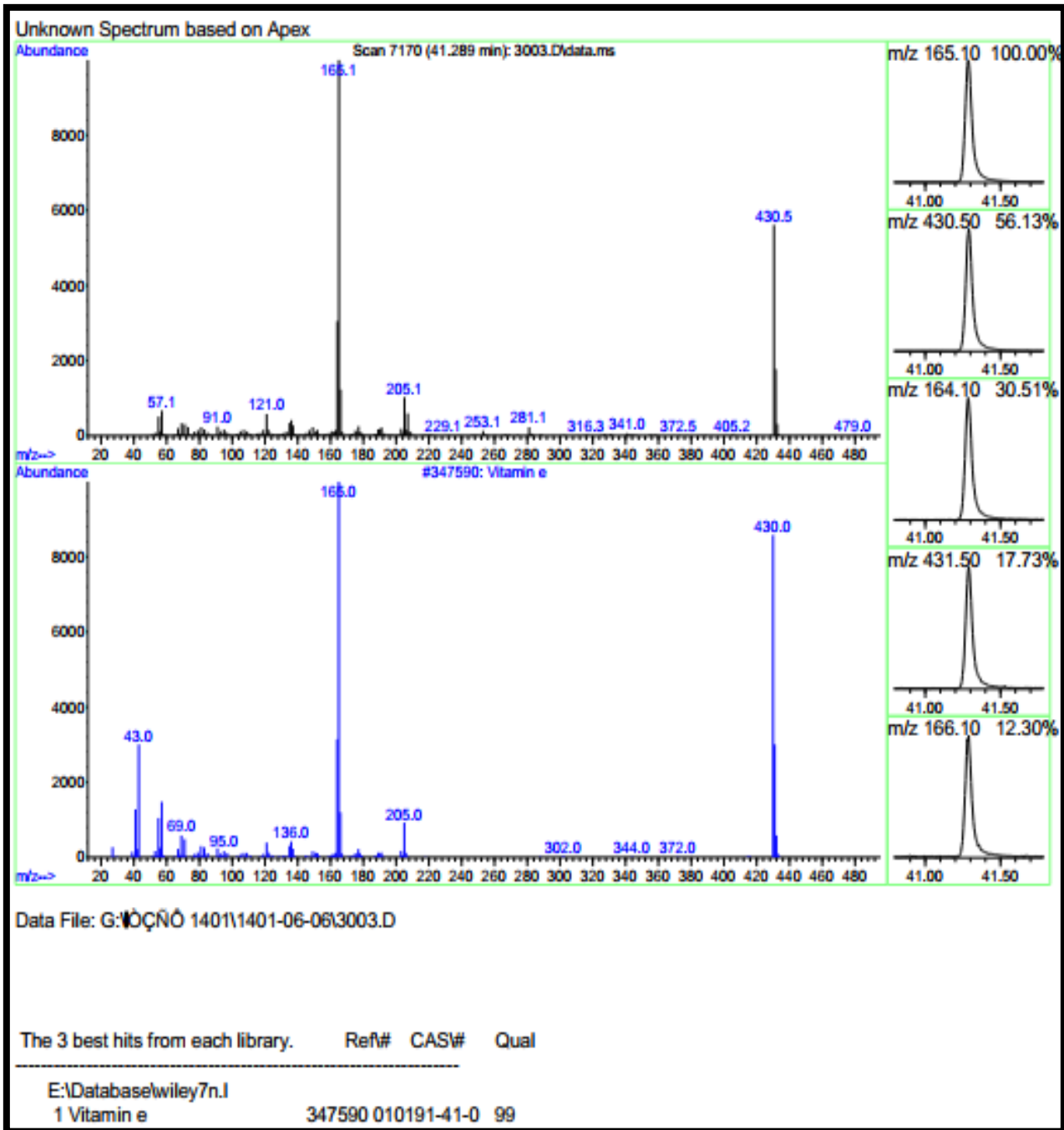


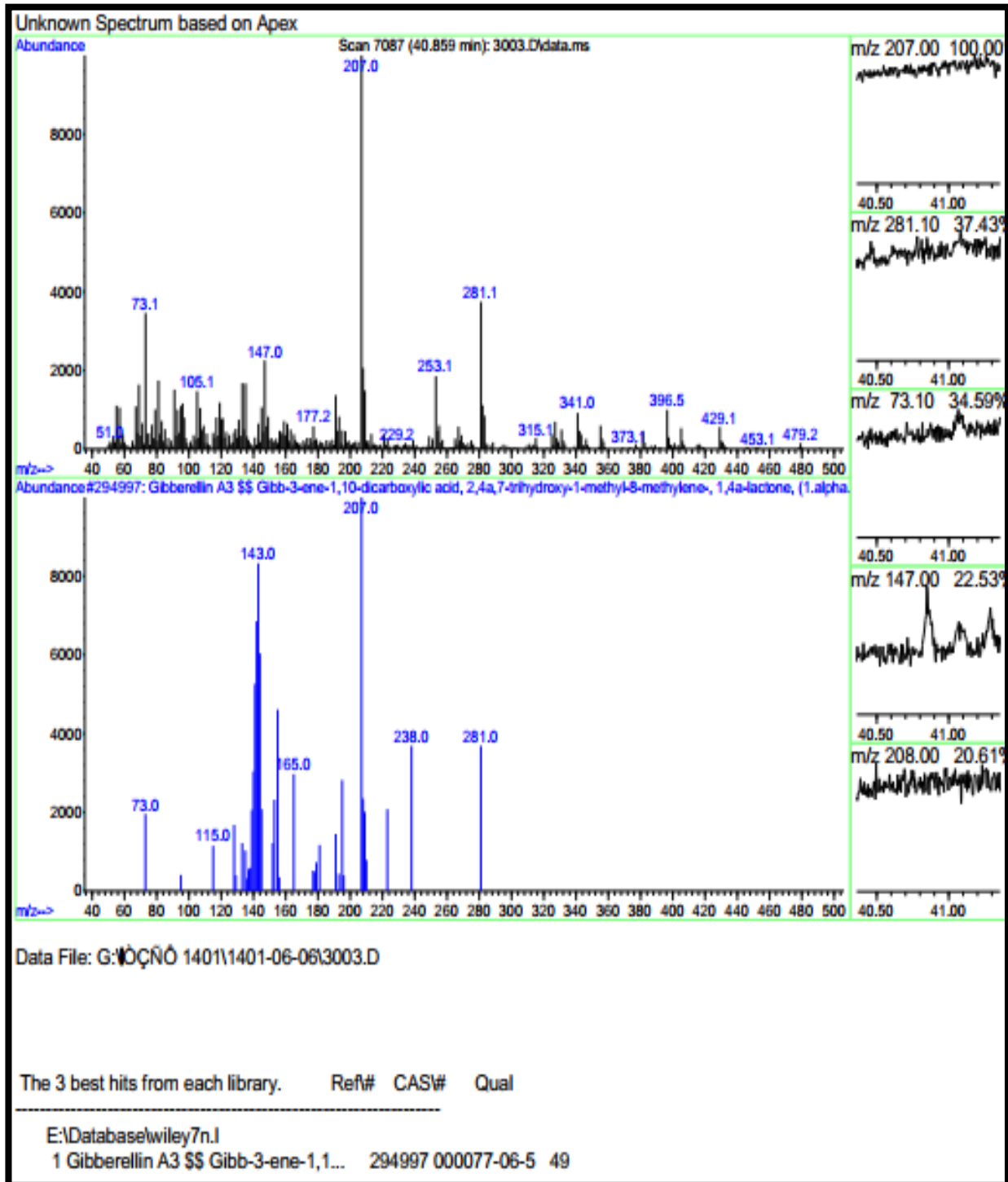


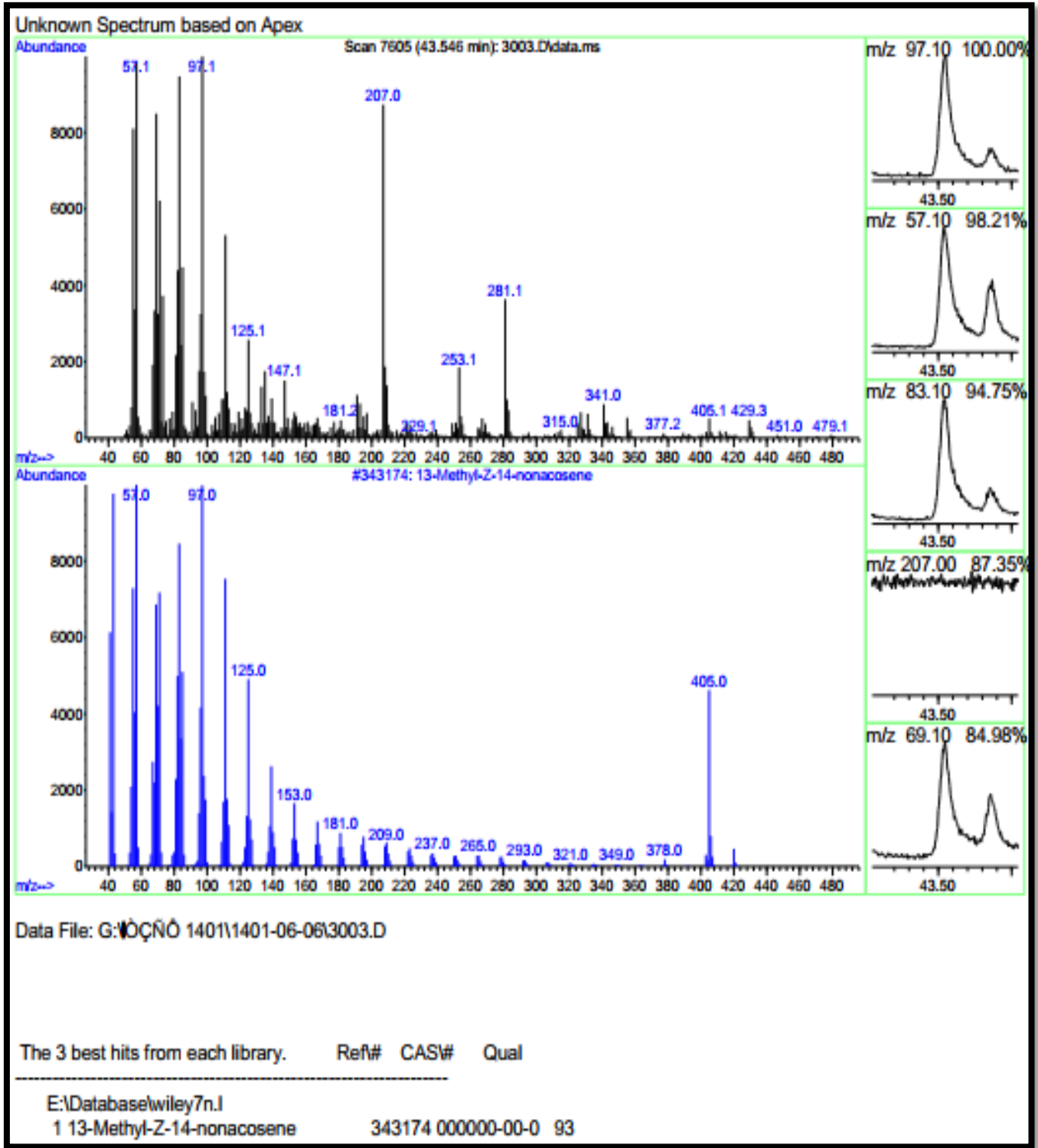


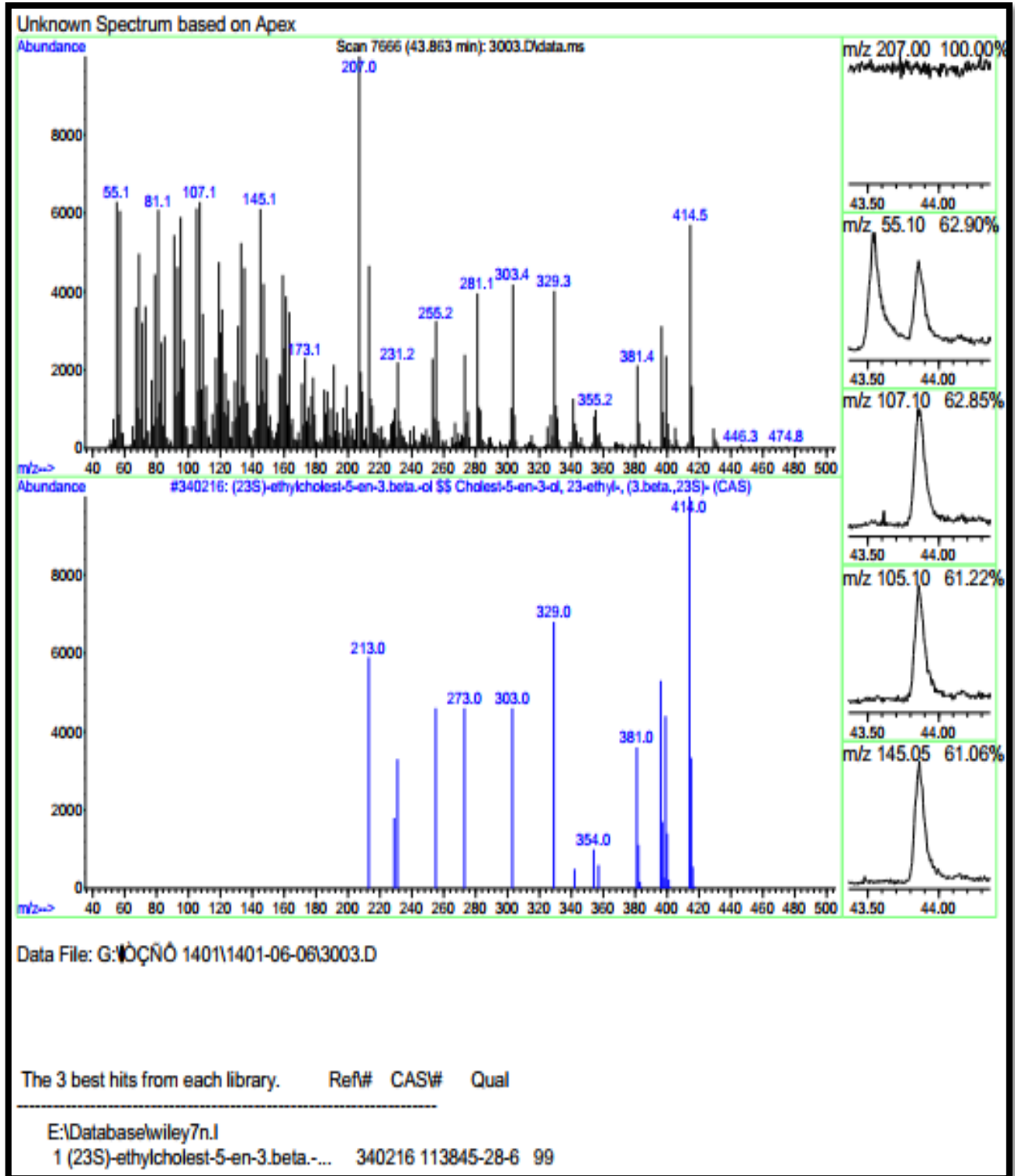












الاستنتاجات والتوصيات

Conclusions and Recommendations

الاستنتاجات

في انواع نباتية اخرى لما لها من اهمية في دراسة التنوع الوراثي DNA مع RAPD-1 اعتماد مؤشرات وبشكل ممتاز كونها اداة فعالة لتحليل التنوع الوراثي اذ نجحت الدراسة الحالية في الكشف عن التباينات الوراثية والاختلاف في محتوى التنوع الوراثي نتيجة الاختلاف في عدد وحجم القطع المتضاعفة مما ساعد على تحديد اداة قوية ومفيدة لتحديد الانواع في نبات الكاليوم وتعد RAPD العلاقة الوراثية بين الانواع المدروسة ، وتعتبر الاشكال المكتشفة بين الانواع التي يمكن استعمالها في برامج التربية لتحقيق اقصى قدر من استعمال الموارد الوراثية

2- عمل شجرة علاقة وراثية بين الانواع العائدة لنبات الكاليوم

3- للدراسة الكيميائية دورٌ مميزٌ في تزويد الباحثين بطبيعة المواد الايضية الكيميائية التي تساهم في العديد من الأنشطة البيولوجية المهمة ومنها المركبات القلويدية والاسترات والتربينات والدهون المشبعة والسترويدات والزيوت الطيارة التي ظهرت بنسبة عالية ضمن الانواع قيد الدراسة .

التوصيات

- 1- توصي الدراسة بضرورة التوسع في مجال الدراسة الحزئية باستعمال مؤشرات ماركرات وراثية اخرى للبحث عن أدلة تصنيفية جديدة تدعم الصفات الدقيقة للانواع العائدة لنبات الكاليوم وذلك من خلال دراسة التسلسل الجيني وعدد الكروموسومات وسلوكها خلال مراحل الانقسام الاختزالي.
- 2- دراسة تأثير المركبات الكيميائية المستخلصة على كائنات حية مختلفة كالبكتريا والطفيليات والحشرات وغيرها للتعرف على درجة حساسيتها للمستخلص، وتقدير كمية مضادات الاكسدة المتكونة.
- 3- التفصي بشكل شامل عن نواتج الايض الثانوية الموجودة في الانواع قيد الدراسة، وتحديد أنشطتها البيولوجية ومدى الاستفادة منها للأدوية المستقبلية.
- 4- إجراء دراسة الجزيئات النانوية وتطبيقاتها البيولوجية.
- 5- دراسة حبوب اللقاح دراسة مفصلة كونها من الادلة التصنيفية المهمة .
- 6- اجراء دراسات مماثلة بتطبيق مؤشر اخر على اكبر عدد من الانواع النباتية من أجل تشخيصها ودراسة علاقتها الوراثية وقد تأخذ بنظر الاعتبار من أجل ادخالها ضمن خطة الزراعة.
- 7- الكشف عن التعبير الجيني في انواع نباتية اخرى اخرى لأجراء المقارنة بينها لغرض الحصول على افضل الانواع .

المصادر

References

المصادر

المصادر العربية

- الراوي، علي. (1988). التوزيع الجغرافي للنباتات البرية في العراق. الطبعة الثالثة، مطبعة اليقظة، بغداد، العراق: 322 صفحة.
- شوفاليه، اندرو. (2010). الطب البديل والتداوي بالأعشاب والنباتات الطبية. اكاديميا، بيروت، لبنان: 336 صفحة.
- قبيسي، إحسان. (2010). معجم الأعشاب والنباتات الطبية. مطبعة دار الكتب العلمية، بيروت، لبنان: 566 صفحة.
- الكاتب، يوسف منصور. (1988). تصنيف النباتات البذرية. مطبعة دار الكتب للطباعة والنشر، جامعة الموصل: 590 صفحة.
- لامبولاي، دنيس. (1998). الف باء العلاج بالأعشاب والزيوت العطرية. شركة دار الفراشة للطباعة والنشر والتوزيع، بيروت، لبنان: 319 صفحة.
- المياح، عبد الرضا أكبر عيدان؛ طه ياسين مهودر العيداني ووداد مزبان طاهر الاسدي. (2016). بيئة ونباتات البصرة. الطبعة الاولى، جيكور للطباعة والنشر والتوزيع، بيروت، لبنان: 686 صفحة .

- Abbasi, A. M., Shah, M. H., & Khan, M. A. (2015). Wild edible vegetables of lesser Himalayas. Switzerland: Springer International Publishing.
- Al-Hassani, K. I. (2002). The use of polymerase chain reaction-based molecular markers to assess genetic diversity of potato (*Solanum tuberosum* L.). Ph.D. Thesis. College of Science, Baghdad University.
- Al-Snafi, A.E. (2018). Chemical constituents and medical important of *Galium aparine* –A review. *Indo Am. J. P. Sci.*, 5(3): 1739-1744.
- AL-Tamimi, A. J.T. (2014). Genetic Diversity of Some Tomato Genotypes Using RAPD and SSR markers in Iraq .PhD thesis .Faculty of science. University of kufa. Iraq.
- Avise, J. C. (2012). Molecular markers, natural history and evolution. Springer Science & Business Media.
- Batanouny, K. H. (1981). Ecology and flora of Qatar. University of Qatar. Published by the Alden press Ltd., Oxford: 245 pp.
- Benson, L. (1962). Plant taxonomy. John Wiley and Sons, Inc., New York: 494 pp.
- Bentham, G. and Hooker, J. D. (1873). *Genera plantarum*. Vol.2, Lovell Reeve and Co., London: 1279 pp.
- Bergoglio, M., Reisinger, D., Schlögl, S., Griesser, T., & Sangermano, M. (2023). Sustainable bio-based UV-cured epoxy vitrimer from castor oil. *Polymers*, 15(4), 1024.
- Berloo, R. (2000). Use of molecular markers in plant breeding. Landbou-universiteit Wageningen, the Netherlands.
- Boissier, E. (1875). *Flora Orientalis*. Vol.3, Genevae Et Basileae, Apud H. Georg, Bibliopolam, Lugduni: 1033 pp.

- Bordenave, C. D., García-Breijo, F., Gazquez, A., Muggia, L., Carrasco, P., & Barreno, E. (2023). Low temperature scanning electron microscopy (LTSEM) findings on the ultrastructure of *Trebouxia lynnae* (Trebouxiophyceae, Lichenized Microalgae). *Diversity*, 15(2), 170.
- Botstein, D.; White, R. L.; Skolnick, M. and Davis, R. W. (1980). Construction of a genetic linkage map in man using Restriction Fragment Length Polymorphisms. *Am. J. Hum. Genet.* 32: 314-331.
- Bradic, J., Petkovic, A., & Tomovic, M. (2021). Phytochemical and Pharmacological Properties of Some Species of the Genus. *Experimental and Applied Biomedical Research (EABR)*, 22(3), 187-193.
- Bremer, B. (2009). A review of molecular phylogenetic studies of Rubiaceae. *Ann. Missouri. Bot. Gard.*, 96(1): 4-26.
- Brettschneider, R. (1998). RFLP analysis. In: Karp, A.; Isaac, P. G.; Ingram, D. S. (eds): *Molecular tools for screening biodiversity*. Chapman and Hall, Cambridge. Vol. 1: 85-95.
- Brunel, D.(1994). Denaturing Gradient Gel Electrophoresis (DGGE) and direct sequencing of PCR amplified genomic DNA: rapid and reliable identification of *Helianthus annuus* L. cultivars. *Seed Science and Technology*. 22: 185-194.
- Caetano-Anolles, G., and Gresshoff, P. M. (1997). *DNA markers: Protocols, application and overview*. Wiley-Liss, Inc.
- Carlson, J. E.; Tulsieram, L. K.; Guluabitz, J. C.; Luk, V. W. K.; Kauffeldt, C. and Rutledge, R. (1991). Segregation of Random amplified DNA markers in F1 progeny of conifers. *Theor. Appl. Genet.* 83: 194-200.
- Catuzzi, G. (2022). Derivati abietanici nell'essudato di *Salvia somalensis*.

- Chaabani, H. (2015). Man creation had began since the creation of the first biological material very likely in Clay. *International Journal of Modern Anthropology*, 1(8), 49-65.
- Chakravarty, H. L. (1976). *Plant wealth of Iraq*. Ministry of agriculture and Agrarian reform, Baghdad: 505 pp.
- Challa, S., & Neelapu, N. R. R. (2019). Phylogenetic trees: applications, construction, and assessment. *Essentials of Bioinformatics, Volume III: In Silico Life Sciences: Agriculture*, 167-192.
- Chase, M. W.; Christenhusz, M. J. M.; Fay, M. F.; Byng, J. W.; Judd, W. S.; Soltis, D. E.; Mabberley, D. J.; Sennikov, A. N.; Soltis, P. S. and Stevens, P. F. (2016). An update of the angiosperm phylogeny group classification for the orders and families of flowering plants: APG IV. *Bot. J. Linn. Soc.*, 181(1): 1-20.
- Chen, T.; Ehrendorfer, F.; WU, Z. Y.; Raven, P.H. and Hong, D. Y. (eds.) (2011). *Flora of China*. Vol.19, Cucurbitaceae through Valerianaceae, with Annonaceae and Berberidaceae. -Beijing: Science press and St. Louis: Missouri Botanical Garden press: 104-141.
- CLAUDE, J. P., JOSEPH, P., ABATI, Y., MAJOR, P., Yanis, J. F., Séverine, E. M., & SOPHIE, S. (2023). Considerations on the ecology of Rubiaceae in Martinique (Lesser Antilles).
- Dandy, J. E. (1969). Nomenclatural changes in the list of British vascular plants. *Botanical Society of the British Isles.*, J. E. (1969). Nomenclatural changes in the list of British vascular plants. *Botanical Society of the British Isles.*
- Daoud, H. S. (1985). *Flora of Kuwait. Dicotyledoneae. Vol.1*, Kuwait University press: 224 pp.
- Davis, P. H. (1982). *Flora of Turkey and the East Aegean Islands. Vol.7*, Edinburgh University press: 947pp.
- De Jussieu, A. L. (1787). *Genera plantarum: secundum ordines naturales disposita*. Paris, Herrissant and Barrois: 206 pp.

- de Souza, G. A., de Marqui, S. V., Matias, J. N., Guiguer, E. L., & Barbalho, S. M. (2020). Effects of Ginkgo biloba on diseases related to oxidative stress. *Planta medica*, 86(06), 376-386.
- Demirezer, L. O.; Gurbuz, F.; Guvenalp, Z.; Stroch, K. and Zeeck, A. (2006). Iridoids, flavonoids and monoterpene glycosides from *Galium verum* subsp. *verum*. *Turk. J. Chem.*, 30: 525-534.
- Deroo, A.C., Eckstein, P., Benaragama, D., Beattie, A.D. and Willenborg, C.J., 2022. Evaluation of *Galium* species and populations using morphological characters and molecular markers. *Weed Research*, 59(1), pp.28-38.
- Doganlar, S. ; Frary, A. ; Daunay, M.C.; Lester, R.N. and Tanksley, S.D. (2002). Conservation of Gene Function in the Solanaceae as Revealed by Comparative Mapping of Domestication Traits in Eggplant. *Genetics* 161:1713-1726.
- Edwards, K. J. (1998). Randomly Amplified Polymorphic DNAs (RAPDs) In: Karp, A.; Isaac, P. G.; Ingram, D. S. (eds): *Molecular tools for screening biodiversity*. Chapman and Hall Cambridge 1: 171-175.
- Esma, A. T. K., Rabah, A., Djamila, B., Mohamed, S. B., Chawki, B., & Ramazan, E. (2023). In vitro assessment of antioxidant, neuroprotective, anti-urease and anti-tyrosinase capacities of *Tamarix africana* leaves extracts. *Journal of Traditional Chinese Medicine*, 43(2), 252.
- Fadoul, H. E.; El Siddig, M. A.; and El Hussein, A. A. (2013). Assessment of genetic diversity among Sudanese wheat cultivars using RAPD markers. *Int J Curr Sci.* 6: 51-57.
- Fan-juan ,M. ; Xiang-yang, XU .; Feng-lan, H. and Jing-fut ,L.I. (2010) . Analysis of Genetic Diversity in Cultivated and Wild Tomato Varieties in Chinese Market by RAPD and SSR . *Agricultural Sciences in China* , 9(10): 1430-1437 .
- Feulner, J., Zhou, S. K., Hammon, M., Seifert, S., Huber, M., Comaniciu, D., Cavallaro, A. (2011). A probabilistic model for

- automatic segmentation of the esophagus in 3-D CT scans. *IEEE transactions on medical imaging*, 30(6), 1252-1264.
- Friscic, M.; Baglama, M.S.; Milovic, M.; Pilepic, K.H. and Males, Z. (2018). Content of bioactive constituents and antioxidant potential of *Galium L. species*. *Croat. Chem Acta*, 91(3):411-417.
- Gao, X. F., Xiong, X. H., Boufford, D. E., Gao, Y. D., Xu, B., & Zhang, C. (2023). Phylogeny of the Diploid Species of *Rubus* (Rosaceae). *Genes*, 14(6), 1152.
- Giovanonni, J.; wing, R. and Tanksley, S.D. (1992). Isolation of molecular markers from specific chromosomal intervals using DNA pools from existing mapping populations. *Nucl. Acid. Res.* 19: 6553-6558.
- Goldstein, D.B.; Liners, A.R., Cavalli-Sforza, L.L. and Feldamen, M.W. (1995). An evaluation of genetic distances for use with microsatellite loci. *Genetics* 139: 463-471.
- Graham, J. and McNicol, R. J. (1995). An examination of the ability of RAPD markers to determine the relationships within and between *Rubus spp.* *Theo. Appl. Gene.*, 90: 1128-1132.
- Graham, J. and McNicol, R. J. (1995). An examination of the ability of RAPD markers to determine the relationships within and between *Rubus spp.* *Theo. Appl. Gene.*, 90: 1128-1132.
- Hallden, C.; Hansen, M.; Nilsson, N.O.; Hejrdin, A. and Sall, T. (1996). Competition as a source of errors in RAPD analysis. *Theor. Appl. Genet.* 39:1185-1192.
- Handle-Mazzetti, H. F. (1910). *Die Mesopotamien und Kurdistan. Wissen and Schaffliche Ergebnisse der expedition nach Mesopotamien*: 459 pp.
- Harisaranraj , R.; Suresh , K. and Saravanababu , S. (2009) .DNA Finger Printing Analysis among Eight Varieties of *Zingiber officinale* Rosc. By Using RAPD Markers . *Global Journal of Molecular Sciences* 4 (2): 103-107.

- Henry, R.J. (1997). Practical applications of plant molecular biology. Identification of plant using molecular techniques. London Pp. 1-25.
- Heywood, V. H. (1964). Flora Europaea. Vol.4, Cambridge University press, London: 505 pp.
- Higuchi, D.; Von Beroldingen, C.H.; Sensabough, G.F. and Erlich, H.A. (1988). DNA typing from single hairs. Nucl. Acids Res. 33(2): 543-546.
- Hillis, D. and Moritz, C. (2011). Molecular systematics, 1st edition, Sinauer Associates. Inc. Sunderland. Massachusetts. USA. Pp 588.
- Hu, J.; Van Eysden, J. and Quiros, C.F. (1995). Generation of DNA-based markers in specific genome regions by two-primers RAPD reactions. Genome 20: 125-130.
- Huang, T. R., Chen, J. H., Hummer, K. E., Alice, L. A., Wang, W. H., He, Y., Wang, H. (2023). Phylogeny of *Rubus* (Rosaceae): Integrating molecular and morphological evidence into an infrageneric revision. *Taxon*, 72(2), 278-306.
- Hunter, P. R. and Gaston, M. A. (1988). Numerical index of discriminatory ability of simpson's index of diversity. *J. Clin. Mic.*, 26:2465-2466.
- Iilina, T., Kashpur, N., Granica, S., Bazylko, A., Shinkovenko, I., Kovalyova, A., ... & Koshovyi, O. (2019). Phytochemical profiles and in vitro immunomodulatory activity of ethanolic extracts from *Galium aparine* L. *Plants*, 8(12), 541.
- Iilina, T., Kashpur, N., Granica, S., Bazylko, A., Shinkovenko, I., Kovalyova, A., ... & Koshovyi, O. (2019). Phytochemical profiles and in vitro immunomodulatory activity of ethanolic extracts from *Galium aparine* L. *Plants*, 8(12), 541.
- Ilyina, T. V.; Goryacha, O. V.; Kovaleva, A. M.; Koshovyi, O. M. and Shinkovenko, I. L. (2016). A comparative study of morphological features and flavonoid composition of *Galium* L. genus species. *Der Pharmacia Lettre*, 8(13): 316-321.

- Iqbal, M.J.; Aziz, N.; Saeed, N.A.; Zafar, Y. and Malik, K.A. (1997). Genetic diversity evaluation of some elite cotton varieties by RAPD analysis. *Theor. Appl. Genet.* 94: 139-144.
- Islam, M. S., Hoque, M. E., Alauddin, M., & Shamsuzzaman, M. (2022). Molecular characterization and diversity analysis of some local potato (*Solanum tuberosum* L.) genotypes of Bangladesh by RAPD markers.
- Jackson, M.T. (1997). Conservation of rice genetic resources-the role of the International Rice GenBank at IRRI. *Plant Mol. Biol.* 35: 61-67.
- Jaladet, M. ; Jubrael S.; Hymaa ,S . and Ali ,H . (2009) . Genetic Diversity Analysis of a Number of Grape (*Vitis vinifera* L.) Varieties in Kurdistan Region Iraq Using RAPD Markers. *J. Duhok Univ.* Vol.12, No.1, Pp 17-22.
- Jan, A. K., Khan, A., Farooq, U., Rehman, N., Tariq, M., & Sahar, H. (2018). Composition of the essential oil of *Galium setaceum*. *Chemistry of Natural Compounds*, 54, 586-587.
- Jan, A. K., Khan, A., Farooq, U., Rehman, N., Tariq, M., & Sahar, H. (2018). Composition of the essential oil of *Galium setaceum*. *Chemistry of Natural Compounds*, 54, 586-587.
- Jan, A.K., Shah, M.R., Anis, I. and Marwat, I.K., 2009. In vitro antifungal and antibacterial activities of extracts of *Galium tricornutum* subsp. *longipedunculatum*. *Journal of Enzyme Inhibition and Medicinal Chemistry*, 24(1), pp.192-196.
- Johns, Rev. C. A. (1911). *Flowers of the field*, London George Routt edge and sons, Limited: 611 pp.
- Johns, Rev. C. A. (1911). *Flowers of the field*, London George Routt edge and sons, Limited: 611 pp.
- Jongbloed, B. (2003). Marketisation in higher education, Clark's triangle and the essential ingredients of markets. *Higher education quarterly*, 57(2), 110-135.

- Karp, A.; Edwards, K.J.; Bruford, M.; Funk, S.; Vosman, B.; Morgante, M.; Seberg, O.; Kremer, A.; Boursot, P.; Arctander, P.; Tauz, D. and Hewitt, G.M. (1997). Molecular technologies for biodiversity evaluation: opportunities and challenges. *Nature Biotechn.* 15: 625-628.
- Khan, S. A., Khan, H., Ahmad, S., Rehman, F. U., Khan, A. A., & Khan, M. A. (2022). GCMS characterization and biological potential of the seeds and aerial part of *Galium tricornis* Stokes. *Brazilian Journal of Biology*, 84, e256920.
- Kieu, H. M., Van Nguyen, Q., Nguyen, H. T., Do, T. N., & Van Nguyen, H. (2022). Plant biodiversity, value, and distribution of Rubiaceae at Hon Ba Nature Reserve, Khanh Hoa province, Vietnam. *World Journal of Advanced Research and Reviews*, 14(3), 320-331.
- Kirpichnikov, V. S., & Muske, G. A. (1980). The adaptive value of biochemical polymorphisms in animal and plant populations. *Genetica*, 52(1), 183-193.
- Kurata, N. and Sasaki, T. (1997). Molecular analysis of the rice genome. In: Caetano-Anolles, G. and Gresshof, P.M.(Eds.) *DNA markers, protocols, application and overview*. P. 271-282. New York.
- Laanet, P. R., Saar-Reismaa, P., Jõul, P., Bragina, O., & Vaher, M. (2023). Phytochemical Screening and Antioxidant Activity of Selected Estonian *Galium* Species. *Molecules*, 28(6), 2867.
- Lakic, N. S.; Mimica-Dukic, N. M.; Isak, J. M. and Bozin, B. N. (2010). Antioxidant properties of *Galium verum* L. (Rubiaceae) extracts. *Cent. Eur. J. Biol.*, 5(3): 331-337.
- Latha, . K and Hanumanthappa , M. (2011) . Random Amplified Polymorphic DNA Analysis for Varietal Identification in cucumber. *Asian J. Exp. Biol. Sci.* Vol 2(4) pp731-738.
- Lee, M. (1995). DNA markers and plant breeding programs. *Adv. Agron.* 55: 265-344.
- Lee, S., & Chang, K. S. (2015). English Names for Korean Native Plants (PDF). Pocheon: Korea National Arboretum (p. 644). ISBN 978-

89-97450-98-5. Retrieved 14 March 2019–via Korea Forest Service.

Limbach, M. N., Antevska, A., Oluwatoba, D. S., Gray, A. L., Carroll, X. B., Hoffmann, C. M., ... & Do, T. D. (2022). Atomic View of Aqueous Cyclosporine A: Unpacking a Decades-Old Mystery. *Journal of the American Chemical Society*, 144(28), 12602-12607.

Linnaeus, C. (1753). *Species plantarum*. Vol.1, London: 560 pp.

Mahpara,S.; Farooq, J.; Ali, Z.; Petrescu-Mag, I. V.and Hussain, F.(2012).Assessment of genetic distance among wheat genotypes through RAPD markers. *Advances in Agriculture &Botanics International Journal of the Bioflux Society*. 4 (1):31-35.

Mahpara,S.; Farooq, J.; Ali, Z.; Petrescu-Mag, I. V.and Hussain, F.(2012).Assessment of genetic distance among wheat genotypes through RAPD markers. *Advances in Agriculture &Botanics International Journal of the Bioflux Society*. 4 (1):31-35.

Mali, S., Yadav, R., Gauttam, V., and Sawale, J. (2023). An Updated Review on Taxonomy and Chemotaxonomy. *Toxicology International (Formerly Indian Journal of Toxicology)*, 121-129.

Masojc, P. (2002). The application of molecular markers in the process of selection. *Cellular and Molecular Biology Letters* 7: 499-509.

Migahid, A. M. (1978). *Flora of Saudi Arabia. Dicotyledons*.Vol.1, Riyadh University Publication : 647 pp.

Morgante,M.;Hanafey,M.;Powell,W.(2002). Microsatellites are preferentially associated with nonrepetitive DNA in plant genomes. *Nat Genet* 30:194-200.

Mullis, K.B. and Faloona, F. (1987). Specific synthesis of DNA in vitro via a polymerase catalysed chain reaction. *Methods in Enzymol.* 25: 155-335.

Muralidharan, K. and Wakeland, E.K. (1993). Concentration of primer and template qualitatively affects products in random-amplified polymorphic DNA PCR. *BioTechniques* 14: 362-364.

- Muschler, R. (1912). A manual flora of Egypt. Vol.2, Berlin: 1312 pp.
- Nabelek, F. R. (1923). Iter turcico-Persicum. Part 1, Plantarum Collectarum enumeratio: 144 pp.
- Nei, M. and Li, W.H. (1979). Mathematical model for studying genetic variation in terms of restriction endonucleases. Proc. Natl Acad. Sci. USA 74: 5269-5273.
- Newton, C. R. and Graham, A. (1997). Polymerase Chain Reaction. 2nd ed. Bios. Scientific Publishers Ltd., Oxford, U.K.
- Nosratti, I., & Muhammadyari, A. (2019). First report of multiple resistance in Galium aparine to ALS-inhibiting and auxin analog herbicides in Kermanshah, Iran. Planta Daninha, 37, e019187358.
- Parsa, A. (1943). Flora de L'Iran. Vol.3, Ministere de L'education: museum d'histoire naturelle de Teheran: 955pp.
- Paterson, A.H.; Tanksley, S.D. and Sorrell, M.E. (1994). DNA markers in plant improvement. Adv. Agron. 46: 39-90.
- Patil, B. R.; Archak, S. ; Gautam , D. and Salimath P.M. (2010) . Narrow genetic base of private sector tomato varieties revealed by RAPD profiles . Electronic Journal of Plant Breeding, 1(4): 1153-1158.
- Porter, C. L. (1967). Taxonomy of flowering plants. 2nd ed., W. H. Freeman and Company, San Francisco: 472pp.
- Post, G. E. (1932). Flora of Syria, Palestine and Sinai. Vol.(1), American press, Beirut: 639 pp.
- Powell, W.; Orozco, C.C.; Chalmers, K.J.; Provan, J. and Waugh, R. (1995). Polymerase Chain Reaction of plant genetic resources. Electrophoresis 16: 1726-1730.
- Priyanka, M.; Devendra, J.; Sumita, K. and Kothari, S. (2013). Analysis of genetic diversity among Tagetes patula L. cultivars based on RAPD markers. Indian Journal of Horticulture, 70 (4): 549-554.
- Rafalski, J.A. and Tingey, S.V.(1993). Genetic diagnostics in plant breeding: RAPDs, Microsatellite and Machines. Trends Genet. 9: 275-280.

- Rancic, D. and Petanovic, R. (2002). Anatomical alternation of *Galium mollugo* L. leaves caused by eriophyoid mite *Aculus anthobius* (Nal.). *Acta Ent. Serb.*, 7(12/): 119-128.
- Rechinger, K. H. (1964). *Flora of Lowland Iraq*. Weinheim Verlag Von J. Cramer, Haener Co., New York: 746 pp.
- Rechinger, W. (2005). Rubiaceae. part 176 of Rechinger, *Flora Iranica*. Verlag des Natuhistorischen Museums Wien, Vienna, Austria: 287 pp.
- Reiter, R.S.; Williams, J.G.; Feldmann, K.A.; Rafalski, J.A.; Tingey, S.V. and Scolnik, P.A. (1992). Global and local genome mapping in *Arabidopsis thaliana* by using recombinant inbred lines and random amplified polymorphic DNAs. *Proc. Natl. Acad. Sci. USA* 89: 1477-1481.
- Robbercht, E. (1988). Tropical woody Rubiaceae. *Opera Bot. Belg.*, 1: 1-271.
- Roman, I. and Puică, C. (2013). Effects of anakinetic stress and *Galium verum* extract on the thyroid and ovary morphology Wistar rats. *Veter. Med.*, 70(1): 167-169.
- Roznowski, A. P., Doore, S. M., Kemp, S. Z., & Fane, B. A. (2020). Finally, a role befitting Astar: strongly conserved, unessential microvirus A* proteins ensure the product fidelity of packaging reactions. *Journal of Virology*, 94(2), 10-1128.
- Saavedra, M., & Alcántara, C. (2017). *Pennisetum setaceum*, planta invasora en expansión. In Mercedes Royuela Hernando y Ana Zabalza Aznárez (editoras): XVI Congreso de la Sociedad Española de Malherbología: actas. Pamplona-Iruña, 25-27 octubre, 2017. Universidad Pública de Navarra Nafarroako Unibertsitate Publikoa, 2017.. Universidad Pública de Navarra/Nafarroako Unibertsitate Publikoa.
- Sambrook, J. and Russell, D. W. (2001). In vitro application of DNA by the polymerase chain Reaction, in *molecular cloning: Chapter 8: 691-733. A laboratory manual. 3rd ed.*, Cold Spring Harbor Laboratory Press, New York.

- Sambrook, J. and Russell, D. W. (2001). In vitro application of DNA by the polymerase chain Reaction, in molecular cloning: Chapter 8: 691-733. A laboratory manual. 3rd ed., Cold Spring Harbor Laboratory Press, New York.
- Schuman, K. (1891). "Rubiaceae": In Engler A. and prantl K. (eds.) Die naturlichen pflanzen familien. 4, Leipzig: Engelmann: 1-156.
- Seo, H. S., & Roh, S. S. (2001). The Effects of GamiTakliSodocyum on Wound Healing. The Journal of Korean Medicine Ophthalmology and Otolaryngology and Dermatology, 14(2), 89-111.
- Sik, L.; Yildirim, H.; Pirhan, A. F.; Altioglu, Y. and Gemici, M. (2016). *Galium shinasii* (Rubiaceae): A new species of *Galium* L. from Eastern Turkey. *Phytokeys*, 75: 19-29.
- Simpson, M.G. (2010). Plant systematics, 2nd edition, Elsevier Acad. Press: 740 pp.
- Sogonov, M. V., Castlebury, L. A., Rossman, A. Y., Farr, D. F., & White, J. F. (2005). The type species of the genus *Gnomonia*, *G. gnomon*, and the closely related *G. setacea*. *SYDOWIA-HORN-*, 57(1), 102.
- Staub, J.E.; Serquen, F.C. and Gupta, M. (2010). Genetic markers, map construction and their application in plant breeding. *Hort. Sci.* 31: 729-741.
- Su, L. J., Chang, C. C., Yang, C. H., Hsieh, S. J., Wu, Y. C., Lai, J. M., ... & Hsu, S. L. (2013). *Graptopetalum paraguayense* ameliorates chemical-induced rat hepatic fibrosis in vivo and inactivates stellate cells and Kupffer cells in vitro. *PloS one*, 8(1), e53988.
- SURANTO, S. (2000). Application of Modern Experimental Technique to Solve Morphological Complexity in Plants Taxonomy. *Biodiversitas Journal of Biological Diversity*, 1(2).
- Tabassum, H., & Ahmad, I. Z. (2021). *Trigonella foenum-graecum* and its bioactive compounds having potential antidiabetic activity. *Fenugreek: Biology and Applications*, 447-480.

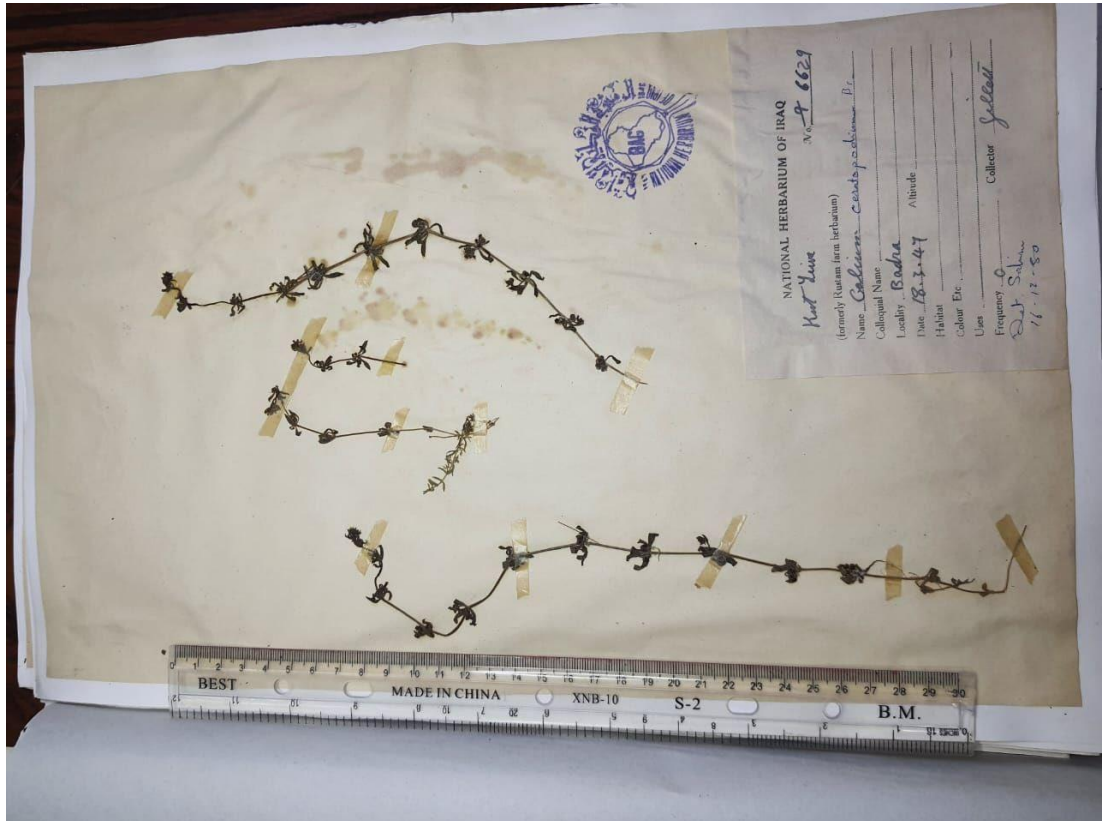
- Tahir, N. A. (2014). Genetic Variability Evaluation Among Iraqi Rice (*Oryza sativa* L) Varieties using RAPD Markers and Protein Profiling. *Jordan Journal of Biological Sciences*, 7(1): 13 – 18.
- Townsend, C. and Guest, E. (1980). *Flora of Iraq*. Ministry of Agriculture and Agrarian Reform, Baghdad, Vol.4, Part 1: 627 pp.
- van der Sanden, M. C., and Meijman, F. J. (2004). Evidence-based science communication: An essay. *Science Communication*, 25(3), 272-287.
- Vlase, L.; Mocan, A.; Hanganu, D.; Benedec, D.; Gheldiu, A. and Crisan, G. (2014). Comparative study of polyphenolic content, antioxidant and antimicrobial activity of four *Galium* species (Rubiaceae). *Dig. J. Nanometer. Bios.*, 9(3): 1085-1094.
- Weigand, F.; Baum, M. and Udupa, S. (1993). DNA molecular marker technique, Technical Manual No.20 International Center for Agricultural Research for Dry Areas, Aleppo, Syria.
- Welsh, J. and McClelland, M. (1990). Fingerprinting genomes using PCR with arbitrary primers. *Nucleic Acids Res.* 18: 7213-7218.
- Whitston, T.D. (1991). *Weeds of the West*. Western Society of Weeds Science, Laramie, WY: 630pp.
- Williams, J. G. K.; Hanafey, M. K.; Rafalski, J. A. and Tingey, S. V. (1993). Genetic analysis using Random Amplified Polymorphic DNA markers. *Methods in Enzymology* 218: 704-741.
- Williams, J. G. K.; Hanafey, M. K.; Rafalski, J. A. and Tingey, S. V. (1993). Genetic analysis using Random Amplified Polymorphic DNA markers. *Methods in Enzymology* 218: 704-741.
- Williams, J. G. K.; Kubelik, A. R.; Livak, K. J.; Rafalski, J. A. and Tingey, S. V. (1990). DNA polymorphisms amplified by arbitrary primers are useful as genetic markers. *Nucl. Acids Res.* 18: 6531-6535.
- Willis, J. C. (1973). *A dictionary of flowering plants and ferns*. 8th ed., Cambridge University press: 1245 pp.

- Xu, J., Chen, F., Wang, G., Liu, B., Song, H., & Ma, T. (2021). The versatile functions of *G. Lucidum* polysaccharides and *G. Lucidum* triterpenes in cancer radiotherapy and chemotherapy. *Cancer Management and Research*, 6507-6516.
- Yang, S., Park, S., Ahn, D., Yang, J. H., & Kim, D. K. (2011). Antioxidative constituents of the aerial parts of *Galium spurium*. *The Korean Society of Applied Pharmacology*, 19(3), 336-341.
- Yin, H., Huang, K., Xie, P., Mo, P., Zhang, N., & Wang, Y. (2023). Characterization and phylogenetic analysis of the chloroplast genome of *galium spurium*. *Mitochondrial DNA Part B*, 8(3), 443-446.
- Yordonovay, R. and L. Popova. 2007. Effect of exogenous treatment with salicylic acid on photo synthetic activity and antioxidant capacity of chilled wheat plants. *Gen. Appl. Plant Physiology*, 33:155-170.
- Zaid, A.; Hughes, H.; Porceddu, E. and Nicholas, F. W. (1999). Glossary of biotechnology and genetic engineering. FAO Research and Technology Paper 7, Food and Agriculture Organization of the United Nations, Rome, Italy.
- Zohary, M. (1946). The flora of Iraq and its phytogeographical subdivision. *Iraq. Dept. Agric. Bull.*, no. 31: 201 pp.

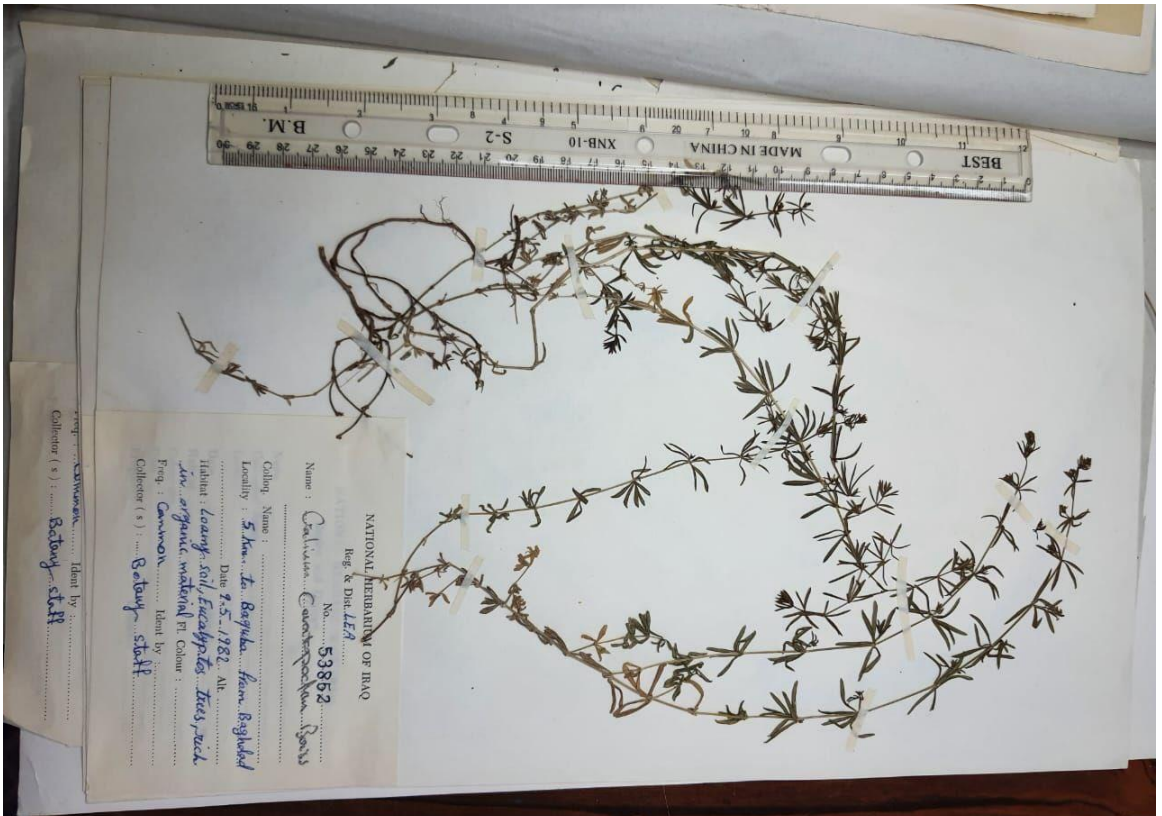
الملاحق

الملاحق

1- صور نبات *G.ceratopodum*







NATIONAL HERBARIUM OF IRAQ
 Reg. & Dist. LEA

Name: *Calceolaria* *Caerthepookhwa* *Banks* No. 53852

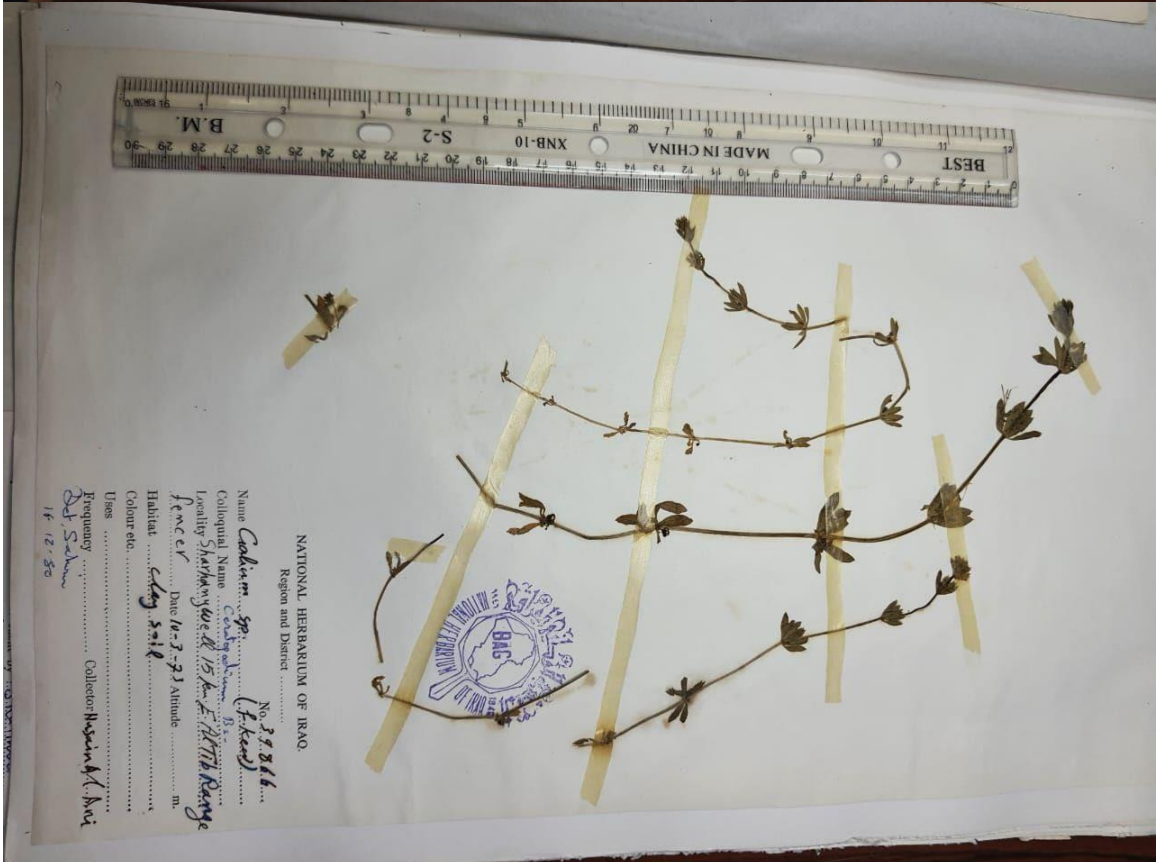
Collig. Name:

Locality: 5 km. to Bagdala, from Bagdala
 Date 8.5.1982, Alt.

Habitat: loamy soil, Eucalyptus trees, rock
 str. organic material Pt. Colour:

Fig.: Common Ident. by: Botany Staff

Collector (s): Botany Staff



NATIONAL HERBARIUM OF IRAQ
 Region and District:

Name: *Calceolaria* *sp.* No. 29846
 (f. *kead*)

Colloquial Name: *Calceolaria* *Banks*

Locality: Sharhowskye W. 15 km. E. North Range
 fence Date 14-3-93 Altitude: .. m.

Habitat: rocky soil

Colour etc:

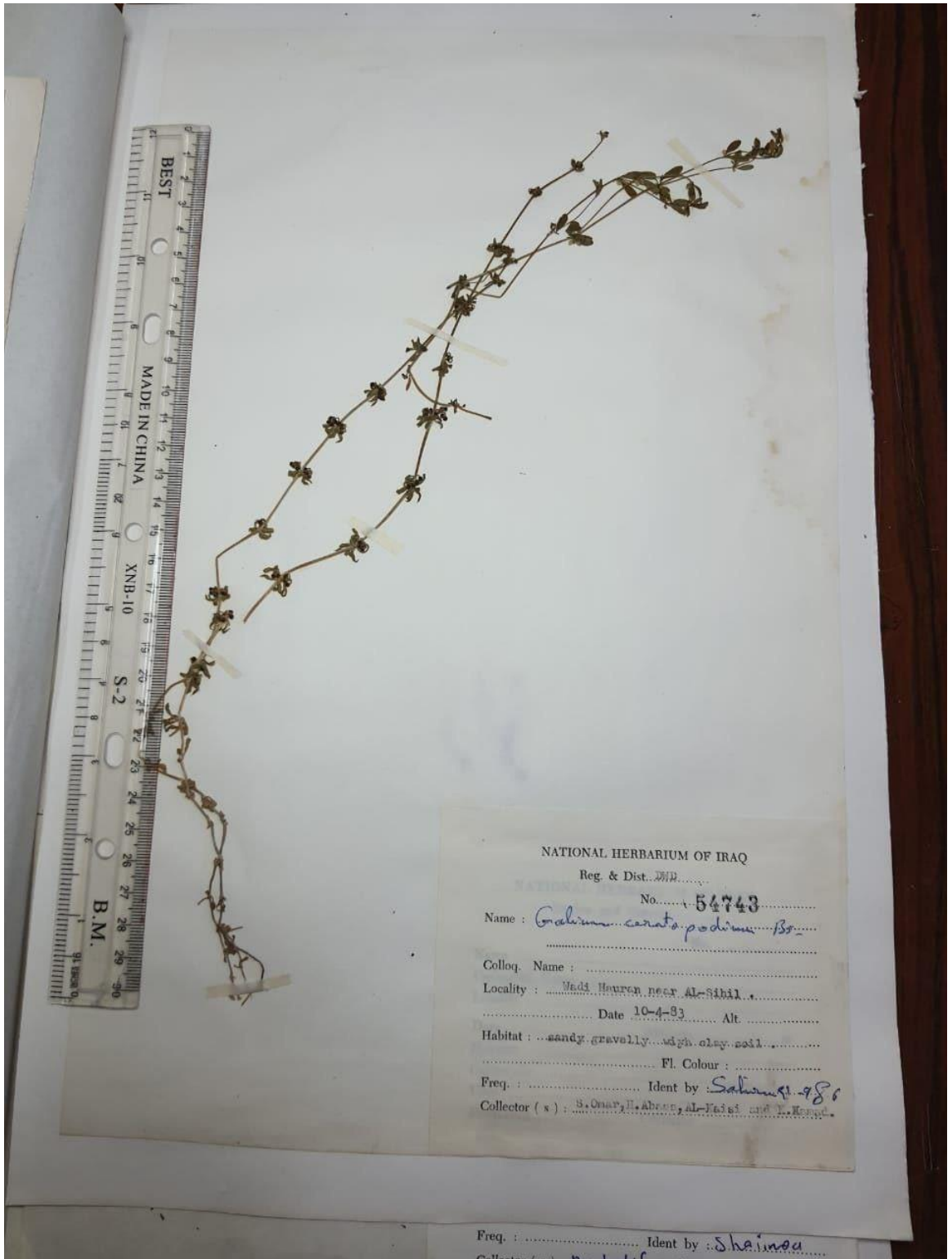
Use:

Frequency:

Collector: Nasrin A. Hadi

14. 12. 50

















NATIONAL HERBARIUM OF IRAQ.

Region and District ...MS.4

No.22512

Name *Galium aparine* L.

Colloquial Name

Locality: Penjwin.

Date: 21/6/57 Altitude: o. 1280 m.

Habitat: Rhua-Quercus forest on hillside.

Colour etc.

Uses:

Frequency:

Collector: A. Rawi.

Det. Saleh 11.12.80



HERBARIUM OF THE COLLEGE OF AGRICULTURE AND FORESTRY, UNIVERSITY OF MOSUL - IRAQ

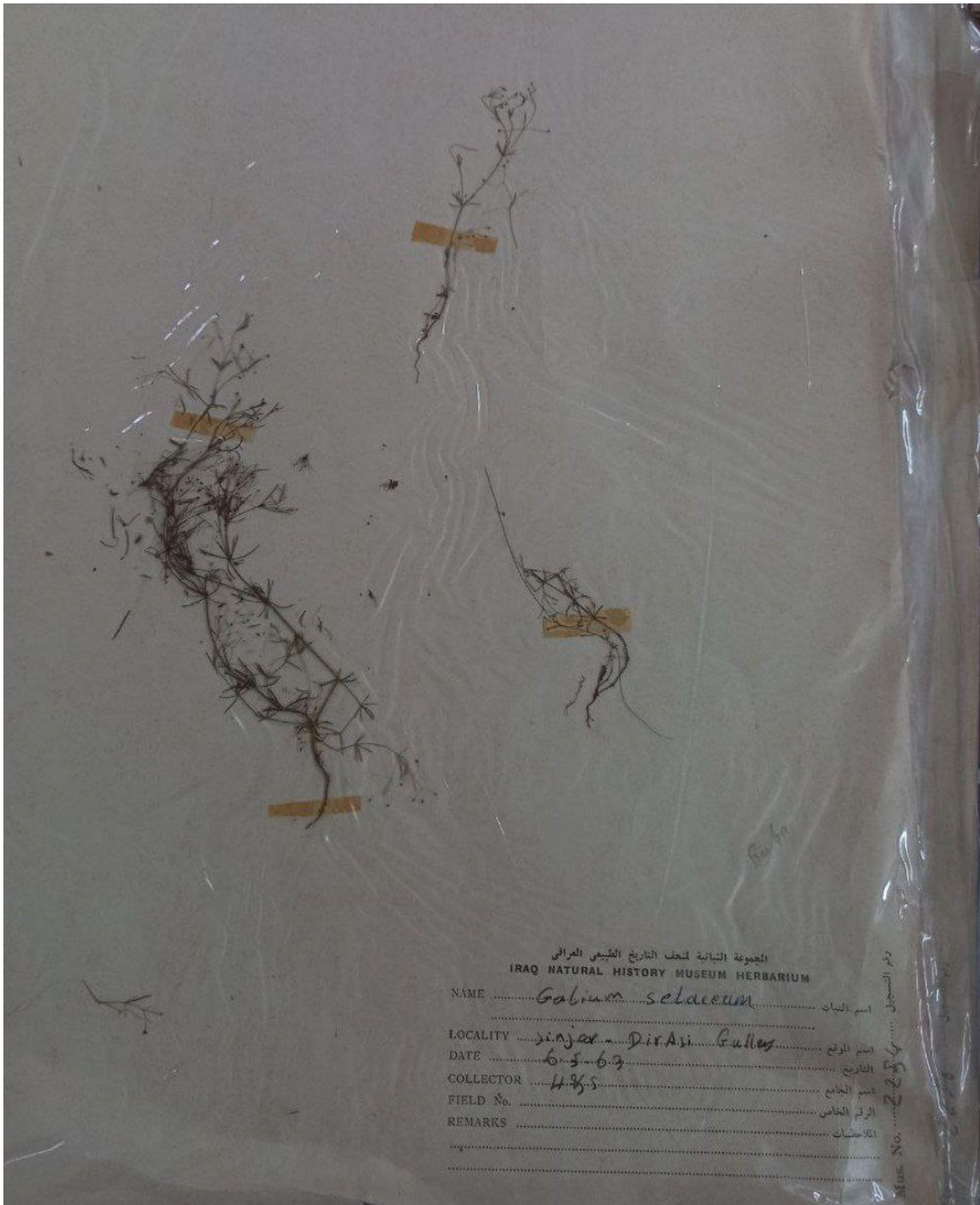
36132
 Latin Name *Salicornia* *arabum* L.
 Colloquial Name
 Locality 9/5/67, Hama, Iraq. Altitude 220 m
 Habitat bank of Tigris on levee
 No. Anders 1261 Identification *Janas*
 Flower etc. 18.9.71
 Uses Frequency *dispersed*
 Other data



المجموعة النباتية لتحف التاريخ الطبيعي العراقي
IRAQ NATURAL HISTORY MUSEUM HERBARIUM

اسم النبات *Galium aparine*
اسم الموقع *Basrah*
التاريخ *16/7/73*
اسم الجامع *M. Al-Shah*
الرقم الخاص *2256*
الملاحظات
Mus. No. *2256*

3- صور نبات *G.setaceum*



Abstract

The current study is a comparative molecular and chemical study of 5 species of the genus *Galium* L. from the family Rubiaceae that grow wild in Iraq, namely *G. spurium* L., *G. setaceum* L., dandy *G. tricoratum*, and *G. ceratopodum* Boiss. and *G. aparine* using DNA Markers based on Polymerase Chain Reaction (PCR), which are Random Amplified Polymorphic DNA (RAPDs) markers .

The study was carried out in Al-Amin Laboratory of the Holy Shrine of the Holy Prophet, Najaf Governorate - Iraq, from February 2003 until June 2003. The results of the current study using RAPD markers showed the variation between the studied genotypes through the presence of unique monomorphic, polymorphic, and heterogeneous bundles. Some primers gave a unique fingerprint for some of the genotypes of the plant *Galium* L.

8 of the random primers affiliated with RAPD , ISRR were chosen, but 3 of the primers did not achieve any results, which are BH10, BH11, and BH14, while the 5 primers shared different results

Five Random primers affiliated with RAPD were chosen that showed different replication results among the studied plant species. The number of different bundles reached 65 out of 67 main bundles, and the highest number of duplicated bundles was obtained, which was 28 out of 120 bundles obtained across all The genomes of plant species were obtained by primer OPC14 and the lowest number of duplicated bands, 20, was obtained by primer OPC8. The highest number of main bands, 17, was obtained by primer OPC14, and the lowest number of main bands, 8, was obtained by primer OPC8.

The cluster analysis (genetic relationship tree) revealed that the studied plant species were divided into two main genetic groups. The first group included two plant species, namely *G. spurium* and *G. setaceum*, while the second group included the remaining three other species, which were *G. ceratopodum*, *G. tricornatum* and *G. aparine*.

The general analysis of the results showed that RAPD genetic markers is a powerful tool for distinguishing between *Galium* L. species and revealing genetic relationships between them.

The current study also dealt with the chemical content of the ethanolic extract of *Galium* leaves, and the compounds were identified using Gas Chromatography Mass Spectrometry (GC-MS) technology. It was found that there were a number of chemical compounds resulting from secondary metabolism, which have an effective role in medical treatments and as a means of defense for the plant. These compounds had an effective role in distinguish between taxonomically studied species.



Ministry of Higher Education and Scientific Research

University of Kerbala

College of Education for Pure Sciences

Department of Biology

**A comparative molecular and chemical study
for some species of the genus Galium L. from
the Rubiaceae family in Iraq**

A Thesis

submitted to the Council of the College of Education for Pure Sciences /
University of Kerbala as part of the requirements for obtaining a
master's degree in Biology

written by

Rabieuh salman hamid Khadr

Bachelor of Biology /University of Kerbala 2020

Supervised by

Prof. Dr. Prof. Dr. Balqees Hadi Hashem